



## รายงานการวิจัย

โครงการวิจัยเรื่อง การพัฒนาระบบสะสมความร้อนของคอนกรีตบล็อก  
ในอาคารเก็บพืชผลทางการเกษตร

The Concrete Block Development in Heat Storage System for Postharvest Building

ผู้วิจัย

นาย ธรรมมา เจียรธราวนิช

โครงการวิจัยทุนสนับสนุนงานวิจัยของมหาวิทยาลัยเทคโนโลยีราชมงคลกรุงเทพ  
งบประมาณแผ่นดิน ปี พ.ศ. 2556  
มหาวิทยาลัยเทคโนโลยีราชมงคลกรุงเทพ

# รายงานการวิจัย

โครงการวิจัยเรื่อง การพัฒนาระบบสะสมความร้อนของคอนกรีตบล็อก  
ในอาคารเก็บพืชผลทางการเกษตร

The Concrete Block Development in Heat Storage System for Postharvest Building

ผู้วิจัย

นาย ธรรมมา เจียรธราวนิช

โครงการวิจัยทุนสนับสนุนงานวิจัยของมหาวิทยาลัยเทคโนโลยีราชมงคลรังสิต  
งบประมาณแผ่นดิน ปี พ.ศ. 2556  
มหาวิทยาลัยเทคโนโลยีราชมงคลรังสิต

## กิตติกรรมประกาศ

รายงานการวิจัยฉบับนี้คงสำเร็จลุล่วงลงด้วยดีไม่ได้หากขาดการสนับสนุนจากบุคคลหรือหน่วยงานต่าง ๆ ต่อไปนี้

มหาวิทยาลัยเทคโนโลยีราชมงคลกรุงเทพ หน่วยงานที่ให้ทุนอุดหนุนการวิจัยจากงบประมาณแผ่นดิน ปี พ.ศ. 2556

อาจารย์ศุภกิจ เศิกศิริ หัวหน้าสาขาวิชาวิศวกรรมอุตสาหการ คณะวิศวกรรมศาสตร์ มหาวิทยาลัยเซนต์จอห์น อาจารย์สุวิมล จันทร์แก้ว อาจารย์ประจำสาขาวิชา วิศวกรรมอุตสาหการ คณะวิศวกรรมศาสตร์ มหาวิทยาลัยเซนต์จอห์น ช่วยดูแลแนะนำและให้คำปรึกษาต่าง ๆ ในการทำงานวิจัย และคุณอาณัติ แก้วประเสริฐ ที่เคยช่วยอำนวยความสะดวกในการเก็บรวบรวมข้อมูลในการทำวิจัย

สถาบันวิจัยและพัฒนา มหาวิทยาลัยเทคโนโลยีราชมงคลกรุงเทพ สำหรับความช่วยเหลือและอำนวยความสะดวกในด้านต่าง ๆ ตลอดระยะเวลาในการทำวิจัย

กองคลัง มหาวิทยาลัยเทคโนโลยีราชมงคลกรุงเทพ สำหรับความช่วยเหลือและอำนวยความสะดวกในด้านต่าง ๆ ตลอดระยะเวลาในการทำวิจัย

สุดท้ายนี้ ผู้วิจัยขอกราบขอบพระคุณ บิดา มารดา และพี่ ๆ ทุกคนที่ให้การสนับสนุนในด้านการศึกษา ให้กำลังใจและเข้าใจตลอดระยะเวลาการทำวิจัย จนกระทั่งผู้วิจัยสามารถทำงานวิจัยสำเร็จลงได้

## บทคัดย่อ

โครงการวิจัยเรื่องการพัฒนาระบบสะสมความร้อนของคอนกรีตบล็อกในอาคารเก็บพื้นที่ผลทางการเกษตรครั้งนี้ มีวัตถุประสงค์หลักเพื่อศึกษาสัดส่วนของปูนซีเมนต์ในการสร้างสมบัติการสะสมความร้อนของแผ่นคอนกรีตบล็อก โดยอาศัยการสะสมพลังงานความร้อนเพื่อสร้างสภาพการเปลี่ยนเฟสของวัสดุ ซึ่งในงานวิจัยนี้เลือกใช้พาราฟินเป็นวัสดุสะสมความร้อน โดยในงานวิจัยได้ศึกษาประสิทธิภาพการสะสมความร้อนและการดูดความชื้นของแผ่นคอนกรีตบล็อกในการทดลองทำการหล่อแผ่นบล็อกคอนกรีตในแม่พิมพ์เหล็ก ซึ่งการหล่อแบ่งออกเป็น 3 ชั้น ในชั้นที่ 1 คอนกรีตหนา 30 มิลลิเมตร ชั้นที่ 2 พาราฟินหนา 5 มิลลิเมตร ชั้นที่ 3 ซีเมนต์แกรนิตหนา 15 มิลลิเมตร จากผลการศึกษาแผ่นคอนกรีตบล็อกสะสมความร้อน พบว่าแผ่นคอนกรีตบล็อกสะสมความร้อนที่มีพาราฟินอยู่ร้อยละ 40 และร้อยละ 60 น้ำผ่านมาตรฐานอก.378-2531 และที่พาราฟินร้อยละ 40 ได้ค่าเคลื่อนย้ายแรงดัดตามขวางที่ 28 วันมากที่สุด คือ 7.83 เมกะพาสคัล สำหรับการทดสอบการดูดซึมน้ำพบว่า คอนกรีตบล็อกทุกประเภทอยู่ในเกณฑ์มาตรฐาน และให้ค่าการดูดซึมน้ำอยู่ในระดับดี ส่วนการทดสอบค่าความร้อนพบว่าตัวอย่างแบบพาราฟินร้อยละ 40 สะสมความร้อนได้จากอุณหภูมิปกติ 7.18 องศาเซลเซียส แต่ตัวอย่างแบบพาราฟินร้อยละ 60 เก็บอุณหภูมิได้ต่ำกว่าเนื่องจากพาราฟินเยิ่มออกจากแผ่นตัวอย่างจึงทำให้สะสมความร้อนได้น้อยลง และคอนกรีตบล็อกผสมพาราฟินร้อยละ 40 ให้ค่าการนำความร้อนต่ำที่สุด เท่ากับ 0.385 ดัชนี้จึงเลือกนำผลของพาราฟินร้อยละ 40 ไปหล่อเป็นแผ่นคอนกรีตบล็อก และทั้งนี้เพื่อเป็นการเพิ่มประสิทธิภาพในการสะสมความร้อนให้มากขึ้น จึงให้ผู้หน้าของแผ่นคอนกรีตผสมเกลือและชั้นล่างผสมไฟเบอร์กลาส โดยทดลองแปรผลสัดส่วนของเกลือและผสมไฟเบอร์เป็น 6 สูตรดังนี้อัตราส่วน 5:5 10:5 15:5 5:10 10:10 และ 15:10 ตามลำดับ พบว่าคอนกรีตบล็อกพาราฟินผสมเกลือและไฟเบอร์กลาสสูตรที่ 4 สะสมความร้อนได้จากอุณหภูมิปกติมากที่สุดคือ 9.82 องศาเซลเซียส และนำความร้อนต่ำที่สุดเท่ากับ 0.213 ดัชนี้สรุปว่าการสะสมความร้อนที่สูงย่อมส่งผลดีกว่าจึงเลือกใช้สูตรที่ 4 (5:10) โดยมีเกลือผสมที่ผู้หน้าร้อยละ 5 ผสมไฟเบอร์ผสมด้านล่างร้อยละ 10 และมีพาราฟินอยู่ตระกูลร้อยละ 40 และเมื่อสร้างเป็นโรงอบแห้งพบว่า โรงอบแห้งมีอุณหภูมิและความชื้นสอดคล้องกับหลักการการอบแห้งเป็นอย่างดีและจุดของการเกิดการควบแน่นเป็นหยดน้ำของอากาศชั้นน้ำคงที่ ด้านต้นทุนการผลิตแผ่นคอนกรีตบล็อก คิดเป็นเงิน 145 บาทต่อบล็อกคอนกรีต 1 แผ่น และราคาประเมินต้นทุนวัสดุคิดในการสร้างโรงอบด้านแบบคิดเป็นเงิน 3,650 บาท

## Abstract

The aim of this research was to study the condition to used paraffin wax in concrete block for restoration the latent heat in drying mechanism. The object is related the efficient humidity for drying house in the salt condition of the concrete block mixed on the top layer. The method and material we used portland cement were cast in the steel mold to 3 layers. Then each layers vary the mixed concrete included the top layer 15 mm. for the granite granule the middle layer was 5 mm. the paraffin wax sheet used in this part and the last layer in the general mixed in concrete were 30 mm. in thick. The study of heat, concrete tile. the concrete tile with paraffin heat is 40% and 60% of the standard 378-2531 Standard for the average transverse bending shall not be less than 3 MPa. The most transverse bending force on the 28th which the sample with paraffin material is 40 % the average cross-section of 7.83 MPa. tests, The absorption of water for all of type concrete block within standard and water absorption values are low. The average heat from the tile samples for the paraffin 40% more than normal temperature to 7.18 degrees celsius. The minimum thermal conductivity is the tile samples for the paraffin 40% to 0.385 W/(m\*K). In the result for 40% paraffin used in the next concrete block that used in the bottom plate of the drying house. We mixed the salt in to the top layer and glass wool at the bottom layer 5:5, 10:5, 15:5, 5:10, 10:10 and 15:10. That found the tile samples for the paraffin mixed the salt and glass wool 5:10 formula have the average heat more than normal temperature to 9.82 degrees celsius. And the minimum thermal conductivity is 0.213 W/(m\*K). The result shown that 5:10 formula was good strength and good heat storage too. The concrete block were used in the drying house generate the heat form the sun and dry the atmosphere of the house. The cost of producing concrete block is 145 baht per sheet and the costs of raw materials to build a prototype drying house is 3,650 baht.

## สารบัญ

	หน้า
กิตติกรรมประกาศ.....	๙
บทคัดย่อภาษาไทย.....	๊
บทคัดย่อภาษาอังกฤษ.....	๑
สารบัญ.....	๑
สารบัญตาราง.....	๗
สารบัญภาพ.....	๘
 บทที่	
1 บทนำ.....	1
1.1 ความเป็นมาและความสำคัญของโครงการ.....	1
1.2 วัตถุประสงค์.....	2
1.3 ขอบเขตการศึกษา.....	2
1.4 ขั้นตอนการดำเนินงาน.....	3
1.5 ประโยชน์ที่ได้รับจากการทำโครงการ.....	3
2 การทบทวนวรรณกรรม.....	4
2.1 วัสดุที่ใช้ในการทำวิจัย.....	4
2.2 วัสดุเปลี่ยนเฟส (Phase change materials; PCMS).....	7
2.3 พฤติกรรมการถ่ายเทความร้อนผ่านวัสดุ (The Role of Thermal Mass).....	8
2.4 ทฤษฎีเกี่ยวกับแสงอาทิตย์.....	11
2.5 เครื่องมือวัดและวิธีการวัด.....	13
2.6 ทฤษฎีเกี่ยวกับความชื้นสัมพัทธ์กับงานเกย์ตระกรรມ.....	16
2.7 การทบทวนวรรณกรรมที่เกี่ยวข้อง.....	19
2.8 ทฤษฎีที่เกี่ยวข้อง.....	21
3 เนื้อหาการวิจัย.....	28
3.1 ข้อมูลทั่วไปของชิ้นงานทดลอง.....	28

## สารบัญ (ต่อ)

	หน้า
3.2 สูตรผสมของคอนกรีตในการทดลอง _____	29
3.3 ขั้นตอนการผสม _____	31
3.4 การทดสอบสมบัติของคอนกรีต _____	35
3.5 การสร้างโครงต้นแบบในการทดสอบประสิทธิภาพของแผ่นคอนกรีต _____	46
<b>4 ผลการวิจัย _____</b>	<b>49</b>
4.1 ผลการทดสอบสมบัติคอนกรีตบล็อกเบื้องต้น _____	49
4.2 ผลการทดสอบสมบัติคอนกรีตบล็อกพาราฟินผสมเกลือและไฟเบอร์กลาส _____	74
4.3 การสร้างโครงต้นแบบในการทดสอบประสิทธิภาพของแผ่นคอนกรีตบล็อก _____	104
4.4 การประเมินต้นทุนการผลิตแผ่นคอนกรีตบล็อก _____	109
<b>5 สรุปผลการวิจัยและข้อเสนอแนะ _____</b>	<b>112</b>
5.1 สรุปผลการวิจัย _____	112
5.2 อภิปรายผล _____	119
5.3 ข้อเสนอแนะ _____	120
<b>บรรณานุกรม _____</b>	<b>121</b>
<b>ภาคผนวก _____</b>	<b>122</b>
ภาคผนวก ก หนังสือขอเข้าใช้พื้นที่ในการเก็บข้อมูล _____	123
ภาคผนวก ข แบบรายละเอียดโครงต้นแบบ _____	126
ภาคผนวก ค ผลการทดสอบความต้านแรงดัดตามขวางสำหรับพาราฟินผสมร้อยละ 40 และร้อยละ 60 _____	131
ภาคผนวก ง ผลการทดสอบความต้านแรงดัดตามขวางของคอนกรีตปูพื้นที่มีพาราฟินร้อยละ 40 _____	135

## สารบัญ (ต่อ)

หน้า

ภาคผนวก จ	
ผลการวิเคราะห์ผ่านโปรแกรมทางสถิติ	143
ภาคผนวก ฉ	
มาตรฐานผลิตภัณฑ์อุตสาหกรรมกระเบื้องคอนกรีตปูพื้น 378-2531	150



## สารบัญตาราง

ตาราง	หน้า
2.1 ความเข้มแสลงและศักยภาพเชิงพลังงานแสลงอาทิตย์ทั่วประเทศไทย.....	12
2.2 สถิติความชี้นสัมพัทธ์เฉลี่ย (%) ของประเทศไทยในช่วงฤดูกาลต่างๆ.....	17
2.3 สูตรคำนวณในการสร้างตาราง CRD ANOVA.....	24
2.4 ตารางการคำนวณ CRD ANOVA.....	25
2.5 ตารางการวิเคราะห์ความแปรปรวนแบบจำแนกสองทาง.....	26
2.6 ตาราง ANOVA ในการวิเคราะห์แบบ Two Way.....	26
3.1 ตัดส่วนการทดสอบค่าอิฐโดยนำหนัก.....	31
3.2 ผลการทดสอบมิติของแผ่นคอนกรีตบล็อก.....	36
3.3 ค่าความด้านแรงดัดตามขวางของคอนกรีต.....	39
3.4 ค่าการดูดซึมน้ำของคอนกรีต.....	41
3.5 ผลการทดสอบการสะสมความร้อนของคอนกรีต.....	45
4.1 ผลการทดสอบมิติของแผ่นคอนกรีตบล็อก.....	50
4.2 การเปรียบเทียบมิติด้านความหนาของคอนกรีตบล็อก จำแนกตามประเภทส่วนผสมของ คอนกรีต.....	52
4.3 การเปรียบเทียบมิติด้านความกว้างของคอนกรีตบล็อก จำแนกตามประเภทส่วนผสมของ คอนกรีต.....	54
4.4 การเปรียบเทียบมิติด้านความยาวของคอนกรีตบล็อก จำแนกตามประเภทส่วนผสมของ คอนกรีต.....	56
4.5 สรุปค่าความด้านแรงดัดตามขวางของคอนกรีตบล็อกประเภทต่างๆ ที่ระยะเวลาบ่ม แตกต่างกัน.....	58
4.6 การวิเคราะห์ความแปรปรวนของค่าความด้านแรงดัดตามขวางของคอนกรีตบล็อกประเภท ต่างๆ ที่ระยะเวลาบ่มแตกต่างกัน.....	60
4.7 ผลทดสอบการดูดซึมน้ำของคอนกรีตบล็อก.....	63
4.8 ค่าอุณหภูมิของการสะสมความร้อนของคอนกรีตบล็อกประเภทต่างๆ.....	65
4.9 การเปรียบเทียบความแตกต่างของอุณหภูมิปกติภายนอกและอุณหภูมิในห้องทดลอง.....	67
4.10 การเปรียบเทียบด้านการสะสมความร้อนของคอนกรีตบล็อก จำแนกตามประเภทส่วนผสม ของคอนกรีต.....	68

## สารบัญตาราง (ต่อ)

ตาราง	หน้า
4.11 ค่าการนำความร้อนของคอนกรีตบล็อกประเภทต่างๆ.....	71
4.12 สรุปผลการทดสอบสมบัติคอนกรีตบล็อกประเภทต่างๆ.....	73
4.13 ผลการทดสอบมิติด้านความหนาของแผ่นคอนกรีตบล็อกพาราฟินผสมเกลือและไฟเบอร์กลาส.....	75
4.14 การเปรียบเทียบมิติด้านความหนาของคอนกรีตบล็อกพาราฟิน จำแนกตามประเภท ส่วนผสมของคอนกรีต.....	77
4.15 ผลการทดสอบมิติด้านความกว้างของแผ่นคอนกรีตบล็อกพาราฟินผสมเกลือและไฟเบอร์กลาส.....	78
4.16 การเปรียบเทียบมิติด้านความกว้างของคอนกรีตบล็อกพาราฟิน จำแนกตามประเภท ส่วนผสมของคอนกรีต.....	80
4.17 ผลการทดสอบมิติด้านความยาวของแผ่นคอนกรีตบล็อกพาราฟินผสมเกลือและไฟเบอร์กลาส.....	81
4.18 การเปรียบเทียบมิติด้านความยาวของคอนกรีตบล็อกพาราฟิน จำแนกตามประเภท ส่วนผสมของคอนกรีต.....	83
4.19 สรุปค่าความด้านแรงดัดตามขวางของคอนกรีตบล็อกพาราฟินประเภทต่างๆ ที่ระยะเวลาบ่มแตกต่างกัน.....	85
4.20 การวิเคราะห์ความแปรปรวนของค่าความด้านแรงดัดตามขวางของคอนกรีตบล็อกพาราฟิน ประเภทต่างๆ ที่ระยะเวลาบ่มแตกต่างกัน.....	87
4.21 ผลทดสอบการดูดซึมน้ำของคอนกรีตบล็อกพาราฟิน.....	90
4.22 ค่าอุณหภูมิการสะสมความร้อนของคอนกรีตบล็อกพาราฟินประเภทต่างๆ.....	92
4.23 การเปรียบเทียบความแตกต่างของอุณหภูมิปกติภายนอกและอุณหภูมิในห้องทดลอง.....	96
4.24 การเปรียบเทียบด้านการสะสมความร้อนของคอนกรีตบล็อกพาราฟิน จำแนกตามประเภท ส่วนผสมของคอนกรีตบล็อก.....	98
4.25 ค่าการนำความร้อนของคอนกรีตบล็อกพาราฟินประเภทต่างๆ.....	101
4.26 สรุปผลการทดสอบสมบัติคอนกรีตบล็อกพาราฟินประเภทต่างๆ.....	103
5.1 สรุปผลการทดสอบสมบัติคอนกรีตบล็อกประเภทต่างๆ.....	112
5.2 สรุปผลการทดสอบสมบัติคอนกรีตบล็อกพาราฟินประเภทต่างๆ.....	115

## สารบัญภาพ

ภาพประกอบ	หน้า
-----------	------

2.1 แสดงการนำความร้อนผ่านแผ่นสีเหลี่ยม ..... 2.2 แผนที่รังสีดาวอาทิตย์ ..... 2.3 กราฟความสัมพันธ์เชิงเส้นความต้านทานของขดลวด ..... 2.4 หลักการและวงจรอย่างง่ายของสายวัดอุณหภูมิ (Thermocouple) ..... 2.5 ระบบการเก็บข้อมูล ..... 3.1 ปูนซีเมนต์ปอร์ตแลนด์ประเภท 1 ตราช้าง มาตรฐานปูนหล่อ ASTM C150 ..... 3.2 ลักษณะของแผ่นคอนกรีตบล็อก ..... 3.3 แผ่นผังแสดงการทดสอบคอนกรีต ..... 3.4 ร่องนินผ่านตะแกรงขนาด 3/4 นิ้ว และถังทำความสะอาดหิน ..... 3.5 เตรียมหินเกร็นนิตบค ..... 3.6 การเตรียมแผ่นพาราฟิน ..... 3.7 การเตรียมแบบหล่อ และ ท่าน้ำมันที่แบบ ..... 3.8 การทดสอบและถอดแบบคอนกรีตตามมาตรฐาน มอก. 378-2531 ..... 3.9 ลักษณะของแผ่นพาราฟินและการถอดออกจากแบบ ..... 3.10 การทดสอบแรงอัดคอนกรีต ..... 3.11 การแข็งน้ำเพื่อวัดค่าการดูดซึมน้ำ ..... 3.12 การอบแผ่นคอนกรีตบล็อกเพื่อหาการดูดซึมน้ำ ..... 3.13 การทดสอบการสะสมความร้อนของแผ่นคอนกรีตบล็อก ..... 3.14 การเจาะรูแผ่นทดสอบเพื่อหาค่าความร้อนของแผ่นตัวอย่าง ..... 3.15 การทดสอบวัดค่าความร้อนจากแผ่นตัวอย่าง ..... 3.16 การทดสอบหาเวลาที่ทำให้แผ่นตัวอย่างมีอุณหภูมิเท่ากับอุณหภูมิปกติ ..... 3.17 เตรียมกล่องทดสอบเพื่อหาค่าความร้อนของแผ่นทดสอบ ..... 3.18 การปิดรอยต่อระหว่างแผ่นอะคริลิกกับอิฐบล็อกคอนกรีต ..... 3.19 แผนการทดลองวัดค่าความร้อน ..... 3.20 แบบรายละเอียด โรงต้นแบบ ..... 3.21 ตำแหน่งการทดลองวัดค่าความชื้นและวัดอุณหภูมิกายในห้องอบแห้ง ..... 	9 12 14 15 16 28 29 32 33 33 33 34 34 35 38 40 40 42 42 43 43 44 44 46 47 48
--	---

## สารบัญภาพ (ต่อ)

ภาพประกอบ	หน้า
4.1 แผนภูมิพิกัดควบคุมมิติด้านความหนาของคอนกรีตบล็อก.....	51
4.2 แผนภูมิพิกัดควบคุมมิติด้านความกว้างของคอนกรีตบล็อก.....	53
4.3 แผนภูมิพิกัดควบคุมมิติด้านความยาวของคอนกรีตบล็อก.....	55
4.4 ค่าเฉลี่ยความด้านแรงดัดตามขวางของคอนกรีตบล็อกประเภทต่างๆ ที่ระยะเวลาบ่มที่แตกต่างกัน.....	59
4.5 Box Plot ค่าความด้านแรงดัดตามขวางของคอนกรีตแต่ละชนิด ที่ระยะเวลาบ่มต่างๆ.....	61
4.6 ร้อยละการดูดซึมน้ำของคอนกรีตบล็อกประเภทต่างๆ.....	63
4.7 การทดสอบวัดอุณหภูมิของการสะさまความร้อน.....	64
4.8 อุณหภูมิปกติและอุณหภูมิในห้องทดลองของแผ่นคอนกรีตบล็อกแต่ละช่วงเวลา.....	66
4.9 อุณหภูมิปกติและอุณหภูมิในห้องทดลองของแผ่นคอนกรีตบล็อกประเภทต่างๆ.....	67
4.10 ความแตกต่างระหว่างอุณหภูมิปกติกับอุณหภูมิในห้องทดลองของแผ่นคอนกรีตบล็อกแต่ละช่วงเวลา.....	69
4.11 ความแตกต่างระหว่างอุณหภูมิปกติกับอุณหภูมิในห้องทดลองของคอนกรีตบล็อก.....	70
4.12 ค่าการนำความร้อนของคอนกรีตบล็อกประเภทต่างๆ.....	72
4.13 แผนภูมิพิกัดควบคุมมิติด้านความหนาของคอนกรีตบล็อกพาราฟินผสมเกลือและไฟเบอร์กลาส.....	76
4.14 แผนภูมิพิกัดควบคุมมิติด้านความกว้างของคอนกรีตบล็อกพาราฟินผสมเกลือและไฟเบอร์กลาส.....	79
4.15 แผนภูมิพิกัดควบคุมมิติด้านความยาวของคอนกรีตบล็อกพาราฟินผสมเกลือและไฟเบอร์กลาส.....	82
4.16 ค่าเฉลี่ยความด้านแรงดัดตามขวางของคอนกรีตบล็อกพาราฟิน ที่ระยะเวลาบ่มต่างๆ.....	86
4.17 Box Plot ค่าความด้านแรงดัดตามขวางของคอนกรีตบล็อกแต่ละชนิด ที่ระยะเวลาบ่มต่างๆ.....	88
4.18 ร้อยละการดูดซึมน้ำของคอนกรีตบล็อกพาราฟินประเภทต่างๆ.....	90
4.19 อุณหภูมิปกติและอุณหภูมิในห้องทดลองของแผ่นคอนกรีตบล็อกพาราฟินแต่ละช่วงเวลา.....	95

## สารบัญภาพ (ต่อ)

ภาพประกอบ	หน้า
4.20 อุณหภูมิปกติและอุณหภูมิในห้องทดลองของแผ่นคอนกรีตบล็อกประเภทต่างๆ.....	96
4.21 ความแตกต่างระหว่างอุณหภูมิปกติกับอุณหภูมิในห้องทดลองของแผ่นคอนกรีตบล็อกพาราฟินแต่ละช่วงเวลา.....	99
4.22 ความแตกต่างระหว่างอุณหภูมิปกติกับอุณหภูมิในห้องทดลองของคอนกรีตบล็อกพาราฟิน.....	99
4.23 ค่าการนำความร้อนของคอนกรีตบล็อกพาราฟินประเภทต่างๆ.....	101
4.24 การวางแผนแผ่นคอนกรีตบล็อกปูพื้นโรงอบแห้งจำลอง.....	105
4.25 ยาแนววางแผนแผ่นคอนกรีตบล็อกปูพื้นโรงอบแห้งจำลอง.....	105
4.26 การก่อผังโรงอบแห้งจำลอง.....	105
4.27 หลังคาโรงอบแห้งจำลองใส่เพื่อให้แสงแดดส่องถึงพื้นคอนกรีตบล็อก.....	106
4.28 การจำลองการวางแผนพิริกในโรงอบแห้งจำลอง.....	106
4.29 การเปิดช่องมองที่ประตูโรงอบแห้ง.....	107
4.30 การจำลองการวางแผนพิริกในโรงอบแห้งจำลองเพื่อคาดคะเน.....	107
4.31 การวัดอุณหภูมิตรงบริเวณกึ่งกลางของโรงอบแห้ง.....	108
4.32 ความสัมพันธ์ระหว่างค่าอุณหภูมิกายในโรงอบและความชื้นสัมพัทธ์ตรงบริเวณกึ่งกลางของโรงอบแห้ง.....	109

## บทที่ 1

### บทนำ

การศึกษาวิจัยเริ่มต้นมาจากการเห็นถึงความสำคัญของปัญหาที่เกิดขึ้นและนำมาวิเคราะห์หาสาเหตุหรือหนทางแก้ไขปัญหาโดยใช้หลักทฤษฎีประกอบ ซึ่งต้องเริ่มจากการวางแผนการวิจัย กำหนดคัวตุประสังค์ ขอบเขตของการศึกษา ระบุขั้นตอนการดำเนินงาน และประโยชน์ที่คาดว่าจะได้รับจากการศึกษาวิจัย

#### 1.1 ความเป็นมาและความสำคัญของโครงการ

เนื่องจากประเทศไทยอยู่ในเบตร้อนชื้น การเก็บเกี่ยวพืชผลทางการเกษตรหลักๆ ที่สำคัญ เช่น ข้าว ข้าวโพด และพริก ซึ่งเป็นพืชไร่ต้องเก็บไว้ในที่แห้งความชื้นต่ำ โดยเงื่อนไขดังกล่าวเป็นการช่วยป้องกันการเก็บรักษา เกษตรกรจึงต้องอาศัยวิธีการตากแห้งด้วยแสงแดดซึ่งเป็นวิธีการทำให้แห้งที่ง่ายที่สุด และโดยทั่วไปแล้วแสงอาทิตย์ที่ส่องผ่านมายังประเทศไทยมีปริมาณความเข้มของแสงโดยเฉลี่ย  $17.4 \text{ MJ/m}^2\text{-day}$  ซึ่งถือว่าเพียงพอต่อการทำให้พืชผลทางการเกษตรเหล่านี้แห้งได้ดี แต่ถ้าอยู่ในช่วงฤดูฝนเทคนิคแบบพื้นบ้านนี้ก็ไม่ได้ช่วยให้เกิดประโยชน์มากนัก ทั้งนี้ก็ได้มีนักวิจัยหลายท่านได้พยายามออกแบบเทคนิคและอุปกรณ์ต่างๆ เพื่อนำมาใช้ในการอบแห้ง ซึ่งถือว่าเป็นเทคนิคที่ช่วยเหลือเกษตรกรได้เป็นอย่างดี แต่ในระดับของการผลิตในภาคเกษตรกรรมแล้วยังพบว่า พืชผลที่ผลิตได้ต่อช่วงฤดูการเก็บเกี่ยวซึ่งมีสูงมากและเครื่องมือและเทคนิคที่มืออยู่แล้วยังไม่เพียงพอต่อความต้องการของเกษตรกร อีกทั้งยังมีการลงทุนในระดับสูง โดยภูมิปัญญาของเกษตรกรในสมัยโบราณยังพบว่าเทคนิคที่ทำภายหลังจากการเก็บเกี่ยวแล้วคือการเก็บรักษาภายหลังจากตากแห้งแล้ว ได้จัดเก็บไว้ในยุงคงเพื่อรักษาจนกว่าจะขาย แต่วิวัฒนาการด้านการเก็บเกี่ยวสูงขึ้นทำให้เกษตรกรเลิกใช้วิธีนี้ และหันไปพึ่งการขายโดยทันทีที่บริเวณหน้าโรงสีข้าว ทำให้ราคาต่ำกว่าที่ควรจะเป็น เนื่องจากข้าวเองยังมีความชื้น และในกรณีของพริกแห้งที่พบว่ามีร้านค้าหลายแห่งที่นำพริกแห้งที่ยังมีความชื้นอยู่ไปบรรจุในถุงพลาสติกซึ่งมีความชื้นสูง ทำให้เสียหายและไม่สามารถขายได้

ดังนั้นการสร้างโรงเก็บจะช่วยให้พืชผลมีความชื้นลดลง เป็นทางเลือกที่ช่วยสร้างมูลค่าให้กับผลิตผลทางการเกษตรเหล่านี้ แต่ในโรงเก็บแบบเดิมที่เกษตรกรสร้างขึ้นเองพบว่าไม่สามารถช่วยสร้างประสิทธิภาพ เนื่องจากการออกแบบไม่ได้ถูกสร้างให้มีระบบระบายอากาศและการสร้างความ

ร้อนที่ช่วยลดความชื้นได้ ดังนั้นคอนกรีตบล็อกเป็นหนึ่งในผลิตภัณฑ์ก่อสร้างที่สามารถสร้างให้มีกลไกการดูดความชื้นและสะสมความร้อนได้ แต่ก็ยังไม่มีงานวิจัยใดที่ได้กล่าวถึง โรงเก็บที่มีลักษณะดังกล่าว โดยส่วนใหญ่นักวิจัยมุ่งเน้นการสร้างโรงอบแห้งผลิตภัณฑ์เป็นส่วนใหญ่ ทางผู้วิจัยจึงมีความคิดที่จะศึกษาสมบัติทางความร้อน การสะสมความร้อน และการดูดความชื้น ที่เหมาะสมในการสร้างโรงเก็บที่สามารถเพิ่มคุณลักษณะผลิตผลทางการเกษตรที่พึงประสงค์และตรงต่อความต้องการเพื่อใช้ในการแปรรูปต่อไป

## 1.2 วัตถุประสงค์

- 1.2.1 เพื่อศึกษาเบรริญบที่บล็อกส่วนของปูนซีเมนต์ในการสร้างสมบัติการสะสมความร้อนของแผ่นคอนกรีตบล็อก
- 1.2.2 เพื่อศึกษาประสิทธิภาพการสะสมความร้อนของแผ่นคอนกรีตบล็อก
- 1.2.3 เพื่อศึกษาประสิทธิภาพของการดูดซึมน้ำของแผ่นคอนกรีตบล็อก

## 1.3 ขอบเขตการศึกษา

- 1.3.1 คอนกรีต ผสมด้วยสูตรงานคอนกรีตโครงสร้าง ได้แก่ ปูนซีเมนต์งานโครงสร้าง ทรายละเอียด และหินเกร็ด ถูกผสมกันและทำเป็นลักษณะแซนวิช คือ ลักษณะของผนังค้านอกที่สัมผัสແສງແಡດเป็นผิวคอนกรีตที่ผสมด้วยเส้นใยไฟเบอร์กลาส โครงสร้างบริเวณตรงกลางแผ่นผสมด้วยสูตรคอนกรีตงานโครงสร้างสอดไส้พาราฟินแผ่น และผนังผิวค้านตรงข้ามเป็นคอนกรีตที่ผสมเกรือแกง
- 1.3.2 แผ่นคอนกรีตบล็อกสร้างขึ้นมีขนาด  $30 \times 30$  ตารางเซนติเมตร และหนา 5 เซนติเมตร
- 1.3.3 ศึกษาการถ่ายเทความร้อนผ่านคอนกรีตบล็อกเข้าสู่บรรยายกาศภายในห้องทดสอบ
- 1.3.4 ศึกษาการสะสมความร้อนของแผ่นบล็อกคอนกรีตในตู้อบทดสอบ โดยทดสอบที่อุณหภูมิทดสอบ 40 องศาเซลเซียส
- 1.3.5 ศึกษาประสิทธิภาพของการดูดความชื้น โดยทดสอบวัดค่าความชื้นสัมพัทธ์

#### **1.4 ขั้นตอนการดำเนินงาน**

- 1.4.1 การเตรียมข้อมูลเพื่อดำเนินการวิจัย การทบทวนเอกสารที่เกี่ยวข้องกับงานวิจัย
- 1.4.2 การติดต่อสถานที่ที่จะดำเนินการทดสอบเก็บข้อมูล
- 1.4.3 การตั้งสมมติฐานการวิจัย เกี่ยวกับปัจจัยที่มีผลต่อการพัฒนาระบบสะสมความร้อนของคอนกรีตบล็อกในการเก็บพืชผลทางการเกษตร และออกแบบผลการทดสอบที่ครอบคลุมปัจจัยดังกล่าว
- 1.4.4 การทดสอบเก็บรวบรวมข้อมูล
- 1.4.5 ประมาณผลด้วยเครื่องมือทางสถิติวิจัยเพื่อสรุปผลการวิจัย
- 1.4.6 นำเสนอผลการวิจัยเมื่อดำเนินการวิจัยแล้วเสร็จ ต่อที่ประชุมคณะกรรมการฝ่ายวิจัย
- 1.4.7 ผู้วิจัยตีพิมพ์เผยแพร่งานวิจัยต่อสาธารณะชน เพื่อเป็นประโยชน์ในมุ่งหวังต่อไป

#### **1.5 ประโยชน์ที่ได้รับจากการทำโครงการ**

- 1.5.1 เพิ่มทางเลือกในการใช้วัสดุคุณภาพดีซึ่งสามารถรักษาความร้อนในอาคารได้โดยไม่สูญเสียพลังงาน
- 1.5.2 ได้คุณภาพที่ดีและมีคุณสมบัติการสะสมความร้อน
- 1.5.3 เพิ่มประสิทธิภาพในการอบในช่วงเวลาที่ไม่มีแสงแดด
- 1.5.4 ลดความชื้นในโรงอบแห้งลงด้วยระบบพ่นพาราфин

## บทที่ 2

### การทบทวนวรรณกรรม

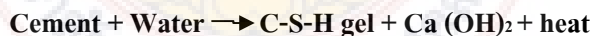
การศึกษาวิจัยหลังจากกำหนดกรอบของการวิจัยแล้ว ต้องศึกษาข้อมูลทั่วไปของงานที่จะทำการวิจัย และทบทวนงานวรรณกรรมที่เคยมีผู้ศึกษาวิจัยไว้ ซึ่งสามารถอธิบายรายละเอียดต่าง ๆ ได้ดังนี้

#### 2.1 วัสดุที่ใช้ในงานวิจัย

##### 2.1.1 คอนกรีตบล็อก คอนกรีตสามารถแยกพิจารณาออกเป็น 2 ส่วน คือ

1. ส่วนที่เป็นตัวประสาน ได้แก่ ปูนซีเมนต์กับน้ำและน้ำยาผสมคอนกรีต
2. ส่วนที่เป็นมวลรวม ได้แก่ ทราย หิน หรือ gravate

เมื่อนำวัสดุต่างๆ ของคอนกรีตมาผสมกัน คอนกรีตจะเป็นของเหลวมีความหนืดเวลาหนึ่งชั่วโมงนำไปเทลงแบบหล่อตามต้องการ ได้ เมื่ออายุมากขึ้นคอนกรีตก็จะเปลี่ยนสถานะจากของเหลวมาเป็นกึ่งเหลว กึ่งแข็ง และในเวลาต่อมา ก็จะเป็นของแข็ง ในที่สุดซึ่งสามารถรับกำลังอัดได้มากขึ้น เรื่อยๆ ตามอายุของคอนกรีตที่เพิ่มขึ้นจนถึงช่วงเวลาหนึ่งความสามารถรับกำลังอัดก็จะเริ่มคงที่การที่ปูนซีเมนต์รวมตัวกับน้ำแล้วเกิดการก่อตัวและแข็งตัวของปูนซีเมนต์ขึ้น เรียกว่า “การเกิดปฏิกิริยาไฮเดรชัน” ซึ่งเกิดจากสารประกอบในซีเมนต์ทำปฏิกิริยาทางเคมีกับน้ำเป็นปฏิกิริยา化 ความร้อน ดังนั้นจึงรู้สึกว่าร้อนขึ้นเมื่อสัมผัสกับปูนซีเมนต์ที่ทำปฏิกิริยา กับน้ำ สามารถเขียนเป็นสมการแสดงความสัมพันธ์ง่ายๆ ได้ดังนี้



#### คำอธิบาย

Cement	= แทนสารประกอบต่าง ๆ ในปูนซีเมนต์
Water	= แทนน้ำ
C-S-H gel	= แทนแคลเซียมซิลิเกต ไฮเดรต (Calcium Silicate Hydrate) เป็นองค์ประกอบที่ให้กำลังกับคอนกรีต

$\text{Ca}(\text{OH})_2$	= เป็นผลที่ได้จากปฏิกิริยาไฮเครชั่น ทำให้ซีเมนต์เพสต์มีคุณสมบัติเป็นต่างๆ อย่างมาก pH ประมาณ 12.5 ช่วยป้องกันการกัดกร่อนของเหล็กเสริม ได้อย่างดีมาก
Heat	= เป็นความร้อนที่เกิดจากปฏิกิริยาไฮเครชั่น

และองค์ประกอบของการสร้างเป็นคอนกรีตขึ้นมาใช้งานได้แก่

1. ปูนซีเมนต์ ปูนซีเมนต์ที่ใช้ในงานก่อสร้างต้องเป็นปูนซีเมนต์ที่บรรจุถุงเรียบร้อยตามมาตรฐานผลิตภัณฑ์อุตสาหกรรม (มอก.) หรือเป็นปูนซีเมนต์ที่เก็บในภาชนะบรรจุของบริษัทผู้ผลิต ห้ามใช้ปูนซีเมนต์เสื่อมสภาพหรือไม่ได้มาตรฐาน เช่น ปูนซีเมนต์ซึ่งแข็งตัวจับกันเป็นก้อน เป็นต้น
2. มวลรวมละเอียด ส่วนมากจะเป็นทราย ทรายที่ใช้ผสมคอนกรีตจะต้องมีความละเอียดพอคิดโดยมี Fineness Modulus ระหว่าง 2.3 และ 3.1 ถ้าน้อยกว่า 2.3 จะเข้าลักษณะทรายละเอียดต้องสะอาด ไม่มีฝุ่นหรือขยะปะปนมากเกินไป
3. มวลรวมหยาบ ธรรมชาติจะใช้หินย่อยและกรวดเป็นมวลรวมหยาบ หินนี้ขึ้นอยู่กับความยากง่ายในการหาวัสดุ ปกติวิศวกรจะระบุไว้ในข้อกำหนดว่าให้ใช้อย่างใด ผู้ควบคุมงานจะต้องหมั่นตรวจสอบคุณภาพที่ส่งเข้ามาอยู่เสมอเป็นประจำอาจไม่ใช้วัสดุจากแหล่งเดียวกัน และอาจมีสิ่งปนเปื้อนได้ เช่น หินผุ หรือหินอ่อนที่มีคุณภาพดีกว่าที่กำหนด
4. น้ำ ในข้อกำหนดต้องเป็นน้ำสะอาดสามารถใช้ได้ ซึ่งโดยมากมักหมายถึงน้ำประปา ในกรณีที่ไม่สามารถหาน้ำที่สะอาดได้ จำเป็นต้องใช้น้ำที่บุ่นในการผสมคอนกรีต ต้องทำให้ใส่ก่อนจึงจะนำมาใช้ได้ โดยอาจใช้ปูนซีเมนต์ 1 ลิตร ต่อน้ำบุ่น 200 ลิตร ผสมทิ้งไว้ 5 นาที หรือจนตกตะกอนบนก้นหมุดแล้ว จึงตักเอาน้ำใสมาใช้ได้ แต่หินน้ำต้องผ่านการทดสอบคุณสมบัติอื่น ๆ ก่อนนำมาใช้
5. บางกรณีข้อกำหนดระบุไว้ให้ใช้สารผสมเพิ่มบางชนิด เช่น สารกันซึม สารกระจายกักฟองอากาศ สารหน่วง และสารเร่งการก่อตัว เป็นต้น ผู้ควบคุมงานจะต้องดูว่าสารผสมเพิ่มนี้นำมาใช้จะต้องตรงกับชนิดที่ได้รับอนุมัติจากวิศวกรผู้รับผิดชอบแล้ว

**2.1.2 การทดสอบคงรีต ในโครงการก่อสร้างขนาดเล็ก** อาจทำการทดสอบคงรีตในสถานที่ก่อสร้าง อาจทดสอบด้วยมือ หรือเครื่องทดสอบคงรีตก็ได้ ถ้าใช้เครื่องทดสอบคงรีต ที่มีความจุ 1 ลูกบาศก์เมตร หรือน้อยกว่า ต้องใช้เวลาทดสอบนานอย่างน้อย 1.5 นาที และให้เพิ่มระดับการทดสอบ 15 วินาที ทุก ๆ ความจุที่เพิ่มขึ้น 0.5 ลูกบาศก์เมตร ใส่ไว้สคุพสมแห่งก่อนและทำการทดสอบวัสดุแห้ง จากนั้นจึงค่อยใส่น้ำประมาณร้อยละ 10 ลงไปในเครื่องทดสอบ ส่วนวัสดุและน้ำที่เหลือค่อย ๆ ใส่อย่างสม่ำเสมอ และอีกร้อยละ 10 สุดท้ายค่อยเติมไปหลังจากใส่ไว้สคุพสมหมดแล้ว โดยที่เครื่องทดสอบต้องหมุนด้วยความเร็วสม่ำเสมอตามที่ผู้ผลิตกำหนดอัตราความเร็ว การทดสอบคงรีตส่วนใหญ่ จะใช้นับบุ้งกี่ ซึ่งทำให้ส่วนทดสอบคลาดเคลื่อนได้ ควรทำแบบตัว หิน ทราย

### 2.1.3 ทฤษฎีเกี่ยวกับการนำความร้อนของคงรีต

ค่า R หรือ R-value คือค่าแสดงความสามารถในการด้านการ隔热ของความร้อนของวัสดุต่างๆ ตามมาตรฐานการทดสอบของทวีปอเมริกาเหนือ มีหน่วยเป็น  $K \cdot m^2/W$  หรือ  $ft^2 \cdot ^\circ F \cdot hr/Btu$  ซึ่งยิ่งมีค่าสูงก็ยิ่งกันการ隔热ผ่านของความร้อนได้ดีขึ้น ค่า R นี้คิดคำนวณได้จากค่า U หรือ U-factor หรือ U-value ซึ่งก็คือค่าความสามารถในการถ่ายเทความร้อนของวัสดุโดย  $R=1/U$  หรือ  $U=1/R$  นั่นเอง

ตัวอย่างค่า R ของวัสดุต่างๆ มีดังนี้

- แผ่นโพลีอีทิลีน (Polyethylene Foam) = R-2
- แผ่นโพเมียเรีย ฟอร์มาลเดไฮด์ (Urea-formaldehyde Foam) = R-4 ถึง R-4.6
- แผ่นโพลียูรีเทน (Polyurethane rigid panel) = R-6.8 ถึง R-8
- กระดาษแข็ง (Cardboard) = R-3 ถึง R-4
- แผ่นไม้ (Wood panel) = R-2.5
- ฟางมัด (Straw bale) = R-1.45
- กระจกหน้าต่าง 1 ชั้น (Single pane glass) = R-1
- ส่วนวัสดุเช่น อิฐมอญ หิน ทราย หรือคงรีต จะมีค่า R ต่ำ น้อยกว่า 1 อย่างไรก็ตามก็ไม่ได้จะเป็นวัสดุกันความร้อนไม่ดี เพราะความสามารถในการป้องกันความร้อนของวัสดุ มิได้ขึ้นอยู่กับความด้านทานการ隔热ผ่านความร้อนของวัสดุนั้นอย่างเดียว

การหาค่า R ของคอนกรีตที่สามารถหาได้ดังนี้ โดยเอาความหนาของคอนกรีตคูณกับค่าความต้านทานความร้อนของคอนกรีต ในกรณีของคอนกรีตทั่วไปที่ใช้ในประเทศไทย ซึ่งมีหินปูนเป็นมวลรวม หมายและไม่ใส่สารกักอากาศ (non-air entrained) ค่าความต้านทานความร้อน (Heat Resistivity) จะอยู่ที่ประมาณ  $0.035 \text{ ft}^2 \cdot ^\circ\text{F} \cdot \text{hr/Btu} \cdot \text{cm}$  เช่นถ้าคอนกรีตที่ความหนา 20 ซม. จะมีค่า  $R = R-0.71$  เท่านั้นเอง แต่เมื่อเทียบกับกระจากหน้าต่าง 1 ชั้น (R-1) ถึงแม้ว่าคอนกรีตจะมีค่า R ที่ต่ำกว่า แต่ในความเป็นจริงแล้วจะเห็นได้ว่าคอนกรีตกันความร้อนได้ดีกว่ากระจากแน่นอน สาเหตุก็เนื่องมาจากมาตรฐานในการทดสอบนั้น กำหนดดูอุณหภูมิไว้ที่ 24 องศาเซลเซียส ความชื้นสัมพัทธ์เพียงร้อยละ 50 และห้ามน้ำให้มีอากาศถ่ายเท ซึ่งมิได้สะท้อนให้เห็นถึงลักษณะหรือสภาพของการใช้งานจริง

## 2.2 วัสดุเปลี่ยนเฟส (Phase change materials; PCMS)

วัสดุที่เปลี่ยนเฟส (PCMS) เป็นสารที่มีความร้อนสูงจากไฟชั่นซึ่งละลายและของแข็งที่อุณหภูมิบางมีความสามารถในการจัดเก็บและปล่อยพลังงานจำนวนมาก ความร้อนจะถูกดูดซึมหรือปล่อยออกมากเมื่อมีการเปลี่ยนแปลงวัสดุจากของแข็งเป็นของเหลวและในทางกลับกัน ซึ่ง PCMS จะจัดเป็นที่เก็บความร้อนแห้ง (LHS) หน่วย PCMS เก็บความร้อนแห้งสามารถทำได้ผ่านทั้งสถานะของแข็งของแข็ง สถานะของแข็งของเหลว และสถานะของแข็งก้าช รวมทั้งการเปลี่ยนแปลงเฟสสถานะของเหลว ก้าช อีกทั้งไร้ความสามารถการเปลี่ยนแปลงเฟสเดียวที่ใช้สำหรับ PCMS คือการเปลี่ยนแปลงที่เป็นสถานะของแข็งของเหลว สถานะของเหลว ก้าช การเปลี่ยนแปลงเฟสไม่ได้ในทางปฏิบัติสำหรับการใช้งานเป็นที่เก็บความร้อนเนื่องจากปริมาณขนาดใหญ่หรือแรงกดดันสูงจำเป็นต้องจัดเก็บวัสดุเมื่ออุ่นในขั้นตอน ก้าช เปลี่ยนสถานะของเหลว ก้าช จะมีความร้อนสูงกว่าของการเปลี่ยนแปลงการเปลี่ยนสถานะของแข็งของเหลว สถานะของแข็งของแข็งการเปลี่ยนเฟสมักจะช้ามากและมีความร้อนค่อนข้างต่ำของ การเปลี่ยนแปลง

พาราฟิน ( $C_nH_{2n+2}$ ) และกรดไขมัน ( $CH_3(CH_2)^{2n}COOH$ )

ข้อดี

- โดยไม่ต้องแช่แข็ง super cooling หาก
- ความสามารถในการละลายสอดคล้อง

- คุณสมบัติ nucleating ตอนเย็น
- ความเข้ากันได้กับวัสดุธรรมชาติของการก่อสร้าง
- แยกไม่ออก
- ความเสถียรทางเคมี
- ความร้อนสูงของพิวชัน
- ปลดปล่อยและไม่เกิดปฏิกิริยา
- รีไซเคิล

#### ข้อเสีย

- การนำความร้อนต่ำในสถานะของแข็ง อัตราการถ่ายโอนความร้อนสูงจะต้องอยู่ในวงจรการแย่งแข่ง
- แฟกความร้อนความจุปริมาตรต่ำ
- ไวไฟ นี้สามารถระเหาได้อย่างง่ายดาย โดยภาระที่เหมาะสม

### 2.3 พฤติกรรมการถ่ายเทความร้อนผ่านวัสดุ (The Role of Thermal Mass)

อุณหภูมิอากาศภายในอาคารนั้นขึ้นอยู่กับอิทธิพลปัจจัยภายนอกหลายอย่าง โครงสร้างและคุณสมบัติของวัสดุที่ใช้กัน อาคารที่ใช้งานโดยปราศจากเครื่องข่ายลดอุณหภูมิอากาศภายนอกอาคารให้เข้าภาวะน่าสบายนั้น ส่วนใหญ่ก็จะขึ้นอยู่กับปัจจัยตัวแปรภายนอก many เช่นลักษณะทางกายภาพของอาคารที่เกิดขึ้นภายในและภายนอกอาคาร ซึ่งสามารถแบ่งออกเป็น 3 กรณี

1. การนำความร้อน (Heat Conduction)
2. การพาความร้อน (Heat Convection)
3. การแผ่รังสีความร้อน (Heat Radiation)

การถ่ายเทความร้อนเกิดขึ้นเมื่อมีความร้อนแตกต่างของอุณหภูมิระหว่าง 2 สิ่ง โดยที่จะถ่ายเทจากสิ่งที่มีอุณหภูมิสูงไปยังอุณหภูมิที่ต่ำ เมื่อระยะเวลาผ่านไปหลังจากเริ่มมีการถ่ายเทความร้อน สิ่งที่อุณหภูมิเริ่มสูงในตอนเริ่มต้น ก็จะมีอุณหภูมิลดต่ำลงและสิ่งที่อุณหภูมิต่ำในตอนเริ่มต้น ก็จะมีอุณหภูมิเริ่มสูงขึ้นในจนทั้งสองมีอุณหภูมิเท่ากันจึงหยุดการถ่ายเทความร้อนหรือเรียกว่า มีความสมดุลทางพลังงานความร้อน

### 2.3.1 การนำความร้อน

การนำความร้อน คือ การถ่ายเทความร้อนผ่านในเนื้อวัตถุซึ่งจะเป็นวัตถุที่เป็นของแข็ง โดยความร้อนมีการถ่ายเกิดขึ้น ได้เนื่องจากพลังงานของการสั่นสะเทือนในการประทักษิณของอะตอมหรือไม่เลกูลของของแข็งนั้น ทำให้ระบบของแข็งเป็นประเภทโลหะ จะมีอิเล็กตรอนอิสระที่เคลื่อนที่เป็นจำนวนมาก จึงมีค่าสภาพการนำความร้อนสูง เมน้ำกับการนำ (Insulator) ในงานที่ไม่ต้องการให้มีความสูญเสียพลังงานความร้อน

กฎการนำความร้อนเป็นไปตามสมการของฟูเรียร์ (Fourier's equation) คือ

$$\dot{Q} = -kA \frac{dT}{dx}$$

สมการที่ 2.1

$$q' = -k \frac{dT}{dx}$$

สมการที่ 2.2

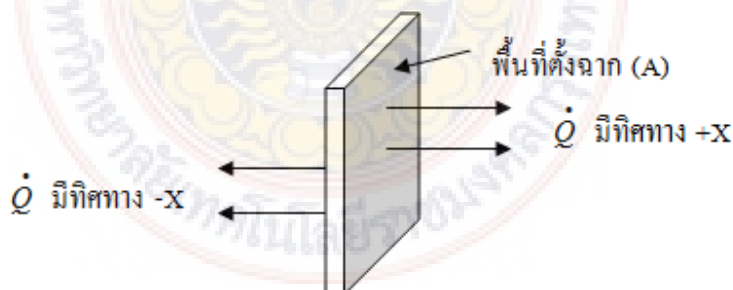
$\dot{Q}$  คือ อัตราการถ่ายเทความร้อน หน่วยวัตต์ (W)

$q'$  คือ ค่าความหนาแน่นของอัตราการถ่ายเทความร้อนต่อหน่วยพื้นที่หน่วย วัตต์ต่อตารางเมตร ( $\frac{W}{m^2}$ )

$k$  คือ ค่าสภาพการนำความร้อนของเนื้อวัตถุ หน่วย วัตต์ต่อตารางเมตรเซลเซียส ( $\frac{W}{m^2 \cdot K}$ )

$A$  คือ พื้นที่ตัดคลากกับพื้นที่ถ่ายเทความร้อน หน่วย ตารางเมตร ( $m^2$ )

$\frac{dT}{dx}$  คือ ฟังก์ชันการเปลี่ยนของอุณหภูมิตามระยะความหนา ( $x$ ) ของเนื้อวัตถุ



ภาพที่ 2.1 แสดงการนำความร้อนผ่านแผ่นสี่เหลี่ยม

ที่มา: สุนันท์ ศรัณยนิตย์ (2548)

สัมประสิทธิ์การนำความร้อน (Conductivity: k) หน่วย วัตต์ต่อตารางเมตรเคลวิล (W/m.K) กือค่าการถ่ายเทความร้อนโดยการนำความร้อนผ่านสารในความหนา ช่วงเวลา พื้นที่และค่าความแตกต่างอุณหภูมิหนึ่งๆ ค่าสัมประสิทธิ์การนำความร้อนใช้ในการวัดค่าการนำความร้อนของวัสดุ เช่น คอนกรีตมีค่าสัมประสิทธิ์การนำความร้อนเท่ากับ 12.0 วัตต์ต่อตารางฟุตเคลวิลหมายความว่าคอนกรีตขนาด 1 ตารางฟุต หนา 1 นิ้ว มีค่าความแตกต่างอุณหภูมิของสองด้านคอนกรีตเท่ากับ 1.0 บีทีyu (BTU) แล้วจะมีการนำความร้อน 12.0 บีทีyu (BTU) ผ่านในวัสดุใน 1 ชั่วโมง

### 2.3.2 การแพร่รังสีความร้อน

การถ่ายเทความร้อนโดยการแพร่รังสีความร้อน ต่างจากการถ่ายเทความร้อนโดยการนำความร้อนและการพาความร้อนที่ได้กล่าวมา กือ เป็นการถ่ายเทความร้อนโดยที่ไม่มีตัวกลาง โดยการแพร่รังสีความร้อนเกิดขึ้นได้เนื่องจากผิววัตถุที่อุณหภูมิสูงมากจนสามารถส่งถ่ายพลังงานความร้อนออกมายังรูปของคลื่นแสงที่ช่วงความยาวคลื่นช่วงหนึ่ง ตัวอย่างที่ได้เห็นอยู่ ได้แก่ ดวงอาทิตย์ส่งพลังงานความร้อนมายังพื้นผิวโลกโดยการแพร่รังสีความร้อน

อัตราการถ่ายเทความร้อนโดยการแพร่รังสีความร้อนออกจากพื้นผิวนั้น เมื่อคิดเป็นเชิงอุดมคติ เรียกว่าพื้นผิวนั้นว่า เป็นแบบวัตถุดำ (Black body) ซึ่งจากการที่ได้มีการวิเคราะห์ถึงกายภาพของคลื่นจะได้ว่าอัตราการถ่ายเทความร้อนเป็นสัดส่วนกับค่าอุณหภูมิสัมบูรณ์ของพื้นผิวปกติดังสื้

$$Q = \sigma AT^4$$

สมการที่ 2.3

เมื่อ T กืออุณหภูมิสัมบูรณ์ในหน่วยเคลวิน (K) สำหรับระบบสากลมาตรฐาน หรือ ในหน่วยแรงคิน (R) สำหรับระบบอังกฤษ

$\sigma$  กือ ค่าคงที่ของการแปรผันมีชื่อเรียกตามผู้ที่ได้ศึกษาวิเคราะห์ถึงการแพร่รังสีความร้อน กือค่าคงที่ของสเตฟาน โบลซ์มานน์ (Stefan – Boltzmann's Constant) มีค่าเท่ากับ  $5.669 \times 10^{-8}$  วัตต์ต่อตารางเมตรเคลวิล ( $W/m^2.K$ ) ในระบบสากลมาตรฐาน

สมการที่ 2.3 นี้ใช้สำหรับเพียงหาอัตราการแพร่รังสีความร้อนของพื้นที่เป็นแบบวัตถุดำเท่านั้น แต่อย่างไรก็ตามในการหาอัตราการถ่ายเทความร้อนโดยการแพร่รังสีความร้อนระหว่าง 2 พื้นผิวก็จะเป็นตามกฎแบบนี้ กือเป็นสัดส่วนกับผลต่างของกำลังสี่ของอุณหภูมิสัมบูรณ์ของพื้นผิวทั้งสอง

$$\text{Q} \propto \sigma A (T_1^4 - T_2^4)$$

สมการที่ 2.4

### 2.3.3 การพาความร้อน (Convection)

การพาความร้อนคือการถ่ายเทความร้อนโดยการเคลื่อนที่ของของไหหล่อผ่านตัวกลาง เช่น อากาศ และน้ำ เมื่อสารถูกทำให้ร้อนโน้มเลกุลจะเคลื่อนไหัวเร็วและแตกกระจายออกไปในทิศทางต่างๆ ก่อให้เกิดการขยายตัวของสารนั้นๆ โดยของแข็งจะมีการเพิ่มปริมาตรขึ้น ของเหลวและกําซจะมีความหนาแน่นต่ำลงและลดอยตัวขึ้น

## 2.4 ทฤษฎีเกี่ยวกับแสงอาทิตย์

กรมพัฒนาพลังงานทดแทนและอนุรักษ์พลังงาน ได้ดำเนินโครงการพัฒนาเครื่องข่ายสถานีวัดความเข้มรังสีดวงอาทิตย์สำหรับประเทศไทย เมื่อปี พ.ศ. 2543 เพื่อให้ได้รับข้อมูลความเข้มรังสีดวงอาทิตย์ที่มีความละเอียดถูกต้องและสามารถตอบสนองต่อความต้องการในด้านการวิจัย พัฒนาและประยุกต์ใช้พลังงานแสงอาทิตย์ของประเทศไทย สำหรับเครื่องมือที่ใช้ในการสำรวจตรวจวัด ได้แก่ เครื่องมือวัดความเข้มแสงอาทิตย์ เป็นการวัดรังสีรวมของความเข้มแสงอาทิตย์ เครื่องมือที่ใช้เรียกว่า “ไฟโรโนมิเตอร์” (Pyranometer) ซึ่งปัจจุบันที่กรมพัฒนาพลังงานทดแทนและอนุรักษ์พลังงานใช้วัดมี 2 ชนิด คือ

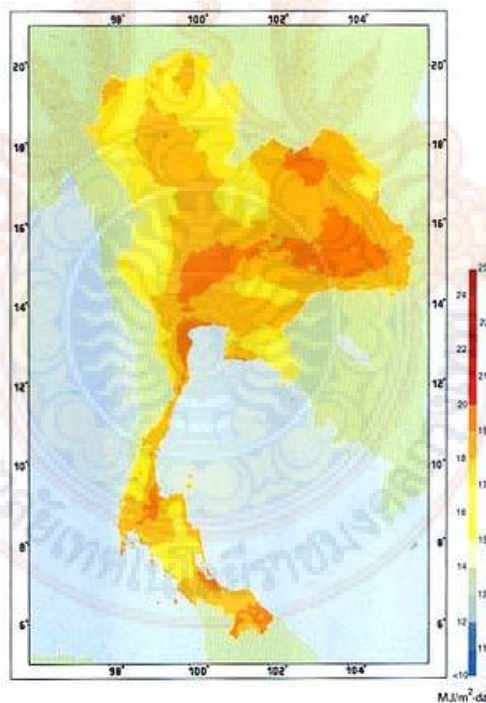
1. ไฟโรโนมิเตอร์ ที่ใช้ Thermomechanical Sensor หรือแบบ Bimetallic ซึ่งมี sensor เป็นแผ่นโลหะ 2 แผ่น โดยแผ่นหนึ่งเป็นสีขาว และอีกแผ่นหนึ่งเป็นสีดำ เมื่อรังสีดวงอาทิตย์ตกกระทบแผ่นสีดำ จะคุกคามรังสีดวงอาทิตย์ และขยายตัวได้มากกว่าแผ่นสีขาว แรงที่เกิดจากการขยายตัวดังกล่าวจะไปขับเคลื่อนหัวปากกาให้บันทึกข้อมูลเป็นลายเส้นลงบนกระดาษกราฟ ซึ่งพันติครอบกระบอกกลมที่มีการขับเคลื่อนด้วยระบบใบลาน หรือระบบนาฬิกาใช้แบตเตอรี่

2. ไฟโรโนมิเตอร์ ที่ใช้ Thermoelectric Sensor หรือแบบ Thermopile ซึ่งมี sensor ทำด้วยโลหะ 2 ชนิด ซึ่งเชื่อมปลายทั้งสองติดกัน โดยปลายข้างหนึ่งทำหน้าที่เป็น hot junction และอีกข้างหนึ่งเป็น cold junction เมื่อ hot junction ถูกรังสีดวงอาทิตย์ตกกระทบจะทำให้เกิดความแตกต่างระหว่างอุณหภูมิของ junction ทั้งสอง และก่อให้เกิดแรงแปรเปลี่ยนไฟฟ้า (electromotive force) ขึ้นในวงจรที่ประกอบด้วย โลหะทั้งสองจากแรงแปรเปลี่ยนไฟฟ้าที่เกิดขึ้นสามารถนำไปคำนวณหาความเข้มแสงอาทิตย์ที่ตกกระทบได้

ตารางที่ 2.1 ความเข้มแสงและศักยภาพเชิงพลังงานแสงอาทิตย์ทั่วประเทศ

แหล่งทางภูมิศาสตร์	ความเข้มแสงเฉลี่ยรายปี (เมกะจูล/ตารางเมตร.วัน)	ศักยภาพเชิงพลังงาน (พันตันเทียบเท่าน้ำมันดิน)
ทั่วประเทศ	18.2	554,070.6

จากแผนที่ศักยภาพพลังงานแสงอาทิตย์ของประเทศไทย (พ.ศ. 2542) โดยกรมพัฒนา และส่งเสริมพลังงานและคณะวิทยาศาสตร์ มหาวิทยาลัยศิลปากร พบร่วมกับการกระจายของความเข้มรังสีดวงอาทิตย์ตามบริเวณต่างๆ ในแต่ละเดือนของประเทศไทย ได้รับอิทธิพลสำคัญจากลมรุสมตะวันออกเฉียงเหนือ และลมรุสมตะวันตกเฉียงใต้ และพื้นที่ส่วนใหญ่ของประเทศไทยได้รับรังสีดวงอาทิตย์สูงสุดระหว่างเดือนเมษายน และพฤษภาคม โดยมีค่าอยู่ในช่วง 20 ถึง 24 MJ/m<sup>2</sup>–day



ภาพที่ 2.2 แผนที่รังสีดวงอาทิตย์

ที่มา: Serm Janjai (2010)

เมื่อพิจารณาแผนที่ศักยภาพพลังงานแสงอาทิตย์รายวันเฉลี่ยต่อปี พบว่าบริเวณที่ได้รับรังสีดวงอาทิตย์สูงสุดเฉลี่ยทั้งปีอยู่ที่ภาคตะวันออกเฉียงเหนือ โดยครอบคลุมบางส่วนของจังหวัดนครราชสีมา บุรีรัมย์ สุรินทร์ ศรีสะเกษ ร้อยเอ็ด ขอนแก่น อุบลราชธานี และอุดรธานี และบางส่วนของภาคกลางที่จังหวัดสุพรรณบุรี ชัยนาท อุบลฯ และลพบุรี โดยได้รับรังสีดวงอาทิตย์เฉลี่ยทั้งปี 19 ถึง  $20 \text{ MJ/m}^2\text{-day}$  พื้นที่ดังกล่าวคิดเป็นร้อยละ 14.3 ของพื้นที่ทั้งหมดของประเทศไทย นอกจากนี้ยังพบว่าร้อยละ 50.2 ของพื้นที่ทั้งหมดได้รับรังสีดวงอาทิตย์เฉลี่ยทั้งปี ในช่วง  $18-19 \text{ MJ/m}^2\text{-day}$  จากการคำนวณรังสีรวมของดวงอาทิตย์รายวันเฉลี่ยต่อปีของพื้นที่ทั่วประเทศพบว่ามีค่าเท่ากับ  $18.2 \text{ MJ/m}^2\text{-day}$  จากผลที่ได้นี้แสดงให้เห็นว่าประเทศไทยมีศักยภาพพลังงานแสงอาทิตย์ค่อนข้างสูง

## 2.5 เครื่องมือวัดและวิธีการวัด

### 2.5.1 เครื่องวัดอุณหภูมิแบบที่ใช้สารกึ่งตัวนำ (Resistance Temperature Detector: RTD)

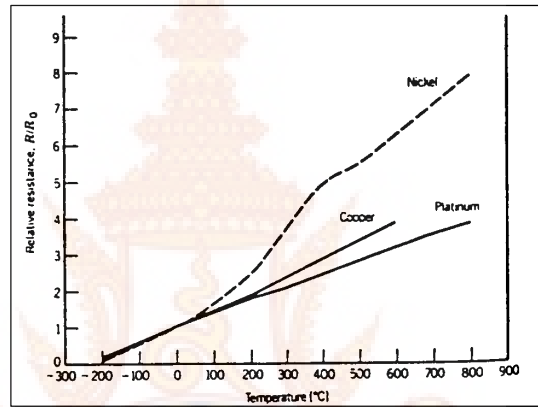
ค่าความต้านทานไฟฟ้าของตัวนำหรือสารกึ่งตัวนำจะเปลี่ยนแปลงไปตามหากว่าอุณหภูมิของสารนั้นเปลี่ยนแปลงไป จากหลักการง่ายๆ นี่สามารถนำมาใช้สร้างเครื่องมือวัดอุณหภูมิได้ ความสัมพันธ์ของความต้านทานกับอุณหภูมิที่เปลี่ยนแปลงไปของวัสดุนั้น เครื่องมือวัดที่ใช้หลักเบ่งออกเป็นสองพวกใหญ่ๆ คือประเภทสารตัวนำซึ่งค่าความต้านทานของสารตัวนำนี้จะสูงขึ้นเมื่ออุณหภูมิของสารสูงขึ้น เรียกอุปกรณ์ชนิดนี้ว่า เครื่องวัดอุณหภูมิแบบที่ใช้สารกึ่งตัวนำ กำหนดให้คลื่วนิความต้านทาน  $R_0$  ขณะที่มีอุณหภูมิ  $T_0$  และเมื่ออุณหภูมิของคลื่วนิเปลี่ยนไปเล็กน้อยก็จะเป็น  $T$  ความต้านทานของคลื่วนิที่อุณหภูมิใหม่สามารถหาได้จากการบันอุณหภูมิ  $T_0$  ได้เป็น

$$R = R_0 \left\{ 1 + \alpha(T - T_0) + \beta(T - T_0)^2 + \dots \right\} \quad \text{สมการที่ 2.5}$$

โดยค่า  $\alpha, \beta, \dots$  เป็นค่าคงที่ของวัสดุอย่างไรก็ตามจากการทดลองจะพบว่าในช่วงอุณหภูมิที่ไม่เปลี่ยนแปลงมากนัก ดังนั้นสามารถที่จะประมาณได้ว่าการเปลี่ยนแปลงนั้นเป็นความสัมพันธ์เชิงเส้น ดังที่แสดงในภาพที่ 2.3 ดังนั้นมีความสัมพันธ์เป็นความสัมพันธ์เชิงเส้น ซึ่งสามารถที่จะลดรูปของสมการที่ 2.5 ให้มาอยู่ในรูปเชิงเส้นได้เป็น

$$R = R_0 \left\{ 1 + \alpha(T - T_0) \right\} \quad \text{สมการที่ 2.6}$$

วัสดุที่นิยมนำมาใช้ใน RTD มากที่สุดก็คือ แพลทินัม เพราะว่า แพลทินัม นั้นเป็นโลหะที่มีการเปลี่ยนแปลงความต้านทานตามอุณหภูมิที่แน่นอน สามารถทำซ้ำได้ สามารถที่จะคาดหวังผลลัพธ์ได้ นอกจากนี้ยังสามารถที่จะเปรียบวัดและเทียบค่าที่สามารถให้ความแม่นยำสูง นอกจากนี้การใช้ความสัมพันธ์เชิงเส้นนั้นยังสามารถใช้ได้ในช่วงอุณหภูมิที่กว้าง และประการที่สำคัญคือ แพลทินัมเป็นชาตุที่คงตัวมากจึงสามารถที่จะใช้วัดในย่านอุณหภูมิที่ค่อนข้างสูงได้ ซึ่งด้านเหตุผลทั้งหมดนี้จึงทำให้ ITS-90 ได้เลือกใช้ RTD ที่ใช้แพลทินัมเป็นเครื่องมือเปรียบวัดอุณหภูมิตามมาตรฐาน

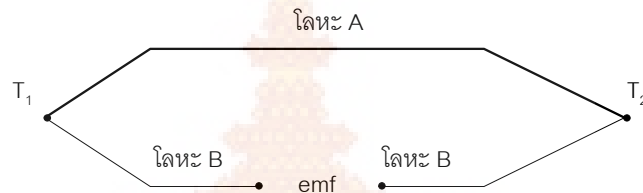


ภาพที่ 2.3 กราฟความสัมพันธ์เชิงเส้นความต้านทานของชุดลวด  
ที่มา: สุนันท์ ศรรษณินิตย์ (2548)

ชุดลวด แพลทินัม ที่ใช้เป็นมาตรฐาน ITS-90 นั้นความมีค่า  $a$  ไม่ต่างกว่า  $0.003925 \text{ }^{\circ}\text{C}^{-1}$  ซึ่งจะเป็นค่าที่กำหนดความบริสุทธิ์ของชุดลวด แพลทินัม และถ้าหากว่า ได้มีการสร้าง RTD ด้วยความระมัดระวังทุกขั้นตอนแล้วพบว่า RTD สามารถให้ความถูกต้องได้สูงมาก โดยความผิดพลาดประมาณ  $0.005 \text{ }^{\circ}\text{C}$  ข้อควรระวังสองสามประการของการใช้ RTD ก็คือ ต้องระวังการเกิด ความเครื่องจากความร้อน (Thermal stress) ขึ้นบนชุดลวด เพราะจะทำให้ความต้านทานของ RTD เปลี่ยนไปแม้ว่าอุณหภูมิไม่มีการเปลี่ยนแปลงก็ตาม ควรระวังการสักกาวร้อนและไม่ควรใช้ RTD ที่อุณหภูมิสูงมากจนทำให้โลหะสูญเสียคุณสมบัติทางความต้านทานไฟฟ้า

### 2.5.2 สายวัดอุณหภูมิ (Thermocouple)

การนำໄโละสองชนิดที่ต่างกัน นำมาต่อเข้าด้วยกัน เป็นวงรอบ ถ้าที่จุดต่อ (Junction) ที่ส่องนั้นมีอุณหภูมิแตกต่างกัน จะทำให้เกิดแรงเคลื่อนไฟฟ้า (Electromotive force : Emf) ขึ้น โดยขนาดของ Emf นั้นจะขึ้นอยู่กับวัสดุที่ใช้และความแตกต่างของอุณหภูมิที่จุดต่อที่ส่องนั้น ปรากฏการณ์นี้ต่อมามาได้เรียกว่า ผลของซีแบนค์และจากหลักการนี้ก็เป็นที่มาของเครื่องวัดอุณหภูมิที่เรียกว่า หัววัดอุณหภูมิ (Thermocouple) ภาพที่ 2.4 แสดงหลักการและวงจรอย่างง่ายของสายวัดอุณหภูมิ



ภาพที่ 2.4 หลักการและวงจรอย่างง่ายของสายวัดอุณหภูมิ (Thermocouple)

ที่มา: สุนันท์ ศรัณยนิตย์ (2548)

สำหรับความสัมพันธ์ของ Emf จะเป็นไปตามสมการ (ถ้า  $T_2 > T_1$ )

$$Emf = \alpha(T_2 - T_1)$$

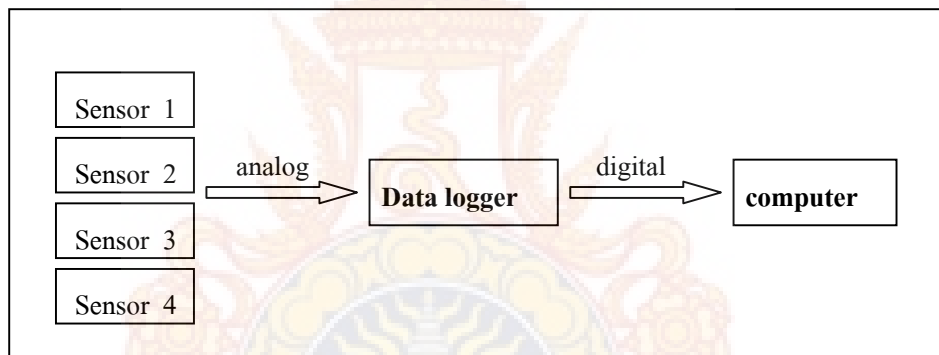
สมการที่ 2.7

ปรากฏการณ์การเกิดแรงเคลื่อนไฟฟ้านี้ของจากความแตกต่างของอุณหภูมนี้เป็นผลเนื่องมาจากการไหลของความร้อนและไฟฟ้าภายในสารตัวนำไฟฟ้า หรือถ้าจะกล่าวให้ชัดเจนยิ่งขึ้นก็อาจจะกล่าวได้ว่า ปรากฏการณ์นี้เกิดขึ้นมาได้จากการ "ไคลคู่คิวบ" (Couple) ของ Entropy และ Electricity ในความหมายของ Couple ในที่นี่หมายความว่าความต่างศักดิ์ไฟฟ้าอาจจะทำให้เกิดการไหลของความร้อนได้ หรือ ความแตกต่างของอุณหภูมิก็อาจจะทำให้เกิดการไหลของกระแสไฟฟ้าได้ อุปกรณ์ที่ใช้หลักการนี้วัดอุณหภูมิจึงเรียกว่า Thermocouple

### 2.5.3 อุปกรณ์เก็บข้อมูล (Data Logger)

อุปกรณ์เก็บข้อมูล (Data logger) คือ ระบบอุปกรณ์ที่ใช้ในการจัดการและเก็บข้อมูล พื้นฐานของระบบอุปกรณ์เก็บข้อมูล (Data logger) ประกอบไปด้วย อุปกรณ์ที่ใช้อ่านค่า (Scanner) และตัวบันทึกข้อมูล ซึ่งรับข้อมูลเข้า ที่เป็นระบบ สัญญาณวิทยุ จาก ตัววัดอุณหภูมิ Sensor และทำการเปลี่ยนข้อมูลเป็นระบบด้วยเลขและเก็บข้อมูลไว้ในหน่วยความจำเพื่อการนำไปใช้ต่อไป

การเก็บข้อมูลสัญญาณจากตัวตรวจจะผ่านเข้าไปในอุปกรณ์ที่ใช้อ่านค่า ความเร็วของการทำงานขึ้นอยู่กับประสิทธิภาพและความละเอียดที่ต้องการของจาก อุปกรณ์ที่ใช้ในการจัดการและเก็บข้อมูลจะเป็นค่าที่แสดงในจอภาพมิเตอร์ แสดงเป็นแรงดันออกจากการบันทึกข้อมูลจาก อุปกรณ์ที่ใช้ในการจัดการและเก็บข้อมูล โดยมากจะพิมพ์ออกทางเครื่องพิมพ์ อย่างไรก็ตามยังสามารถเก็บบันทึกข้อมูลไว้ในอุปกรณ์อื่นได้อีกด้วย เช่น แอบแฝดหรือ อาร์คิดส์คอมพิวเตอร์



ภาพที่ 2.5 ระบบการเก็บข้อมูล

## 2.6 ทฤษฎีเกี่ยวกับความชื้นสัมพัทธ์กับงานเกษตรกรรม

ความชื้นสัมพัทธ์ของอากาศเป็นอัตราส่วนของจำนวนไอน้ำที่มีอยู่ในอากาศ ต่อจำนวนไอน้ำที่อาจมีได้ในอิ่มตัวเต็มที่ในอากาศเดียวกันนั้น ความชื้นสัมพัทธ์จะกำหนดเป็นร้อยละ โดยให้จำนวนความชื้นที่อิ่มตัวเต็มที่เป็นร้อยละ 100

ประเทศไทยตั้งอยู่ในเขต草原ไอล์เด็นศูนย์สูตร จึงมีอากาศร้อนชื้นปกคลุมเกือบทั่วประเทศ เว้นแต่บริเวณที่อยู่ลึกเข้าไปในแผ่นดิน ตั้งแต่ภาคกลางขึ้นไปความชื้นสัมพัทธ์จะลดลงชัดเจน ในช่วงฤดูหนาว และฤดูร้อน โดยเฉพาะฤดูร้อน จะเป็นช่วงที่ความชื้นสัมพัทธ์ลดลงต่ำสุดในรอบปี

ในบริเวณดังกล่าวมีความชื้นสัมพัทธ์เฉลี่ยตลอดปีร้อยละ 72-74 และจะลดลงเหลือร้อยละ 62-69 ในช่วงฤดูร้อน

ตารางที่ 2.2 สัดส่วนความชื้นสัมพัทธ์เฉลี่ย (%) ของประเทศไทยในช่วงฤดูกาลต่างๆ

ภาค	ฤดูหนาว	ฤดูร้อน	ฤดูฝน	ตลอดปี
เหนือ	73	62	81	74
ตะวันออกเฉียงเหนือ	69	65	80	72
กลาง	71	69	79	73
ตะวันออก	71	74	81	76
ใต้ฝั่งตะวันออก	81	77	78	79
ใต้ฝั่งตะวันตก	77	76	84	80

(อ้างอิงจาก กรมอุตุนิยมวิทยา <http://www.tmd.go.th/info/info.php?FileID=56>)

### การหาความชื้นของวัสดุเกษตรและอาหาร

การหาความชื้นของวัสดุเกษตรและอาหาร แบ่งได้ออกเป็น 2 มาตรฐาน คือ มาตรฐานเปียก และมาตรฐานแห้ง ร้อยละความชื้นมาตรฐานเปียกหาได้จากอัตราส่วนมวลของน้ำในอาหารต่อมวลชื่นของอาหาร ( $M_w + M_s$ ) คูณด้วย 100 ดังสมการที่ 2.8

$$\%MC_{wb} = \frac{M_w}{M_w + M_s} \times 100 \quad \text{สมการที่ 2.8}$$

เมื่อ  $\%MC_{wb}$  คือ ร้อยละความชื้นมาตรฐานเปียก  $M_w$  คือมวลของน้ำในอาหาร และ  $M_s$  คือ มวลแห้งของอาหาร ในทางตรงกันข้าม เปอร์เซ็นต์ความชื้นมาตรฐานแห้งสามารถหาได้จากอัตราส่วนของมวลของน้ำในอาหารต่อมวลแห้งของอาหารคูณด้วย 100 ดังสมการที่ 2.9

$$\%MC_{db} = \frac{M_w}{M_s} \times 100 \quad \text{สมการที่ 2.9}$$

หรือสมการเพิ่มเติม ดังสมการที่ 2.10 และสมการที่ 2.11

$$\%MC_{wb} = \frac{\%MC_{db}}{100 + \%MC_{db}} \times 100 \quad \text{สมการที่ 2.10}$$

$$\%MC_{db} = \frac{\%MC_{wb}}{100 - \%MC_{wb}} \times 100 \quad \text{สมการที่ 2.11}$$

แนวโน้มในการใช้ความชื้นมาตรฐานเพื่อการอ้างอิงในงานวิจัย มักจะใช้ความชื้นมาตรฐานแห่งมากกว่ามาตรฐานเปยก เนื่องจากการอ้างอิงโดยใช้มาตรฐานเปยกนั้นอาจมีความคลาดเคลื่อนเนื่องจากมีมวลชี้นของวัสดุเข้ามาเกี่ยวข้องในการคำนวณ อย่างไรก็ตามในการอ้างอิงทั่วๆไปการใช้ค่าความชื้นมาตรฐานเปยกน่าจะสื่อความหมายให้เข้าใจได้ง่ายกว่าความชื้นมาตรฐานแห่ง ความชื้นของอาหารสามารถหาได้ 2 วิธี คือ วิธีทางตรงและวิธีทางอ้อม วิธีทางตรงนั้นจะใช้ตู้อบในการหาความชื้นอาจเป็นตู้อบໄล์ความชื้นธรรมดารหรือเป็นตู้อบสูญญากาศได้ดังนี้

ผลไม้แห้ง	อบที่ 70 องศาเซลเซียส เป็นเวลา 5 ชั่วโมง ในตู้อบสูญญากาศ
นมผงแห้ง	อบที่ 100 องศาเซลเซียส เป็นเวลา 5 ชั่วโมง ในตู้อบสูญญากาศ
กากน้ำตาล	อบที่ 70 องศาเซลเซียส เป็นเวลา 2 ชั่วโมง ในตู้อบสูญญากาศ
เมล็ดพันธุ์	อบที่ 130 องศาเซลเซียส เป็นเวลา 1-2 ชั่วโมง ในตู้อบໄล์ความชื้นปกติ หรืออบที่ 100 องศาเซลเซียส เป็นเวลา 72-96 ชั่วโมง ในตู้อบໄล์ความชื้นปกติ

อย่างไรก็ตามตัวเลขดังกล่าวเป็นเพียงข้อแนะนำเท่านั้น เพื่อเพิ่มความแม่นยำในการหาความชื้นโดยการอบอาจสังเกตได้จากน้ำหนักแห้งของวัสดุที่เปลี่ยนไป หากพบว่าน้ำหนักของวัสดุยังมีการเปลี่ยนแปลงเมื่อครบเวลาอบที่กำหนดไว้ แสดงว่าความชื้นในอาหารยังคงกำจัดออกไปได้ไม่สมบูรณ์ ดังนั้นจึงควรอบต่อไปจนกระทั่งน้ำหนักวัสดุที่อบนั้นไม่มีการเปลี่ยนแปลง การหาความชื้นของอาหารบางชนิดสามารถหารายละเอียดอ้างอิงเพิ่มเติมได้จากมาตรฐานของ Association of Official Agricultural Chemists หรือ AOAC

(อ้างอิงจาก [http://coursewares.mju.ac.th:81/e-learning47/ea341/lesson3/ch03\\_1.pdf](http://coursewares.mju.ac.th:81/e-learning47/ea341/lesson3/ch03_1.pdf))

## 2.7 การทบทวนวรรณกรรมที่เกี่ยวข้อง

ในระบบอบแห้งจากพลังงานแสงอาทิตย์ในงานวิจัยที่เกี่ยวข้องนั้น ได้มีผู้วิจัยศึกษาระบบการอบแห้งและการสร้างโรงอบแห้งในหลายรูปแบบ โดยรูปแบบของโรงอบแห้งนั้นาศักยภาพแพร่รังสีความร้อนเข้ามาในโรงอบแห้งที่ทำจากกระดาษ และมีผลทำให้อาหารภายในโรงอบแห้งสูงขึ้น ในหลักการดังกล่าวเนี้องมีความเกี่ยวข้องกับงานวิจัยที่ทางคณะสนับสนุนศึกษาว่า จากรูปแบบที่ได้มีนักวิจัยหลายท่านได้ศึกษามา มีความเกี่ยวข้องและสามารถประยุกต์ใช้ได้จริงได้ศึกษาจากงานวิจัยต่างๆ ดังนี้คือ

Solar drying problem in Togo : research and development solar drying in Africa ; Amouzou et al., (1986) ได้ออกแบบระบบการคัดซับความร้อนและการใช้ปูนซีเมนต์เป็นวัสดุที่ใช้รับความร้อนจากแสงอาทิตย์ โดยออกแบบให้มีลักษณะของห้องอบนั้นมีขนาดยาว 1.12 เมตร กว้าง 1.3 เมตร และสูง 0.67 เมตร มีแผ่นรับความร้อนเป็นแผ่นสังกะสีทาสีดำ มีห้องอบที่สามารถอบแห้งได้ถึง 10-15 กก. หลักการทำงานของห้องอบนี้พบว่าเมื่อแสงแดดตกกระทบผ่านกระจกใสมาแล้วสัมผัสกับแผ่นสังกะสีสีดำ เกิดการนำความร้อนและแผ่นความร้อนให้ห้องอบขึ้น และความร้อนดังกล่าวได้ผ่านเข้าไปสู่ผลิตผลทางการเกษตร ผลคือความร้อนทำให้น้ำบริเวณระหว่างกลาญเป็นไอและผลิตผลมีความแห้ง ทั้งนี้ระยะเวลาในการอบแห้งใช้เวลาในตู้อบถึง 3 วัน และจากงานวิจัยนี้ได้สามารถนำไปใช้จริงในชนบท

The staircase solar dryer: design and characteristics ; Hallack et al., (1996) ได้ศึกษาพัฒนาการทำตู้อบพลังงานแสงอาทิตย์ ให้สามารถสร้างขึ้นมาแบบง่ายๆ โดยอาศัยการวางแผ่นเหล็ก 2 ชั้นที่ใช้รับพลังงานแสงอาทิตย์และยังสร้างจนวนกันความร้อนไว้ได้แผ่นเหล็กดังกล่าวเพื่อไม่ให้ความร้อนสะสมในแผ่นเหล็กสูญเสียไปในทิศทางอื่น จากนั้นสร้างปล่องระบายอากาศขึ้นมาโดยมีรูปร่างเป็นทรงกระบอก ขนาดความสูง 10 เซนติเมตร และมีเส้นผ่าศูนย์กลาง 10 เซนติเมตรตัวขวางเช่นกัน ปล่องระบายอากาศนี้ประยุกต์ใช้เพื่อระบายอากาศภายในห้องอบให้มีการไหลเวียนของอากาศร้อนและอากาศเย็นที่จะเข้ามาแทนที่ ทั้งนี้การระบายอากาศช่วยให้เกิดความสมดุลของระบบและจากผลงานวิจัยพบว่าใช้เวลาในการอบแห้งสั้นลง

A solar air heater with composite-absorber systems for food dehydration ; Madhlopa et al., (2002) ได้พัฒนาการอบแห้งด้วยแสงอาทิตย์ โดยอาศัยการใช้หลักการวัสดุคอมโพสิตที่ทำหน้าที่หล่ายอย่างในแผ่นเดียวกัน ประกอบด้วยแผ่นเพลทน้ำความร้อน ตะแกรงเหล็ก และแผ่นกระจก ผลที่ได้จากการศึกษาพบว่าการที่มีตะแกรงเหล็กนี้ช่วยเพิ่มความร้อนให้แก่ตู้อบสูงขึ้นมากกว่า 40 องศาเซลเซียส และยังพบว่ามีประสิทธิภาพในการอบแห้งสูงเพิ่มขึ้นถึงร้อยละ 21

Design, development and performance testing of a new natural convection solar dryer ; Pangavhane et al., (2002) ได้ออกแบบระบบการอบแห้งด้วยการระบายความร้อนแบบมีอากาศ หมุนเวียนซึ่งมีส่วนประกอบอยู่ 2 ส่วนคือชุดให้ความร้อน และชุดตู้อบ โดยที่ชุดให้ความร้อนทำเป็น ช่องทางไหหล่องอากาศร้อนที่ทำจากอะลูมิเนียมเป็นรูปตัวยู และชุดนี้สัมผัสແສງแดด โดยตรงทำให้ ความร้อนจากการแผ่รังสีของแสงอาทิตย์สัมผัสผิวอะลูมิเนียมและทำให้เกิดการนำความร้อนอากาศ กายในห้องตัวยูร้อนขึ้นและไหด้เข้าไปสู่ชุดห้องอบทำให้อุณหภูมิของห้องอบสูงขึ้น

Development of thermal energy storage Concrete ; Zhang et al., (2004) ได้ศึกษาการสะสม ความร้อนของคอนกรีตเพื่อนำไปใช้ในการอบตู้อบแห้ง โดยได้อาศัยหลักการการเปลี่ยนแปลงสถานะ ของน้ำผึ้งพาราฟินเหลวที่ถูกไหลด้วยไฟฟ้าและนำเข้าไปในวัสดุพูนที่นำไปใช้สร้างเป็นแผ่นคอนกรีต ผล การศึกษาพบว่าพูนที่เกิดในวัสดุนี้มีผลต่อการเปลี่ยนแปลงสถานะของพาราฟินเหลว เนื่องจาก ปริมาณและขนาดที่พาราฟินเหลวใช้ดูดซับเอาความร้อนในปริมาณสูงทำให้เกิดการเปลี่ยนแปลงเฟลที่ ช้าลง

An investigation on the performance improvement of greenhouse- type agricultural dryers ; Koyuncu (2006) ได้สร้างโรงอบแห้งขนาดใหญ่โดยอาศัยหลักการทำงานชั้นเชิงต่อเนื่อง ไหเดี่ยวนของ อากาศร้อน ซึ่งอากาศร้อนนี้สามารถนำพาความชื้นที่ผิวของผลิตผลทางการเกษตรออกไหไปได้ง่ายและ เป็นการใช้พลังงานราคากลูก โดยอาศัยแหล่งพลังงานคือแสงอาทิตย์ ทั้งนี้ยังพบว่าการสร้างโรงอบแห้ง จากหลักการดังกล่าวเนี่ยสามารถเพิ่มอุณหภูมิของห้องให้สูงขึ้นจากเดิม 5-6 องศาเซลเซียส

Development and dissemination of the SILPAKORN-TYPE solar greenhouse dryer ; Serm Janjai et al., (2006) ได้สร้างโรงอบแห้งชื่อ โรงอบแห้งศิลป农业科技 โดยพัฒนาจากโรงอบแห้งเดิมที่อาศัย การแสงอาทิตย์เป็นแหล่งพลังงานความร้อน และได้ออกแบบให้พื้นโรงอบแห้งเป็นพื้นคอนกรีตที่เป็น สีดำสามารถดูดซับความร้อนจากแสงอาทิตย์และใช้เป็นแหล่งความร้อนภายในโรงอบแห้ง นอกจากนี้ ยังประยุกต์ใช้พัดลมที่ใช้ไฟฟ้าจากแบตเตอรี่และใช้เป็นแหล่งความร้อนภายในโรงอบแห้งอีกด้วย จากผลการศึกษาพบว่าโรงอบแห้งนี้สามารถอบแห้งพริกที่มีความชื้นร้อยละ 80 ให้เหลือร้อยละ 10 ใน เวลา 3 วัน ได้เป็นอย่างดี

Thermal performance analysis and economic evaluation of roof-integrated solar concrete collector ; Rangsit et al., (2011) ได้ศึกษาการใช้คอนกรีตเพื่อเป็นตัวสะสมความร้อน โดยได้ออกแบบ ให้เพดานคอนกรีตของตึกมีท่อน้ำ PVC ฝังอยู่ภายใน จากนั้นปล่อยน้ำให้วิ่งผ่านท่อดังกล่าวแล้ว

ทำการศึกษาความร้อนที่ได้พบว่าอุณหภูมิของน้ำเมื่อไหลผ่านท่อ PVC ที่ฝังอยู่ในคอนกรีตนั้นมีอุณหภูมิสูงอยู่ที่ 40-50 องศาเซลเซียส

และจากการวิจัยที่ได้อ้างถึงมา มีความเป็นไปได้และมีความน่าสนใจที่จะนำเสนอแนวคิดของการสะสมความร้อนของแผ่นคอนกรีตมาใช้ในการสร้างโรงเก็บพืชผลทางการเกษตร

## 2.8 ทฤษฎีเกี่ยวข้อง

### 2.8.1 การทดสอบสมมติฐานโดยวิธีการทางสถิติ

การทดสอบในขั้นตอนนี้ เพื่อวิเคราะห์หาความแตกต่างของข้อมูลที่ได้จากการทดลอง โดยในการศึกษารังนี้จะใช้วิธีการทางสถิติ คือ การวิเคราะห์ค่าทางสถิติในเบื้องต้น การทดสอบ t-test การวิเคราะห์ความแปรปรวนแบบทางเดียว (One -Way Analysis of Variances) และการวิเคราะห์ความแปรปรวนแบบสองทาง (Two -Way Analysis of Variances) ดังนี้

#### 1. การทดสอบ t-test

กระบวนการทางสถิติ t-test เป็นเปรียบเทียบค่าเฉลี่ย 2 ค่า นอกจากนั้นยังแสดงค่าเฉลี่ย ส่วนเบี่ยงเบนมาตรฐานและความคลาดเคลื่อนมาตรฐานในแต่ละตัวแปรด้วย ซึ่งสถิติ t-test สามารถแบ่งการวิเคราะห์ได้เป็น 2 กรณี

กรณีที่ 1 กลุ่มตัวอย่างทั้ง 2 ไม่สัมพันธ์กัน (อิสระต่อ กัน) เรียกว่า Independent t-test

ถ้ากลุ่มตัวอย่างทั้ง 2 ไม่สัมพันธ์กัน (อิสระต่อ กัน) ในการทดสอบสมมติฐานที่ต้องการหาความแตกต่างของค่าเฉลี่ยของกลุ่มตัวอย่างกลุ่มหนึ่งว่าแตกต่างจากอีกกลุ่มหนึ่งหรือไม่ เช่น ต้องการทดสอบผลสัมฤทธิ์ทางการเรียนของกลุ่มที่ได้รับการสอนแบบปกติกับกลุ่มที่ได้รับการสอนแบบพิเศษว่าจะมีคะแนนเฉลี่ยแตกต่างจากกันหรือไม่ ในกรณีนี้กลุ่มตัวอย่างสองกลุ่มเป็นอิสระจากกัน ซึ่งสามารถตั้งสมมติฐานได้ดังนี้

$$\text{สมมติฐาน 1} \quad H_0: \mu_1 = \mu_2$$

$$H_1: \mu_1 \neq \mu_2 \quad \text{หรือ}$$

$$\text{สมมติฐาน 2} \quad H_0: \mu_1 = \mu_2$$

$$H_1: \mu_1 > \mu_2 \quad \text{หรือ}$$

$$\text{สมมติฐาน 3} \quad H_0: \mu_1 = \mu_2$$

$$H_1: \mu_1 < \mu_2$$

สูตรคำนวณ

ขั้นแรก คำนวณหาว่ากลุ่มตัวอย่างทั้งสองกลุ่มมีความแปรปรวนแตกต่างกันหรือไม่ ด้วยสูตร F-test มีสมมติฐานดังนี้

$$H_0: \sigma_1^2 = \sigma_2^2$$

$$H_1: \sigma_1^2 \neq \sigma_2^2$$

คำนวณด้วยสูตร

$$F = \frac{s_1^2}{s_2^2}; \quad df_1 = n_1 - 1; df_2 = n_2 - 1$$

พิจารณาค่า F-test ถ้า F-test ที่คำนวณได้ไม่มีนัยสำคัญทางสถิติ ( $Sig > \alpha$ ) นั่นคือยอมรับ  $H_0$  และถ้าความแปรปรวนของทั้งสองกลุ่มเท่ากัน จะใช้สูตรที่ 1 (Pooled Variance) ถ้าค่า F-test ที่คำนวณได้มีนัยสำคัญทางสถิติ ( $Sig < \alpha$ ) นั่นคือปฏิเสธ  $H_0$  ยอมรับ  $H_1$  และถ้าความแปรปรวนของทั้งสองกลุ่มไม่เท่ากัน จะใช้สูตรที่ 2 แทน (Separate Variance)

ขั้นที่สอง เลือกใช้สูตรคำนวณค่า t-test

สูตรที่ 1 เมื่อ  $\sigma_1^2 = \sigma_2^2$

$$t = \frac{\bar{x}_1 - \bar{x}_2}{\sqrt{\frac{(n_1 - 1)s_1^2 + (n_2 - 1)s_2^2}{n_1 + n_2 - 2} \left[ \frac{1}{n_1} + \frac{1}{n_2} \right]}}$$

$$df = n_1 + n_2 - 2$$

สูตรที่ 2 เมื่อ  $\sigma_1^2 \neq \sigma_2^2$

$$t = \frac{\bar{X}_1 - \bar{X}_2}{\sqrt{\frac{s_1^2}{n_1} + \frac{s_2^2}{n_2}}}$$

$$df = \frac{\left( \frac{s_1^2}{n_1} + \frac{s_2^2}{n_2} \right)^2}{\left( \frac{s_1^2}{n_1} \right)^2 + \left( \frac{s_2^2}{n_2} \right)^2}$$

$$\frac{n_1 - 1}{n_2 - 1}$$

การพิจารณาหากค่าสถิติ  $t$  ที่คำนวณได้ไม่มีนัยสำคัญทางสถิติ ( $Sig > \alpha$ ) นั่นคือยอมรับ  $H_0$  แสดงว่าค่าเฉลี่ยของ 2 กลุ่มไม่มีความแตกต่างกัน ถ้าค่า  $t$  ที่คำนวณได้มีนัยสำคัญทางสถิติ ( $Sig < \alpha$ ) นั่นคือปฏิเสธ  $H_0$  ยอมรับ  $H_1$  แสดงว่ามีค่าเฉลี่ยของ 2 กลุ่มแตกต่างกัน (มากกว่า หรือน้อยกว่า)

## 2. การวิเคราะห์ความแปรปรวนแบบมีปัจจัยเดียว (Single – Factor Analysis of Variance :

### Single – Factor ANOVA หรือ One – Way ANOVA

การวิเคราะห์ความแปรปรวนแบบมีปัจจัยเดียว เป็นการจำแนกข้อมูลด้วยตัวแปรหรือปัจจัยเพียงตัวเดียว นั่นคือวิเคราะห์ความแตกต่างของข้อมูลโดยพิจารณาจากปัจจัยที่มีผลต่อข้อมูลเพียงปัจจัยเดียว หรือเป็นการวิเคราะห์ความแตกต่างกันของระดับต่างๆ ของปัจจัยเพียงปัจจัยเดียวนั่นเอง ดังนี้ วัตถุประสงค์ของการวิเคราะห์ความแปรปรวนแบบมีปัจจัยเดียว คือ การทดสอบความแตกต่างระหว่างค่าเฉลี่ยของประชากรที่ได้รับปัจจัยที่ต่างระดับดังต่อไปนี้ 3 ระดับขึ้นไป นั่นคือเพื่อเปรียบเทียบค่าเฉลี่ยประชากรตั้งแต่ 3 ประชากรขึ้นไป

การเปรียบเทียบค่าเฉลี่ยประชากร โดยการทดสอบสมมติฐานนี้ จะต้องเก็บข้อมูลตัวอย่างหรือทำการทดลองการกำหนดระดับของปัจจัยให้แก่หน่วยทดลอง (Experimental Unit) อย่างสุ่ม โดยที่จะเรียกปัจจัยว่าลิ่งทดลอง หรือ ทรีทเม้นต์ (Treatment) ดังนั้นทรีทเม้นต์ คือ ปัจจัยที่ทำให้ข้อมูลแตกต่างกัน หรือทรีทเม้นต์ หมายถึง วิธีการหรือลักษณะต่างๆ ที่ต้องการเปรียบเทียบ โดยข้อมูลที่นำมาใช้ในการเปรียบเทียบจะวัดได้จากหน่วยทดลอง

สำหรับการทดลองเพื่อให้ได้ข้อมูลเพื่อใช้ในการวิเคราะห์สำหรับการวิเคราะห์ความแปรปรวนแบบมีปัจจัยเดียวในกรณีที่มี  $k$  ระดับ ( $k \geq 3$ ) หรือเปรียบเทียบ  $k$  ทรีทเม้นต์แบ่งเป็นสองแบบใหญ่ๆ ดังนี้

### 1. การทดลองแบบสุ่มโดยสมบูรณ์ (Completely Randomized Design : CRD)

เป็นการทดลองทั่วไปที่ไม่มีเงื่อนไขใดๆ จำกัด ทรีทเม้นต์  $k$  กลุ่มอย่างเดียว ไม่สามารถแยกกันได้ แต่ต้องทดลองทั่วไปทุกกลุ่ม

### 2. การทดลองแบบสุ่มโดยสมบูรณ์ภายในกลุ่ม (Randomized Block Design: RBD)

เป็นการทดลองเพื่อเปรียบเทียบ  $k$  ทรีทเม้นต์ โดยแบ่งหน่วยทดลองแบบ  $k$  กลุ่ม/ชุด โดยให้แต่ละกลุ่มมีจำนวนหน่วยทดลองเท่ากับจำนวนทรีทเม้นต์ โดยให้แต่ละทรีทเม้นต์มีจำนวนหน่วยทดลองเท่ากัน คือ  $b$  หน่วย หรือเรียกว่า  $b$  บล็อก และให้หน่วยทดลองภายในแต่ละบล็อกมีลักษณะคล้ายคลึงกันมากที่สุด

สำหรับในข้อนี้จะกล่าวถึงการทดลองแบบสุ่มโดยสมบูรณ์ CRD โดยจะอธิบายดังนี้  
กล่าวแล้ว เมื่อต้องการเปรียบเทียบประชากร  $2$  กลุ่ม หรือ  $2$  ทรีทเม้นต์จะต้องสุ่มตัวอย่าง  $2$  กลุ่มอย่างเดียว ไม่สามารถแยกกันได้ แต่ต้องใช้สถิติทดสอบ  $Z$  หรือ  $t$  แต่ถ้าเปรียบเทียบตั้งแต่  $3$  ทรีทเม้นต์ขึ้นไปจะใช้สถิติทดสอบ  $F$

#### เงื่อนไขของการวิเคราะห์ความแปรปรวน

ในการทดสอบสมมติฐานการเท่ากันของค่าเฉลี่ยของประชากรตั้งแต่  $3$  กลุ่มขึ้นไป จะต้องมีเงื่อนไขดังนี้

1. ประชากรทั้ง  $k$  กลุ่ม มีการแจกแจงแบบปกติ
2. ค่าแปรปรวนของแต่ละประชากรเท่ากัน
3. การสุ่มตัวอย่างแต่ละชุดจากแต่ละประชากรจะเป็นอิสระกัน

ตารางที่ 2.3 สูตรคำนวณในการสร้างตาราง CRD ANOVA

$CM (\text{Correction for Mean}) = (SS_{Xij})^2 / n = (S_{Xi})^2 / n$
$SST = SS_{Xij} - CM \quad SST_{ri} = ST_{2i} / n_i - CM \quad SSE = SST - SST_{ri}$
$MSE = SSE / (n - k) \quad MST_{ri} / (k - 1)$
สถิติทดสอบ $MST_{ri} / MSE \sim F_{k-1, n-k}$

#### ตารางที่ 2.4 ตารางการคำนวณ CRD ANOVA

แหล่งแปรปรวนหรือ แหล่งความผันแปร	องศา อิสระ	ผลรวมกำลังสอง	ค่าเฉลี่ยกำลังสอง	F
	df	SS (Sum of Square)	MR (Mean Square) = SS/DF	MST <sub>rt</sub> / MSE
ระหว่างทรีตเม้นต์ (Treatment)	k-1	SST <sub>rt</sub>	MST <sub>rt</sub>	
ภายในทรีตเม้นต์ (ความคลาดเคลื่อน)	n-k	SSE	MSE	
ผลรวม (Total)	n-1	SST		

สรุปการวิเคราะห์ความแปรปรวนแบบมีปัจจัยเดียว เพื่อทดสอบความแตกต่างระหว่าง ค่าเฉลี่ยประชากร k กลุ่ม

เขตปฏิเสธ จะปฏิเสธ  $H_0$  ถ้า  $F > F_{1-\alpha, k-1, n-k}$

สมมติฐาน  $H_0: (\mu_1 = \mu_2 = \mu_3 = \dots = \mu_k)$

$H_1: \text{มี } \mu_i \neq \mu_j \text{ อย่างน้อย } 1 \text{ คู่ ; } i \neq j$

สถิติทดสอบ  $F = MST_{rt} / MSE$

### 3. การวิเคราะห์ความแปรปรวนแบบจำแนกสองทาง (Two – Factor Analysis of Variance

: Two – Factor ANOVA หรือ Two – Way ANOVA)

เป็นวิธีที่ใช้วิเคราะห์ความแตกต่างระหว่างค่าเฉลี่ย โดยมีลักษณะที่ต้องการวิเคราะห์อยู่ 2 ลักษณะ เช่น โดยลักษณะแรกที่สนใจมากจะเรียกว่า Treatment และลักษณะที่สองมากจะเรียกว่า Block ซึ่งตารางการจำแนกข้อมูลชนิด 2 ทางก็จะเป็นดังนี้

ตารางที่ 2.5 ตารางการวิเคราะห์ความแปรปรวนแบบจำแนกสองทาง

Block (ลักษณะที่ 2)	Treatment (ลักษณะแรกที่ต้องการเปรียบเทียบ)					รวม
	กลุ่มที่ 1	กลุ่มที่ 2	กลุ่มที่ 3	...	กลุ่มที่ k	
1	$x_{11}$	$x_{21}$	$x_{31}$	...	$x_{k1}$	$B_1$
2	$x_{12}$	$x_{22}$	$x_{32}$	...	$x_{k2}$	$B_2$
3	$x_{13}$	$x_{23}$	$x_{33}$	...	$x_{k3}$	$B_3$
:	:	:	:	...	:	:
n	$x_{1n}$	$x_{2n}$	$x_{3n}$	...	$x_{kn}$	$B_n$
ผลรวม	$T_1$	$T_2$	$T_3$	...	$T_k$	$TB$

$$TB = \text{ผลรวมของค่าสังเกตทั้งหมด} = \sum \sum X_{ij} \quad i=1 \text{ ถึง } k, j=1 \text{ ถึง } n$$

$$T_i = \text{ผลรวมของ Treatment}$$

$$B_j = \text{ผลรวมของ Block}$$

$$SST = \sum \sum X_{ij}^2 - CM \quad SSTR = \sum \frac{T_i^2}{n} - CM \quad SSB = \sum \frac{B_j^2}{k} - CM$$

$$SSE = SST - SSTR - SSB$$

ตารางที่ 2.6 ตาราง ANOVA ในการวิเคราะห์แบบ Two Way

Source (แหล่งของความ แปรปรวน)	องศาอิสระ	ผลรวมกำลังสอง	ค่าเฉลี่ยกำลังสอง	F
	df	SS	MS=SS/df	
ระหว่าง Treatment	k-1	SSTR	MSTR	MSTR/MSE
ระหว่าง Block	n-1	SSB	MSB	MSB/MSE
ความคลาดเคลื่อน	(k-1)(n-1)	SSE	MSE	
รวม	N-1	SST		

## การวิเคราะห์ความแปรปรวน 2 ทาง

### 1. ตั้งสมมติฐาน

สำหรับ Treatment  $H_0 : \mu_{T_1} = \mu_{T_2} = \dots = \mu_T$  ค่าเฉลี่ยทุก Treatment เท่ากัน

$H_1$  : มีอย่างน้อย 1 Treatment ที่มีค่าเฉลี่ยไป จาก Treatment อื่น

สำหรับ Block  $H_0 : \mu_{B_1} = \mu_{B_2} = \dots = \mu_B$  ค่าเฉลี่ยของทุก Block เท่ากัน

$H_1$  : มีอย่างน้อย 1 Block ที่ค่าเฉลี่ยต่างไปจาก Block อื่น

2. คำนวณค่าทางสถิติ STT, SSTr, SSB, SSE

3. สร้างตาราง ANOVA

4. เปิดตาราง F เพื่อหาเขตยอมรับและปฏิเสธ  $H_0$

สำหรับ Treatment เปิดที่  $F_\alpha, v_1, v_2$

สำหรับ Block เปิดที่  $F_\alpha, v_1, v_2$

5. สรุปผล

## บทที่ 3

### เนื้อหาการวิจัย

หลักการวิจัยเป็นการศึกษาในรูปแบบการวิจัยเชิงประยุกต์ โดยการตั้งสมมติฐานการวิจัย มีการศึกษาหาข้อมูลจากเอกสารและการทบทวนวรรณกรรม การทดสอบเป็นเครื่องมือในการเก็บรวบรวมข้อมูลการทดลอง และนำข้อมูลที่ได้มาประมวลผลด้วยโปรแกรมสำเร็จรูปทางสถิติ ซึ่งสามารถอธิบายรายละเอียดต่าง ๆ ดังนี้

#### 3.1 ข้อมูลทั่วไปของชิ้นงานทดลอง

##### 3.1.1 วัสดุที่ใช้ในการทดลอง

- ปูนซีเมนต์ปอร์ตแลนด์ประเภท 1 (ปูนที่ใช้ในงานโครงสร้าง เทเลสานาน เช่น ปูนตราช้าง แดง) ได้รับมาตรฐาน มอก.15 เล่มที่ 1-2547 ดังภาพที่ 3.1



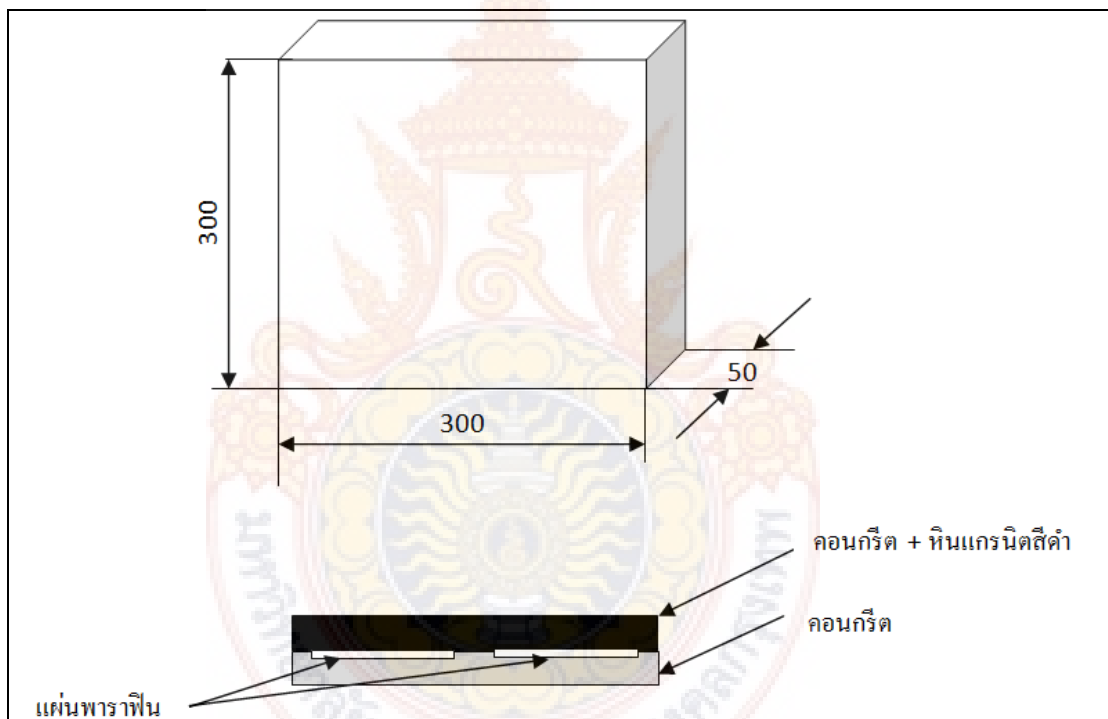
ภาพที่ 3.1 ปูนซีเมนต์ปอร์ตแลนด์ประเภท 1 ตราช้าง มาตรฐานปูนหล่อ ASTM C150

- ทรายแม่น้ำอย่างละเอียด โดยมีความละเอียดในระดับ 40 MESH
- ทินผุ้น
- ผู้นผงไฟเบอร์กลาส ขนาดความละเอียด 70 ไมโครเมตร

- เกลือแกง
- นำเปล่า
- ถังปูน
- ขันตัวอัตราส่วน

### 3.1.2 ขนาดทั่วไปของคอนกรีตที่ใช้ในการทดลอง

ในการทดสอบวัดหาค่าความซึ้นและการขึ้นรูปเป็นแผ่นบล็อกคอนกรีตนี้ กำหนดขนาดของคอนกรีตให้มีขนาดมาตรฐานความหนา 50 มิลลิเมตร ความกว้าง 300 มิลลิเมตร และความยาว 300 มิลลิเมตร ดังภาพที่ 3.2



ภาพที่ 3.2 ลักษณะของแผ่นคอนกรีตบล็อก

### 3.2 สูตรผสมของคอนกรีตในการทดลอง

#### 3.2.1 สูตรทั่วไป คือคอนกรีตเทหหล่อทั่วไป ปูน : ทราย : หิน : น้ำ = 1 : 2 : 4 : 1

สูตรมาตรฐาน สัดส่วนผสมคอนกรีตและปูนอย่างง่าย (โดยน้ำหนักหรือสัดส่วน) การผสมคอนกรีตโดยน้ำหนัก (By weight) หรือโดยสัดส่วนนั้น หมายถึง การผสมคอนกรีตโดยการชั่งน้ำหนักของส่วนผสมตามอัตราส่วนที่กำหนดการผสมคอนกรีตโดยวิธีนี้จะทำให้ก้าที่แน่นอน

สะดวกต่อการปรับปรุงส่วนผสมเมื่อมีความชื้นที่เปลี่ยนแปลงไปในวัสดุผสม ส่วนใหญ่การผสมคอนกรีตโดยนำหัวน้ำก็จะผสมในโรงงานผลิตคอนกรีตที่มีอุปกรณ์พร้อม เช่น ผลิตคอนกรีตผสมเสร็จ (Ready-mixed concrete) ผลิตชิ้นส่วนโครงสร้างคอนกรีตสำเร็จรูป

### 3.2.2 สูตรคอนกรีตที่ใช้ในการทดลอง

เลือกใช้การผสมคอนกรีตโดยนำหัวน้ำเพราะคอนกรีตที่ได้จะมีคุณภาพดีและมีความแน่นอนของค่ากำลังอัดที่ได้ เหมาะสำหรับงานก่อสร้างคอนกรีตที่มีการควบคุมคุณภาพ และต้องการค่ากำลังอัดปานกลาง สูงหรือสูงมาก โดยสูตรคอนกรีตที่ใช้ในการทดลองแบ่งออกเป็น 2 ส่วน คือ การทดสอบคอนกรีตบล็อกเบื้องต้น และการทดสอบคอนกรีตบล็อกเมื่อผสมเกลือและผงไฟเบอร์ สามารถอธิบายได้ดังนี้

#### 3.2.2.1 การทดสอบคอนกรีตบล็อกเบื้องต้น

ทดสอบแผ่นคอนกรีตบล็อก 2 แบบคือ สูตรผสมพาราฟินร้อยละ 40 และสูตรผสมพาราฟินร้อยละ 60 ดังนี้

- แบบที่ 1 แบ่งออก 3 ชั้น ในชั้นที่ 1 คอนกรีตหนา 30 มิลลิเมตร ชั้นที่ 2 พาราฟินร้อยละ 40 ของหน้าตัด และชั้นที่ 3 ซีเมนต์แกรนิตหนา 15 มิลลิเมตร
- แบบที่ 2 แบ่งออก 3 ชั้น ในชั้นที่ 1 คอนกรีตหนา 30 มิลลิเมตร ชั้นที่ 2 พาราฟินร้อยละ 60 ของหน้าตัด และชั้นที่ 3 ซีเมนต์แกรนิตหนา 15 มิลลิเมตร

โดยตัดสินใจเลือกสูตรที่ให้ผลดีกว่าจากผลการทดสอบสมบัติของคอนกรีต หลังจากนั้นจึงนำสูตรที่เลือกไปทดลองผสมส่วนของเกลือและผงไฟเบอร์ เพื่อศึกษาการเพิ่มของการดูดความชื้นและการถ่ายเทความร้อนต่อไป

#### 3.2.2.2 การทดสอบคอนกรีตบล็อกเมื่อผสมเกลือและผงไฟเบอร์

ทั้งนี้ในส่วนของผิวน้ำคอนกรีตผสมกับหินแกรนิตสีดำนั้น โดยสัดส่วนได้ทดลองผสมส่วนของเกลือเพื่อศึกษาการดูดความชื้นที่เกิดขึ้น และด้านล่างของแผ่นได้ผสมส่วนของผงไฟเบอร์ เพื่อป้องกันการถ่ายเทความร้อนลงสู่พื้นล่างของแผ่นคอนกรีต โดยคอนกรีตชนิดต่างๆ ที่ได้ทำการทดลอง ได้แก่ คอนกรีตผสมไฟเบอร์กลาสร้อยละ 5 ร้อยละ 10 และร้อยละ 15 ของปูนซีเมนต์ และคอนกรีตผสมเกลือร้อยละ 5 ร้อยละ 10 และร้อยละ 15 ของปูนซีเมนต์

### 3.2.3 การเตรียมตัวอย่าง

#### 3.2.3.1 การทดสอบคอนกรีตอีกเบื้องต้น

เตรียมตัวอย่างแผ่นเก็บความร้อน ขนาด  $300 \times 300 \times 50$  มิลลิเมตร จำนวน 36 ตัวอย่าง แบ่งเป็น 2 แบบ แบบละ 9 ตัวอย่าง ในแต่ละชั้นของแผ่นประกอบด้วย ตัวอย่างที่ใช้ทดสอบเป็นการทางนวายแรงดัดตามมาตรฐาน มอง. (มอง.2531-378) ที่กำลังอัดประดับ 250 กิโลกรัมต่อตารางเซนติเมตร

#### 3.2.3.2 การทดสอบคอนกรีตอีกเมื่อผสมเกลือและผงไฟเบอร์

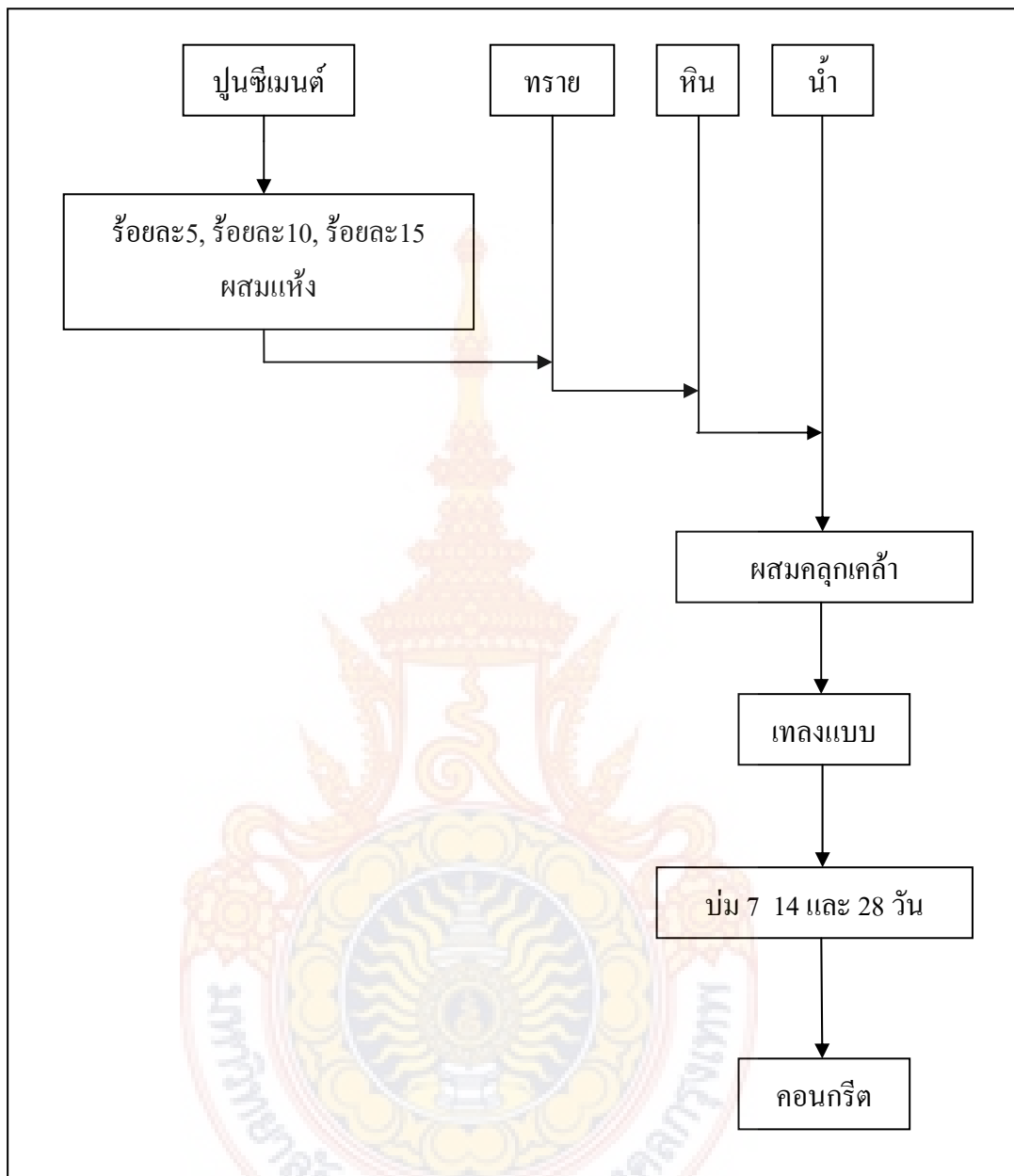
กำหนดสัดส่วนผสมคอนกรีตและปูนอย่างง่ายโดยน้ำหนัก การใช้ปูนซีเมนต์ ปอร์ตแลนด์ ประเภท 1 ตราช้าง มาตรฐานปูนหล่อ ASTM C150 ดังนั้นจึงใช้สัดส่วนของมาตรฐานคอนกรีตเทหหล่อทั่วไป ปูน : ทราย : หิน : น้ำ เท่ากัน  $1:2:4:1$  การออกแบบส่วนผสมของแผ่นคอนกรีตเพื่อใช้ในการทดลองดังตารางที่ 3.1

ตารางที่ 3.1 สัดส่วนการผสมคอนกรีตโดยน้ำหนัก

ร้อยละของปูนซีเมนต์	น้ำหนักปูน (กรัม)	น้ำหนักเกลือ (กรัม)	น้ำหนักไฟเบอร์กลาส (กรัม)
5	2,000	100	100
10	2,000	200	200
15	2,000	300	300

### 3.3 ขั้นตอนการผสม

ขั้นตอนการผสมคอนกรีตได้เขียนแผนผังการผสมดังแสดงในภาพที่ 3.3 ทั้งนี้ในขั้นตอนการผสมได้ผสมและเทลงในแบบเหล็ก โดยวางแผ่นพาราฟินสำเร็จรูปลงบนคอนกรีตเหลวที่ยังไม่เซ็ท ตัว จากนั้นจึงเททับด้วยผ้าหน้าหินแกรนิตผสมเกลือลงไป จากนั้นในขั้นตอนการบ่มน้ำ ได้ทำการบ่มในน้ำเพื่อน้ำค่าที่ได้ไปทดสอบความแข็งแรง ทั้งนี้ยังต้องทำการทดสอบต่าง ๆ เพื่อหาคุณลักษณะเฉพาะของคอนกรีต



ภาพที่ 3.3 แผนผังแสดงการผสมคอนกรีต

### 3.3.1 ขั้นตอนของการเตรียมตัวอย่าง

3.3.1.1 ร่อนหินผ่านตะแกรงขนาด  $3/4$  นิ้ว และล้างทำความสะอาดหิน



ภาพที่ 3.4 ร่อนหินผ่านตะแกรงขนาด  $3/4$  นิ้ว และล้างทำความสะอาดหิน

3.3.1.2 เตรียมทรัพย์เพื่อที่จะนำไปปั้ง

3.3.1.3 ล้างฝุ่นออกจากหินแกรนิตบด



ภาพที่ 3.5 เตรียมหินแกรนิตบด



ภาพที่ 3.6 การเตรียมแผ่นพาราฟิน

### 3.3.1.4 เตรียมปูนซีเมนต์ประเภทที่ 1

3.3.1.5 นำพาราฟินที่ยังเป็นแท่งไปต้มให้ละลายแล้วเทลงในพิมพ์และตัดให้ได้ตามขนาดที่คำนวณไว้

3.3.1.6 ประกอบแบบกระเบื้องคอนกรีตปูนที่จัดทำไว้ ทาน้ำมันเครื่อง เพื่อป้องกันไม่ให้ก้อนตัวอย่างติดกับแบบหล่อ



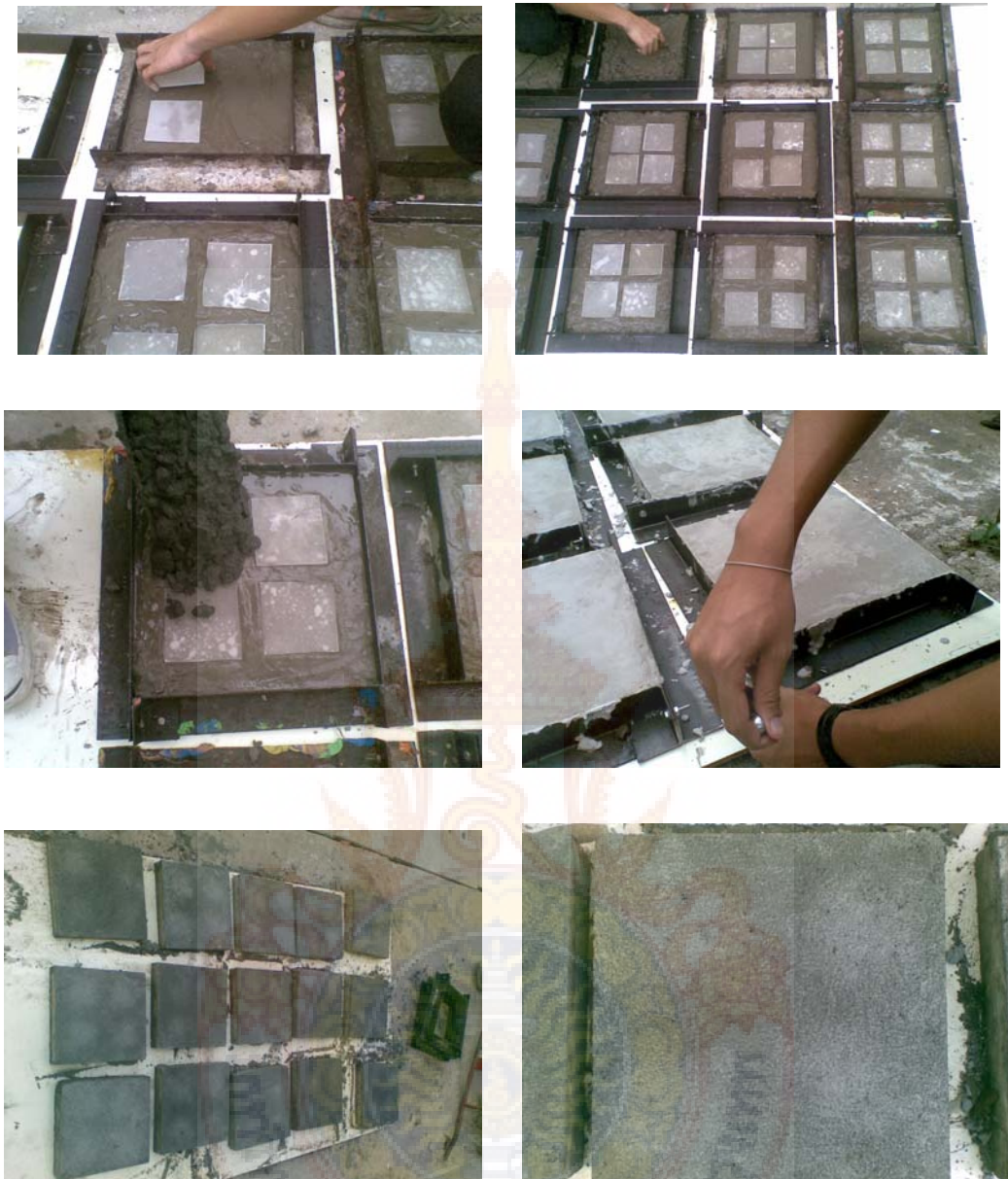
ภาพที่ 3.7 การเตรียมแบบหล่อ และ ทาน้ำมันที่แบบ

### 3.3.2 ขั้นตอนการทำตัวอย่างแผ่นกระเบื้องคอนกรีต

3.3.2.1 ผสมคอนกรีตตามมาตรฐานมอก. ในอัตราส่วนที่ได้คำนวณไว้ตามรายการคำนวณ และเทคโนโลยีในแบบหล่อที่เตรียมไว้โดยคอนกรีตมีความหนา 50 มิลลิเมตร ทึ้งไว้จนแผ่นตัวอย่างแห้งหรือ 24 ชั่วโมงแล้วจึงถอดออกจากแบบ



ภาพที่ 3.8 การผสมและถอดแบบคอนกรีตตามมาตรฐาน มอก. 378-2531



ภาพที่ 3.9 ลักษณะของแผ่นพาราฟินและการถอดออกจากแบบ

### 3.4 การทดสอบสมบัติของคอนกรีต

#### 3.4.1 การทดสอบมิติ

อุปกรณ์ที่ใช้ในการทดสอบ มีอ เวอร์เนียร์คัลิปเปอร์ และตัวบันเมตร

วิธีการทดสอบ โดยการวัดขนาดมิติของตัวอย่างทดสอบด้วยเวอร์เนียร์คัลิปเปอร์ พิจารณา ด้านคู่ขนานที่ผิวน้ำเรียบร นำเวอร์เนียร์คัลิปเปอร์วัดขนาดความกว้าง ยาว และหนาของตัวอย่าง ทดสอบ และบันทึกผลในตารางที่ 3.2

### ตารางที่ 3.2 ผลการทดสอบมิตริของแผ่นคอนกรีตบล็อก

### 3.4.2 การทดสอบค่าความแข็งแรง (การทดสอบแรงอัดหรือกำลังอัดของคอนกรีต)

อุปกรณ์ที่ใช้ทดสอบแรงอัดคอนกรีต ดังนี้

- 1) เครื่องทดสอบกำลังอัดคอนกรีต มาตรฐานเครื่อง BS1610 Part1:1992 (UNIT TEST SCIENTIFIC)
- 2) เครื่องซั่งน้ำหนัก
- 3) เวอร์เนียร์คลิปเปอร์
- 4) ตลับเมตร

วิธีการทดสอบแรงอัดคอนกรีต มีลำดับขั้นตอนดังนี้

- 1) วัดขนาดมิติของตัวอย่างทดสอบด้วยเวอร์เนียร์คลิปเปอร์
- 2) ตัวอย่างทดสอบ พิจารณาด้านคู่ข้างนาที่ผิวน้ำเรียบ นำเวอร์เนียร์คลิปเปอร์วัดขนาดความกว้าง ยาว และหนาของตัวอย่างทดสอบ
- 3) นำตัวอย่างทดสอบเข้าเครื่องทดสอบกำลังอัดคอนกรีต นำตัวอย่าง
- ทดสอบเข้าเครื่องทดสอบกำลังอัดคอนกรีต
- 5) ตัวอย่างทดสอบนำด้านที่เลือกเข้าไว้วางบนแท่นของเครื่องทดสอบกำลังอัดคอนกรีต
- 6) ตำแหน่งของแนวแกนของตัวอย่างทดสอบต้องตรงกับแนวศูนย์กลางของน้ำหนักกดและผิวแทนต้องสัมผัสกับแท่นทดสอบแบบสนิท
- 7) การควบคุมอัตราการกดของเครื่องทดสอบกำลังอัดคอนกรีตอย่างสม่ำเสมอและไม่กระตุก เครื่องทดสอบแบบหมุดเกลียว (Screw-type) จะต้องเป็นเครื่องที่หัวกดสามารถเคลื่อนที่ด้วยความเร็วประมาณ 1.3 มิลลิเมตร/นาที เครื่องทดสอบแบบไฮดรอลิก ต้องเป็นเครื่องที่สามารถให้น้ำหนักกดด้วยอัตราคงที่ อยู่ในช่วง 0.14 ถึง 0.34 นิวตันต่อตารางมิลลิเมตรต่อวินาที ในช่วงครึ่งแรกของน้ำหนักกดสูงสุดที่ตัวอย่างทดสอบจะรับได้นั้น ยอมให้ใช้อัตราการกดสูงกว่ากำหนดได้ และในการควบคุมเครื่องทดสอบจะที่ตัวอย่างทดสอบถึงจุดครากอย่างรวดเร็วทันทีก่อนถึงจุดประดับ ห้ามปรับอัตราการกดหรือส่วนใด ๆ ของเครื่องทดสอบแรงอัดคอนกรีต
- 8) กดจนกระแท้ตัวอย่างทดสอบถึงจุดประดับ บันทึกค่าน้ำหนักกดสูงสุดที่แท่นทดสอบสามารถรับได้ และบันทึกรูปถ่ายขณะการแตกของตัวอย่างทดสอบลงในตารางที่ 3.3



ภาพที่ 3.10 การทดสอบแรงอัดคอนกรีต

ตารางที่ 3.3 ค่าความต้านแรงดัดตามขวางของคอนกรีต

ตัวอย่าง	แรงที่กด ได้ (P) (นิวตัน)	ความ หนา (t)	ความ กว้าง (b)	ความ ยาว (L)	ระยะห่าง (l) = 2L/3	ค่า $f = \frac{3Pl}{2bt^2}$	ค่าเฉลี่ย (f) 3 แผ่น
1							
2							
3							

### 3.4.3 การทดสอบค่าการดูดซึมน้ำของคอนกรีต

ทำการทดสอบการดูดซึมน้ำของคอนกรีตเพื่อความชื้นของคอนกรีตและความสามารถในการดูดซึมน้ำ โดยการวัดน้ำหนักที่เปลี่ยนแปลงไปก่อนและหลังการนำคอนกรีตแช่ลงในน้ำเป็นเวลา 1 ชั่วโมง

#### วิธีการทดสอบ

- 1) แช่กระเบื้องตัวอย่างในน้ำที่มีอุณหภูมิ  $23 \pm 2$  องศาเซลเซียส โดยให้ผิวน้ำอยู่เหนือผิวน้ำของกระเบื้องตัวอย่างไม่น้อยกว่า 25 มิลลิเมตร และไม่เกิน 50 มิลลิเมตร ซึ่งเป็นเวลา  $24 \pm \frac{1}{2}$  ชั่วโมง ดังภาพที่ 3.11
- 2) นำกระเบื้องตัวอย่างขึ้นจากน้ำใช้ผ้าซับผิวภายนอกให้แห้งแล้วนำไปชั่งน้ำหนักได้ค่า ( $M_2$ )
- 3) วางกระเบื้องตัวอย่างในตู้อบโดยที่กระเบื้องตัวอย่างต้องห่างจากผิวที่ให้ความร้อน หรือกระเบื้องตัวอย่างแผ่นอื่นอย่างน้อย 25 มิลลิเมตร อบให้แห้งที่อุณหภูมิ  $65 \pm 1$  องศาเซลเซียสเป็นเวลา 24 ชั่วโมง ดังภาพที่ 3.12
- 4) ปล่อยให้เย็นที่อุณหภูมิห้องแล้วชั่งค่า ( $M_1$ )
- 5) นำค่าที่ได้จากการชั่งที่ก่อนอบและหลังอบ หรือ ( $M_2$ ), ( $M_1$ ) มาคำนวณหาค่าการดูดซึมน้ำของน้ำ และบันทึกค่าในตารางที่ 3.4



ภาพที่ 3.11 การ เช่นน้ำเพื่อ วัดค่าการ ดูดซึมน้ำ



ภาพที่ 3.12 การ อบแห้ง คอนกรีตบล็อก เพื่อ หา การ ดูดซึมน้ำ

ตารางที่ 3.4 ค่าการดูดซึมน้ำของคอนกรีต

ตัวอย่าง	มวลตัวอย่างอบแห้ง ( $M_1$ , กิโลกรัม)				มวลตัวอย่างอิ่มน้ำ ( $M_2$ , กิโลกรัม)				ร้อยละ การดูดซึมน้ำ $[(M_2 - M_1)/M_1] * 100$
	ครั้งที่ 1	ครั้งที่ 2	ครั้งที่ 3	ค่าเฉลี่ย	ครั้งที่ 1	ครั้งที่ 2	ครั้งที่ 3	ค่าเฉลี่ย	
คอนกรีต มาตรฐาน									
ร้อยละ 40									
ร้อยละ 60									
5 : 5									
10 : 5									
15 : 5									
5 : 10									
10 : 10									
15 : 10									

#### 3.4.4 การทดสอบการสะสานความร้อนของคอนกรีต

วัสดุและอุปกรณ์นี้จะต้องประกอบไปด้วยคอนกรีตชนิดต่างๆ ที่ได้ทำการทดลอง โดยในการทดสอบการสะสานความร้อนนั้นจำเป็นที่จะต้องมีตู้อบความร้อน เพื่อใช้ในการควบคุมการทำงานของการจ่ายกระแสไฟและการให้อุณหภูมิต่อเครื่องวัดค่าความร้อน ดังแสดงในภาพที่ 3.13



ภาพที่ 3.13 การทดสอบการสะさまความร้อนของแผ่นคอนกรีตบล็อก

#### วิธีการทดสอบ

- 1) เตรียมแผ่นคอนกรีตตัวอย่างทั้ง 3 แผ่นไปภาคแเดคจนแห้ง
- 2) วัดแผ่นคอนกรีตตัวอย่างที่ตำแหน่งจุดศูนย์กลางและเจาะรูที่ ความลึก 250 มิลลิเมตร



ภาพที่ 3.14 การเจาะรูแผ่นทดสอบเพื่อหาค่าความร้อนของแผ่นตัวอย่าง

- 3) นำแผ่นคอนกรีตตัวอย่างทั้ง 3 แผ่นไปภาคแเดคเพื่อวัดอุณหภูมิในช่วงเวลาต่างๆ เพื่อหาอุณหภูมิสูงสุด



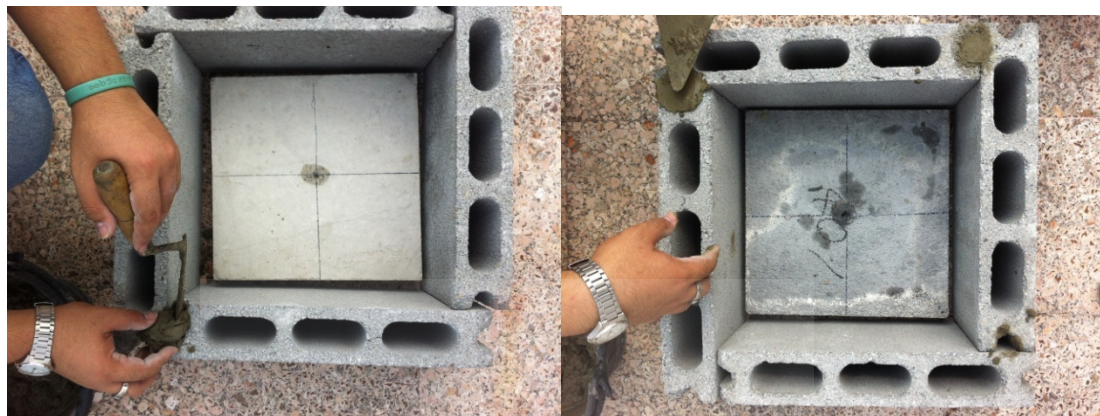
ภาพที่ 3.15 การทดสอบวัดค่าความร้อนจากแผ่นตัวอย่าง

- 4) นำกระเบื้องคอนกรีตตัวอย่างทั้ง 3 แผ่นที่วัดอุณหภูมิแล้วไปปอนในตู้อบที่อุณหภูมิสูงสุดที่วัดได้ในขั้นตอนที่ 3 เพื่อวัดหาการคายความร้อนของกระเบื้องคอนกรีตตัวอย่างทั้ง 3 แผ่น



ภาพที่ 3.16 การทดสอบหาเวลาที่ทำให้แผ่นตัวอย่างมีอุณหภูมิเท่ากับอุณหภูมิปกติ

- 5) สร้างกล่องขนาด  $390 \times 390 \times 190$  มิลลิเมตร เพื่อนำกระเบื้องคอนกรีตไปทดสอบหาค่าความร้อน
- 6) เตรียมอิฐบล็อกเพื่อสร้างเป็นกล่องสี่เหลี่ยมเพื่อวางแผ่นกระเบื้องคอนกรีต



ภาพที่ 3.17 เตรียมกล่องทดสอบเพื่อหาค่าความร้อนของแผ่นทดสอบ

- 7) เจาะรูทึ่กกลางแผ่นอะคริลิกขนาด 5 มิลลิเมตรเพื่อใส่เครื่องวัดอุณหภูมิ
- 8) นำแผ่นอะคริลิกวางปิดด้านบนกล่องอิฐบล็อกแล้วนำซิลิโคนอุดแนวที่สัมผัสนับกล่องอิฐบล็อกให้สนิท



ภาพที่ 3.18 การปิดรอยต่อระหว่างแผ่นอะคริลิกกับอิฐบล็อกคอนกรีต

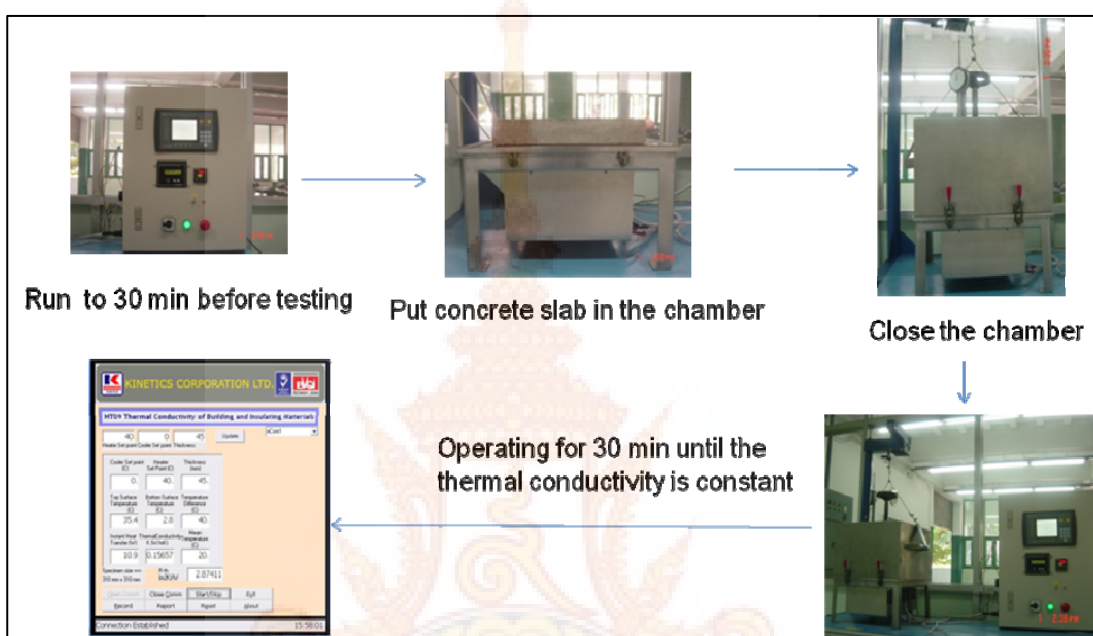
- 9) ทำการวัดอุณหภูมิภายในกล่องตัวอย่างและภายนอกกล่องในช่วงเวลาต่างๆ

การออกแบบตารางเก็บข้อมูลผลการทดลองเพื่อวัดค่าการสะสมความร้อนของแผ่นคอนกรีตบล็อกชนิดต่างๆ โดยวัดผล 4 ช่วงเวลา คือ 8.00 น. 12.00 น. 15.00 น. 18.00 น. และ 21.00 น. ดังตารางที่ 3.5

ตารางที่ 3.5 ผลการทดสอบการสะสูมความร้อนของคอนกรีต

### 3.4.5 การทดสอบการนำความร้อนของคอนกรีต

การทดสอบการนำความร้อนของคอนกรีต เป็นการศึกษาสมบัติทางความร้อนของชิ้นคอนกรีตที่ผสมด้วยวัสดุต่างๆ ในการศึกษาสมบัติทางความร้อนได้ทดสอบตามมาตรฐาน ASTM 177 C ดังภาพที่ 3.19

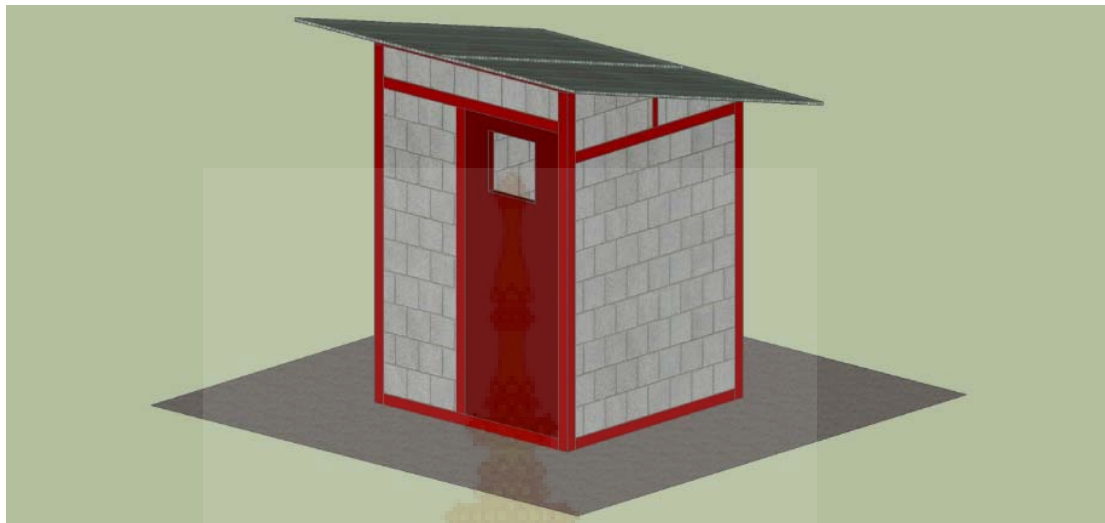


ภาพที่ 3.19 แผนการทดลองวัดค่าความร้อน

## 3.5 การสร้างโรงตันแบบในการทดสอบประสิทธิภาพของแผ่นคอนกรีต

### 3.5.1 ลักษณะโครงสร้างโรงตันแบบ

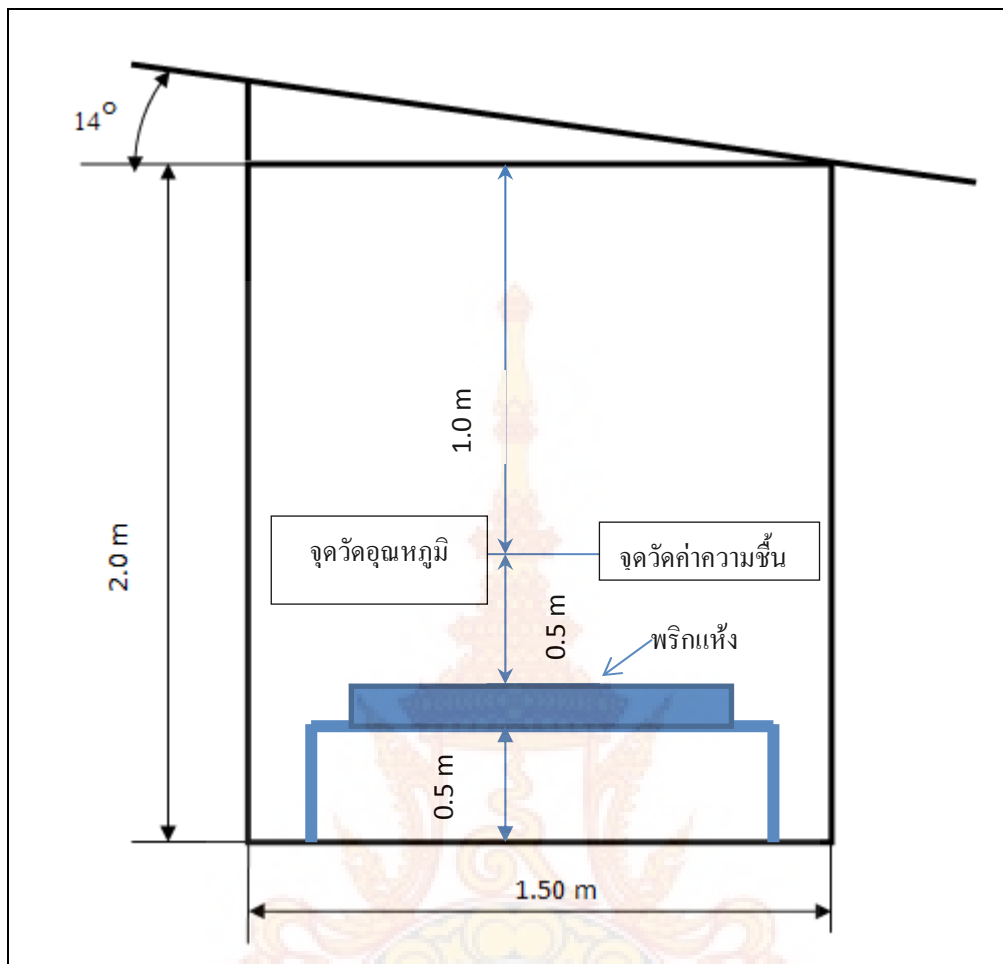
คอนกรีตที่ผ่านการทดสอบในส่วนผสมที่ถูกต้องและมีค่าที่เหมาะสมจากการทดลอง จะนำมาใช้วางเป็นแผ่นปูพื้นในโรงตันแบบเพื่อทำการวัดค่าปริมาณความชื้นที่เกิดขึ้นภายในโรงอบ โดยกำหนดให้มีขนาดของพื้นที่ในการวางคือ  $1.50 \times 1.50$  เมตร และผนังของโรงตันแบบก่อด้วยอิฐ บล็อกตามขนาดมาตรฐานในการก่อสร้างทั่วไป โดยมีการกำหนดความสูงเป็น 2.00 เมตร โดยรายละเอียด ดังภาพที่ 3.20 และในภาคผนวก ข



ภาพที่ 3.20 แบบรายละเอียด โรงตันแบบ

### 3.5.2 วิธีการทดลองวัดค่าอุณหภูมิของความร้อนในห้องอบแห้ง

การอบแห้งเป็นกระบวนการลดความชื้นของผลิตภัณฑ์ทางเกษตรเพื่อป้องกันการเสื่อมเสีย ซึ่งทำให้เชื้อรากินทรัพย์ไม่สามารถเจริญเติบโตได้ ซึ่งถือว่าเป็นการยืดอายุการเก็บรักษา วิธีการทดลองในการวัดค่าอุณหภูมิของความร้อนในห้องอบแห้งนั้น อาศัยศักยภาพในมีความชื้นคงที่ การเพิ่มอุณหภูมิเป็นการเพิ่มความสามารถในการรับไอน้ำ จึงมีผลต่อการทำให้อัตราการแห้งคงที่ และอุณหภูมิที่สูงขึ้นทำให้การแพร่กระจายของน้ำดีขึ้น จึงมีผลต่อช่วงการทำแห้งลดลงด้วย ซึ่งความชื้นในอากาศมักเรียกเป็นความชื้นสัมพัทธ์ (Relative humidity) คืออัตราส่วนระหว่างปริมาณความชื้นที่มีอยู่จริงในอากาศกับปริมาณความชื้นอิ่มตัวที่อุณหภูมิเดียวกัน ถ้าอากาศชื้นมากจะมีความชื้นสัมพัทธ์ร้อยละ 100 นั่นหมายความว่าอากาศรับความชื้นได้เต็มที่แล้ว ไม่สามารถรับความชื้นได้อีกโดยทั้งนี้ได้ทำการทดลองวัดค่าความชื้นและวัดอุณหภูมิภายในห้องอบแห้ง โดยการทดลองนี้ได้ใช้พريกซ์ฟ้าแห้งในห้องคลอดมารทำการทดลองเพื่อหาความสัมพันธ์ของความชื้นและอุณหภูมิห้องอบแห้งที่ทำให้พريกแห้งเก็บได้ยาวนานขึ้น โดยรายละเอียด ดังภาพที่ 3.21



ภาพที่ 3.21 ตำแหน่งการทดลองวัดค่าความชื้นและวัดอุณหภูมิกายในห้องอบแห้ง

## บทที่ 4

### ผลการวิจัย

#### 4.1 ผลการทดสอบสมบัติค่อนกรีตบล็อกเบื้องต้น

โดยออกแบบการทดสอบแผ่นค่อนกรีตบล็อก 2 แบบคือ สูตรทดสอบพาราฟินร้อยละ 40 และ สูตรทดสอบพาราฟินร้อยละ 60 ดังนี้

- แบบที่ 1 แบ่งออก 3 ชั้น ในชั้นที่ 1 ค่อนกรีตหนา 30 มิลลิเมตร ชั้นที่ 2 พาราฟิน ร้อยละ 40 ของหน้าตัด และชั้นที่ 3 ซีเมนต์แกรนิตหนา 15 มิลลิเมตร
- แบบที่ 2 แบ่งออก 3 ชั้น ในชั้นที่ 1 ค่อนกรีตหนา 30 มิลลิเมตร ชั้นที่ 2 พาราฟิน ร้อยละ 60 ของหน้าตัด และชั้นที่ 3 ซีเมนต์แกรนิตหนา 15 มิลลิเมตร

ซึ่งสามารถสรุปผลการทดสอบสมบัติของค่อนกรีตบล็อกทั้ง 2 แบบ เปรียบเทียบกับ ค่อนกรีตบล็อคมาตรฐาน โดยมีรายละเอียดการทดสอบดังนี้

##### 4.1.1 การทดสอบมิติ

การเปรียบเทียบมิติแผ่นค่อนกรีตบล็อกปูพื้นกับมาตรฐานผลิตภัณฑ์อุตสาหกรรม มอก. 378-2531 ซึ่งต้องมีเกณฑ์การคลадเคลื่อนไม่เกิน 3 มิลลิเมตรจากค่าค่อนกรีตมาตรฐาน คือ ความหนา 50 มิลลิเมตร ความกว้าง 300 มิลลิเมตร และความยาว 300 มิลลิเมตร ได้ผลดังตารางที่ 4.1

ตารางที่ 4.1 ผลการทดสอบมิติของแผ่นคอนกรีตบล็อก

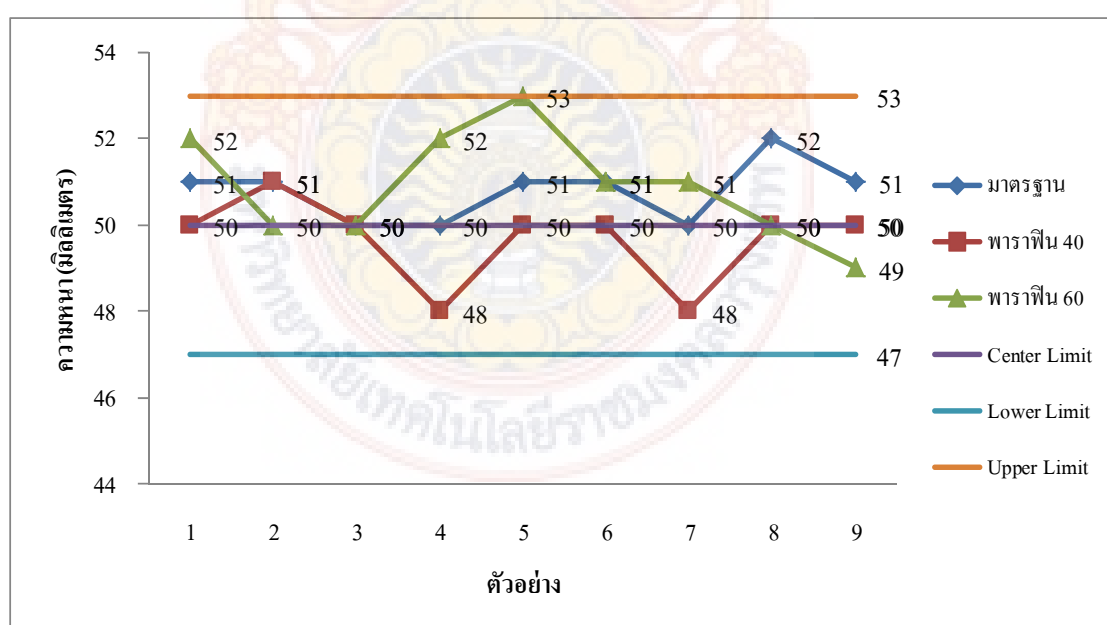
ตัวอย่าง	ความหนา (มิลลิเมตร)			ความกว้าง (มิลลิเมตร)			ความยาว (มิลลิเมตร)		
	มาตรฐาน	พาราฟิน 40	พาราฟิน 60	มาตรฐาน	พาราฟิน 40	พาราฟิน 60	มาตรฐาน	พาราฟิน 40	พาราฟิน 60
1	51	50	52	300	297	300	301	300	300.5
2	51	51	50	299	299	300	301	300	300
3	50	50	50	301	300	299	301	300	302.5
4	50	48	52	298	300	300	303	301	303
5	51	50	53	301	297	298	303	300	301
6	51	50	51	301	300	298	303	302	301
7	50	48	51	300	300	298	302	301	300
8	52	50	50	300	297	301	302	300	301
9	51	50	49	300	300	298	302	302	300
ค่าเฉลี่ย (มิลลิเมตร)	50.78	49.67	50.89	300.00	298.89	299.11	302.00	300.67	301.00

โดยสรุปพบว่า ค่าความหนาเฉลี่ยของคอนกรีตบล็อกมาตรฐานเท่ากับ 50.78 มิลลิเมตร คอนกรีตบล็อกผสมพาราฟินร้อยละ 40 เท่ากับ 49.67 มิลลิเมตร และคอนกรีตบล็อกผสมพาราฟินร้อยละ 60 เท่ากับ 50.89 มิลลิเมตร สำหรับค่าความกว้างเฉลี่ยของคอนกรีตบล็อกมาตรฐานเท่ากับ 300 มิลลิเมตร คอนกรีตบล็อกผสมพาราฟินร้อยละ 40 เท่ากับ 298.89 มิลลิเมตร และคอนกรีตบล็อกผสมพาราฟินร้อยละ 60 เท่ากับ 299.11 มิลลิเมตร ในส่วนค่าความยาวเฉลี่ยของคอนกรีตบล็อกมาตรฐานเท่ากับ 302 มิลลิเมตร คอนกรีตบล็อกผสมพาราฟินร้อยละ 40 เท่ากับ 300.67 มิลลิเมตร และคอนกรีตบล็อกผสมพาราฟินร้อยละ 60 เท่ากับ 301 มิลลิเมตร

จากการทดสอบมิติของคอนกรีตบล็อก สามารถนำไปวิเคราะห์ด้วยแผนภูมิพิกัดควบคุม เพื่อดูขอบเขตของมิติแผ่นคอนกรีตบล็อกที่ทดสอบว่าอยู่ในช่วงพิกัดของค่ามาตรฐานหรือไม่ และวิเคราะห์หาความแตกต่างด้านมิติระหว่างคอนกรีตบล็อกมาตรฐานกับคอนกรีตบล็อกผสมพาราฟิน โดยใช้การทดสอบสมมติฐานด้วยวิเคราะห์ความแปรปรวนแบบทางเดียว One Way Analysis of Variance (One Way ANOVA) ซึ่งสามารถสรุปได้ดังนี้

#### 4.1.1.1 ความหนา

แผนภูมิพิกัดควบคุมมิติด้านความหนาแสดงดังภาพที่ 4.1



ภาพที่ 4.1 แผนภูมิพิกัดควบคุมมิติด้านความหนาของคอนกรีตบล็อก

จากภาพที่ 4.1 มิติด้านความหนาของคอนกรีตบล็อก มีค่ามาตรฐานเท่ากับ  $50 \pm 3$  มิลลิเมตร คืออยู่ในช่วง  $47 - 53$  มิลลิเมตร พนว่าทั้งคอนกรีตบล็อกมาตรฐาน คอนกรีตบล็อกผสมพาราฟินร้อยละ 40 และคอนกรีตบล็อกผสมพาราฟินร้อยละ 60 ให้ค่าความหนาอยู่ในมาตรฐานที่กำหนด

หลังจากนั้นทำการวิเคราะห์ความแตกต่างของมิติด้านความหนา ด้วยการวิเคราะห์ความแปรปรวนแบบทางเดียว One Way Analysis of Variance (One Way ANOVA) โดยดึงสมมติฐานหลักได้ว่า มิติด้านความหนาของคอนกรีตบล็อกมาตรฐาน คอนกรีตบล็อกผสมพาราฟินร้อยละ 40 และคอนกรีตบล็อกผสมพาราฟินร้อยละ 60 ไม่แตกต่างกัน ที่ระดับความเชื่อมั่นร้อยละ 99

$$\text{สมมติฐาน } H_0 : \mu_1 = \mu_2 = \mu_3$$

$$H_1 : \mu_1 \neq \mu_2 \neq \mu_3 \text{ อ่ายาน้อย 1 ค่า}$$

เมื่อ  $\mu_1$  = ค่าเฉลี่ยความหนาของคอนกรีตบล็อกมาตรฐาน

$\mu_2$  = ค่าเฉลี่ยความหนาของคอนกรีตบล็อกผสมพาราฟินร้อยละ 40

$\mu_3$  = ค่าเฉลี่ยความหนาของคอนกรีตบล็อกผสมพาราฟินร้อยละ 60

การตัดสินใจที่ระดับนัยสำคัญ  $\alpha = 0.01$

ผลการทดสอบสมมติฐานมิติด้านความหนา ได้ผลดังตารางที่ 4.2

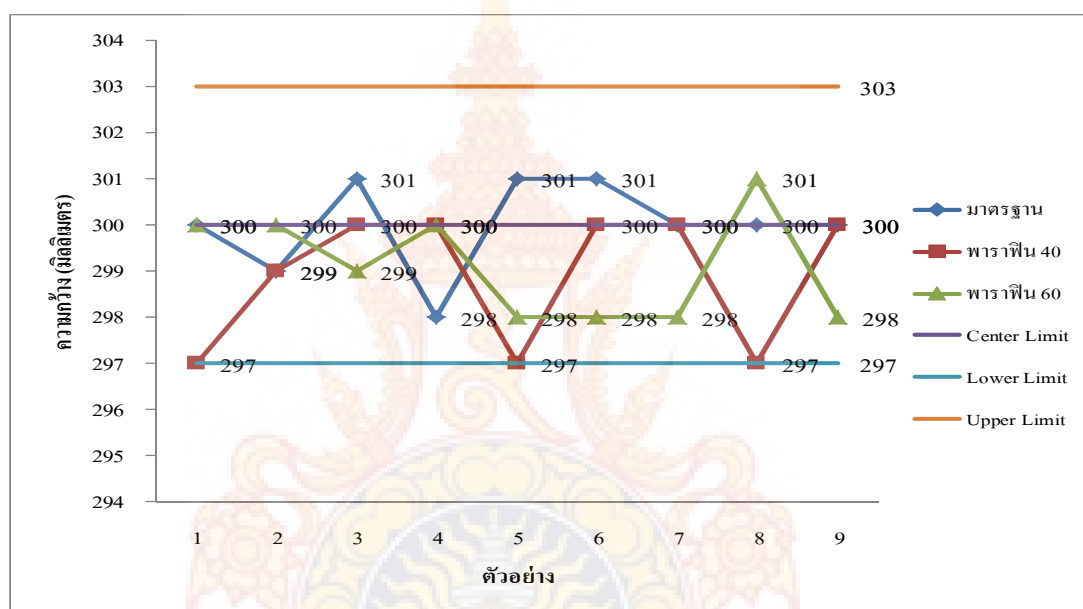
ตารางที่ 4.2 การเปรียบเทียบมิติด้านความหนาของคอนกรีตบล็อก จำแนกตามประเภทส่วนผสมของคอนกรีต

แหล่งข้อมูล	DF	SS	MS	F	P
ความหนา	2	8.22	4.11	4.04	0.031
Error	24	24.44	1.02		
Total	26	32.67			
ประเภทของ คอนกรีตบล็อก		จำนวน (แผ่น)	มิติด้านความหนา		
มาตรฐาน	9		ค่าเฉลี่ย	ค่าเบี่ยงเบนมาตรฐาน	
พาราฟิน 40	9		50.778	0.667	
พาราฟิน 60	9		49.667	1.000	
			50.889	1.269	

จากตารางที่ 4.2 พบว่า ค่า P-value เท่ากับ 0.031 มีค่ามากกว่า ระดับนัยสำคัญที่ 0.01 จึงไม่สามารถปฏิเสธสมมติฐานหลักได้ ดังนั้นจึงสรุปได้ว่า มิติด้านความหนาของคอนกรีตบล็อกมาตรฐาน คอนกรีตบล็อกผสมพาราฟินร้อยละ 40 และคอนกรีตบล็อกผสมพาราฟินร้อยละ 60 ไม่แตกต่างกันที่ระดับนัยสำคัญ 0.01 หรือที่ระดับความเชื่อมั่นร้อยละ 99

#### 4.1.1.2 ความกว้าง

แผนภูมิพิกัดควบคุมมิติด้านความกว้างแสดงดังภาพที่ 4.2



ภาพที่ 4.2 แผนภูมิพิกัดควบคุมมิติด้านความกว้างของคอนกรีตบล็อก

จากภาพที่ 4.2 มิติด้านความกว้างของคอนกรีตบล็อก มีค่ามาตรฐานเท่ากับ  $300 \pm 3$  มิลลิเมตร คืออยู่ในช่วง 297 – 303 มิลลิเมตร พบว่าทั้งคอนกรีตบล็อกมาตรฐาน คอนกรีตบล็อกผสมพาราฟินร้อยละ 40 และคอนกรีตบล็อกผสมพาราฟินร้อยละ 60 ให้ค่าความกว้างอยู่ในมาตรฐานที่กำหนด

หลังจากนั้นทำการวิเคราะห์ความแตกต่างของมิติด้านความกว้าง ด้วยการวิเคราะห์ความแปรปรวนแบบทางเดียว One Way Analysis of Variance (One Way ANOVA) โดยตั้งสมมติฐานหลักได้ว่า มิติด้านความกว้างของคอนกรีตบล็อกมาตรฐาน คอนกรีตบล็อกผสมพาราฟินร้อยละ 40 และคอนกรีตบล็อกผสมพาราฟินร้อยละ 60 ไม่แตกต่างกัน ที่ระดับความเชื่อมั่นร้อยละ 99

$$\text{สมมติฐาน } H_0 : \mu_1 = \mu_2 = \mu_3$$

$$H_1 : \mu_1 \neq \mu_2 \neq \mu_3 \text{ อย่างน้อย 1 ค่า}$$

เมื่อ  $\mu_1$  = ค่าเฉลี่ยความกว้างของคอนกรีตบล็อกมาตรฐาน

$\mu_2$  = ค่าเฉลี่ยความกว้างของคอนกรีตบล็อกผสมพาราฟินร้อยละ 40

$\mu_3$  = ค่าเฉลี่ยความกว้างของคอนกรีตบล็อกผสมพาราฟินร้อยละ 60

การตัดสินใจที่ระดับนัยสำคัญ  $\alpha = 0.01$

ผลการทดสอบสมมติฐานมิติค้านความกว้าง ได้ผลดังตารางที่ 4.3

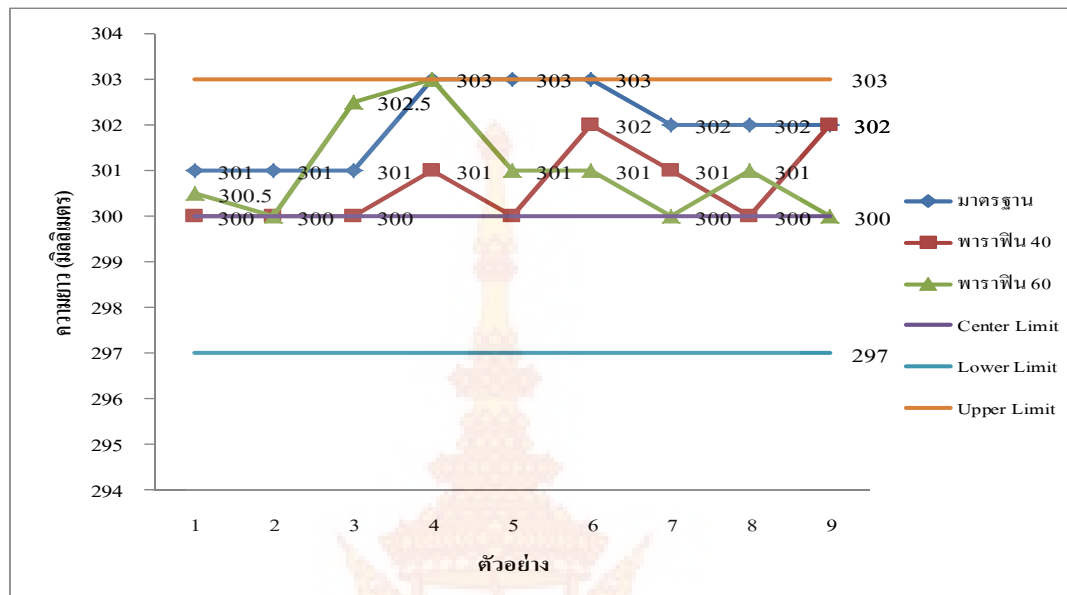
ตารางที่ 4.3 การเปรียบเทียบมิติค้านความกว้างของคอนกรีตบล็อก จำแนกตามประเภทส่วนผสมของคอนกรีต

แหล่งข้อมูล	DF	SS	MS	F	P
ความกว้าง	2	6.22	3.11	2.09	0.146
Error	24	35.78	1.49		
Total	26	42.00			
ประเภทของ		จำนวน		มิติค้านความกว้าง	
คอนกรีตบล็อก	(แผ่น)		ค่าเฉลี่ย	ค่าเบี่ยงเบนมาตรฐาน	
มาตรฐาน	9	300.00		1.00	
พาราฟิน 40	9	298.89		1.45	
พาราฟิน 60	9	299.11		1.17	

จากตารางที่ 4.3 พนว่า ค่า P-value เท่ากับ 0.146 มีค่ามากกว่า ระดับนัยสำคัญที่ 0.01 จึงไม่สามารถปฏิเสธสมมติฐานหลักได้ ดังนั้นจึงสรุปได้ว่า มิติค้านความกว้างของคอนกรีตบล็อกมาตรฐาน คอนกรีตบล็อกผสมพาราฟินร้อยละ 40 และคอนกรีตบล็อกผสมพาราฟินร้อยละ 60 ไม่แตกต่างกันที่ระดับนัยสำคัญ 0.01 หรือที่ระดับความเชื่อมั่นร้อยละ 99

#### 4.1.1.3 ความเยา

แผนภูมิพิกัดควบคุมมิติด้านความเยาแสดงดังภาพที่ 4.3



ภาพที่ 4.3 แผนภูมิพิกัดควบคุมมิติด้านความเยาของคอนกรีตบล็อก

จากภาพที่ 4.3 มิติด้านความเยาของคอนกรีตบล็อก มีค่ามาตรฐานเท่ากับ  $300 \pm 3$  มิลลิเมตร คืออยู่ในช่วง 297 – 303 มิลลิเมตร พบว่าห้องคอนกรีตบล็อกมาตรฐาน คอนกรีตบล็อก ผสมพาราฟินร้อยละ 40 และคอนกรีตบล็อกผสมพาราฟินร้อยละ 60 ให้ค่าความเยาอยู่ในช่วงพิกัดบน แต่ก็อยู่ในมาตรฐานที่กำหนด

หลังจากนั้นทำการวิเคราะห์ความแตกต่างของมิติด้านความเยา ด้วยการวิเคราะห์ความแปรปรวนแบบทางเดียว One Way Analysis of Variance (One Way ANOVA) โดยตั้งสมมติฐาน หลักได้ว่า มิติด้านความกว้างของคอนกรีตบล็อกมาตรฐาน คอนกรีตบล็อกผสมพาราฟินร้อยละ 40 และคอนกรีตบล็อกผสมพาราฟินร้อยละ 60 ไม่แตกต่างกัน ที่ระดับความเชื่อมั่นร้อยละ 99

$$\text{สมมติฐาน } H_0 : \mu_1 = \mu_2 = \mu_3$$

$$H_1 : \mu_1 \neq \mu_2 \neq \mu_3 \text{ อ้างน้อย 1 ค่า}$$

เมื่อ  $\mu_1$  = ค่าเฉลี่ยความเยาของคอนกรีตบล็อกมาตรฐาน

$\mu_2$  = ค่าเฉลี่ยความเยาของคอนกรีตบล็อกผสมพาราฟินร้อยละ 40

$\mu_3$  = ค่าเฉลี่ยความเยาของคอนกรีตบล็อกผสมพาราฟินร้อยละ 60

การตัดสินใจที่ระดับนัยสำคัญ  $\alpha = 0.01$

ผลการทดสอบสมมติฐานมิติด้านความยาว ได้ผลดังตารางที่ 4.4

**ตารางที่ 4.4 การเปรียบเทียบมิติด้านความยาวของคอนกรีตลือค จำแนกตามประเภทส่วนผสมของคอนกรีต**

แหล่งข้อมูล	DF	SS	MS	F	P
ความยาว	2	8.667	4.333	4.84	0.017
Error	24	21.500	0.896		
Total	26	30.167			
ประเภทของ คอนกรีตลือค		จำนวน (แผ่น)	มิติด้านความยาว		
			ค่าเฉลี่ย	ค่าเบี่ยงเบนมาตรฐาน	
มาตรฐาน	9	302.00	0.866		
พาราฟิน 40	9	300.667	0.866		
พาราฟิน 60	9	301.00	1.090		

จากตารางที่ 4.4 พบร่วมกันว่า ค่า P-value ที่ 0.017 มีค่ามากกว่า ระดับนัยสำคัญที่ 0.01 จึงไม่สามารถปฏิเสธสมมติฐานหลักได้ ดังนั้นจึงสรุปได้ว่า มิติด้านความยาวของคอนกรีตลือค มาตรฐาน คอนกรีตลือคผสมพาราฟินร้อยละ 40 และคอนกรีตลือคผสมพาราฟินร้อยละ 60 ไม่แตกต่างกันที่ระดับนัยสำคัญ 0.01 หรือที่ระดับความเชื่อมั่นร้อยละ 99

### สรุปผลการทดสอบด้านมิติ

ดังนี้สามารถสรุปผลการทดสอบด้านมิติได้ว่า มิติด้านความหนา ความกว้าง และความยาว ของทั้งคอนกรีตลือคมาตรฐาน คอนกรีตลือคผสมพาราฟินร้อยละ 40 และคอนกรีตลือคผสมพาราฟินร้อยละ 60 ให้ค่าเฉลี่ยอยู่ในช่วงมาตรฐานและผลไม่แตกต่างกัน

#### 4.1.2 การทดสอบค่าความแข็งแรง (การทดสอบแรงอัดหรือกำลังอัดของคอนกรีต)

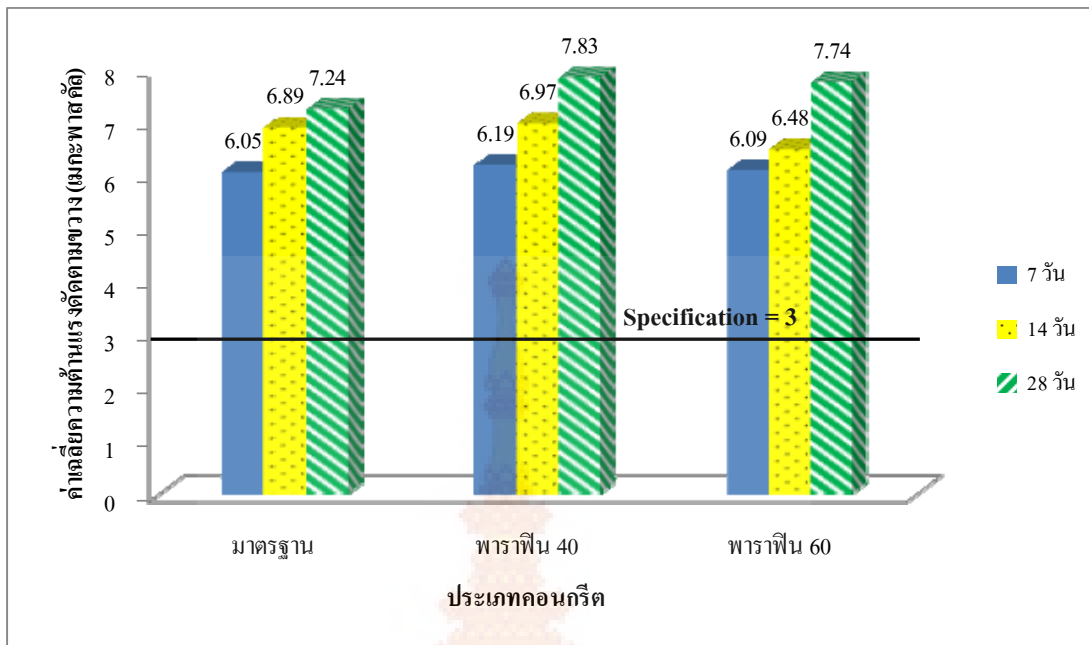
การทดสอบค่าความแข็งแรงของคอนกรีตลือค วัดได้จากค่าความต้านแรงดัดตามขวาง โดยมาตรฐานผลิตภัณฑ์อุตสาหกรรม มอก.378-2531 กำหนดให้การรับแรงดัดตามขวางของ คอนกรีตปูพื้นต้องมีค่าไม่น้อยกว่า 2.5 เมกะพาสคัล และค่าเฉลี่ยไม่น้อยกว่า 3 เมกะพาสคัล

การทดสอบค่าความด้านแรงดัดตามขวาง ต้องนำคอนกรีตบล็อกไปปั่นโดยการแข่งในเวลา 7 วัน 14 วัน และ 28 วัน เพื่อเป็นการควบคุมและป้องกันไม่ให้น้ำส่วนที่เหลือจากการทำปฏิกริยาจะหลอก เพื่อช่วยให้ปฏิกริยาไขเครื่องดำเนินการอย่างต่อเนื่อง ส่งผลต่อการพัฒนากำลังอัดของคอนกรีตเป็นไปอย่างสมบูรณ์ ทำให้คอนกรีตมีคุณสมบัติทนทาน ทึบ拿 ไม่สึกกร่อน และช่วยลดการหดตัว หลังจากนั้นจึงให้แรงอัดแก่คอนกรีตจนแตกหัก ซึ่งรายละเอียดผลการบันทึกค่าความด้านแรงดัดตามขวางของคอนกรีตบล็อกทั้งหมด ได้แก่ คอนกรีตบล็อกมาตรฐาน คอนกรีตบล็อกผสมพาราฟินร้อยละ 40 และคอนกรีตบล็อกผสมพาราฟินร้อยละ 60 ที่ระยะเวลาการปั่น 7 วัน 14 วัน และ 28 วัน ได้แสดงไว้ในภาคผนวก ค ซึ่งสามารถสรุปผลแรงดัดตามขวางได้ดังตารางที่ 4.5



**ตารางที่ 4.5 สรุปค่าความต้านแรงดัดตามขวางของคอนกรีตบล็อกประเภทต่างๆ ที่ระยะเวลาบ่มแตกต่างกัน**

ระยะเวลาการบ่ม	ความต้านแรงดัดตามขวางของประเภทคอนกรีตบล็อก (เมกะพาสคัล)											
	มาตรฐาน				พาราฟินร้อยละ 40				พาราฟินร้อยละ 60			
	1	2	3	ค่าเฉลี่ย	1	2	3	ค่าเฉลี่ย	1	2	3	ค่าเฉลี่ย
7 วัน	6.02	6.00	6.12	6.05	6.22	6.02	6.32	6.19	5.70	6.24	6.31	6.09
14 วัน	7.28	6.81	6.58	6.89	7.14	6.79	6.97	6.97	6.35	6.40	6.72	6.48
28 วัน	7.53	7.07	7.12	7.24	8.27	7.60	7.61	7.83	7.51	7.80	7.92	7.74
ค่าเฉลี่ย				6.73				7.00				6.77



ภาพที่ 4.4 ค่าเฉลี่ยความด้านแรงดัดตามขวางของคอนกรีตบล็อกประเภทต่างๆ ที่ระยะเวลาบ่มที่แตกต่างกัน

สรุปผลการทดสอบความด้านแรงดัดตามขวางของคอนกรีตบล็อก จากภาพที่ 4.4 พบว่าทั้ง คอนกรีตบล็อกมาตรฐาน คอนกรีตบล็อกผสมพาราฟินร้อยละ 40 และคอนกรีตบล็อกผสมพาราฟิน ร้อยละ 60 ให้ค่าความด้านแรงดัดตามขวางอยู่ในเกณฑ์มาตรฐาน (แต่ละแผ่นไม่น้อยกว่า 2.5 เมกะ พาสคัล และค่าเฉลี่ยไม่น้อยกว่า 3 เมกะ พาสคัล)

หลังจากนี้ทำการวิเคราะห์ความแตกต่างของค่าความด้านแรงดัดตามขวางของคอนกรีต ประเภทต่างๆ ที่ระยะเวลาบ่มที่แตกต่างกัน ด้วยการวิเคราะห์ความแปรปรวนสองทาง Two Way Analysis of Variance (Two Way ANOVA) โดยปัจจัยแรกคือจำนวนวันที่ทำการบ่มคอนกรีต บล็อก และปัจจัยที่สองคือประเภทของคอนกรีตบล็อก ว่ามีผลต่อค่าความด้านแรงดัดตามขวางของ คอนกรีตบล็อกแตกต่างกันหรือไม่ จึงต้องสมมติฐานหลักที่คอนกรีตบล็อกมาตรฐาน คอนกรีต บล็อกผสมพาราฟินร้อยละ 40 และคอนกรีตบล็อกผสมพาราฟินร้อยละ 60 ระดับความเชื่อมั่น ร้อยละ 95 ได้ดังนี้

**สมมติฐาน :** จำนวนวันที่ทำการบ่มคอนกรีตมีผลต่อค่าความด้านแรงดัดตามขวางของ คอนกรีตบล็อกแตกต่างกันหรือไม่

$$H_0: \mu_1 = \mu_2 = \mu_3$$

$$H_1: \mu_1 \neq \mu_2 \neq \mu_3 \text{ อย่างน้อย } 1 \text{ ค่า}$$

เมื่อ  $\mu_1$  = ค่าความต้านแรงดัดตามขวางที่ระยะเวลาการบ่มคอนกรีตบล็อก 7 วัน

$\mu_2$  = ค่าความต้านแรงดัดตามขวางที่ระยะเวลาการบ่มคอนกรีตบล็อก 14 วัน

$\mu_3$  = ค่าความต้านแรงดัดตามขวางที่ระยะเวลาการบ่มคอนกรีตบล็อก 28 วัน

การตัดสินใจที่ระดับนัยสำคัญ  $\alpha = 0.05$

สมมติฐาน : ประเภทของคอนกรีตบล็อกมีผลต่อค่าความต้านแรงดัดตามขวางของคอนกรีตบล็อกแตกต่างกันหรือไม่

$$H_0: \mu_1 = \mu_2 = \mu_3$$

$$H_1: \mu_1 \neq \mu_2 \neq \mu_3 \text{ อย่างน้อย } 1 \text{ ค่า}$$

เมื่อ  $\mu_1$  = ค่าความต้านแรงดัดตามขวางของคอนกรีตบล็อกมาตรฐาน

$\mu_2$  = ค่าความต้านแรงดัดตามขวางของคอนกรีตบล็อกผสมพาราฟินร้อยละ 40

$\mu_3$  = ค่าความต้านแรงดัดตามขวางของคอนกรีตบล็อกผสมพาราฟินร้อยละ 60

การตัดสินใจที่ระดับนัยสำคัญ  $\alpha = 0.05$

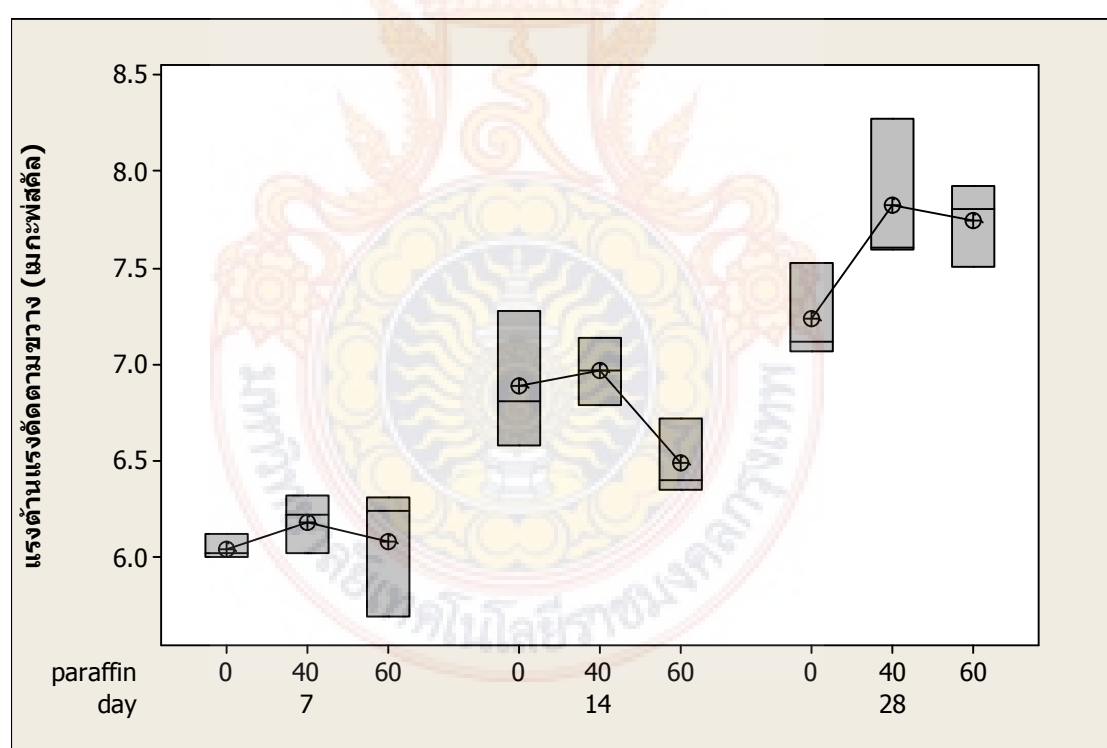
ผลการทดสอบสมมติฐานด้านความแข็งแรงของคอนกรีตบล็อก ด้วยค่าความต้านแรงดัดตามขวางของคอนกรีต ได้ผลดังตารางที่ 4.6

ตารางที่ 4.6 การวิเคราะห์ความแปรปรวนของค่าความต้านแรงดัดตามขวางของคอนกรีตบล็อกประเภทต่างๆ ที่ระยะเวลาบ่มแตกต่างกัน

แหล่งข้อมูล	DF	SS	MS	F	P
ระยะเวลาการบ่ม	2	10.1263	5.06316	76.88	0.000
ประเภทคอนกรีต	2	0.3683	0.18416	2.80	0.088
Interaction	4	0.6609	0.16521	2.51	0.078
Error	18	1.1854	0.06586		
Total	26	12.3409			

จากตารางที่ 4.6 พบรวม Interaction ให้ค่า P-value มากกว่าระดับนัยสำคัญที่ 0.05 จึงไม่สามารถปฏิเสธสมมติฐานหลักได้ แสดงว่าระยะเวลาการบ่มและประเภทคอนกรีตบล็อกไม่มีผลกระทบที่เกี่ยวเนื่องต่อกัน ดังนั้นจึงศึกษาแบบวิเคราะห์แยกกัน จึงสรุปได้ว่าสมมติฐานด้านระยะเวลาการบ่ม ให้ค่า P-value น้อยกว่านัยสำคัญที่ 0.05 จึงปฏิเสธสมมติฐานหลัก ดังนั้นจึงสรุปได้ว่าจำนวนวันที่ทำการบ่มคอนกรีตบล็อกมีผลต่อความด้านแรงดัดตามขวางของคอนกรีตบล็อก แตกต่างกัน สำหรับสมมติฐานด้านประเภทคอนกรีตบล็อก ให้ค่า P-value มากกว่าระดับนัยสำคัญที่ 0.05 จึงไม่สามารถปฏิเสธสมมติฐานหลักได้ ดังนั้นจึงสรุปได้ว่า ประเภทคอนกรีตบล็อก มาตรฐาน คอนกรีตบล็อกผสมพาราฟินร้อยละ 40 และคอนกรีตบล็อกผสมพาราฟินร้อยละ 60 ให้ค่าความด้านแรงดัดตามขวางของคอนกรีตบล็อกไม่แตกต่างกันที่ระดับนัยสำคัญ 0.05 หรือที่ระดับความเชื่อมั่นร้อยละ 95

จากนี้จึงนำไปแสดงผลด้วยแผนภูมิกล่อง (Box Plot) เพื่อศึกษาดูช่วงของข้อมูลทั้งหมด และความแตกต่างของค่าเฉลี่ยกับค่าสูงสุดต่ำสุด แสดงดังภาพที่ 4.5



ภาพที่ 4.5 Box Plot ค่าความด้านแรงดัดตามขวาง (เมกะพัสดุล) ค่าความด้านแรงดัดตามขวางของคอนกรีตแต่ละชนิด ที่ระยะเวลาบ่มต่างๆ

จากภาพที่ 4.5 พบรวมที่ระยะเวลาการบ่ม 28 วัน ให้ค่าแรงดัดตามขวางมากที่สุด ส่วนที่ระยะเวลาการบ่ม 7 วัน ให้ค่าแรงดัดตามขวางน้อยที่สุด ซึ่งสอดคล้องกับการนำเสนอผลที่ผ่านมา

ดังนั้นสามารถสรุปได้ว่า หากระยะเวลาการบ่อมาก จะให้ค่าความด้านแรงดัดตามขวางมากขึ้นด้วย เช่นกัน ซึ่งค่าความด้านแรงดัดตามขวางที่ระยะเวลาการบ่อม 28 วันของค่อนกรีตบล็อกมาตรฐาน มีค่าเฉลี่ย 7.24 เมกะพาสคัล ค่อนกรีตบล็อกผสมพาราฟินร้อยละ 40 ของหน้าตัดมีค่าเฉลี่ย 7.83 เมกะพาสคัล และค่อนกรีตบล็อกผสมพาราฟินร้อยละ 60 ของหน้าตัดมีค่าเฉลี่ย 7.74 เมกะพาสคัล และพบว่าค่าความด้านทานแรงดัดต่ำสุดของค่อนกรีตบล็อกผสมพาราฟินร้อยละ 40 ยังให้ค่าสูงกว่า ค่อนกรีตบล็อกมาตรฐาน ดังนั้นค่าเฉลี่ยความด้านแรงดัดตามขวางของค่อนกรีตบล็อกผสมพาราฟินร้อยละ 40 ให้ค่าสูงกว่าค่อนกรีตบล็อกผสมพาราฟินร้อยละ 60 และค่อนกรีตบล็อกมาตรฐาน

### **สรุปผลการทดสอบค่าความแข็งแรง**

สามารถสรุปผลการทดสอบค่าความแข็งแรงได้ว่า ทั้งค่อนกรีตบล็อกมาตรฐาน ค่อนกรีตบล็อกผสมพาราฟินร้อยละ 40 และค่อนกรีตบล็อกผสมพาราฟินร้อยละ 60 ให้ค่าความด้านแรงดัดตามขวางอยู่ในเกณฑ์มาตรฐานและไม่แตกต่างกันที่ระดับความเชื่อมั่นร้อยละ 95 และค่าเฉลี่ยความด้านแรงดัดตามขวางของค่อนกรีตบล็อกผสมพาราฟินร้อยละ 40 ให้ค่าสูงกว่าค่อนกรีตบล็อกผสมพาราฟินร้อยละ 60 และค่อนกรีตบล็อกมาตรฐาน

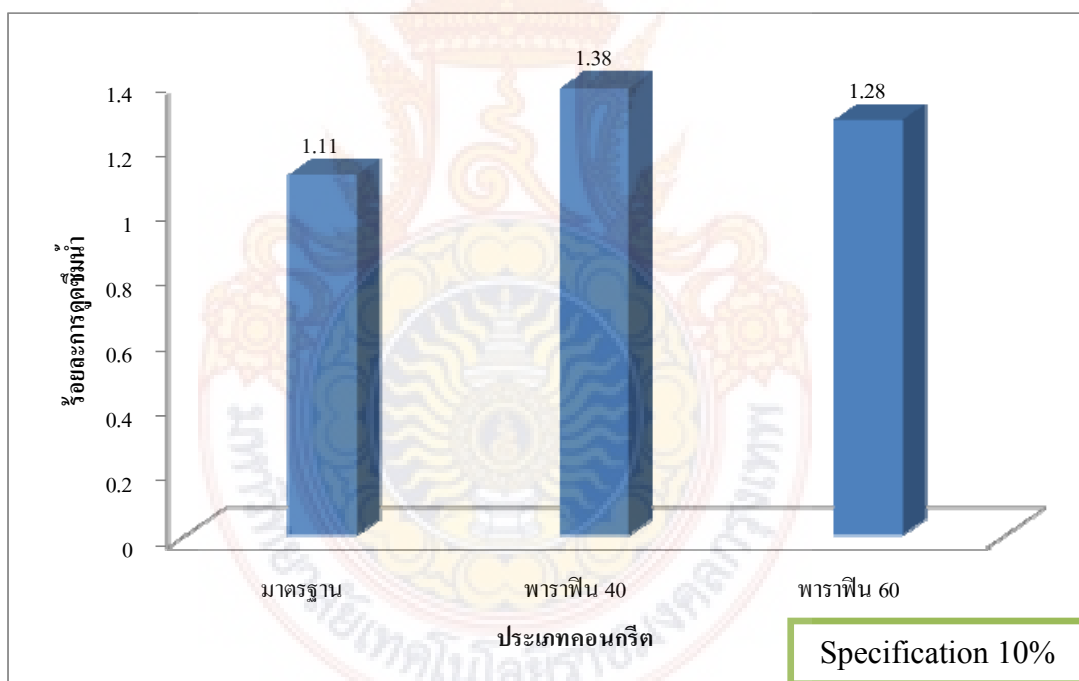
และจำนวนวันที่ทำการบ่อมค่อนกรีตมีผลต่อค่าความด้านแรงดัดตามขวาง โดยหากระยะเวลาการบ่อมมาก จะให้ค่าความด้านแรงดัดตามขวางมากขึ้นด้วยเช่นกัน และระยะเวลาการบ่อมค่อนกรีตบล็อกที่ให้ค่าแรงดัดตามขวางมากที่สุดคือ 28 วัน

#### **4.1.3 การทดสอบค่าการดูดซึมน้ำ**

การดูดซึมน้ำของค่อนกรีตบล็อกปูพื้นเมื่อเปรียบเทียบกับมาตรฐานผลิตภัณฑ์อุตสาหกรรม มอก.378-2531 ต้องไม่เกินร้อยละ 10 โดยนำหนัก ซึ่งได้ผลการทดสอบการดูดซึมน้ำของค่อนกรีตมาตรฐาน ค่อนกรีตผสมพาราฟินร้อยละ 40 และค่อนกรีตผสมพาราฟินร้อยละ 60 ดังตารางที่ 4.7

ตารางที่ 4.7 ผลทดสอบการดูดซึมน้ำของคอนกรีตบล็อก

ตัวอย่าง	มวลตัวอย่างอบแห้ง ( $M_1$ , กิโลกรัม)				มวลตัวอย่างอิ่มน้ำ ( $M_2$ , กิโลกรัม)				ร้อยละการดูดซึมน้ำ $[(M_2 - M_1)/M_1] * 100$
	ครั้งที่ 1	ครั้งที่ 2	ครั้งที่ 3	ค่าเฉลี่ย	ครั้งที่ 1	ครั้งที่ 2	ครั้งที่ 3	ค่าเฉลี่ย	
มาตรฐาน	9.8	9.9	9.94	9.88	9.91	10.01	10.05	9.99	1.11
พาราฟิน 40	9.9	9.87	10	9.92	10.03	10.02	10.13	10.06	1.38
พาราฟิน 60	9.92	9.85	9.9	9.89	10.05	9.97	10.03	10.02	1.28



ภาพที่ 4.6 ร้อยละการดูดซึมน้ำของคอนกรีตบล็อกประเภทต่างๆ

จากการทดสอบการดูดซึมน้ำของคอนกรีตบล็อกมาตรฐาน คอนกรีตบล็อกผสมพาราฟิน ร้อยละ 40 และคอนกรีตบล็อกผสมพาราฟินร้อยละ 60 อย่างละ 3 ตัวอย่าง ได้ค่าดังตารางที่ 4.7 และนำมาแสดงผลด้วยภาพที่ 4.6 พบร่วมกับค่าร้อยละการดูดซึมน้ำของคอนกรีตบล็อกทั้งหมดทุกประเภท

อยู่ในเกณฑ์มาตรฐาน (ไม่เกินร้อยละ 10) และให้ค่าการคุณซึ่มน้ำอยู่ในระดับต่ำ แต่หากเรียงลำดับ การคุณซึ่มน้ำที่ดีที่สุด ไปหาน้อยที่สุด จะได้ว่า คอนกรีตบล็อกมาตรฐาน เท่ากับร้อยละ 1.11 คอนกรีตบล็อกผสมพาราฟินร้อยละ 60 เท่ากับร้อยละ 1.28 และคอนกรีตบล็อกผสมพาราฟินร้อยละ 40 เท่ากับร้อยละ 1.38

#### สรุปผลการทดสอบค่าการคุณซึ่มน้ำ

ดังนั้นการทดสอบการคุณซึ่มน้ำของทั้งคอนกรีตบล็อกมาตรฐาน คอนกรีตบล็อกผสมพาราฟินร้อยละ 40 และคอนกรีตบล็อกผสมพาราฟินร้อยละ 60 อยู่ในเกณฑ์มาตรฐาน และให้ค่าการคุณซึ่มน้ำอยู่ในระดับต่ำ ซึ่งถือว่าคอนกรีตบล็อกอยู่ในเกณฑ์มากทั้ง 3 ประเภท โดยคอนกรีตบล็อกมาตรฐานคุณซึ่มน้ำอยู่ที่สุด และคอนกรีตบล็อกผสมพาราฟินร้อยละ 40 คุณซึ่มน้ำมากที่สุด

#### 4.1.4 การทดสอบการสะสูมความร้อน

การศึกษาค่าสะสูมความร้อนของคอนกรีตบล็อก ทำได้โดยการเปรียบเทียบการวัดค่าอุณหภูมิของคอนกรีตกลางแสงแดดแต่ละช่วงเวลาในอากาศปกติกับการสร้างห้องจำลองขนาด  $390 \times 390 \times 190$  มิลลิเมตรเพื่อใช้ทดสอบ และหาความแตกต่างเพื่อบ่งบอกถึงการสะสูมความร้อนของคอนกรีตบล็อกที่เกิดขึ้น ดังภาพที่ 4.7



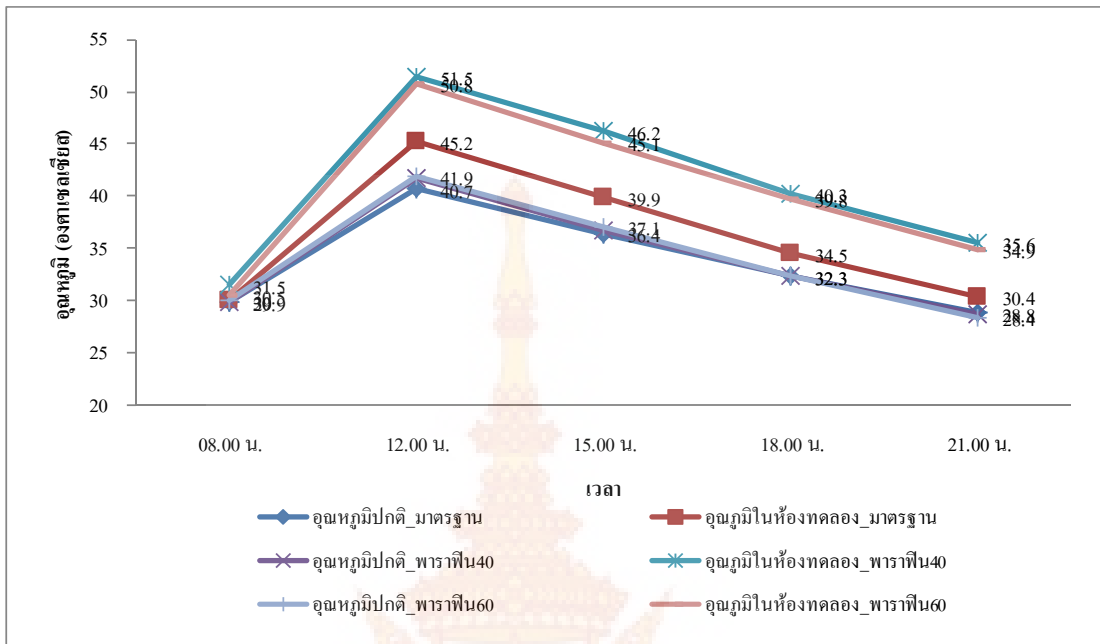
ภาพที่ 4.7 การทดสอบวัดอุณหภูมิของการสะสูมความร้อน

นำผลที่ได้จากการทดลองบันทึกค่าอุณหภูมิในช่วงเวลาต่างๆ ของคอนกรีตบล็อกมาตรฐาน คอนกรีตบล็อกผสมพาราฟินร้อยละ 40 และคอนกรีตบล็อกผสมพาราฟินร้อยละ 60 ดังตารางที่ 4.8

ตารางที่ 4.8 ค่าอุณหภูมิของการสะสมความร้อนของคอนกรีตบล็อกประเภทต่างๆ

เวลา	อุณหภูมิที่วัดได้ของแผ่นคอนกรีตบล็อกชนิดต่างๆ (องศาเซลเซียส)								
	มาตรฐาน			พาราฟิน 40			พาราฟิน 60		
	อุณหภูมิปกติ	อุณหภูมิในห้องทดลอง	ความแตกต่าง	อุณหภูมิปกติ	อุณหภูมิในห้องทดลอง	ความแตกต่าง	อุณหภูมิปกติ	อุณหภูมิในห้องทดลอง	ความแตกต่าง
08.00 น.	29.9	30.0	0.1	29.8	31.5	1.7	30.0	30.5	0.5
12.00 น.	40.7	45.2	4.5	41.7	51.5	9.8	41.9	50.8	8.9
15.00 น.	36.4	39.9	3.5	36.7	46.2	9.5	37.1	45.1	8.0
18.00 น.	32.3	34.5	2.2	32.4	40.3	7.9	32.3	39.8	7.5
21.00 น.	28.8	30.4	1.6	28.6	35.6	7.0	28.4	34.9	6.5

จากตารางที่ 4.8 นำค่าอุณหภูมิมาแสดงผลด้วยกราฟ ดังภาพที่ 4.8



ภาพที่ 4.8 อุณหภูมิปักติและอุณหภูมิในห้องทดลองของแผ่นคอนกรีตบล็อกแต่ละช่วงเวลา

จากภาพที่ 4.8 พบว่าอุณหภูมิในช่วงเวลา 12.00 น. ให้ค่าสูงที่สุด และจะลดลงเรื่อยๆ จนถึงเวลา 21.00 น. จะให้ค่าอุณหภูมิใกล้เคียงช่วงเวลา 8.00 น. แสดงให้เห็นว่าคอนกรีตบล็อกสามารถเก็บสะสมความร้อนระหว่างวันได้ดี และจะพบว่าค่าอุณหภูมิที่วัดได้ในห้องทดลองมีค่าสูงกว่า อุณหภูมิปักติภายนอกทุกประเภทของคอนกรีตบล็อก ไม่ว่าจะเป็นคอนกรีตบล็อกมาตรฐาน คอนกรีตบล็อกผสมพาราฟินร้อยละ 40 และคอนกรีตบล็อกผสมพาราฟินร้อยละ 60 นั้นแสดงให้เห็นว่า คอนกรีตบล็อกสามารถสะสมความร้อนได้ โดยวัสดุที่เก็บสะสมความร้อนได้ดีกว่า ซึ่งให้ค่าอุณหภูมิที่สูงที่สุดคือ คอนกรีตบล็อกผสมพาราฟินร้อยละ 40

จากนั้นทดสอบว่าอุณหภูมิปักติภายนอกและอุณหภูมิในห้องทดลองมีความแตกต่างกันหรือไม่ จึงใช้สถิติทดสอบ t-test โดยตั้งสมมติฐานหลักไว้ว่า อุณหภูมิปักติภายนอกและอุณหภูมิในห้องทดลองของคอนกรีตบล็อกไม่มีความแตกต่างกัน ที่ระดับความเชื่อมั่นร้อยละ 95

$$\text{สมมติฐาน } H_0 : \mu_1 = \mu_2$$

$$H_1 : \mu_1 \neq \mu_2 \text{ อย่างน้อย 1 ค่า}$$

เมื่อ  $\mu_1$  = ค่าอุณหภูมิปักติภายนอก

$\mu_2$  = ค่าอุณหภูมิในห้องทดลอง

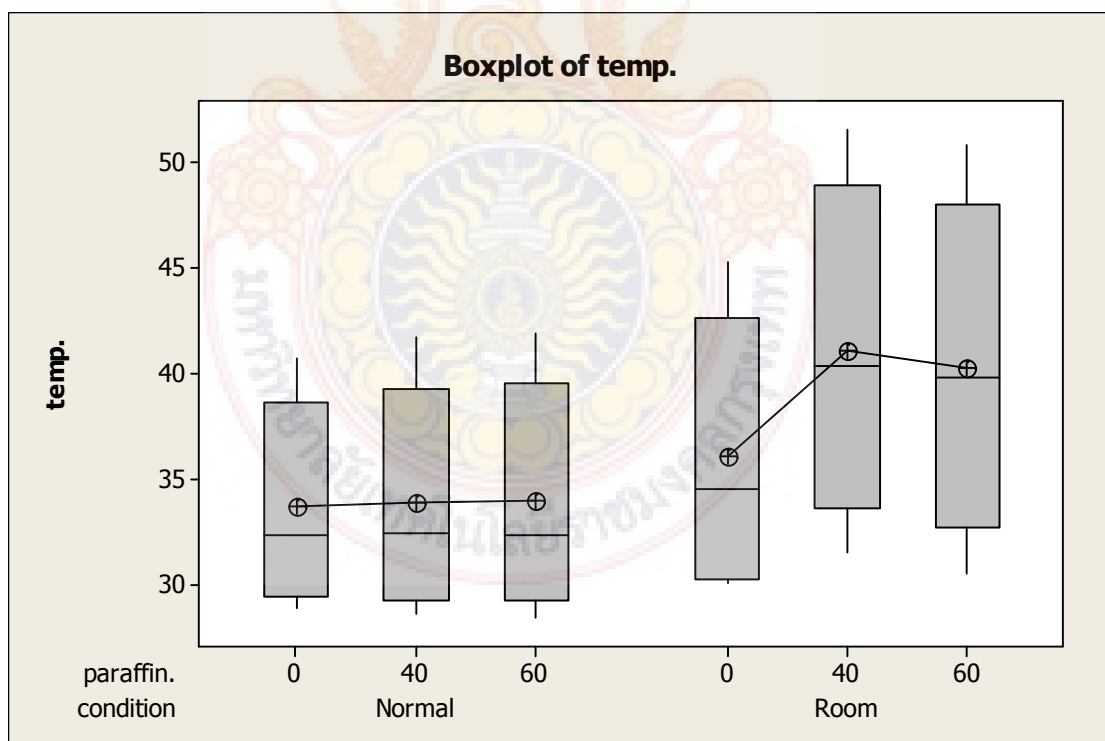
การตัดสินใจที่ระดับนัยสำคัญ  $\alpha = 0.05$

ผลการทดสอบสมมติฐานความแตกต่างของอุณหภูมิ ได้ผลดังตารางที่ 4.9

ตารางที่ 4.9 การเปรียบเทียบความแตกต่างของอุณหภูมิปกติภายนอกและอุณหภูมิในห้องทดลอง

สภาวะ	จำนวน ครั้ง	อุณหภูมิ		T	P
		ค่าเฉลี่ย	ค่าเบี่ยงเบนมาตรฐาน		
ปกติ	15	33.80	4.89	-2.31	0.030
ห้องทดลอง	15	39.08	7.36		

จากตารางที่ 4.9 พบว่า ค่า P-value เท่ากับ 0.030 มีค่าน้อยกว่า ระดับนัยสำคัญที่ 0.05 จึงปฏิเสธสมมติฐานหลัก ดังนี้นั่นจึงสรุปได้ว่า อุณหภูมิปกติภายนอกและอุณหภูมิในห้องทดลองมีความแตกต่างกันที่ระดับนัยสำคัญ 0.05 หรือที่ระดับความเชื่อมั่นร้อยละ 95 และนำค่าอุณหภูมิของคอนกรีตบล็อกทั้ง 3 ประเภทมาแสดงผลดังกราฟ



ภาพที่ 4.9 อุณหภูมิปกติและอุณหภูมิในห้องทดลองของแผ่นคอนกรีตบล็อกประเภทต่างๆ

จากที่ทราบว่าอุณหภูมิปกติภายนอกและอุณหภูมิในห้องทดลองมีความแตกต่างกันแล้วนั้น จากภาพที่ 4.9 พบว่าอุณหภูมิในห้องทดลองจะสูงกว่าอุณหภูมิปกติ และวัสดุคอนกรีตบล็อกผสมพาราฟินร้อยละ 40 จะให้ค่าเฉลี่ยอุณหภูมิสูงที่สุด

อันดับต่อไปคือ การวิเคราะห์ความแตกต่างของการสะสมความร้อนของคอนกรีต บล็อกประเภทต่างๆ ว่าแตกต่างกันหรือไม่ โดยศึกษาจากค่าความแตกต่างระหว่างอุณหภูมิปกติ ภายนอกกับอุณหภูมิในห้องทดลอง ด้วยการวิเคราะห์ความแปรปรวนแบบทางเดียว One Way Analysis of Variance (One Way ANOVA) โดยตั้งสมมติฐานหลักได้ว่า การสะสมความร้อนของคอนกรีตบล็อกมาตราฐาน คอนกรีตบล็อกผสมพาราฟินร้อยละ 40 และคอนกรีตบล็อกผสมพาราฟินร้อยละ 60 ไม่แตกต่างกัน ที่ระดับความเชื่อมั่นร้อยละ 95

$$\text{สมมติฐาน } H_0 : \mu_1 = \mu_2 = \mu_3$$

$$H_1 : \mu_1 \neq \mu_2 \neq \mu_3 \text{ อ่ายน้อย 1 ค่า}$$

เมื่อ  $\mu_1$  = ค่าเฉลี่ยการสะสมความร้อนของคอนกรีตบล็อกมาตราฐาน

$\mu_2$  = ค่าเฉลี่ยการสะสมความร้อนของคอนกรีตบล็อกผสมพาราฟินร้อยละ 40

$\mu_3$  = ค่าเฉลี่ยการสะสมความร้อนของคอนกรีตบล็อกผสมพาราฟินร้อยละ 60

การตัดสินใจที่ระดับนัยสำคัญ  $\alpha = 0.05$

ผลการทดสอบสมมติฐานของการสะสมความร้อน ได้ผลดังตารางที่ 4.10

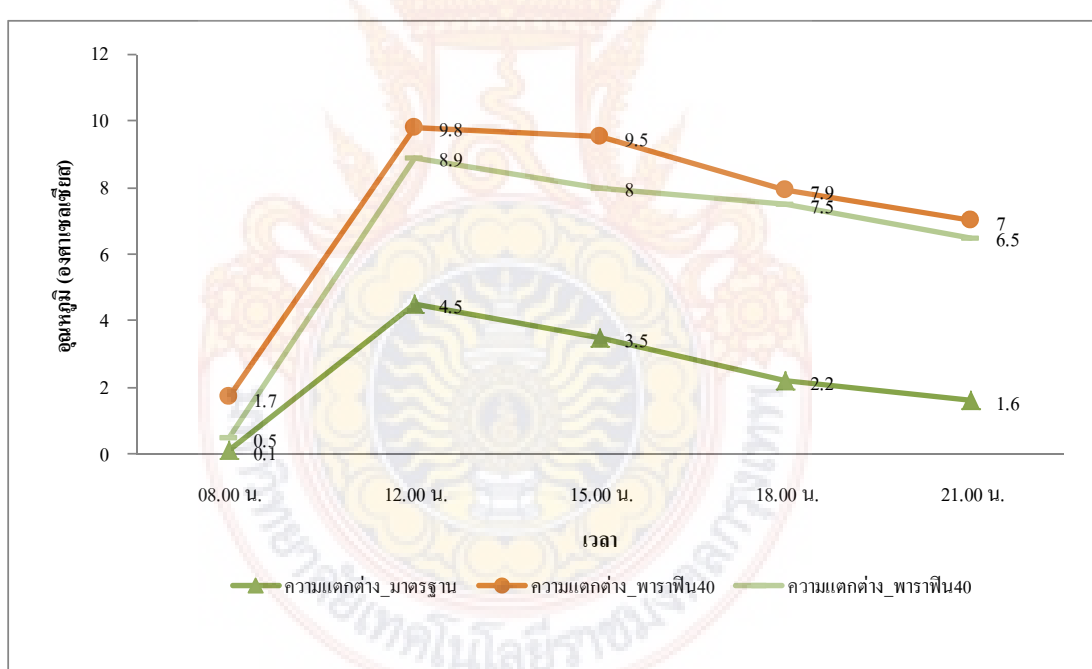
ตารางที่ 4.10 การเปรียบเทียบด้านการสะสมความร้อนของคอนกรีตบล็อก จำแนกตามประเภท ส่วนผสมของคอนกรีต

แหล่งข้อมูล	DF	SS	MS	F	P
อุณหภูมิ	2	65.10	32.55	3.94	0.048
Error	12	99.18	8.27		
Total	14	164.28			
ประเภทของ คอนกรีตบล็อก	จำนวน				อุณหภูมิ
(แผ่น)					ค่าเฉลี่ย
มาตรฐาน					ค่าเบี่ยงเบนมาตรฐาน
พาราฟิน 40	5	2.380	2.380	1.702	3.272
พาราฟิน 60	5	6.280	6.280	3.345	

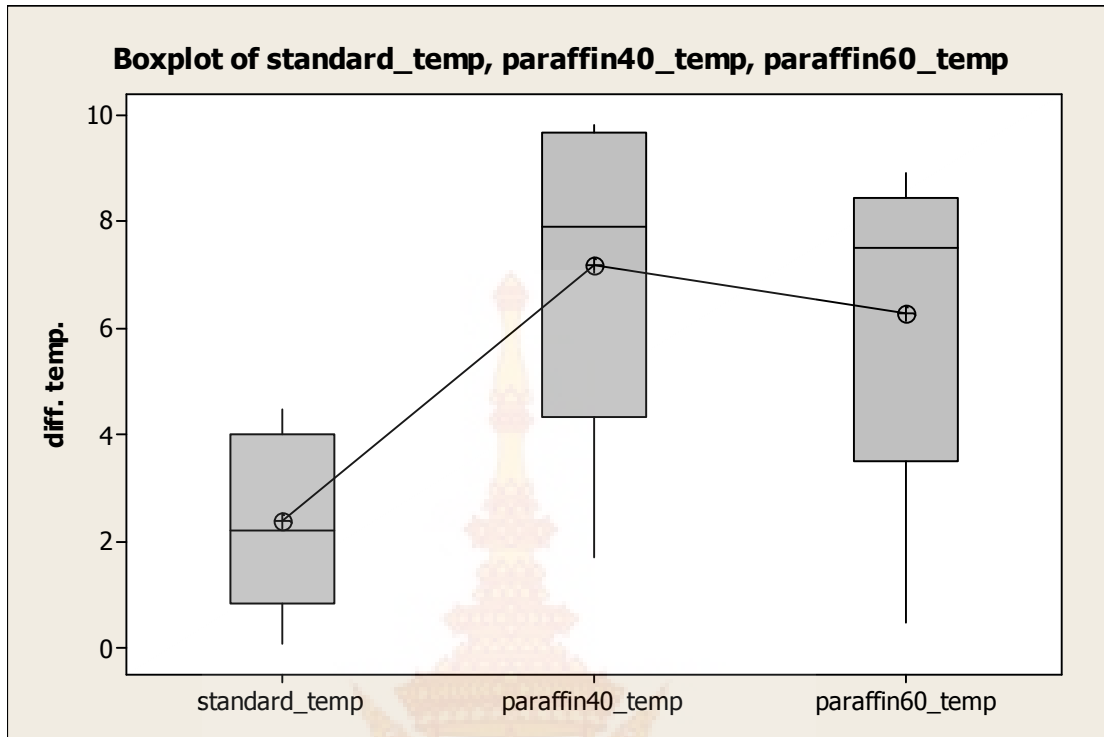
จากตารางที่ 4.10 พนวจ สมมติฐานด้านการสะสมความร้อนของคอนกรีต ให้ค่า P-value เท่ากับ 0.048 น้อยกว่านัยสำคัญที่ 0.05 จึงปฏิเสธสมมติฐานหลัก ดังนั้นจึงสรุปได้ว่าประเภทคอนกรีตบล็อกมาตรฐาน คอนกรีตบล็อกผสมพาราฟินร้อยละ 40 และคอนกรีตบล็อกผสมพาราฟินร้อยละ 60 มีผลต่อการสะสมความร้อนที่แตกต่างกันที่ระดับนัยสำคัญ 0.05 หรือที่ระดับความเชื่อมั่นร้อยละ 95

เมื่อเรียงลำดับค่าเฉลี่ยการสะสมความร้อนของคอนกรีตบล็อกจากมากไปน้อยได้ดังนี้ คอนกรีตบล็อกผสมพาราฟินร้อยละ 40 คอนกรีตบล็อกผสมพาราฟินร้อยละ 60 และคอนกรีตบล็อกมาตรฐาน เก็บอุณหภูมิได้ 7.18 6.28 และ 2.38 องศาเซลเซียส

สำหรับการเปรียบเทียบโดยการหาความแตกต่างระหว่างอุณหภูมิปกติภายนอกกับอุณหภูมิในห้องทดลองของคอนกรีตบล็อกมาตรฐาน คอนกรีตบล็อกผสมพาราฟินร้อยละ 40 และคอนกรีตบล็อกผสมพาราฟินร้อยละ 60 ในแต่ละช่วงเวลา แสดงผลดังภาพที่ 4.10 และภาพที่ 4.11



ภาพที่ 4.10 ความแตกต่างระหว่างอุณหภูมิปกติกับอุณหภูมิในห้องทดลองของแผ่นคอนกรีตบล็อกแต่ละช่วงเวลา



ภาพที่ 4.11 ความแตกต่างระหว่างอุณหภูมิปกติกับอุณหภูมิในห้องทดลองของคอนกรีตบล็อก

จากภาพที่ 4.10 และภาพที่ 4.11 พบร่วมกันว่าความแตกต่างระหว่างอุณหภูมิปกติกับอุณหภูมิในห้องทดลองของคอนกรีตบล็อกผสมพาราฟินร้อยละ 40 ให้ค่ามากที่สุด และลดลงตามช่วงเวลาอย่างช้าๆ และดูว่าคอนกรีตบล็อกชนิดนี้สามารถลดความร้อนได้ดีกว่าคอนกรีตบล็อกผสมพาราฟินร้อยละ 60 และคอนกรีตบล็อกมาตรฐานตามลำดับ

#### สรุปผลการทดสอบการสะสมความร้อน

ค่าอุณหภูมิปกติภายนอกและอุณหภูมิในห้องทดลองของคอนกรีตบล็อกมีความแตกต่างกันที่ระดับความเชื่อมั่นร้อยละ 95 และอุณหภูมิในห้องทดลองจะสูงกว่าอุณหภูมิปกติ โดยวัสดุคอนกรีตบล็อกผสมพาราฟินร้อยละ 40 จะให้ค่าเฉลี่ยอุณหภูมิสูงที่สุด

สำหรับประเภทคอนกรีตนี้ มีผลต่อการสะสมความร้อนที่แตกต่างกัน โดยคอนกรีตบล็อกผสมพาราฟินร้อยละ 40 ให้ค่าอุณหภูมิที่สะสมได้มากที่สุด และลดลงตามช่วงเวลาอย่างช้าๆ รองลงมาคือคอนกรีตบล็อกผสมพาราฟินร้อยละ 60 และคอนกรีตบล็อกมาตรฐาน

ดังนั้นจึงสรุปได้ว่าพาราฟินที่ใส่เข้าไปในแผ่นคอนกรีตบล็อกส่งผลต่อการสะสมความร้อนได้ดีขึ้น ดังแสดงให้เห็นความสัมพันธ์ระหว่างเวลาและอุณหภูมิที่วัดได้ พบร่วมกันว่าการสะสม

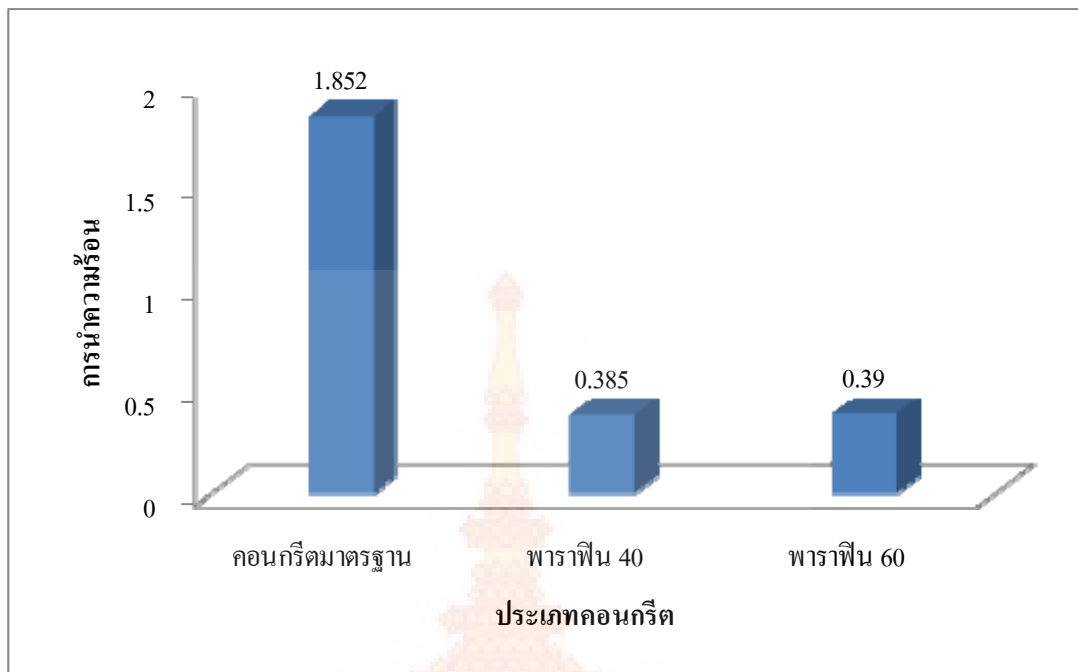
ความร้อนของแผ่นคอนกรีตบล็อกที่มีพาราฟินนั้นให้ค่าการสะท้อนความร้อนที่สูงกว่าแผ่นคอนกรีตบล็อกโดยทั่วไป และยังพบว่าการใส่พาราฟินมากถึงร้อยละ 60 นั้น ไม่ได้ช่วยทำให้การสะท้อนความร้อนดีกว่าแผ่นที่มีพาราฟินร้อยละ 40 แต่อย่างใด นั่นอาจเป็นเพราะพื้นผิวคอนกรีตมีความเป็นรูพรุนสูงกว่านั้นเอง

#### 4.1.5 การทดสอบการนำความร้อน

ค่าการนำความร้อนเป็นสมบัติเชิงความร้อนของวัสดุที่บ่งบอกถึงอัตราเร็วของการส่งผ่านพลังงานความร้อนโดยการนำความร้อนของสารต่างๆ วัสดุแต่ละชนิดจะมีความสามารถนำความร้อนได้แตกต่างกัน วัสดุที่มีค่าการนำความร้อนสูงแสดงว่าสามารถนำความร้อนได้ดี ส่วนวัสดุที่มีค่าการนำความร้อนต่ำเรียกว่าอนุวน จะใช้เพื่อต้องการเก็บรักษาอุณหภูมิไว้ในวัสดุนั้นๆ เช่น คอนกรีตบล็อกที่ต้องการสะท้อนความร้อนนี้ ดังนั้นจึงทดลองวัดค่าการนำความร้อนของคอนกรีตบล็อกมาตรฐาน คอนกรีตบล็อกผสมพาราฟินร้อยละ 40 และคอนกรีตบล็อกผสมพาราฟินร้อยละ 60 ได้ผลดังแสดงในตารางที่ 4.11

ตารางที่ 4.11 ค่าการนำความร้อนของคอนกรีตบล็อกประเภทต่างๆ

ประเภทคอนกรีตบล็อก	ค่าการนำความร้อน (Thermal Conductivity) , W/(m*K)
มาตรฐาน	1.852
พาราฟินร้อยละ 40	0.385
พาราฟินร้อยละ 60	0.390



ภาพที่ 4.12 ค่าการนำความร้อนของคองกรีตบล็อกประเภทต่างๆ

จากภาพที่ 4.12 พบว่าเมื่อใส่พาราฟินในแผ่นคองกรีตบล็อก จะทำให้ความสามารถในการนำความร้อนน้อยลงมาก ซึ่งการนำความร้อนนี้เป็นผลทำให้เกิดการแพร่ความร้อนลงสู่พื้นล่างและทุกทิศทางของแผ่นคองกรีตบล็อก ซึ่งแสดงว่ามีความสามารถในการเก็บสะสมความร้อนได้ดีขึ้น และจากการทดลองสรุปได้ว่าคองกรีตบล็อกผสมพาราฟินร้อยละ 40 ให้ค่าการนำความร้อนต่ำที่สุด เท่ากับ 0.385 ย่อมหมายความว่ามีความสามารถในการเก็บสะสมความร้อนได้ดีที่สุด

#### สรุปผลการนำความร้อน

คองกรีตบล็อกผสมพาราฟินร้อยละ 40 ให้ค่าการนำความร้อนต่ำที่สุด หมายความว่ามีความสามารถในการเก็บสะสมความร้อนได้ดีที่สุด รองลงมาคือคองกรีตบล็อกผสมพาราฟินร้อยละ 60 และคองกรีตบล็อกมาตรฐานตามลำดับ

#### 4.1.6 สรุปผลการทดสอบสมบัติคองกรีตบล็อก

จากการทดสอบสมบัติของคองกรีตบล็อกทั้ง 3 ประเภท คือ คองกรีตบล็อกมาตรฐาน คองกรีตบล็อกผสมพาราฟินร้อยละ 40 และคองกรีตบล็อกผสมพาราฟินร้อยละ 60 ด้วยการ

ทดสอบ 5 รายการ ได้แก่ การทดสอบมิติ ความแข็งแรง การดูดซึมน้ำ การสะสมความร้อน และการนำความร้อน ได้ผลสรุปดังตารางที่ 4.12

ตารางที่ 4.12 สรุปผลการทดสอบสมบัติค่อนกรีตบล็อกประเภทต่างๆ

ลำดับ	รายการ ทดสอบสมบัติ ค่อนกรีตบล็อก	เกณฑ์ มาตรฐาน	ประเภทค่อนกรีตบล็อก			การตัดสินใจ
			มาตรฐาน	พาราฟิน 40	พาราฟิน 60	
1	มิติ	$50*300*300$ $(\pm 3 \text{ มม.}^3)$	ผ่าน	ผ่าน	ผ่าน	-
2	ความแข็งแรง (28 วัน)	$\geq 3 \text{ เมกะ}$ พาสคัล	7.24 (ผ่าน)	7.83 (ผ่าน)	7.74 (ผ่าน)	พาราฟิน ร้อยละ 40
3	การดูดซึมน้ำ	$\leq$ ร้อยละ 10	1.11 (ผ่าน)	1.38 (ผ่าน)	1.28 (ผ่าน)	ค่อนกรีต มาตรฐาน
4	การสะสมความ ร้อน	-	2.38	7.18	6.28	พาราฟิน ร้อยละ 40
5	การนำความร้อน	-	1.852	0.385	0.390	พาราฟิน ร้อยละ 40

หมายเหตุ : การทดสอบลำดับที่ 1, 2 และ 3 ต้องผ่านเกณฑ์มาตรฐาน มาก.

สรุปผลการทดสอบสมบัติค่อนกรีตบล็อกดังตารางที่ 4.12 นี้ สรุปได้ว่ารายการทดสอบที่ต้องเป็นไปตามมาตรฐานผลิตภัณฑ์อุตสาหกรรม มาก. 378-2531 มี 3 รายการ คือ ด้านมิติ ความแข็งแรง และการดูดซึมน้ำ ซึ่งค่อนกรีตทั้ง 3 ประเภท คือ ค่อนกรีตบล็อกมาตรฐาน ค่อนกรีตบล็อก พสมพาราฟินร้อยละ 40 และค่อนกรีตบล็อกพสมพาราฟินร้อยละ 60 ผ่านเกณฑ์มาตรฐานทั้งหมด และค่อนกรีตบล็อกพสมพาราฟินร้อยละ 40 มีความแข็งแรงมากที่สุดที่ระยะเวลาการบ่ม 28 วัน แต่ ค่อนกรีตบล็อกมาตรฐานมีการดูดซึมน้ำน้อยที่สุด ดังนั้นมีอิฐเจ้าทำการทดสอบด้านการสะสมความร้อนและการนำความร้อน พนว่าค่อนกรีตบล็อกพสมพาราฟินให้ค่าที่ดี แสดงว่าพาราฟินมีกลไกสำคัญที่ช่วยเก็บสะสมพลังงานความร้อนอยู่ในรูปของพลังงานความร้อนแห่งจันทำให้พาราฟินเปลี่ยนสถานะได้ แต่พาราฟินที่ร้อยละ 60 จะละลายเมื่อได้รับความร้อนและซึมออกมากที่

ผิวของกองกรีต ทำให้สูญเสียการสะสัมความร้อนได้มากกว่าพาราฟินที่ร้อยละ 40 ดังนั้นกองกรีต ผสมพาราฟินร้อยละ 40 ให้ผลดีที่สุดทั้ง 2 รายการทดสอบ งานวิจัยนี้จึงตัดสินใจเลือกใช้พาราฟินร้อยละ 40 เป็นตัวอย่างในการใส่ในแผ่นกองกรีตบล็อก

#### 4.2 ผลการทดสอบสมบัติกองกรีตบล็อกพาราฟินผสมเกลือและไฟเบอร์กลาส

จากการทดลองเลือกวัสดุเพื่อพัฒนาให้กองกรีตบล็อกมีความสามารถในการสะสัมความร้อนได้ดีขึ้นในเบื้องต้นนั้น ได้ผลว่ากองกรีตบล็อกผสมพาราฟินร้อยละ 40 ให้การสะสัมความร้อนที่ดีที่สุด แต่ค่าการดูดซึมน้ำยังให้ผลไม่ดีเท่าที่ควร ดังนั้นงานวิจัยนี้จึงจะทำการศึกษาพัฒนากองกรีตบล็อกใหม่มีความสามารถในการสะสัมความร้อนและการดูดซึมน้ำที่ดีขึ้นต่อไป โดยเลือกวัสดุที่มีความสามารถในการดูดความชื้น และป้องกันการถ่ายเทความร้อนมาใช้ผสมในกองกรีตบล็อกเพื่อให้ได้คุณสมบัติที่ดีขึ้น จึงทดลองผสมเกลือในส่วนผิวน้ำกองกรีตบล็อก เพื่อศึกษาการดูดความชื้นที่เกิดขึ้น และผสมผงไฟเบอร์ที่ด้านล่างของแผ่นกองกรีตบล็อก เพื่อป้องกันการถ่ายเทความร้อนลงสู่พื้นด้านล่างของแผ่นกองกรีตบล็อก โดยทดลองในสัดส่วนที่ผสมไฟเบอร์กลาสร้อยละ 5 ร้อยละ 10 และร้อยละ 15 ของปูนซีเมนต์ และผสมเกลือร้อยละ 5 ร้อยละ 10 ร้อยละ 15 ของปูนซีเมนต์

การเตรียมตัวอย่างทำได้โดยผสมไฟเบอร์กลาสลงบนชั้นที่ 1 ในสัดส่วนร้อยละ 5 10 และ 15 ของน้ำหนักกองกรีต และผสมเกลือแกงในชั้นที่ 3 ในสัดส่วนร้อยละ 5 10 และ 15 ของน้ำหนักกองกรีต โดยยังคงมีพาราฟินร้อยละ 40 ในชั้นที่ 2 ของกองกรีตตามผลการทดลองในเบื้องต้นแล้ว ได้สูตรการทดลอง 6 สูตรดังนี้

- 1) สูตรที่ 1 พาราฟิน : เกลือ : ไฟเบอร์กลาส เท่ากัน 40 : 5 : 5
- 2) สูตรที่ 2 พาราฟิน : เกลือ : ไฟเบอร์กลาส เท่ากัน 40 : 10 : 5
- 3) สูตรที่ 3 พาราฟิน : เกลือ : ไฟเบอร์กลาส เท่ากัน 40 : 15 : 5
- 4) สูตรที่ 4 พาราฟิน : เกลือ : ไฟเบอร์กลาส เท่ากัน 40 : 5 : 10
- 5) สูตรที่ 5 พาราฟิน : เกลือ : ไฟเบอร์กลาส เท่ากัน 40 : 10 : 10
- 6) สูตรที่ 6 พาราฟิน : เกลือ : ไฟเบอร์กลาส เท่ากัน 40 : 15 : 10

ซึ่งสามารถสรุปผลการทดสอบสมบัติของกองกรีตบล็อกทั้ง 6 สูตร เปรียบเทียบกับกองกรีตบล็อกพาราฟินร้อยละ 40 ที่ได้เลือกจากการทดสอบในเบื้องต้น โดยมีรายละเอียดการทดสอบดังนี้

#### 4.2.1 การทดสอบมิติ

การเปรียบเทียบมิติแผ่นคอนกรีตบล็อกพาราฟินร้อยละ 40 ทั้ง 6 สูตรกับมาตรฐานผลิตภัณฑ์ อุตสาหกรรม มอก.378-2531 ซึ่งต้องมีเกณฑ์การค่าคลาดเคลื่อนไม่เกิน 3 มิลลิเมตรจากค่าคอนกรีตมาตรฐาน คือ ความหนา 50 มิลลิเมตร ความกว้าง 300 มิลลิเมตร และความยาว 300 มิลลิเมตร ได้ผลดังนี้

##### 4.2.1.1 ความหนา

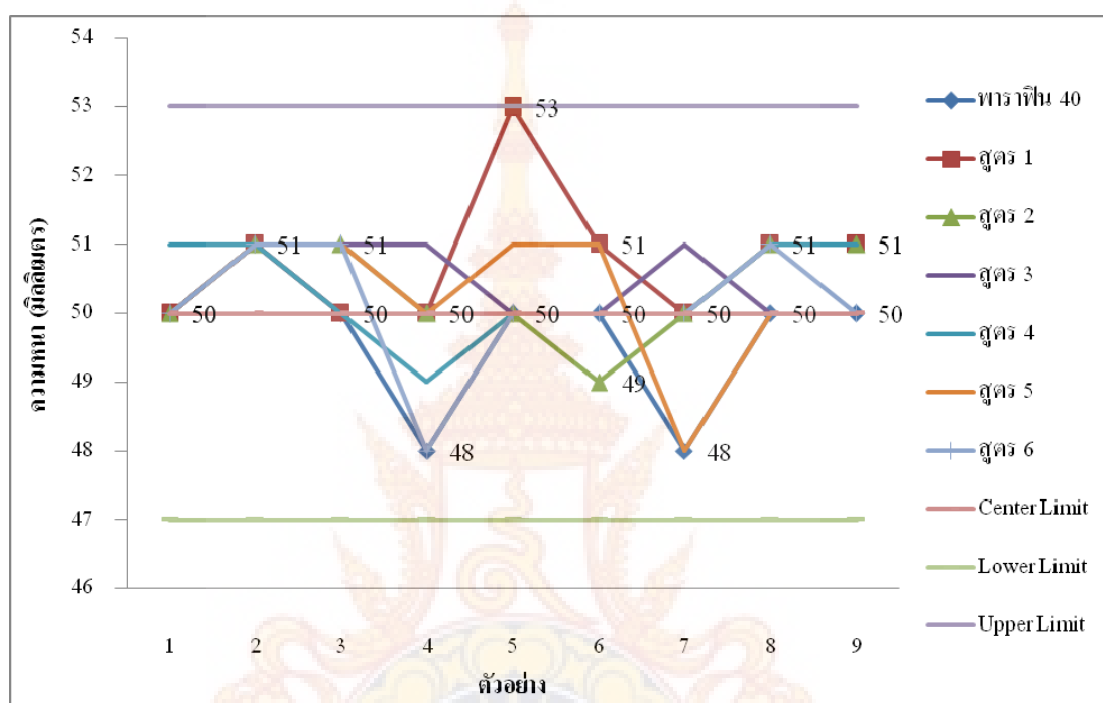
การทดสอบมิติด้านความหนาของคอนกรีตบล็อกพาราฟินพสมเกลือและไฟเบอร์กลาสได้ผลดังตารางที่ 4.13

**ตารางที่ 4.13 ผลการทดสอบมิติด้านความหนาของแผ่นคอนกรีตบล็อกพาราฟินพสมเกลือและไฟเบอร์กลาส**

ตัวอย่าง	ความหนา (มิลลิเมตร)						
	พาราฟิน 40	สูตร 1	สูตร 2	สูตร 3	สูตร 4	สูตร 5	สูตร 6
1	50	50	50	50	51	50	50
2	51	51	51	51	51	51	51
3	50	50	51	51	50	51	51
4	48	50	50	51	49	50	48
5	50	53	50	50	50	51	50
6	50	51	49	50	50	51	50
7	48	50	50	51	50	48	50
8	50	51	51	50	51	50	51
9	50	51	51	50	51	50	50
ค่าเฉลี่ย (มิลลิเมตร)	49.67	50.78	50.33	50.44	50.33	50.22	50.11

โดยสรุปพบว่า ค่าความหนาเฉลี่ยของคอนกรีตบล็อกพาราฟินร้อยละ 40 เท่ากับ 49.67 มิลลิเมตร และคอนกรีตบล็อกพาราฟินพสมเกลือและไฟเบอร์กลาสทั้ง 6 สูตร มีค่าอยู่ในช่วง 50.11 – 50.78 มิลลิเมตร ซึ่งสูตรที่ 1 ให้ค่ามากที่สุด และสูตรที่ 6 ให้ค่าน้อยที่สุด

จากผลการทดสอบมิติด้านความหนาของคอนกรีตบล็อกพาราฟินผสมเกลือและไฟเบอร์กลาส สามารถนำໄปวิเคราะห์ด้วยแผนภูมิพิกัดควบคุมเพื่อดูข้อมูลของมิติความหนาของแผ่นคอนกรีตบล็อกพาราฟินที่ทดสอบว่าอยู่ในช่วงพิกัดของค่ามาตรฐาน ( $50 \pm 3$  มิลลิเมตร) หรือไม่ ดังแสดงในภาพที่ 4.13



ภาพที่ 4.13 แผนภูมิพิกัดควบคุมมิติด้านความหนาของคอนกรีตบล็อกพาราฟินผสมเกลือและไฟเบอร์กลาส

จากภาพที่ 4.13 มิติด้านความหนาของคอนกรีตบล็อกมีค่ามาตรฐานเท่ากับ  $50 \pm 3$  มิลลิเมตร และจากตัวอย่างที่ทดสอบมีค่าอยู่ในช่วง  $48 - 53$  มิลลิเมตร พนว่าทั้งคอนกรีตพาราฟินร้อยละ 40 และคอนกรีตบล็อกพาราฟินผสมเกลือและไฟเบอร์กลาสทั้ง 6 สูตร ให้ค่าความหนาอยู่ในมาตรฐานที่กำหนด

หลังจากนั้นทำการวิเคราะห์ความแตกต่างของมิติด้านความหนา ด้วยการวิเคราะห์ความแปรปรวนแบบทางเดียว One Way Analysis of Variance (One Way ANOVA) โดยตั้งสมมติฐานหลักได้ว่า มิติด้านความหนาของคอนกรีตบล็อกพาราฟินร้อยละ 40 และคอนกรีตบล็อกพาราฟินทั้ง 6 สูตร ไม่แตกต่างกัน ที่ระดับความเชื่อมั่นร้อยละ 95

สมมติฐาน  $H_0 : \mu_1 = \mu_2 = \mu_3 = \mu_4 = \mu_5 = \mu_6 = \mu_7$   
 $H_1 : \mu_1 \neq \mu_2 \neq \mu_3 \neq \mu_4 \neq \mu_5 \neq \mu_6 \neq \mu_7$  อาย่างน้อย 1 ค่า  
 เมื่อ  $\mu_1$  = ค่าเฉลี่ยความหนาของคอนกรีตบล็อกพาราฟินร้อยละ 40  
 $\mu_2$  = ค่าเฉลี่ยความหนาของคอนกรีตสูตร 1  
 $\mu_3$  = ค่าเฉลี่ยความหนาของคอนกรีตสูตร 2  
 $\mu_4$  = ค่าเฉลี่ยความหนาของคอนกรีตสูตร 3  
 $\mu_5$  = ค่าเฉลี่ยความหนาของคอนกรีตสูตร 4  
 $\mu_6$  = ค่าเฉลี่ยความหนาของคอนกรีตสูตร 5  
 $\mu_7$  = ค่าเฉลี่ยความหนาของคอนกรีตสูตร 6

การตัดสินใจที่ระดับนัยสำคัญ  $\alpha = 0.05$

ผลการทดสอบสมมติฐานมิติค่านความหนา ได้ผลดังตารางที่ 4.14

ตารางที่ 4.14 การเปรียบเทียบมิติค่านความหนาของคอนกรีตบล็อกพาราฟิน จำแนกตามประเภท ส่วนผสมของคอนกรีต

แหล่งข้อมูล	DF	SS	MS	F	P
ความหนา	6	6.190	1.032	1.44	0.217
Error	56	40.222	0.718		
Total	62	46.413			
ประเภทของ คอนกรีตบล็อก	จำนวน (แผ่น)		มิติค่านความหนา		
			ค่าเฉลี่ย	ค่าเบี่ยงเบนมาตรฐาน	
พาราฟิน 40	9	49.667		1.000	
สูตร 1	9	50.778		0.972	
สูตร 2	9	50.333		0.707	
สูตร 3	9	50.444		0.527	
สูตร 4	9	50.333		0.707	
สูตร 5	9	50.222		0.972	
สูตร 6	9	50.111		0.928	

จากตารางที่ 4.14 พบว่า ค่า P-value เท่ากับ 0.217 มีค่ามากกว่า ระดับนัยสำคัญที่ 0.05 จึงไม่สามารถปฏิเสธสมมติฐานหลักได้ ดังนั้นจึงสรุปได้ว่า มิติด้านความหนาของคอนกรีตบล็อกพาราฟิน และคอนกรีตบล็อกพาราฟินผสมเกลือและไฟเบอร์กลาสทั้ง 6 สูตรไม่แตกต่างกันที่ระดับนัยสำคัญ 0.05 หรือที่ระดับความเชื่อมั่นร้อยละ 95

#### 4.2.1.2 ความกว้าง

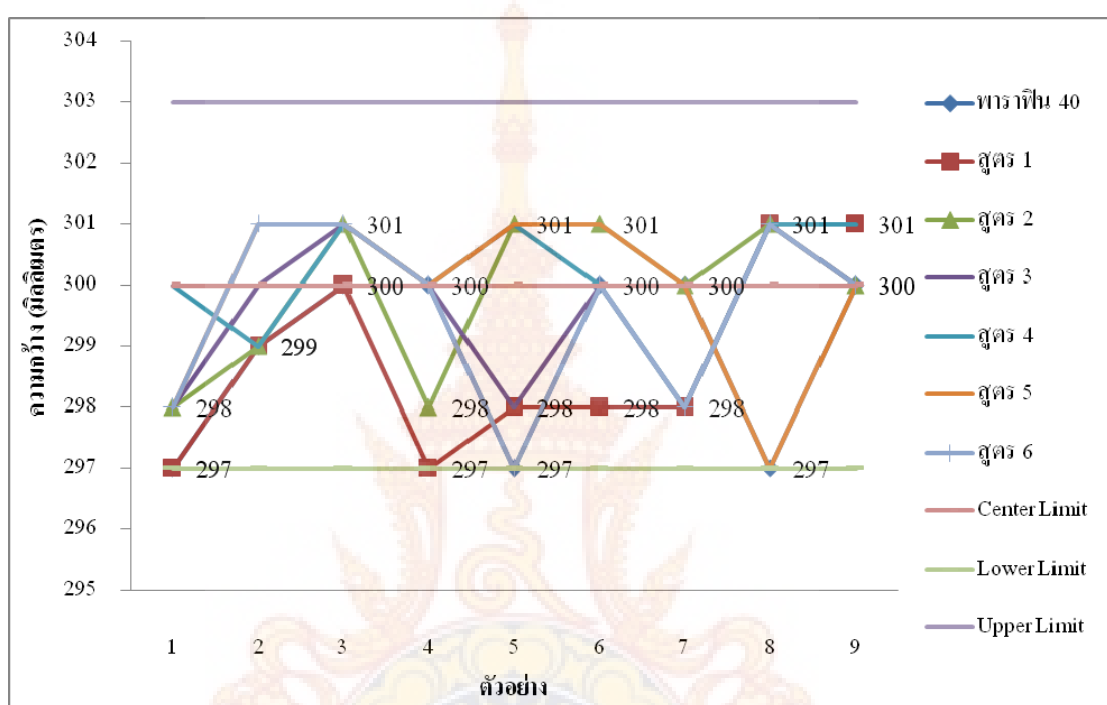
การทดสอบมิติด้านความกว้างของคอนกรีตบล็อกพาราฟินผสมเกลือและไฟเบอร์กลาส ได้ผลดังตารางที่ 4.15

ตารางที่ 4.15 ผลการทดสอบมิติด้านความกว้างของแผ่นคอนกรีตบล็อกพาราฟินผสมเกลือและไฟเบอร์กลาส

ตัวอย่าง	ความกว้าง (มิลลิเมตร)						
	พาราฟิน 40	สูตร 1	สูตร 2	สูตร 3	สูตร 4	สูตร 5	สูตร 6
1	297	297	298	298	300	298	298
2	299	299	299	300	299	301	301
3	300	300	301	301	301	301	301
4	300	297	298	300	300	300	300
5	297	298	301	298	301	301	297
6	300	298	301	300	300	301	300
7	300	298	300	298	298	300	298
8	297	301	301	301	301	297	301
9	300	301	300	300	301	300	300
ค่าเฉลี่ย (มิลลิเมตร)	298.89	298.78	299.89	299.56	300.11	299.89	299.56

โดยสรุปพบว่า ค่าความกว้างเฉลี่ยของคอนกรีตบล็อกพาราฟินร้อยละ 40 เท่ากับ 298.89 มิลลิเมตร และคอนกรีตบล็อกพาราฟินผสมเกลือและไฟเบอร์กลาสทั้ง 6 สูตร มีค่าอยู่ในช่วง 298.78 – 300.11 มิลลิเมตร ซึ่งสูตรที่ 4 ให้ค่ามากที่สุด และสูตรที่ 1 ให้ค่าน้อยที่สุด

จากผลการทดสอบมิติด้านความกว้างของคอนกรีตบล็อกพาราฟินผสมเกลือและไฟเบอร์กลาส สามารถนำໄไปวิเคราะห์ด้วยแผนภูมิพิกัดควบคุมเพื่อคุณภาพของคอนกรีตบล็อกพาราฟินที่ทดสอบว่าอยู่ในช่วงพิกัดของค่ามาตรฐาน ( $300 \pm 3$  มิลลิเมตร) หรือไม่ ดังแสดงในภาพที่ 4.14



ภาพที่ 4.14 แผนภูมิพิกัดควบคุมมิติด้านความกว้างของคอนกรีตบล็อกพาราฟินผสมเกลือและไฟเบอร์กลาส

จากภาพที่ 4.14 มิติด้านความกว้างของคอนกรีตบล็อกมีค่ามาตรฐานเท่ากับ  $300 \pm 3$  มิลลิเมตร และจากตัวอย่างที่ทดสอบมีค่าอยู่ในช่วง  $297 - 301$  มิลลิเมตร พนว่าทั้งคอนกรีตบล็อกพาราฟินร้อยละ 40 และคอนกรีตบล็อกพาราฟินผสมเกลือและไฟเบอร์กลาสทั้ง 6 สูตร ให้ค่าความกว้างอยู่ในมาตรฐานที่กำหนด

หลังจากนี้ทำการวิเคราะห์ความแตกต่างของมิติด้านความกว้าง ด้วยการวิเคราะห์ความแปรปรวนแบบทางเดียว One Way Analysis of Variance (One Way ANOVA) โดยตั้งสมมติฐานหลักได้ว่า มิติด้านความกว้างของคอนกรีตบล็อกพาราฟินร้อยละ 40 และคอนกรีตบล็อกพาราฟินทั้ง 6 สูตร ไม่แตกต่างกัน ที่ระดับความเชื่อมั่นร้อยละ 95

สมมติฐาน  $H_0 : \mu_1 = \mu_2 = \mu_3 = \mu_4 = \mu_5 = \mu_6 = \mu_7$   
 $H_1 : \mu_1 \neq \mu_2 \neq \mu_3 \neq \mu_4 \neq \mu_5 \neq \mu_6 \neq \mu_7$  อาย่างน้อย 1 ค่า  
 เมื่อ  $\mu_1$  = ค่าเฉลี่ยความกว้างของคอนกรีตบล็อกพาราฟินร้อยละ 40  
 $\mu_2$  = ค่าเฉลี่ยความกว้างของคอนกรีตสูตร 1  
 $\mu_3$  = ค่าเฉลี่ยความกว้างของคอนกรีตสูตร 2  
 $\mu_4$  = ค่าเฉลี่ยความกว้างของคอนกรีตสูตร 3  
 $\mu_5$  = ค่าเฉลี่ยความกว้างของคอนกรีตสูตร 4  
 $\mu_6$  = ค่าเฉลี่ยความกว้างของคอนกรีตสูตร 5  
 $\mu_7$  = ค่าเฉลี่ยความกว้างของคอนกรีตสูตร 6

การตัดสินใจที่ระดับนัยสำคัญ  $\alpha = 0.05$

ผลการทดสอบสมมติฐานมิติด้านความกว้าง ได้ผลดังตารางที่ 4.16

ตารางที่ 4.16 การเปรียบเทียบมิติด้านความกว้างของคอนกรีตบล็อกพาราฟิน จำแนกตามประเภท ส่วนผสมของคอนกรีต

แหล่งข้อมูล	DF	SS	MS	F	P
ความกว้าง	6	14.16	2.36	1.25	0.294
Error	56	105.56	1.88		
Total	62	119.71			
ประเภทของ		จำนวน		มิติด้านความกว้าง	
คอนกรีตบล็อก	(แผ่น)		ค่าเฉลี่ย	ค่าเบี่ยงเบนมาตรฐาน	
พาราฟิน 40	9	298.89	1.45		
สูตร 1	9	298.78	1.56		
สูตร 2	9	299.89	1.27		
สูตร 3	9	299.56	1.24		
สูตร 4	9	300.11	1.05		
สูตร 5	9	299.89	1.45		
สูตร 6	9	299.56	1.51		

จากตารางที่ 4.16 พบว่า ค่า P-value เท่ากับ 0.294 มีค่ามากกว่า ระดับนัยสำคัญที่ 0.05 จึงไม่สามารถปฏิเสธสมมติฐานหลักได้ ดังนั้นจึงสรุปได้ว่า มิติด้านความกว้างของคอนกรีตบล็อกพาราฟิน และคอนกรีตบล็อกพาราฟินผสมเกลือและไฟเบอร์กลาสทั้ง 6 สูตรไม่แตกต่างกันที่ระดับนัยสำคัญ 0.05 หรือที่ระดับความเชื่อมั่นร้อยละ 95

#### 4.2.1.3 ความยาว

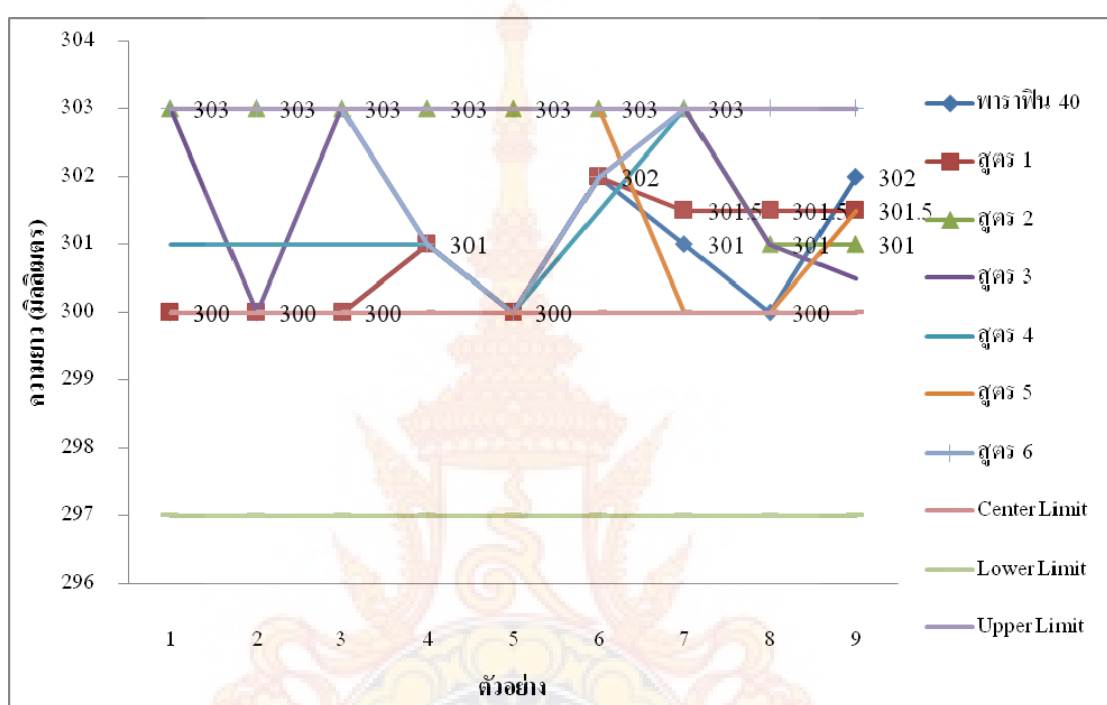
การทดสอบมิติด้านความยาวของคอนกรีตบล็อกพาราฟินผสมเกลือและไฟเบอร์กลาสได้ผลดังตารางที่ 4.17

ตารางที่ 4.17 ผลการทดสอบมิติด้านความยาวของแผ่นคอนกรีตบล็อกพาราฟินผสมเกลือและไฟเบอร์กลาส

ตัวอย่าง	ความยาว (มิลลิเมตร)						
	พาราฟิน 40	สูตร 1	สูตร 2	สูตร 3	สูตร 4	สูตร 5	สูตร 6
1	300	300	303	303	301	303	303
2	300	300	303	300	301	303	303
3	300	300	303	303	301	303	303
4	301	301	303	301	301	303	301
5	300	300	303	300	300	303	300
6	302	302	303	302	301.50	303	302
7	301	301.50	303	303	303	300	303
8	300	301.50	301	301	303	300	303
9	302	301.50	301	300.50	303	301.50	303
ค่าเฉลี่ย (มิลลิเมตร)	300.67	300.83	302.56	301.50	301.61	302.17	302.33

โดยสรุปพบว่า ค่าความยาวเฉลี่ยของคอนกรีตบล็อกพาราฟินร้อยละ 40 เท่ากับ 300.67 มิลลิเมตร และคอนกรีตบล็อกพาราฟินผสมเกลือและไฟเบอร์กลาสทั้ง 6 สูตร มีค่าอยู่ในช่วง 300.83 – 302.56 มิลลิเมตร ซึ่งสูตรที่ 2 ให้ค่ามากที่สุด และสูตรที่ 1 ให้ค่าน้อยที่สุด

จากผลการทดสอบมิติด้านความยาวของคอนกรีตบล็อกพาราฟินผสมเกลือและไฟเบอร์กลาส สามารถนำไปวิเคราะห์ด้วยแผนภูมิพิกัดความคุณเพื่อคุณภาพของคอนกรีตบล็อกพาราฟินที่ทดสอบว่าอยู่ในช่วงพิกัดของค่ามาตรฐาน ( $300 \pm 3$  มิลลิเมตร) หรือไม่ ดังแสดงในภาพที่ 4.15



ภาพที่ 4.15 แผนภูมิพิกัดความคุณมิติด้านความยาวของคอนกรีตบล็อกพาราฟินผสมเกลือและไฟเบอร์กลาส

จากภาพที่ 4.15 มิติด้านความยาวของคอนกรีตบล็อกมีค่ามาตรฐานเท่ากับ  $300 \pm 3$  มิลลิเมตร และจากตัวอย่างที่ทดสอบมีค่าอยู่ในช่วง  $300 - 303$  มิลลิเมตร พนว่าทั้งคอนกรีตบล็อกพาราฟินร้อยละ 40 และคอนกรีตบล็อกพาราฟินผสมเกลือและไฟเบอร์กลาสทั้ง 6 สูตร ให้ค่าความยาวอยู่ในมาตรฐานที่กำหนด แต่มีค่าอยู่ในช่วงพิกัดบน

หลังจากนี้ทำการวิเคราะห์ความแตกต่างของมิติด้านความยาว ด้วยการวิเคราะห์ความแปรปรวนแบบทางเดียว One Way Analysis of Variance (One Way ANOVA) โดยตั้งสมมติฐานหลักได้ว่า มิติด้านความยาวของคอนกรีตบล็อกพาราฟินร้อยละ 40 และคอนกรีตบล็อกพาราฟินทั้ง 6 สูตร ไม่แตกต่างกัน ที่ระดับความเชื่อมั่นร้อยละ 95

สมมติฐาน  $H_0 : \mu_1 = \mu_2 = \mu_3 = \mu_4 = \mu_5 = \mu_6 = \mu_7$   
 $H_1 : \mu_1 \neq \mu_2 \neq \mu_3 \neq \mu_4 \neq \mu_5 \neq \mu_6 \neq \mu_7$  อาย่างน้อย 1 ค่า  
 เมื่อ  $\mu_1$  = ค่าเฉลี่ยความขาวของคอนกรีตบล็อกพลาฟินร้อยละ 40  
 $\mu_2$  = ค่าเฉลี่ยความขาวของคอนกรีตสูตร 1  
 $\mu_3$  = ค่าเฉลี่ยความขาวของคอนกรีตสูตร 2  
 $\mu_4$  = ค่าเฉลี่ยความขาวของคอนกรีตสูตร 3  
 $\mu_5$  = ค่าเฉลี่ยความขาวของคอนกรีตสูตร 4  
 $\mu_6$  = ค่าเฉลี่ยความขาวของคอนกรีตสูตร 5  
 $\mu_7$  = ค่าเฉลี่ยความขาวของคอนกรีตสูตร 6  
 การตัดสินใจที่ระดับนัยสำคัญ  $\alpha = 0.05$   
 ผลการทดสอบสมมติฐานมิติด้านความขาว ได้ผลดังตารางที่ 4.16

ตารางที่ 4.18 การเปรียบเทียบมิติด้านความขาวของคอนกรีตบล็อกพลาฟิน จำแนกตามประเภท ส่วนผสมของคอนกรีต

แหล่งข้อมูล	DF	SS	MS	F	P
ความกว้าง	6	28.89	4.81	4.17	0.002
Error	56	64.61	1.15		
Total	62	93.50			
ประเภทของ คอนกรีตบล็อก		จำนวน (แผ่น)	มิติด้านความขาว		
			ค่าเฉลี่ย	ค่าเบี่ยงเบนมาตรฐาน	
พลาฟิน 40	9	300.67	0.87		
สูตร 1	9	300.83	0.83		
สูตร 2	9	302.56	0.88		
สูตร 3	9	301.50	1.27		
สูตร 4	9	301.61	1.11		
สูตร 5	9	302.17	1.32		
สูตร 6	9	302.33	1.12		

จากตารางที่ 4.18 พนว่าค่า P-value เท่ากับ 0.002 มีค่าน้อยกว่าระดับนัยสำคัญที่ 0.05 จึงปฏิเสธสมมติฐานหลัก ดังนั้นจึงสรุปได้ว่า มิติด้านความยาวของคอนกรีตบล็อกพาราฟิน และคอนกรีตบล็อกพาราฟินผสมเกลือและไฟเบอร์กลาสทั้ง 6 สูตรแตกต่างกันที่ระดับนัยสำคัญ 0.05 หรือที่ระดับความเชื่อมั่นร้อยละ 95 ซึ่งอาจเกิดจากความคลาดเคลื่อนจากการเทแบบคอนกรีต แต่อย่างไรก็ตามคอนกรีตบล็อกทุกสูตรผ่านตามเกณฑ์มาตรฐานทั้งหมด

### สรุปผลการทดสอบด้านมิติ

สามารถสรุปผลการทดสอบด้านมิติได้ว่า มิติด้านความหนา ความกว้าง และความยาว ของทั้งคอนกรีตบล็อกพาราฟินร้อยละ 40 และคอนกรีตบล็อกพาราฟินผสมเกลือและไฟเบอร์กลาส ให้ค่าเฉลี่ยอยู่ในช่วงมาตรฐานทั้งหมด

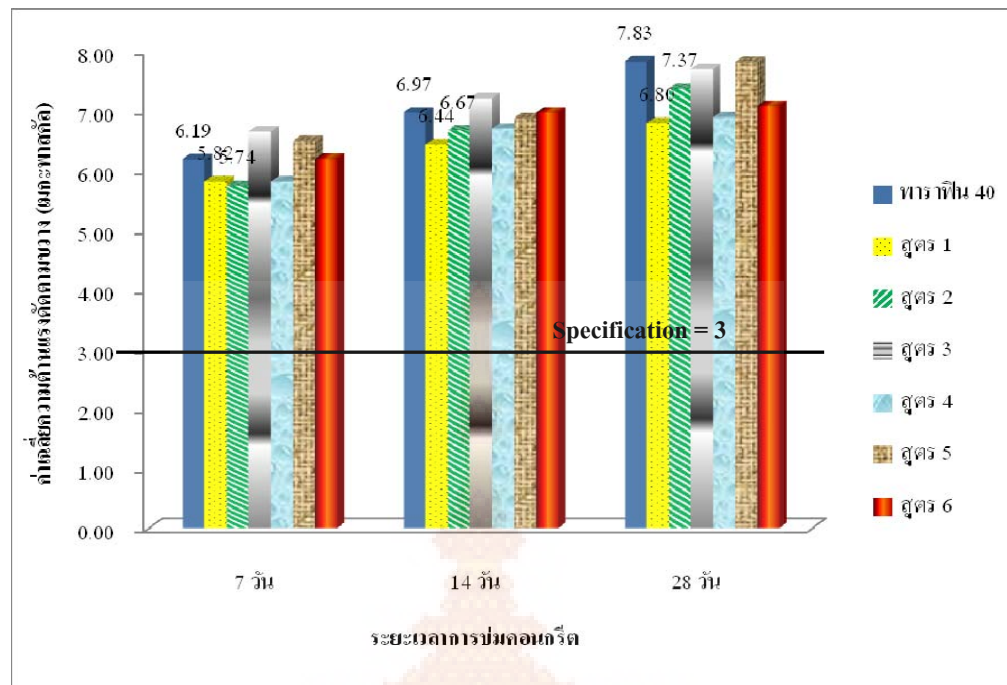
#### 4.2.2 การทดสอบค่าความแข็งแรง (การทดสอบแรงอัดหรือกำลังอัดของคอนกรีต)

การทดสอบค่าความแข็งแรงของคอนกรีตบล็อก วัดได้จากค่าความต้านแรงดัดตามขวาง โดยมาตรฐานผลิตภัณฑ์อุตสาหกรรม มอก.378-2531 กำหนดให้การรับแรงดัดตามขวางของคอนกรีตบุปเพ็นต้องมีค่าไม่น้อยกว่า 2.5 เมกะพาสคัล และค่าเฉลี่ยไม่น้อยกว่า 3 เมกะพาสคัล

การทดสอบค่าความต้านแรงดัดตามขวาง ต้องนำคอนกรีตบล็อกไปปั่น โดยการแช่ในน้ำเป็นเวลา 7 วัน 14 วัน และ 28 วัน เพื่อเป็นการควบคุมและป้องกันไม่ให้น้ำส่วนที่เหลือจากการทำปฏิกิริยาระเหยอก ส่งผลต่อการพัฒนากำลังอัดของคอนกรีตเป็นไปอย่างสมบูรณ์ ทำให้คอนกรีตบล็อกมีคุณสมบัติทนทาน ทึบ拿 ไม่สึกกร่อน และข่ายลดการหดตัว หลังจากนั้นจึงให้แรงอัดแก่คอนกรีตจนแตกหัก ซึ่งรายละเอียดผลการบันทึกค่าความต้านแรงดัดตามขวางของคอนกรีตบล็อกทั้งหมดที่ต้องการเปรียบเทียบเพื่อพัฒนา ได้แก่ คอนกรีตบล็อกพาราฟินร้อยละ 40 และคอนกรีตบล็อกพาราฟินผสมเกลือและไฟเบอร์กลาสทั้ง 6 สูตร ที่ระยะเวลาการบ่ม 7 วัน 14 วัน และ 28 วัน ได้แสดงไว้ในภาคผนวก ซึ่งสามารถสรุปผลแรงดัดตามขวางได้ดังตารางที่ 4.19

ตารางที่ 4.19 สรุปค่าความต้านแรงดัดตามขวางของคอนกรีตบล็อกพาราฟินประเภทต่างๆ ที่ระยะเวลาบ่มแตกต่างกัน

ประเภท คอนกรีตบล็อก	ความต้านแรงดัดตามขวางตามระยะเวลาการบ่ม (เมกะพาสคัล)											
	7 วัน				14 วัน				28 วัน			
	1	2	3	ค่าเฉลี่ย	1	2	3	ค่าเฉลี่ย	1	2	3	ค่าเฉลี่ย
พาราฟิน 40	6.22	6.02	6.32	6.19	7.14	6.79	6.97	6.97	8.27	7.60	7.61	7.83
สูตร 1	5.86	5.59	6.00	5.82	6.85	6.06	6.41	6.44	7.08	6.80	6.51	6.80
สูตร 2	5.92	5.69	5.61	5.74	6.51	6.60	6.90	6.67	7.49	7.34	7.29	7.37
สูตร 3	6.51	6.40	7.04	6.65	6.91	7.21	7.51	7.21	7.58	7.80	7.73	7.70
สูตร 4	5.80	5.59	6.06	5.82	6.85	6.70	6.55	6.70	7.28	6.81	6.58	6.89
สูตร 5	6.87	6.42	6.19	6.49	7.23	6.81	6.58	6.87	8.25	7.60	7.60	7.82
สูตร 6	6.35	6.15	6.08	6.19	7.16	6.77	6.99	6.97	7.28	6.81	7.15	7.08
ค่าเฉลี่ย				6.13				6.83				7.36



ภาพที่ 4.16 ค่าเฉลี่ยความด้านแรงดัดตามขวางของคอนกรีตบล็อกพาราฟิน ที่ระยะเวลาบ่มต่างๆ

สรุปผลการทดสอบความด้านแรงดัดตามขวางของคอนกรีตบล็อกพาราฟิน จากภาพที่ 4.16 พบว่าทั้งคอนกรีตบล็อกพาราฟิน และคอนกรีตบล็อกพาราฟินผสมเกลือและไฟเบอร์กลาสทั้ง 6 สูตร ให้ค่าความด้านแรงดัดตามขวางอยู่ในเกณฑ์มาตรฐาน (แต่ละแผ่นไม่น้อยกว่า 2.5 เมกะ帕斯คัล และค่าเฉลี่ยไม่น้อยกว่า 3 เมกะพาสคัล)

หลังจากนี้ทำการวิเคราะห์ความแตกต่างของค่าความด้านแรงดัดตามขวางของคอนกรีตบล็อกพาราฟินประเภทต่างๆ ที่ระยะเวลาบ่มแตกต่างกัน ด้วยการวิเคราะห์ความแปรปรวนสองทาง Two Way Analysis of Variance (Two Way ANOVA) โดยปัจจัยแรกคือจำนวนวันที่ทำการบ่ม คอนกรีตบล็อก และปัจจัยที่สองคือประเภทของคอนกรีตบล็อก ว่ามีผลต่อค่าความด้านแรงดัดตามขวางของคอนกรีตบล็อกแตกต่างกันหรือไม่ จึงต้องสมมติฐานหลักของคอนกรีตบล็อกพาราฟิน และคอนกรีตบล็อกพาราฟินผสมเกลือและไฟเบอร์กลาสที่ระดับความเชื่อมั่นร้อยละ 95 ดังนี้

**สมมติฐาน :** จำนวนวันที่ทำการบ่มคอนกรีตบล็อกมีผลต่อค่าความด้านแรงดัดตามขวางของคอนกรีตบล็อกแตกต่างกันหรือไม่

$$H_0: \mu_1 = \mu_2 = \mu_3$$

$$H_1: \mu_1 \neq \mu_2 \neq \mu_3 \text{ อ่ายงน้อย } 1 \text{ ค่า}$$

เมื่อ  $\mu_1$  = ค่าความด้านแรงดัดตามขวางที่ระยะเวลาการบ่มคอนกรีตบล็อก 7 วัน

$\mu_2$  = ค่าความด้านแรงดดดตามของที่ระยะเวลาการบ่มคอนกรีตบล็อก 14 วัน

$\mu_3$  = ค่าความด้านแรงดดตามของที่ระยะเวลาการบ่มคอนกรีตบล็อก 28 วัน

การตัดสินใจที่ระดับนัยสำคัญ  $\alpha = 0.05$

สมมติฐาน : ประเภทของคอนกรีตบล็อกมีผลต่อค่าความด้านแรงดดตามของคอนกรีตบล็อกแตกต่างกันหรือไม่

$$H_0: \mu_1 = \mu_2 = \mu_3 = \mu_4 = \mu_5 = \mu_6 = \mu_7$$

$$H_1: \mu_1 \neq \mu_2 \neq \mu_3 \neq \mu_4 \neq \mu_5 \neq \mu_6 \neq \mu_7 \text{ อย่างน้อย 1 ค่า}$$

เมื่อ  $\mu_1$  = ค่าความด้านแรงดดตามของของคอนกรีตบล็อกพาราฟิน

$\mu_2$  = ค่าความด้านแรงดดตามของของคอนกรีตบล็อกพาราฟินสูตร 1

$\mu_3$  = ค่าความด้านแรงดดตามของของคอนกรีตบล็อกพาราฟินสูตร 2

$\mu_4$  = ค่าความด้านแรงดดตามของของคอนกรีตบล็อกพาราฟินสูตร 3

$\mu_5$  = ค่าความด้านแรงดดตามของของคอนกรีตบล็อกพาราฟินสูตร 4

$\mu_6$  = ค่าความด้านแรงดดตามของของคอนกรีตบล็อกพาราฟินสูตร 5

$\mu_7$  = ค่าความด้านแรงดดตามของของคอนกรีตบล็อกพาราฟินสูตร 6

การตัดสินใจที่ระดับนัยสำคัญ  $\alpha = 0.05$

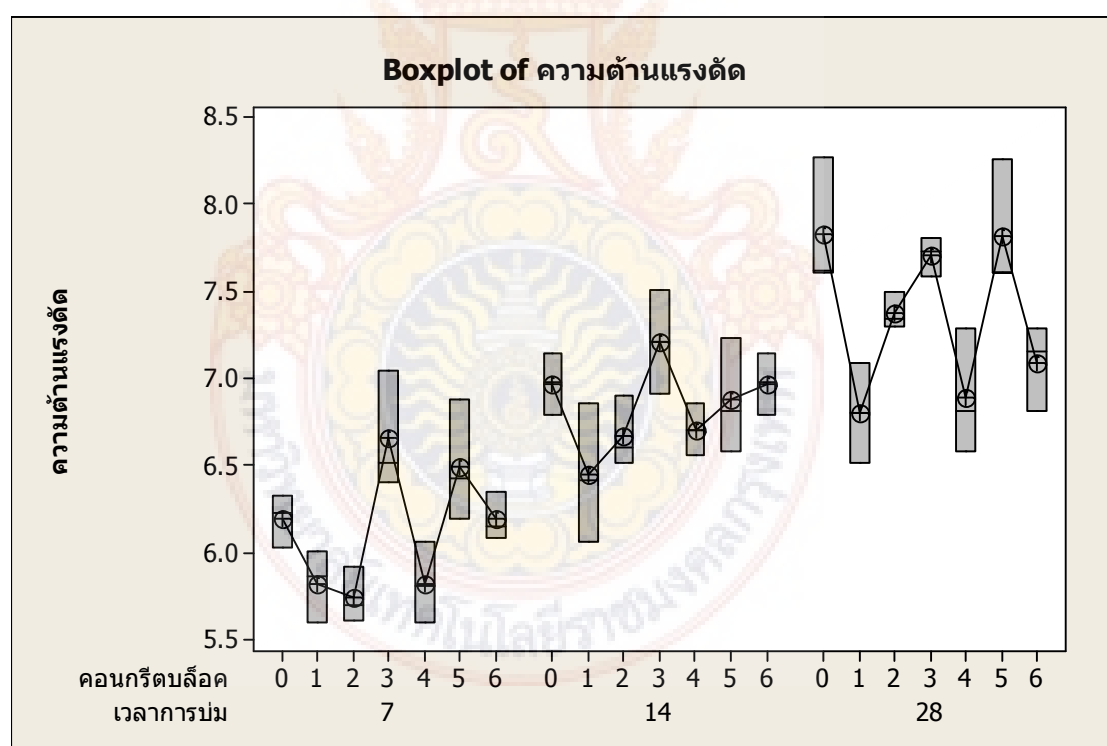
ผลการทดสอบสมมติฐานด้านความแข็งแรงของคอนกรีตบล็อกพาราฟิน ด้วยค่าความด้านแรงดดตามของของคอนกรีต ได้ผลดังตารางที่ 4.20

ตารางที่ 4.20 การวิเคราะห์ความแปรปรวนของค่าความด้านแรงดดตามของของคอนกรีตบล็อกพาราฟินประเภทต่างๆ ที่ระยะเวลาบ่มแตกต่างกัน

แหล่งข้อมูล	DF	SS	MS	F	P
ระยะเวลาการบ่ม	2	15.9269	7.96347	114.20	0.000
ประเภทคอนกรีต	6	5.4597	0.90995	13.05	0.000
Interaction	12	1.4316	0.11930	1.71	0.099
Error	42	2.9289	0.06973		
Total	62	25.7472			

จากตารางที่ 4.20 พนบว่า Interaction ให้ค่า P-value เท่ากับ 0.099 ซึ่งมากกว่าระดับนัยสำคัญที่ 0.05 จึงไม่สามารถปฏิเสธสมมติฐานหลักได้ แสดงว่าระยะเวลาการป่นและประเภทคอนกรีตไม่มีผลกระเทือนที่เกี่ยวเนื่องต่อกัน ดังนั้นจึงศึกษาแบบวิเคราะห์แยกกัน จึงสรุปได้ว่า สมมติฐานด้านระยะเวลาการป่น ให้ค่า P-value เท่ากับ 0.000 ซึ่งน้อยกว่านัยสำคัญที่ 0.05 จึงปฏิเสธ สมมติฐานหลัก ดังนั้นจึงสรุปได้ว่าจำนวนวันที่ทำการบ่มคอนกรีตบล็อกมีผลต่อความด้านแรงดัดตามขวางของคอนกรีตบล็อกแตกต่างกัน สำหรับสมมติฐานด้านประเภทคอนกรีตบล็อก ให้ค่า P-value เท่ากับ 0.000 ซึ่งน้อยกว่าระดับนัยสำคัญที่ 0.05 จึงปฏิเสธสมมติฐานหลัก ดังนั้นจึงสรุปได้ว่า คอนกรีตบล็อกพาราฟินและคอนกรีตบล็อกพาราฟินผสมเกลือและไฟเบอร์กลาสทั้ง 6 สูตร ให้ค่าความด้านแรงดัดตามขวางของคอนกรีตบล็อกแตกต่างกันที่ระดับนัยสำคัญ 0.05 หรือที่ระดับความเชื่อมั่นร้อยละ 95

จากนั้นจึงนำไปแสดงผลด้วยแผนภูมิกล่อง (Box Plot) เพื่อศึกษาดูช่วงของข้อมูลทั้งหมด และความแตกต่างของค่าเฉลี่ยกับค่าสูงสุดต่ำสุด แสดงดังภาพที่ 4.17



ภาพที่ 4.17 Box Plot ค่าความด้านแรงดัดตามคุณลักษณะทางวัสดุและระยะเวลาการป่น ต่อไป

จากภาพที่ 4.17 พบว่าที่ระยะเวลาการบ่ม 28 วัน ให้ค่าแรงดัดตามขวางมากที่สุด ส่วนที่ระยะเวลาการบ่ม 7 วัน ให้ค่าแรงดัดตามขวางน้อยที่สุด ซึ่งสอดคล้องกับการนำเสนอผลที่ผ่านมา ดังนั้นสามารถสรุปได้ว่า หากระยะเวลาการบ่มมาก จะให้ค่าความด้านแรงดัดตามขวางมากขึ้นด้วย เช่นกัน ซึ่งค่าความด้านแรงดัดตามขวางที่ระยะเวลาการบ่ม 28 วันของคอนกรีตบล็อกพาราฟิน ให้ค่าสูงที่สุด คือ 7.83 เมกะพาสคัล และคอนกรีตบล็อกพาราฟินผสมเกลือและไฟเบอร์กลาสสูตร 1 (40 : 5 : 5) ให้ค่าต่ำที่สุด คือ 6.80 เมกะพาสคัล

#### **สรุปผลการทดสอบค่าความแข็งแรง**

สามารถสรุปผลการทดสอบค่าความแข็งแรงได้ว่า ห้องคอนกรีตบล็อกพาราฟิน และคอนกรีตบล็อกพาราฟินผสมเกลือและไฟเบอร์กลาสห้อง 6 สูตร ให้ค่าความด้านแรงดัดตามขวางอยู่ในเกณฑ์มาตรฐานและแตกต่างกันที่ระดับความเชื่อมั่นร้อยละ 95

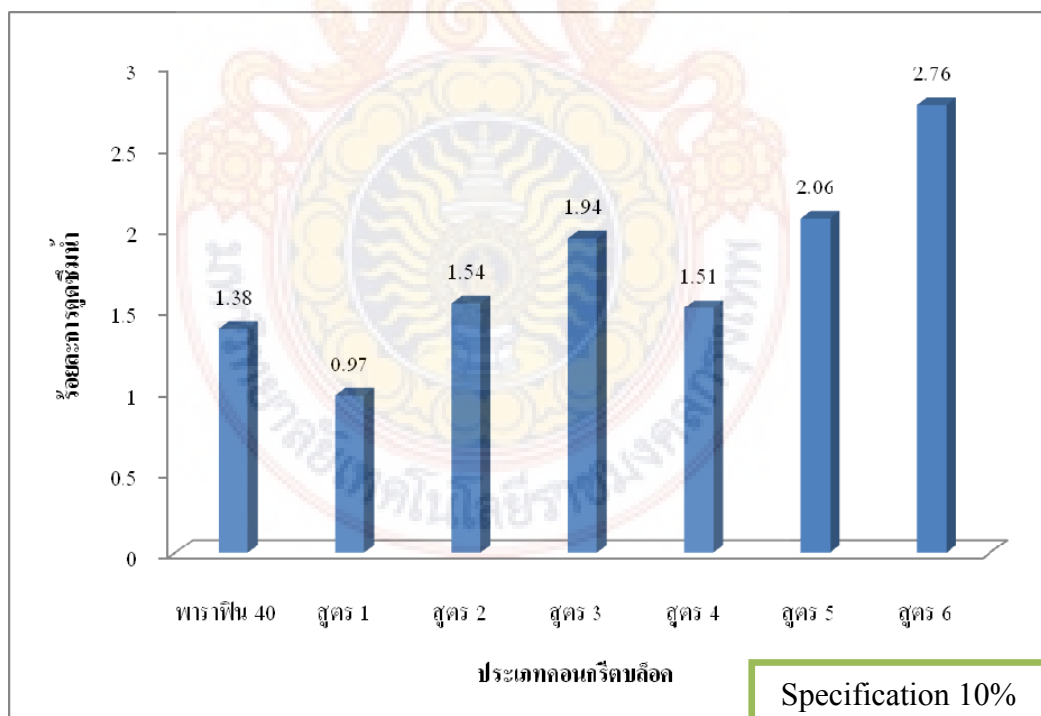
และจำนวนวันที่ทำการบ่มคอนกรีตมีผลต่อค่าความด้านแรงดัดตามขวาง โดยหากระยะเวลาการบ่มมาก จะให้ค่าความด้านแรงดัดตามขวางมากขึ้นด้วยเช่นกัน และระยะเวลาการบ่มคอนกรีตที่ให้ค่าแรงดัดตามขวางมากที่สุดคือ 28 วัน

#### **4.2.3 การทดสอบค่าการดูดซึมน้ำ**

การดูดซึมน้ำของคอนกรีตปูพื้นเมื่อเปรียบเทียบกับมาตรฐานผลิตภัณฑ์อุตสาหกรรม มอก. 378-2531 ต้องไม่เกินร้อยละ 10 โดยน้ำหนัก ซึ่งได้ผลการทดสอบการดูดซึมน้ำของคอนกรีตบล็อกพาราฟินร้อยละ 40 และคอนกรีตพาราฟินผสมเกลือและไฟเบอร์กลาส ห้อง 6 สูตร ดังตารางที่ 4.21

ตารางที่ 4.21 ผลทดสอบการดูดซึมน้ำของคอนกรีตบล็อกพาราฟิน

ตัวอย่าง	มวลตัวอย่างอบแห้ง ( $M_1$ , กิโลกรัม)				มวลตัวอย่างอิ่มน้ำ ( $M_2$ , กิโลกรัม)				ร้อยละการดูดซึมน้ำ $\frac{(M_2 - M_1)}{M_1} * 100$
	ครั้งที่ 1	ครั้งที่ 2	ครั้งที่ 3	ค่าเฉลี่ย	ครั้งที่ 1	ครั้งที่ 2	ครั้งที่ 3	ค่าเฉลี่ย	
พาราฟิน 40	9.90	9.87	10.00	9.92	10.03	10.02	10.13	10.06	1.38
สูตร 1	9.94	10.00	9.90	9.95	10.04	10.07	10.02	10.04	0.97
สูตร 2	9.95	10.01	9.97	9.98	10.10	10.15	10.14	10.13	1.54
สูตร 3	10.07	10.12	10.15	10.11	10.25	10.33	10.35	10.31	1.94
สูตร 4	9.92	9.90	9.96	9.93	10.07	10.06	10.10	10.08	1.51
สูตร 5	10.00	10.06	10.07	10.04	10.22	10.25	10.28	10.25	2.06
สูตร 6	10.13	10.14	10.13	10.13	10.41	10.44	10.39	10.41	2.76



ภาพที่ 4.18 ร้อยละการดูดซึมน้ำของคอนกรีตบล็อกพาราฟินประเภทต่างๆ

จากการทดสอบการคูดซึมน้ำของคอนกรีตบล็อกพาราฟินร้อยละ 40 และคอนกรีตบล็อกพาราฟินผสมเกลือและไฟเบอร์กลาสทั้ง 6 สูตร พบว่าค่าร้อยละการคูดซึมน้ำของคอนกรีตทุกประเภทอยู่ในเกณฑ์มาตรฐาน (ไม่เกินร้อยละ 10) และให้ค่าการคูดซึมน้ำอยู่ในระดับต่ำ แต่หากเรียงลำดับการคูดซึมน้ำที่ดีที่สุดไปหาน้อยที่สุด จะได้ว่า คอนกรีตบล็อกพาราฟินผสมเกลือและไฟเบอร์กลาสสูตรที่ 1 ( $40 : 5 : 5$ ) ให้ค่าร้อยละ 0.97 รองลงมาคือคอนกรีตบล็อกพาราฟิน 40 และคอนกรีตบล็อกพาราฟินผสมเกลือและไฟเบอร์กลาสสูตรที่ 4 ( $40 : 5 : 10$ ) ให้ค่าเท่ากับร้อยละ 1.38 และ 1.51 ตามลำดับ และคอนกรีตบล็อกพาราฟินที่ให้ค่าการคูดซึมน้ำมากยังที่สุดคือสูตรผสมเกลือและไฟเบอร์กลาสสูตรที่ 6 ( $40 : 15 : 10$ ) ให้ค่าเท่ากับร้อยละ 2.76

### **สรุปผลการทดสอบค่าการคูดซึมน้ำ**

ดังนั้นการทดสอบการคูดซึมน้ำของทั้งคอนกรีตบล็อกพาราฟินร้อยละ 40 และคอนกรีตบล็อกพาราฟินผสมเกลือและไฟเบอร์กลาสทั้ง 6 สูตร อยู่ในเกณฑ์มาตรฐาน และให้ค่าการคูดซึมน้ำอยู่ในระดับต่ำ ซึ่งถือว่าคอนกรีตบล็อกอยู่ในเกณฑ์ดีมากทั้งหมด แต่หากพิจารณาที่ค่าการคูดซึมน้ำที่ดีที่สุด (คูดซึมน้ำน้อย) คือคอนกรีตบล็อกพาราฟินผสมเกลือและไฟเบอร์กลาสสูตรที่ 1 ( $40 : 5 : 5$ ) ให้ค่าเดียวกับคอนกรีตบล็อกพาราฟิน 40 ในเบื้องต้น

#### **4.2.4 การทดสอบการสะสมความร้อน**

การศึกษาค่าสะสมความร้อนของคอนกรีตบล็อกจากการเปรียบเทียบวัดค่าอุณหภูมิของคอนกรีตกางแสงแสลงแคดแต่ละช่วงเวลาในอาคารปกติกับการสร้างห้องจำลองขนาด  $390 \times 390 \times 190$  มิลลิเมตรเพื่อใช้ทดสอบ และหาความแตกต่างเพื่อบ่งบอกถึงการสะสมความร้อนของคอนกรีตบล็อกที่เกิดขึ้น สามารถนำผลที่ได้จากการทดลองบันทึกค่าอุณหภูมิในช่วงเวลาต่างๆ ของคอนกรีตบล็อกพาราฟินร้อยละ 40 และคอนกรีตบล็อกพาราฟินผสมเกลือและไฟเบอร์กลาสทั้ง 6 สูตร ดังตารางที่ 4.22

ตารางที่ 4.22 ค่าอุณหภูมิการสะสานความร้อนของคอนกรีตบล็อกพาราฟินประเภทต่างๆ

เวลา	อุณหภูมิที่วัดได้ของแผ่นคอนกรีตบล็อกชนิดต่างๆ (องศาเซลเซียส)								
	พาราฟินร้อยละ 40			สูตร 1			สูตร 2		
	อุณหภูมิปกติ	อุณหภูมิในห้องทดลอง	ความแตกต่าง	อุณหภูมิปกติ	อุณหภูมิในห้องทดลอง	ความแตกต่าง	อุณหภูมิปกติ	อุณหภูมิในห้องทดลอง	ความแตกต่าง
08.00 น.	29.8	31.5	1.7	29.7	33.1	3.4	29.6	34.8	5.2
12.00 น.	41.7	51.5	9.8	39.6	45.6	6.0	39.6	48.1	8.5
15.00 น.	36.7	46.2	9.5	36.9	43.7	6.8	36.8	48.8	12.0
18.00 น.	32.4	40.3	7.9	31.7	38.1	6.4	32.0	41.9	9.9
21.00 น.	28.6	35.6	7.0	29.0	31.0	2.0	29.1	34.0	4.9

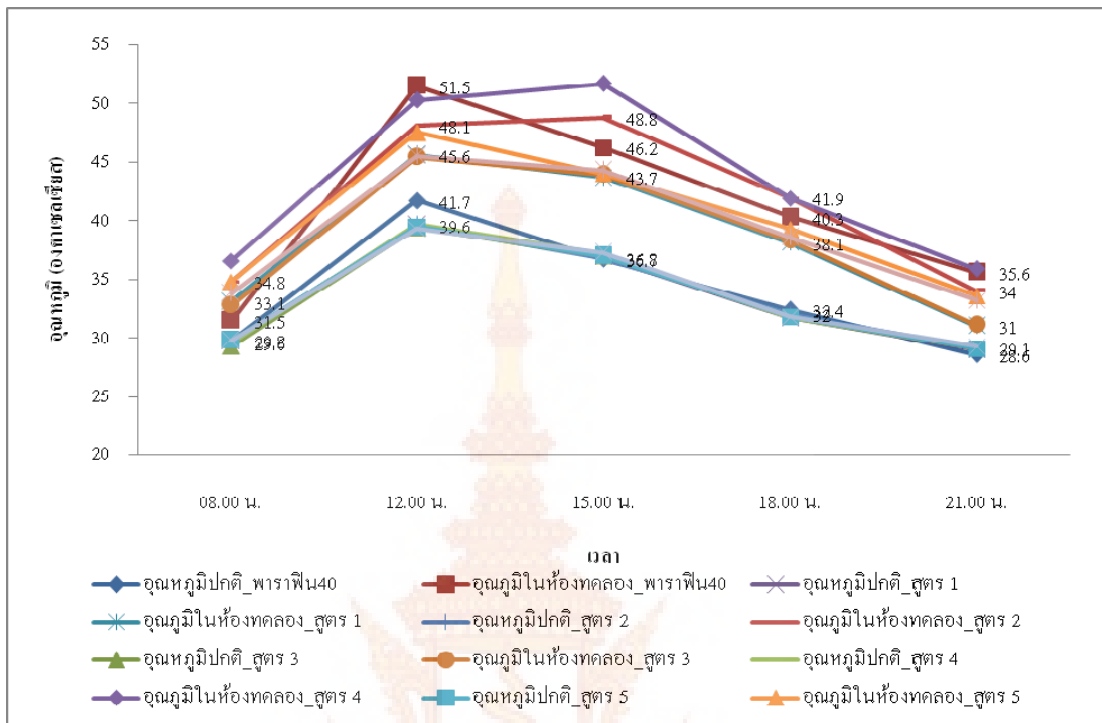
ตารางที่ 4.22 (ต่อ) ค่าอุณหภูมิการสะสมความร้อนของคอนกรีตบล็อกพาราฟินประเภทต่างๆ

เวลา	อุณหภูมิที่วัดได้ของแผ่นคอนกรีตบล็อกชนิดต่างๆ (องศาเซลเซียส)								
	สูตร 3			สูตร 4			สูตร 5		
	อุณหภูมิปกติ	อุณหภูมิในห้องทดลอง	ความแตกต่าง	อุณหภูมิปกติ	อุณหภูมิในห้องทดลอง	ความแตกต่าง	อุณหภูมิปกติ	อุณหภูมิในห้องทดลอง	ความแตกต่าง
08.00 น.	29.3	32.8	3.5	29.6	36.6	7.0	29.8	34.8	5.0
12.00 น.	39.4	45.4	6.0	39.7	50.3	10.6	39.5	47.5	8.0
15.00 น.	37.0	43.9	6.9	37.2	51.7	14.5	37.0	44.0	7.0
18.00 น.	31.8	38.3	6.5	31.7	41.9	10.2	31.8	39.3	7.5
21.00 น.	29.1	31.1	2.0	29.1	35.9	6.8	29.1	33.6	4.5

ตารางที่ 4.22 (ต่อ) ค่าอุณหภูมิการสะสมความร้อนของคอนกรีตบล็อกพาราฟินประเภทต่างๆ

เวลา	อุณหภูมิที่วัด ได้ข้อมูลนี้เมื่อวันที่ ๑๕ มกราคม พ.ศ.๒๕๖๓ (องศาเซลเซียส)		
	สูตร ๖		
	อุณหภูมิปกติ	อุณหภูมิในห้องทดลอง	ความแตกต่าง
08.00 น.	29.8	33.8	4.0
12.00 น.	39.3	45.5	6.2
15.00 น.	37.3	44.3	7.0
18.00 น.	31.8	38.6	6.8
21.00 น.	29.3	33.2	3.9

จากตารางที่ 4.22 นำค่าอุณหภูมิมาแสดงผลด้วยกราฟ ดังภาพที่ 4.19



ภาพที่ 4.19 อุณหภูมิปกติและอุณหภูมิในห้องทดลองของแผ่นคอนกรีตบล็อกพาราฟิน  
แต่ละช่วงเวลา

จากการที่ 4.19 พบว่าอุณหภูมิในช่วงเวลา 12.00 น. ให้ค่าสูงที่สุด ยกเว้นคอนกรีตบล็อก 2 สูตรที่ให้ค่าสูงสุดในเวลา 15.00 น. คือ คอนกรีตบล็อกพาราฟินผสมเกลือและไฟเบอร์กลาสสูตรที่ 4 (40 : 5 : 10) และสูตรที่ 2 (40 : 10 : 5) ในห้องทดลอง และอุณหภูมิจะลดลงเรื่อยๆ จนถึงเวลา 21.00 น. จะให้ค่าอุณหภูมิใกล้เคียงช่วงเวลา 8.00 น. แสดงให้เห็นว่าคอนกรีตบล็อกพาราฟินสามารถเก็บสะสมความร้อนระหว่างวันได้ดี และจะพบว่าค่าอุณหภูมิที่วัดได้ในห้องทดลองมีค่าสูงกว่า อุณหภูมิปกติภายนอกทุกประเภทของคอนกรีตบล็อก ไม่ว่าจะเป็นคอนกรีตบล็อกพาราฟินร้อยละ 40 และคอนกรีตบล็อกพาราฟินผสมเกลือและไฟเบอร์กลาส นั้นแสดงให้เห็นว่าคอนกรีตบล็อกสามารถสะสมความร้อนได้ โดยประเภทคอนกรีตที่เก็บสะสมความร้อนได้ดีกว่า ซึ่งให้ค่าอุณหภูมิที่สูงที่สุดคือ คอนกรีตบล็อกพาราฟินผสมเกลือและไฟเบอร์กลาสสูตรที่ 4 (40 : 5 : 10)

จากนี้ทดสอบว่าอุณหภูมิปกติภายนอกและอุณหภูมิในห้องทดลองมีความแตกต่างกัน หรือไม่ จึงใช้สถิติทดสอบ t-test โดยตั้งสมมติฐานหลักได้ว่า อุณหภูมิปกติภายนอกและอุณหภูมิในห้องทดลองของคอนกรีตบล็อกไม่มีความแตกต่างกัน ที่ระดับความเชื่อมั่นร้อยละ 95

$$\text{สมมติฐาน } H_0 : \mu_1 = \mu_2$$

$$H_1 : \mu_1 \neq \mu_2 \text{ อย่างน้อย } 1 \text{ ค่า}$$

เมื่อ  $\mu_1$  = ค่าอุณหภูมิปกติภายนอก

$\mu_2$  = ค่าอุณหภูมิในห้องทดลอง

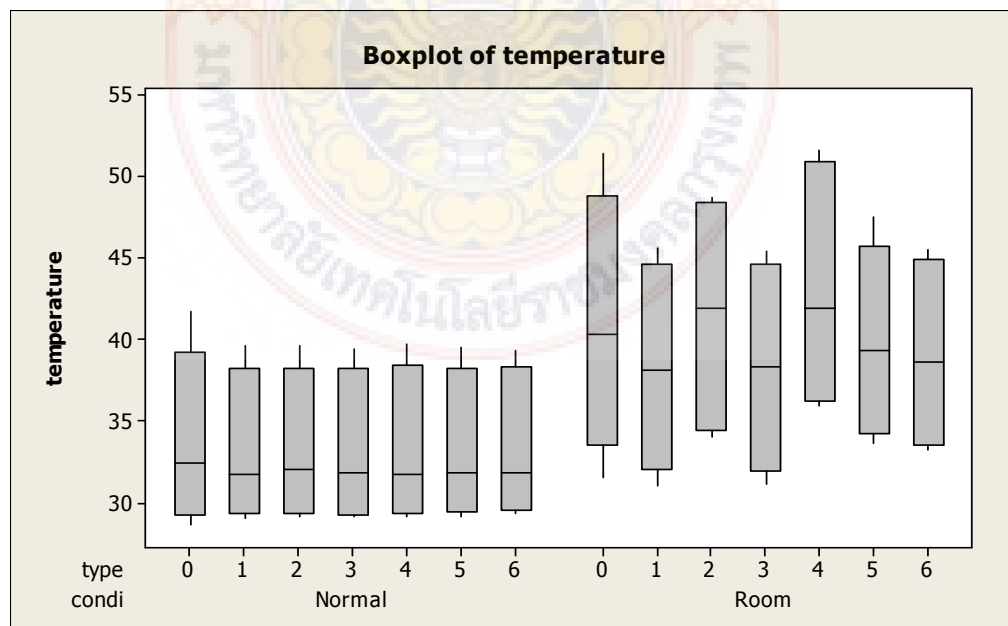
การตัดสินใจที่ระดับนัยสำคัญ  $\alpha = 0.05$

ผลการทดสอบสมมติฐานความแตกต่างของอุณหภูมิ ได้ผลดังตารางที่ 4.23

ตารางที่ 4.23 การเปรียบเทียบความแตกต่างของอุณหภูมิปกติภายนอกและอุณหภูมิในห้องทดลอง

สภาวะ	จำนวน ครั้ง	อุณหภูมิ		T	P
		ค่าเฉลี่ย	ค่าเบี่ยงเบนมาตรฐาน		
ปกติ	35	33.48	4.31	-5.17	0.000
ห้องทดลอง	35	40.19	6.37		

จากตารางที่ 4.23 พบร่วมกันว่า ค่า P-value เท่ากับ 0.000 มีค่าน้อยกว่า ระดับนัยสำคัญที่ 0.05 จึงปฏิเสธสมมติฐานหลัก ดังนั้นจึงสรุปได้ว่า อุณหภูมิปกติภายนอกและอุณหภูมิในห้องทดลองมีความแตกต่างกันที่ระดับนัยสำคัญ 0.05 หรือที่ระดับความเชื่อมั่นร้อยละ 95 และนำค่าอุณหภูมิของคอนกรีตบล็อกทั้ง 3 ประเภทมาแสดงผลดังกราฟ



ภาพที่ 4.20 อุณหภูมิปกติและอุณหภูมิในห้องทดลองของแผ่นคอนกรีตบล็อกประเภทต่างๆ

จากที่ทราบว่าอุณหภูมิปกติภายนอกและอุณหภูมิในห้องทดลองมีความแตกต่างกันแล้วนั้น จากภาพที่ 4.20 พบร่วมกันในห้องทดลองจะสูงกว่าอุณหภูมิปกติ และวัดคุณกรีตบล็อกพาราฟินสูตร 4 ( $40 : 5 : 10$ ) จะให้ค่าเฉลี่ยอุณหภูมิสูงที่สุด

อันดับต่อไปคือการวิเคราะห์หาความแตกต่างของการสะสมความร้อนของคุณกรีตบล็อกพาราฟินประเภทต่างๆ ว่าแตกต่างกันหรือไม่ โดยศึกษาจากค่าความแตกต่างระหว่างอุณหภูมิปกติภายนอกกับอุณหภูมิในห้องทดลอง ด้วยการวิเคราะห์ความแปรปรวนแบบทางเดียว One Way Analysis of Variance (One Way ANOVA) โดยตั้งสมมติฐานหลักได้ว่า การสะสมความร้อนของคุณกรีตบล็อกพาราฟิน และคุณกรีตบล็อกพาราฟินผสมเกลือและไฟเบอร์กลาสทั้ง 6 สูตรไม่แตกต่างกัน ที่ระดับความเชื่อมั่นร้อยละ 95

$$\text{สมมติฐาน } H_0 : \mu_1 = \mu_2 = \mu_3 = \mu_4 = \mu_5 = \mu_6 = \mu_7$$

$$H_1 : \mu_1 \neq \mu_2 \neq \mu_3 \neq \mu_4 \neq \mu_5 \neq \mu_6 \neq \mu_7 \text{ อย่างน้อย 1 ค่า}$$

เมื่อ  $\mu_1$  = ค่าเฉลี่ยการสะสมความร้อนของคุณกรีตบล็อกพาราฟิน

$\mu_2$  = ค่าเฉลี่ยการสะสมความร้อนของคุณกรีตบล็อกพาราฟินสูตร 1

$\mu_3$  = ค่าเฉลี่ยการสะสมความร้อนของคุณกรีตบล็อกพาราฟินสูตร 2

$\mu_4$  = ค่าเฉลี่ยการสะสมความร้อนของคุณกรีตบล็อกพาราฟินสูตร 3

$\mu_5$  = ค่าเฉลี่ยการสะสมความร้อนของคุณกรีตบล็อกพาราฟินสูตร 4

$\mu_6$  = ค่าเฉลี่ยการสะสมความร้อนของคุณกรีตบล็อกพาราฟินสูตร 5

$\mu_7$  = ค่าเฉลี่ยการสะสมความร้อนของคุณกรีตบล็อกพาราฟินสูตร 6

การตัดสินใจที่ระดับนัยสำคัญ  $\alpha = 0.05$

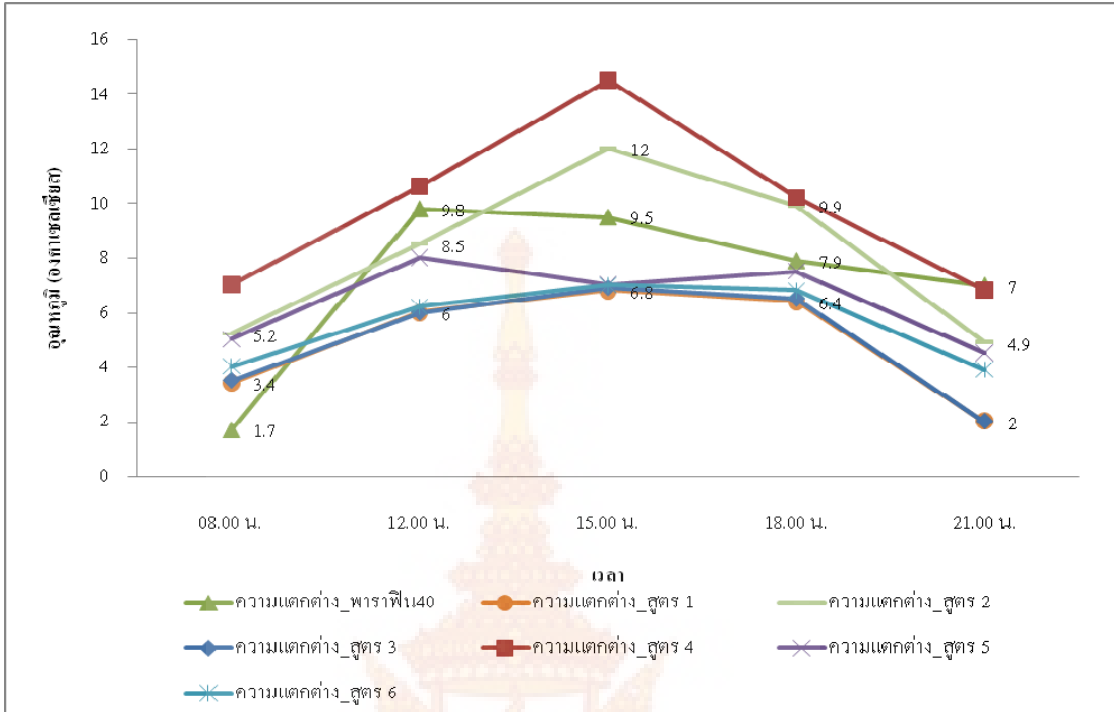
ผลการทดสอบสมมติฐานของการสะสมความร้อน ได้ผลดังตารางที่ 4.24

ตารางที่ 4.24 การเปรียบเทียบด้านการสะสมความร้อนของคอนกรีตบล็อกพาราฟิน จำแนกตามประเภทส่วนผสมของคอนกรีตบล็อก

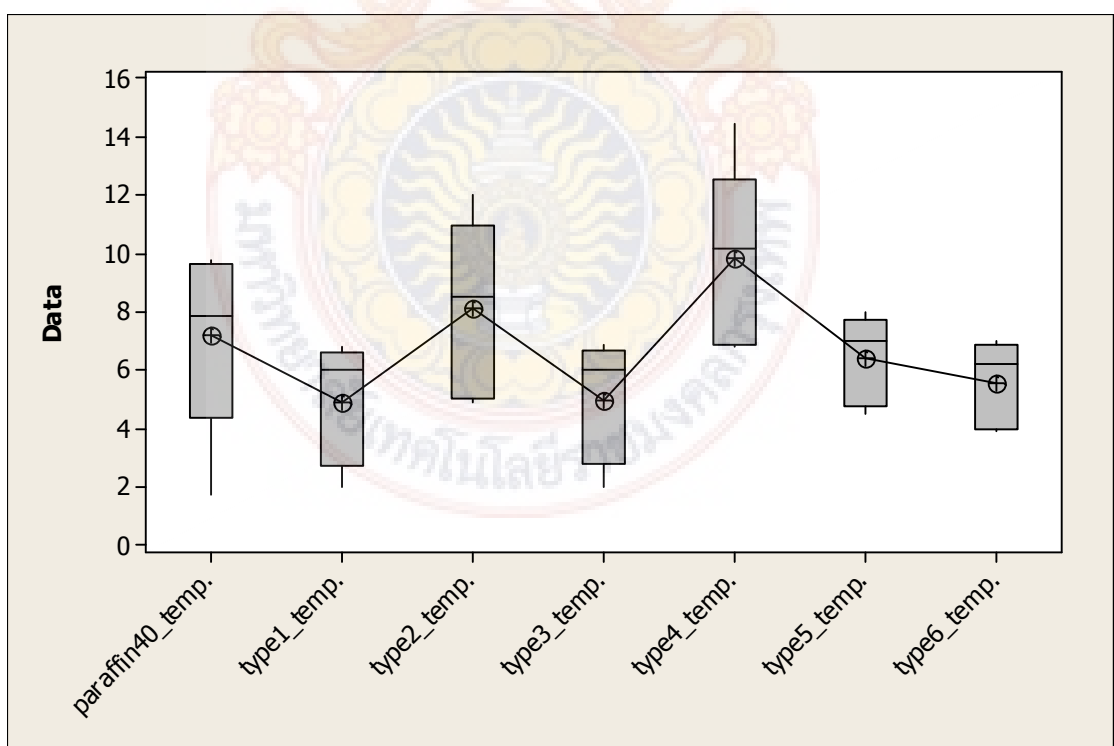
แหล่งข้อมูล	DF	SS	MS	F	P
อุณหภูมิ	6	96.98	16.16	2.59	0.040
Error	28	174.56	6.23		
Total	34	271.54			
ประเภทของ คอนกรีตบล็อก	จำนวน (แผ่น)		ค่าเฉลี่ย	อุณหภูมิ	ค่าเบี่ยงเบนมาตรฐาน
พาราฟิน 40	5		7.180		3.272
สูตร 1	5		4.920		2.105
สูตร 2	5		8.100		3.052
สูตร 3	5		4.980		2.128
สูตร 4	5		9.820		3.152
สูตร 5	5		6.400		1.557
สูตร 6	5		5.580		1.517

จากตารางที่ 4.24 พบร่วมกันว่า สมมติฐานด้านการสะสมความร้อนของคอนกรีต ให้ค่า P-value เท่ากับ 0.040 น้อยกว่านัยสำคัญที่ 0.05 จึงปฏิเสธสมมติฐานหลัก ดังนั้นจึงสรุปได้ว่า ประเภท คอนกรีตบล็อกพาราฟิน และคอนกรีตบล็อกพาราฟินผสมเกลือและไฟเบอร์กลาสทั้ง 6 สูตร มีผลต่อการสะสมความร้อนที่แตกต่างกันที่ระดับนัยสำคัญ 0.05 หรือที่ระดับความเชื่อมั่นร้อยละ 95

สำหรับการเปรียบเทียบโดยการหาความแตกต่างระหว่างอุณหภูมิปกติภายนอกกับอุณหภูมิ ในห้องทดลองของคอนกรีตบล็อกพาราฟิน และคอนกรีตบล็อกพาราฟินผสมเกลือและไฟเบอร์กลาสทั้ง 6 สูตรในแต่ละช่วงเวลา แสดงผลดังภาพที่ 4.21 และภาพที่ 4.22



ภาพที่ 4.21 ความแตกต่างระหว่างอุณหภูมิปกติกับอุณหภูมิในห้องทดลองของแผ่นคอนกรีตลีดอคพาราฟินแต่ละช่วงเวลา



ภาพที่ 4.22 ความแตกต่างระหว่างอุณหภูมิปกติกับอุณหภูมิในห้องทดลองของคอนกรีตบล็อกพาราฟิน

จากภาพที่ 4.21 และภาพที่ 4.22 พบว่าความแตกต่างระหว่างอุณหภูมิปกติกับอุณหภูมิในห้องทดลองของคอนกรีตบล็อกพาราฟินผสมเกลือและไฟเบอร์กลาสสูตรที่ 4 ( $40 : 5 : 10$ ) ให้ค่ามากที่สุด แสดงว่าคอนกรีตบล็อกชนิดนี้สามารถสะสมความร้อนได้ดีกว่าคอนกรีตบล็อกพาราฟินชนิดอื่นๆ ในทางตรงกันข้ามกันพบว่าคอนกรีตบล็อกพาราฟินผสมเกลือและไฟเบอร์กลาสสูตรที่ 1 ( $40 : 5 : 5$ ) ให้ค่าน้อยที่สุด แสดงว่าสะสมความร้อนได้ลำบากที่สุด

### สรุปผลการทดสอบการสะสมความร้อน

ค่าอุณหภูมิปกติกาย nok และอุณหภูมิในห้องทดลองของคอนกรีตบล็อกมีความแตกต่างกันที่ระดับความเชื่อมั่นร้อยละ 95 และอุณหภูมิในห้องทดลองจะสูงกว่าอุณหภูมิปกติ โดยคอนกรีตบล็อกพาราฟินผสมเกลือและไฟเบอร์กลาสสูตรที่ 4 ( $40 : 5 : 10$ ) จะให้ค่าเฉลี่ยอุณหภูมิสูงที่สุด

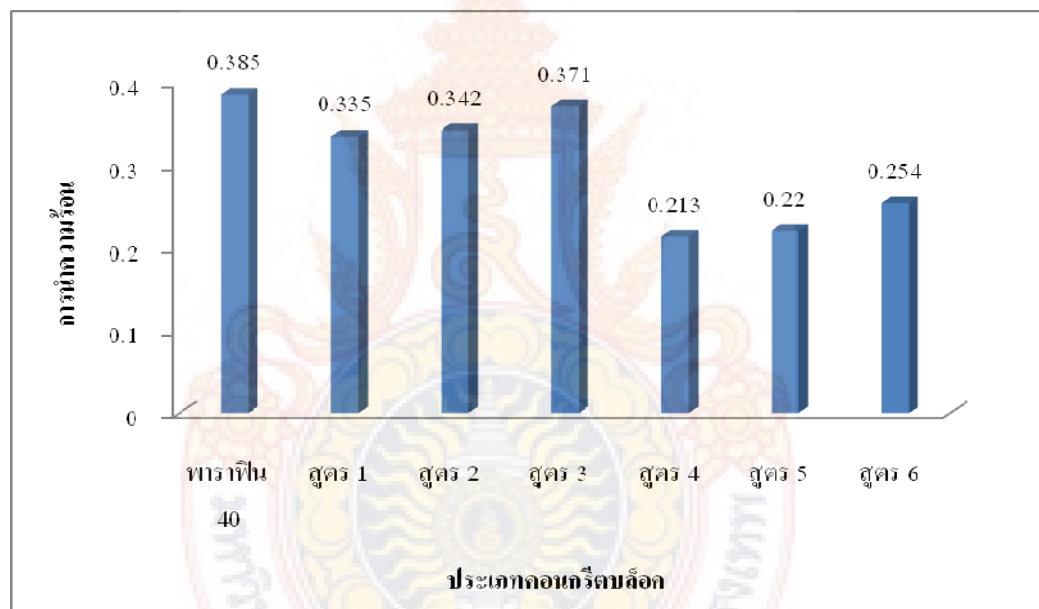
สำหรับประเภทคอนกรีตบล็อกนั้น มีผลต่อการสะสมความร้อนที่แตกต่างกัน โดยคอนกรีตบล็อกพาราฟินผสมเกลือและไฟเบอร์กลาสสูตรที่ 4 ( $40 : 5 : 10$ ) ให้ค่าอุณหภูมิที่สะสมได้มากที่สุด ซึ่งดีกว่าคอนกรีตบล็อกพาราฟิน 40 ในเบื้องต้น

#### 4.2.5 การทดสอบการนำความร้อน

การนำความร้อนเป็นสมบัติเชิงความร้อนของวัสดุที่บ่งบอกถึงอัตราเร็วของการส่งผ่านพลังงานความร้อน วัสดุที่มีค่าการนำความร้อนต่ำเรียกว่าฉนวน จะใช้เพื่อต้องการเก็บรักษาอุณหภูมิไว้ในวัสดุนั้นๆ เช่น คอนกรีตบล็อกที่ต้องการสะสมความร้อนนี้ ในการทดสอบเบื้องต้นพบว่าคอนกรีตบล็อกผสมพาราฟินร้อยละ 40 ให้ค่าการนำความร้อนต่ำ หมายความว่าการสะสมความร้อนได้ดี ดังนั้นจึงนำมาทดสอบการใส่เกลือและไฟเบอร์กลาสเพื่อเพิ่มประสิทธิภาพการเก็บสะสมความร้อนได้ดียิ่งขึ้น ได้ผลดังแสดงในตารางที่ 4.25

ตารางที่ 4.25 ค่าการนำความร้อนของคอนกรีตบล็อกพาราฟินประเภทต่างๆ

ประเภทคอนกรีตบล็อกพาราฟิน	ค่าการนำความร้อน (Thermal Conductivity) , W/(m*K)
พาราฟิน 40	0.385
สูตร 1	0.335
สูตร 2	0.342
สูตร 3	0.371
สูตร 4	0.213
สูตร 5	0.220
สูตร 6	0.254



ภาพที่ 4.23 ค่าการนำความร้อนของคอนกรีตบล็อกพาราฟินประเภทต่างๆ

จากภาพที่ 4.23 พบร่วมกันว่าคอนกรีตบล็อกพาราฟินผสมเกลือและไฟเบอร์กลาสสูตรที่ 4 (40 : 5 : 10) ให้ค่าการนำความร้อนต่ำที่สุด เท่ากับ 0.213 แสดงว่ามีความสามารถในการเก็บสะสมความร้อนได้ดีที่สุด ซึ่งจะเห็นว่าดีกว่าคอนกรีตบล็อกพาราฟิน 40 ในเบื้องต้น

#### สรุปผลการนำความร้อน

คอนกรีตบล็อกพาราฟินผสมเกลือและไฟเบอร์กลาสสูตรที่ 4 (40 : 5 : 10) ให้ค่าการนำความร้อนต่ำที่สุด หมายความว่ามีความสามารถในการเก็บสะสมความร้อนได้ดีที่สุด รองลงมาคือ

กองกรีตบล็อกพาราฟินผสมเกลือและไฟเบอร์กลาสสูตรที่ 5 (40 : 10 : 10) และสูตรที่ 6 (40 : 15 : 10) ตามลำดับ นั่นแสดงให้เห็นว่าไฟเบอร์กลาสมากจะสามารถลดความร้อนได้ดี และถ้าเกลือมากจะส่งผลให้การนำความร้อนได้ดีขึ้น ทำให้สะสมความร้อนได้น้อยลง

#### **4.2.6 สรุปผลการทดสอบสมบัติของกรีตบล็อกพาราฟิน**

จากการทดสอบสมบัติของกองกรีตบล็อกพาราฟินทุกประเภท คือ กองกรีตบล็อกพาราฟินร้อยละ 40 และกองกรีตบล็อกพาราฟินผสมเกลือและไฟเบอร์กลาสทั้ง 6 สูตร คือ

- 1) สูตรที่ 1 พาราฟิน : เกลือ : ไฟเบอร์กลาส เท่ากัน 40 : 5 : 5
- 2) สูตรที่ 2 พาราฟิน : เกลือ : ไฟเบอร์กลาส เท่ากัน 40 : 10 : 5
- 3) สูตรที่ 3 พาราฟิน : เกลือ : ไฟเบอร์กลาส เท่ากัน 40 : 15 : 5
- 4) สูตรที่ 4 พาราฟิน : เกลือ : ไฟเบอร์กลาส เท่ากัน 40 : 5 : 10
- 5) สูตรที่ 5 พาราฟิน : เกลือ : ไฟเบอร์กลาส เท่ากัน 40 : 10 : 10
- 6) สูตรที่ 6 พาราฟิน : เกลือ : ไฟเบอร์กลาส เท่ากัน 40 : 15 : 10

ด้วยการทดสอบ 5 รายการ ได้แก่ การทดสอบมิติ ความแข็งแรง การดูดซึมน้ำ การสะสมความร้อน และการนำความร้อน ได้ผลสรุปดังตารางที่ 4.26

ตารางที่ 4.26 สรุปผลการทดสอบสมบัติคอนกรีตบล็อกพาราฟินประเภทต่างๆ

ลำดับ	รายการ ทดสอบสมบัติ คอนกรีตบล็อก	เกณฑ์ มาตรฐาน	ประเภทคอนกรีตบล็อกพาราฟิน							การตัดสินใจ
			พาราฟิน 40	สูตร 1	สูตร 2	สูตร 3	สูตร 4	สูตร 5	สูตร 6	
1	มิติ	50*300*300 $(\pm 3 \text{ มม.}^3)$	ผ่าน	ผ่าน	ผ่าน	ผ่าน	ผ่าน	ผ่าน	ผ่าน	-
2	ความแข็งแรง (28 วัน)	$\geq 3$ เมกะ พาสคัล	7.83 (ผ่าน)	6.80 (ผ่าน)	7.37 (ผ่าน)	7.70 (ผ่าน)	6.89 (ผ่าน)	7.82 (ผ่าน)	7.08 (ผ่าน)	พาราฟิน 40
3	การดูดซึมน้ำ	$\leq$ ร้อยละ 10	1.38 (ผ่าน)	0.97 (ผ่าน)	1.54 (ผ่าน)	1.94 (ผ่าน)	1.51 (ผ่าน)	2.06 (ผ่าน)	2.76 (40 : 5 : 5)	สูตร 1
4	การสะท้อนความร้อน	-	7.18	4.92	8.10	4.98	9.82	6.40	5.58	สูตร 4 (40 : 5 : 10)
5	การนำความร้อน	-	0.385	0.335	0.342	0.371	0.213	0.220	0.254	สูตร 4 (40 : 5 : 10)

หมายเหตุ : การทดสอบลำดับที่ 1, 2 และ 3 ต้องผ่านเกณฑ์มาตรฐาน มาก.

สรุปผลการทดสอบสมบัติค่อนกรีตบล็อกดังตารางที่ 4.26 นั้น สรุปได้ว่ารายการทดสอบที่ต้องเป็นไปตามมาตรฐานผลิตภัณฑ์อุตสาหกรรม มอก. 378-2531 มี 3 รายการ คือ ด้านมิติ ความแข็งแรง และการดูดซึมน้ำ ซึ่งค่อนกรีตทุกประเภท คือ ค่อนกรีตบล็อกพาราฟินร้อยละ 40 และค่อนกรีตบล็อกพาราฟินผสมเกลือและไฟเบอร์กลาสทั้ง 6 สูตร ผ่านเกณฑ์มาตรฐานทั้งหมด และค่อนกรีตบล็อกพาราฟินร้อยละ 40 มีความแข็งแรงมากที่สุดที่ระยะเวลาการบ่ม 28 วัน แต่ค่อนกรีตบล็อกพาราฟินผสมเกลือและไฟเบอร์กลาสสูตรที่ 1 ( $40 : 5 : 5$ ) มีการดูดซึมน้ำน้อยที่สุด ดังนั้นมือพิจารณาการทดสอบด้านการสะสมความร้อนและการนำความร้อน พบว่าค่อนกรีตบล็อกพาราฟินผสมเกลือและไฟเบอร์กลาสสูตรที่ 4 ( $40 : 5 : 10$ ) ให้ค่าที่ดีที่สุด แสดงว่าจากพาราฟินมิกกลไกสำคัญที่ช่วยเก็บสะสมพลังงานความร้อนอยู่ในรูปของพลังงานความร้อนแห่งจนทำให้พาราฟินเปลี่ยนสถานะได้แล้วนั้น ไฟเบอร์กลาสยังมีความสามารถสะสมความร้อนได้ดี และเกลือมีคุณสมบัติช่วยให้การนำความร้อน ทำให้สะสมความร้อนได้น้อยลง ดังนั้นค่อนกรีตบล็อกพาราฟินผสมเกลือและไฟเบอร์กลาสสูตรที่ 4 ( $40 : 5 : 10$ ) ให้ผลดีที่สุดทั้ง 2 รายการทดสอบ

โดยสรุปงานวิจัยนี้จึงตัดสินใจเลือกใช้พาราฟินร้อยละ 40 ใส่ตระกลาง เกลือร้อยละ 5 ผสมที่ผิวน้ำ และไฟเบอร์กลาสร้อยละ 10 ผสมที่ผิวล่าง ใส่ในแผ่นค่อนกรีตบล็อก เพื่อสร้างค่อนกรีตบล็อกที่มีสมบัติการสะสมความร้อนได้ดี เหมาะสมในการนำไปใช้เพื่อบูรณะห้องแห้งได้ต่อไป

จากผลการทดสอบสมมติฐานดังกล่าวข้างต้น โดยใช้โปรแกรมทางสถิติ ซึ่งมีองค์ประกอบหน้ากากคือ ส่วนของการเตรียมข้อมูล (Worksheet) และส่วนของการแสดงผล (Session) ได้แสดงไว้ในภาคผนวก จ

### 4.3 การสร้างโรงต้นแบบในการทดสอบประสิทธิภาพของแผ่นค่อนกรีตบล็อก

จากผลการวิเคราะห์และทดสอบสมบัติของแผ่นค่อนกรีตบล็อกดังกล่าวทำให้ทราบว่า แผ่นค่อนกรีตบล็อกที่เหมาะสมต่อการนำไปใช้งานได้จริงคือ ค่อนกรีตบล็อกที่มีพาราฟินเป็นไส้กลางร้อยละ 40 ผสมเกลือที่ผิวน้ำร้อยละ 5 และผสมไฟเบอร์กลาสด้านล่างร้อยละ 10 หลังจากนั้นจึงนำค่อนกรีตบล็อกดังกล่าวไปทดลองวางปูพื้นบนโรงเรือนจำลองอบแห้งที่อุณหภูมิ ขนาด  $1.50 \times 1.50 \times 2.00$  เมตร ดังแสดงในภาพที่ 4.24



ภาพที่ 4.24 การวางแผนคอนกรีตบล็อกปูพื้นโรงอบแห้งจำลอง



ภาพที่ 4.25 ยาแนวแพ่นคอนกรีตบล็อกปูพื้นโรงอบแห้งจำลอง



ภาพที่ 4.26 การก่อผนังโรงอบแห้งจำลอง



ภาพที่ 4.27 หลังคาโรงอบแห้งจำลองใส่เพื่อให้แสงแดดส่องถึงพื้นคอนกรีตบล็อก



ภาพที่ 4.28 การจำลองการวางแผนพريกในโรงอบแห้งจำลอง



ภาพที่ 4.29 การเปิดช่องมองที่ประตูโรงอบแห้ง



ภาพที่ 4.30 การจำลองการวางพริกในโรงอบแห้งจำลองเพื่อตากแห้ง

4.3.1 การวัดค่าอุณหภูมิภายในโรงอบแห้งที่ปูพื้นด้วยคอนกรีตบล็อกพาราฟินผสมเกลือ และไฟเบอร์กลาส ( $40 : 5 : 10$ )

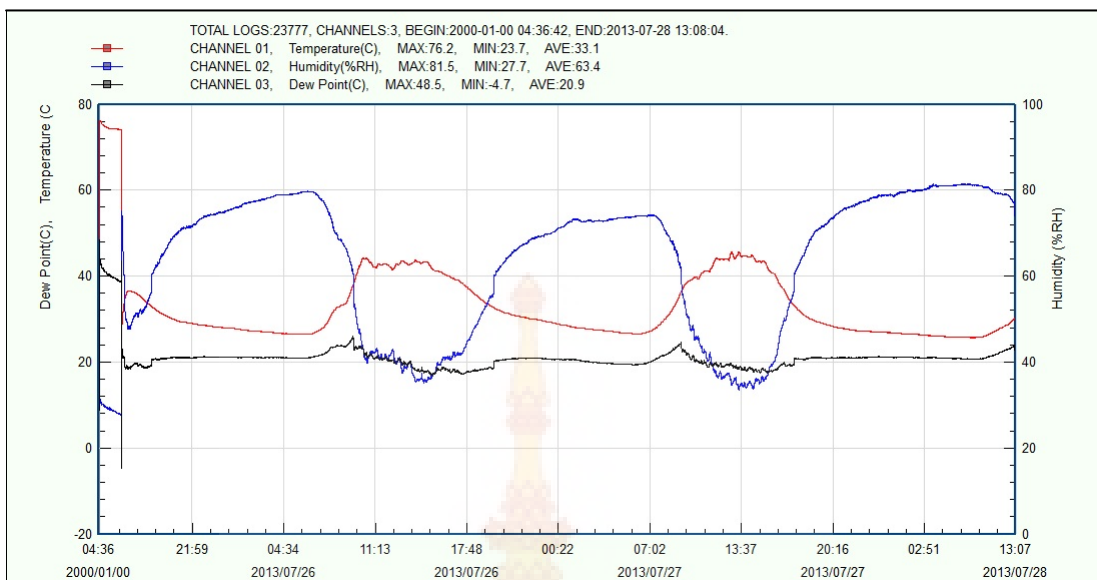


ภาพที่ 4.31 การวัดอุณหภูมิตรงบริเวณกึ่งกลางของโรงอบแห้ง

จากการสร้างโรงอบจำลองและสร้างโรงอบภายในได้พื้นของการปูพื้นด้วยแผ่นคอนกรีตบล็อก ที่มีสัดส่วนเกลือที่ผสมลงไว้พร้อมกับผงหินแกรนิตที่ปูอยู่บนผิวน้ำ ซึ่งการศึกษานี้ทำการวัดอุณหภูมิโดยใช้จุดในการวัดกึ่งกลางของโรงอบแห้ง อยู่ที่ระยะความสูงจากพื้นบล็อกคอนกรีต 1 เมตร และจากนั้นทำการวัดค่าความชื้นสัมพัทธ์ในจุดเดียวกัน

#### 4.3.2 ผลของความชื้นและอุณหภูมิภายในโรงอบแห้ง

จากการวัดพบว่าช่วงของอุณหภูมิสอดคล้องกับการวัดค่าอุณหภูมิในโรงอบจำลองคือช่วงของเวลากลางวันเวลา 12.00 น. เป็นช่วงเวลาที่มีค่าการสะสมความร้อนสูงและเมื่อความร้อนในโรงอบแห้งเพิ่มขึ้นพบว่าค่าความชื้นสัมพัทธ์ที่เกิดขึ้นในโรงอบแห้งลดลง และเมื่อเวลากลางคืนความชื้นสูงขึ้นดังแสดงในภาพที่ 4.32



**ภาพที่ 4.32 ความสัมพันธ์ระหว่างค่าอุณหภูมิภายในโรงพยาบาลและความชื้นสัมพัทธ์  
ตรงบริเวณกึ่งกลางของโรงพยาบาลแห่ง**

จากการทดลองดังกล่าว โดยการประยุกต์นำแผ่นคอนกรีตบล็อกพาราฟินมาสร้างเป็นพื้นโรงพยาบาลแห่ง พาราฟินในฐานะของวัสดุเปลี่ยนเฟส ได้เกิดการสะสมความร้อนและมีกลไกในการสะสมความร้อนทำให้โรงพยาบาลแห่งมีช่วงของเวลาการอบゆดยาวออกไป ตั้งแต่ 7.00 น. ถึง 20.00 น. และในการทดลองเบื้องต้นนี้ดังแสดงในภาพพบว่า ช่วงของความชื้นที่สูงนั้น ยังมีโอกาสที่จะเกิดการควบแน่นเป็นหยดน้ำได้ ซึ่งผลของเกลือที่ใส่ลงไปในแผ่นคอนกรีตยังทำงานได้ไม่เต็มรูปแบบนัก โดยเกลือที่ผสมลงบนผิวน้ำคอนกรีต สามารถทำงานได้ดีในช่วงเวลากลางวันเท่านั้น ทำให้เส้นกราฟความชื้นต่ำ และผนังของโรงพยาบาลต้นแบบนี้ใช้ผนังเป็นอิฐบล็อกพบว่าเมื่อใช้มือสัมผัสที่ผิวของผนัง ความชื้นภายในสามารถผ่านผนังเข้ามาได้ ดังนั้นการสร้างผนังที่สามารถเก็บความชื้น โดยคุณภาพความชื้นภายในโรงพยาบาลไว้ในตอนกลางคืน จะสามารถช่วยลดความชื้นในโรงพยาบาลอีกทางหนึ่ง อีกทั้งในการทดลองเบื้องต้นนี้ได้ทดลองในสภาพอากาศหนึ่ง ดังนั้นการมีระบบหมุนเวียนอากาศ จะทำให้ความชื้นและอากาศร้อนภายในได้มีการไหลวนช่วยลดความชื้นภายในโรงพยาบาลไปด้วย

#### 4.4 การประเมินต้นทุนการผลิตแผ่นคอนกรีตบล็อก

ในการประเมินต้นทุนการผลิตแผ่นคอนกรีตบล็อกนี้ จะประเมินเฉพาะต้นทุนวัสดุในเท่านั้น โดยแผ่นคอนกรีตบล็อกในการทดลองนี้มีขนาด 30 เซนติเมตร x 30 เซนติเมตร x 5

เซนติเมตร โดยมีแผ่นพาราฟินวางอยู่ด้านในและมีผิวน้ำของแผ่นคอนกรีตบล็อกผสมด้วยผู้หินแกรนิต ซึ่งวัสดุทั้งหมดถูกต้องตามสัดส่วนในการทดลอง ปูน : ทราย : หิน : น้ำ คือ 1 : 2 : 4 : 1 นอกจากนี้แล้วยังมีการเพิ่มเติมส่วนของการใส่เกลือเพื่อคุณภาพความร้อนและไฟเบอร์สมอล์วิปเพื่อป้องกันความร้อนแผ่กระจายลงไปในด้านล่าง ซึ่งจากสรุปผลการทดลองพบว่า สูตรที่เหมาะสมที่สุดที่ให้ผลการทดสอบความร้อนที่สูงกว่าสูตรอื่นๆ คือคอนกรีตบล็อกสูตรที่ 4 โดยมีเกลือผสมที่ผิวน้ำร้อยละ 5 ผสมไฟเบอร์สมอล์วิปด้านล่างร้อยละ 10 และมีพาราฟินอยู่ตรงกลางร้อยละ 40 และเมื่อนำมาประเมินการคิดด้านทุนการผลิตต่อหน่วยของแผ่นคอนกรีตบล็อกสามารถอธิบายได้ดังนี้

ราคาของวัสดุที่ใช้ในการทำแผ่นคอนกรีตบล็อก ประกอบด้วย

1. ปูนซีเมนต์ปอร์ตแลนด์ประเภท 1	ราคา 300 บาทต่อถุง
2. ทรายแม่น้ำอย่างละเอียด	ราคา 310 บาท ต่อ ลบ.ม.
3. หินคลุก	ราคา 413 บาท ต่อ ลบ.ม.
4. หินแกรนิตผง	ราคา 500 บาท ต่อ ลบ.ม.
5. เกลือแกง	ราคา 100 บาทต่อถุง
6. ผุนผงไฟเบอร์กลาส ขนาดความละเอียด 70 ไมโครเมตรราคา 50 บาท ต่อกิโลกรัม	
7. ก้อนพาราฟิน	ราคา 100 บาทต่อ กิโลกรัม

ด้านทุนการผลิตแผ่นคอนกรีตบล็อก ขนาด 30 เซนติเมตร x 30 เซนติเมตร x 5 เซนติเมตร คิดประเมินแบ่งออกเป็น 3 ชั้น คือชั้นบน ชั้นกลาง และชั้นล่าง ดังนี้

1. ชั้นล่างสุดประกอบด้วย ปูน : ทราย : หิน : น้ำ คือ 1 : 2 : 4 : 1 และผงไฟเบอร์ร้อยละ 10 คิดเป็นเงินจากสัดส่วนคือ  $3 + 2 + 4 + 1 + 0.50 = 10.50$  บาท
2. ชั้นกลาง เพิ่มส่วนของแผ่นพาราฟิน คิดจากร้อยละ 40 ของพื้นที่ คิดเป็นเงิน 3 บาท
3. ชั้นบนสุดคิดจากสัดส่วน ปูน : ทราย : หิน : น้ำ คือ 1 : 2 : 4 : 1 แต่ใช้หินแกรนิตผง คิดเป็นเงินจากสัดส่วนคือ  $3 + 2 + 4 + 2 + 0.50 = 11.50$  บาท

และวัสดุอื่นๆ ประกอบด้วย เหล็กทำแบบ ซึ่งเป็นเหล็กจากไร้เกรด 2 นิ้ว x 2 นิ้ว หนา 2 มิลลิเมตร จำนวน 4 เส้น ราคามีเส้นละ 300 บาท คิดเป็นเงิน 1,200 บาท ซึ่งสามารถใช้สร้างแม่พิมพ์ได้ 10 ตัว ดังนั้นจึงคิดเป็นเงิน 120 บาทต่อตัว

ดังนั้นมีประเมินราคาแล้วพบว่า ด้านทุนการผลิตแผ่นคอนกรีตบล็อก คิดเป็นเงินรวมทั้งสิ้น  $(25 + 120)$  เท่ากับ 145 บาทต่อบล็อกคอนกรีต 1 แผ่น

และ โครงอบที่สร้างขึ้นใช้แผ่นคอนกรีตบล็อกห้องหมุด 25 ก้อนเพื่อปูพื้นโครงอบ ดังนั้นจึงสรุปราคาประเมินต้นทุนวัสดุคิบในการสร้างโครงอบขนาด 1.5 เมตร x 1.5 เมตร x 2 เมตร เป็นเงินทั้งสิ้น (25 ก้อน x 145 บาทต่อแผ่น) เท่ากับ 3,650 บาท



## บทที่ 5

### สรุปผลการวิจัยและข้อเสนอแนะ

#### 5.1 สรุปผลการวิจัย

การศึกษาวิจัยในการสร้างคอนกรีตบล็อกปูพื้นที่มีคุณสมบัติของการสะสานความร้อน และการดูดความชื้น ที่เหมาะสมสำหรับใช้สร้างอาคารเก็บพื้นที่ผลทางการเกษตร ซึ่งสามารถเพิ่มคุณลักษณะผลิตผลทางการเกษตรที่พึงประสงค์และตรงต่อความต้องการเพื่อใช้ในการปรับปรุงได้นั้น สามารถสรุปผลการวิจัยได้ดังนี้

##### 5.1.1 ผลการทดสอบสมบัติคอนกรีตบล็อกเบื้องต้น

การทดสอบแผ่นคอนกรีตบล็อกในเบื้องต้นแบ่งเป็น 2 แบบคือ 1) สูตรผสมพาราฟินร้อยละ 40 และ 2) สูตรผสมพาราฟินร้อยละ 60 โดยคอนกรีตบล็อกแบ่งออกเป็น 3 ชั้น ประกอบด้วยชั้นที่ 1 คอนกรีตหนา 30 มิลลิเมตร ชั้นที่ 2 พาราฟิน หนา 5 มิลลิเมตร และชั้นที่ 3 ซีเมนต์เกรนนิตหนา 15 มิลลิเมตร และทำการทดสอบสมบัติของคอนกรีตบล็อกทั้ง 2 แบบ เปรียบเทียบกับคอนกรีตบล็อกมาตรฐาน โดยมีรายละเอียดการทดสอบ 5 รายการดังนี้

1) การทดสอบมิติ การเปรียบเทียบมิติแผ่นคอนกรีตบล็อกปูพื้นกับมาตรฐานผลิตภัณฑ์อุตสาหกรรม มอก.378-2531 ซึ่งต้องมีเกณฑ์การคลадเคลื่อนไม่เกิน 3 มิลลิเมตรจากค่าคอนกรีตมาตรฐาน คือ ความหนา 50 มิลลิเมตร ความกว้าง 300 มิลลิเมตร และความยาว 300 มิลลิเมตร จากผลการทดสอบด้านมิติสรุปได้ว่า มิติด้านความหนา ความกว้าง และความยาว ของทั้งคอนกรีตบล็อกมาตรฐาน คอนกรีตบล็อกผสมพาราฟินร้อยละ 40 และคอนกรีตบล็อกผสมพาราฟินร้อยละ 60 ให้ค่าเฉลี่ยอยู่ในช่วงมาตรฐานและผลไม่แตกต่างกัน

2) การทดสอบค่าความแข็งแรง (การทดสอบแรงอัดหรือกำลังอัดของคอนกรีต) วัดได้จากค่าความต้านแรงดัดตามข่าว โดยมาตรฐานผลิตภัณฑ์อุตสาหกรรม มอก.378-2531 กำหนดให้การรับแรงดัดตามข่าวของคอนกรีตปูพื้นต้องมีค่าไม่น้อยกว่า 2.5 เมกะ帕斯คัล และค่าเฉลี่ยไม่น้อยกว่า 3 เมกะ帕斯คัล จากผลการทดสอบสรุปได้ว่า ทั้งคอนกรีตบล็อกมาตรฐาน คอนกรีตบล็อกผสมพาราฟินร้อยละ 40 และคอนกรีตบล็อกผสมพาราฟินร้อยละ 60 ให้ค่าความต้านแรงดัดตามข่าวอยู่ในเกณฑ์มาตรฐานและไม่แตกต่างกันที่ระดับความเชื่อมั่นร้อยละ 95 และค่าเฉลี่ยความต้านแรงดัดตามข่าวของคอนกรีตบล็อกผสมพาราฟินร้อยละ 40 ให้ค่าสูงกว่าคอนกรีตบล็อกผสมพาราฟินร้อยละ 60 และคอนกรีตบล็อกมาตรฐาน และจำนวนวันที่ทำการบ่มคอนกรีตมีผลต่อค่าความต้านแรง

ดัดตามขวาง โดยหากจะระยะเวลาการบ่ำນมาก จะให้ค่าความต้านแรงดัดตามขวางมากขึ้นด้วยเช่นกัน และระยะเวลาการบ่ำนคงกรีดบล็อกที่ให้ค่าแรงดัดตามขวางมากที่สุดคือ 28 วัน ซึ่งคงกรีดบล็อก มาตรฐาน มีค่าเฉลี่ย 7.24 เมกะพาสคัล คงกรีดบล็อกทดสอบพาราฟินร้อยละ 40 ของหน้าตัดมี ค่าเฉลี่ย 7.83 เมกะพาสคัล และคงกรีดบล็อกทดสอบพาราฟินร้อยละ 60 ของหน้าตัดมีค่าเฉลี่ย 7.74 เมกะพาสคัล

3) การทดสอบค่าการดูดซึมน้ำ เมื่อเปรียบเทียบกับมาตรฐานผลิตภัณฑ์อุตสาหกรรม มาก 378-2531 ต้องไม่เกินร้อยละ 10 โดยหน้าหัก ซึ่งผลจากการทดสอบสรุปว่าค่าร้อยละการดูดซึมน้ำ ของคงกรีดบล็อกทุกประเภทอยู่ในเกณฑ์มาตรฐาน และให้ค่าการดูดซึมน้ำอยู่ในระดับต่ำ ซึ่งถือ ว่าคงกรีดบล็อกอยู่ในเกณฑ์มากทั้ง 3 ประเภท โดยคงกรีดบล็อกมาตรฐานดูดซึมน้ำอยู่ที่สุด เท่ากับร้อยละ 1.11 คงกรีดบล็อกทดสอบพาราฟินร้อยละ 60 เท่ากับร้อยละ 1.28 และคงกรีดบล็อก ทดสอบพาราฟินร้อยละ 40 ดูดซึมน้ำมากที่สุด เท่ากับร้อยละ 1.38

4) การทดสอบการสะสมความร้อน ทำได้โดยการเปรียบเทียบการวัดค่าอุณหภูมิของ คงกรีดกลางแสงแดดแต่ละช่วงเวลาในอากาศปกติกับการสร้างห้องจำลองขนาด 390x390x190 มิลลิเมตรเพื่อใช้ทดสอบ และหาความแตกต่างเพื่อบ่งบอกถึงการสะสมความร้อนของคงกรีด บล็อกที่เกิดขึ้น ผลจากการทดสอบสรุปได้ว่าค่าอุณหภูมิปกติกาย nok และอุณหภูมิในห้องทดลอง ของคงกรีดบล็อกมีความแตกต่างกันที่ระดับความเชื่อมั่นร้อยละ 95 และอุณหภูมิในห้องทดลอง จะสูงกว่าอุณหภูมิปกติ โดยวัสดุคงกรีดบล็อกทดสอบพาราฟินร้อยละ 40 จะให้ค่าเฉลี่ยอุณหภูมิสูง ที่สุด สำหรับประเภทคงกรีดบล็อกนี้ มีผลต่อการสะสมความร้อนที่แตกต่างกัน โดยคงกรีด บล็อกทดสอบพาราฟินร้อยละ 40 ให้ค่าอุณหภูมิเฉลี่ยที่สะสมได้มากที่สุด และลดลงตามช่วงเวลาอย่าง ช้าๆ รองลงมาคือคงกรีดบล็อกทดสอบพาราฟินร้อยละ 60 และคงกรีดบล็อกมาตรฐาน เก็บ อุณหภูมิได้ 7.18 6.28 และ 2.38 องศาเซลเซียส ตามลำดับ ดังนั้นจึงสรุปได้ว่าพาราฟินที่ใส่เข้าไป ในแผ่นคงกรีดบล็อกส่งผลต่อการสะสมความร้อนได้ดีขึ้น

5) การทดสอบการนำความร้อน จะบ่งบอกถึงอัตราเร็วของการส่งผ่านพลังงานความร้อน วัสดุที่มีค่าการนำความร้อนต่ำเรียกว่าจนวน จะใช้เพื่อต้องการเก็บรักษาอุณหภูมิไว้ในวัสดุนั้นๆ เช่น คงกรีดบล็อกที่ต้องการสะสมความร้อนนี้ จากผลการทดสอบสรุปได้ว่าเมื่อใส่พาราฟินใน แผ่นคงกรีดบล็อก จะทำให้ความสามารถในการนำความร้อนน้อยลงมาก ซึ่งการนำความร้อนนี้ เป็นผลทำให้เกิดการแผ่ความร้อนลงสู่พื้นล่างและทุกทิศทางของแผ่นคงกรีดบล็อก ซึ่งแสดงว่ามี ความสามารถในการเก็บสะสมความร้อนได้ดีขึ้น สรุปได้ว่าคงกรีดบล็อกทดสอบพาราฟินร้อยละ 40 ให้ค่าการนำความร้อนต่ำที่สุด เท่ากับ 0.385 ย่อมหมายความว่ามีความสามารถในการเก็บสะสม ความร้อนได้ดีที่สุด

สรุปผลการทดสอบสมบัติค่อนกรีตบล็อกทั้ง 3 ประเภท กือ ค่อนกรีตบล็อกมาตรฐาน  
ค่อนกรีตบล็อกผสมพาราฟินร้อยละ 40 และค่อนกรีตบล็อกผสมพาราฟินร้อยละ 60 ด้วยการ  
ทดสอบ 5 รายการ ได้แก่ การทดสอบมิติ ความแข็งแรง การดูดซึมน้ำ การสะสานความร้อน และการ  
นำความร้อนร้อน ได้ผลสรุปดังตารางที่ 5.1

ตารางที่ 5.1 สรุปผลการทดสอบสมบัติค่อนกรีตบล็อกประเภทต่างๆ

ลำดับ	รายการ ทดสอบสมบัติ ค่อนกรีตบล็อก	เกณฑ์ มาตรฐาน	ประเภทค่อนกรีตบล็อก			การตัดสินใจ
			มาตรฐาน 40	พาราฟิน 40	พาราฟิน 60	
1	มิติ	50*300*300 $(\pm 3 \text{ มม.}^3)$	ผ่าน	ผ่าน	ผ่าน	-
2	ความแข็งแรง (28 วัน)	$\geq 3 \text{ เมกะ}$ พาสคัล	7.24 (ผ่าน)	7.83 (ผ่าน)	7.74 (ผ่าน)	พาราฟิน ร้อยละ 40
3	การดูดซึมน้ำ	$\leq$ ร้อยละ 10	1.11 (ผ่าน)	1.38 (ผ่าน)	1.28 (ผ่าน)	ค่อนกรีต มาตรฐาน
4	การสะสานความ ร้อน	-	2.38	7.18	6.28	พาราฟิน ร้อยละ 40
5	การนำความร้อน	-	1.852	0.385	0.390	พาราฟิน ร้อยละ 40

หมายเหตุ : การทดสอบลำดับที่ 1, 2 และ 3 ต้องผ่านเกณฑ์มาตรฐาน มาก.

สรุปผลการทดสอบสมบัติค่อนกรีตบล็อกดังตารางที่ 5.1 นั้น สรุปได้ว่ารายการทดสอบที่  
ต้องเป็นไปตามมาตรฐานผลิตภัณฑ์อุตสาหกรรม มาก. 378-2531 มี 3 รายการ กือ ด้านมิติ ความ  
แข็งแรง และการดูดซึมน้ำ ซึ่งค่อนกรีตทั้ง 3 ประเภท กือ ค่อนกรีตบล็อกมาตรฐาน ค่อนกรีตบล็อก  
ผสมพาราฟินร้อยละ 40 และค่อนกรีตบล็อกผสมพาราฟินร้อยละ 60 ผ่านเกณฑ์มาตรฐานทั้งหมด  
และค่อนกรีตบล็อกผสมพาราฟินร้อยละ 40 มีความแข็งแรงมากที่สุดที่ระยะเวลาการบ่ม 28 วัน แต่  
ค่อนกรีตบล็อกมาตรฐานมีการดูดซึมน้ำน้อยที่สุด ดังนั้นมีอิทธิพลงานการทดสอบด้านการสะสาน  
ความร้อนและการนำความร้อน พบร่วมกับค่อนกรีตบล็อกผสมพาราฟินให้ค่าที่ดี แสดงว่าพาราฟินมี

กลไกสำคัญที่ช่วยเก็บสะสมพลังงานความร้อนอยู่ในรูปของพลังงานความร้อนแห่งจนทำให้พาราฟินเปลี่ยนสถานะได้ แต่พาราฟินที่ร้อยละ 60 จะละลายเมื่อได้รับความร้อนและซึมออกมาก็ต้องคงกรีด ทำให้สูญเสียการสะสมความร้อนได้มากกว่าพาราฟินที่ร้อยละ 40 ดังนั้นคงกรีดผสมพาราฟินร้อยละ 40 ให้ผลคีที่สุดทั้ง 2 รายการทดสอบ งานวิจัยนี้จึงตัดสินใจเลือกใช้พาราฟินร้อยละ 40 เป็นตัวอย่างในการใส่ในแผ่นคงกรีดล็อกเพื่อการพัฒนาคุณสมบัติในลำดับต่อไป

### 5.1.2 ผลการทดสอบสมบัติคงกรีดบล็อกพาราฟินผสมเกลือและไฟเบอร์กลาส

จากผลการศึกษาในเบื้องต้นที่ได้ว่าคงกรีดบล็อกผสมพาราฟินร้อยละ 40 ให้การสะสมความร้อนที่ดีที่สุด แต่ค่าการดูดซึมน้ำยังให้ผลไม่ดีเท่าที่ควร ดังนั้นจึงจะทำการศึกษาพัฒนาคงกรีดบล็อกให้มีความสามารถในการสะสมความร้อนและการดูดซึมน้ำที่ดียิ่งขึ้น โดยเลือกวัสดุที่มีความสามารถในการดูดความชื้น และป้องกันการถ่ายเทความร้อนมาใช้ผสมในคงกรีดบล็อก เพื่อศึกษาการดูดความชื้นที่เกิดขึ้น จึงทดลองผสมเกลือในส่วนผิวน้ำคงกรีดบล็อก เพื่อป้องกันการถ่ายเทความร้อนลงสู่พื้นล่างของแผ่นคงกรีดบล็อก จึงเตรียมตัวอย่างเพื่อทดสอบโดยผสมไฟเบอร์กลาสในชั้นที่ 1 ในสัดส่วนร้อยละ 5, 10 และ 15 ของน้ำหนักคงกรีด และผสมเกลือแกงในชั้นที่ 3 ในสัดส่วนร้อยละ 5, 10 และ 15 ของน้ำหนักคงกรีด โดยยังคงมีพาราฟินร้อยละ 40 ในชั้นที่ 2 ของคงกรีดตามผลการทดลองในเบื้องต้น จึงได้สูตรการทดลอง 6 สูตรดังนี้ สูตรที่ 1 (พาราฟิน : เกลือ : ไฟเบอร์กลาส , 40 : 5 : 5) สูตรที่ 2 (พาราฟิน : เกลือ : ไฟเบอร์กลาส , 40 : 10 : 5) สูตรที่ 3 (พาราฟิน : เกลือ : ไฟเบอร์กลาส , 40 : 15 : 5) สูตรที่ 4 (พาราฟิน : เกลือ : ไฟเบอร์กลาส , 40 : 5 : 10) สูตรที่ 5 (พาราฟิน : เกลือ : ไฟเบอร์กลาส , 40 : 10 : 10) และ สูตรที่ 6 (พาราฟิน : เกลือ : ไฟเบอร์กลาส , 40 : 15 : 10) ซึ่งสามารถสรุปผลการทดสอบสมบัติของคงกรีดบล็อกทั้ง 6 สูตร เปรียบเทียบกับคงกรีดบล็อกพาราฟินร้อยละ 40 ที่ได้เลือกจากการทดสอบในเบื้องต้น โดยมีรายละเอียดการทดสอบดังนี้

1) การทดสอบมิติ ซึ่งต้องมีเกณฑ์การคลอดเคลื่อนไม่เกิน 3 มิลลิเมตรจากค่าคงกรีตมาตรฐาน คือ ความหนา 50 มิลลิเมตร ความกว้าง 300 มิลลิเมตร และความยาว 300 มิลลิเมตร จากผลการทดสอบด้านมิติสรุปได้ว่า มิติด้านความหนา ความกว้าง และความยาว ของหั้งคงกรีดบล็อกผสมพาราฟินร้อยละ 40 และคงกรีดบล็อกพาราฟินผสมเกลือและไฟเบอร์กลาส ให้ค่าเฉลี่ยอยู่ในช่วงมาตรฐานทั้งหมด

2) การทดสอบค่าความแข็งแรง (การทดสอบแรงอัดหรือกำลังอัดของคงกรีด) วัดได้จากค่าความต้านแรงดัดตามข่าว โดยมาตรฐานผลิตภัณฑ์อุตสาหกรรม มอก.378-2531 กำหนดให้การ

รับแรงดัดตามขวางของคอนกรีตปูพื้นต้องมีค่าไม่น้อยกว่า 2.5 เมกะพาสคัล และค่าเฉลี่ยไม่น้อยกว่า 3 เมกะพาสคัล จากผลการทดสอบสรุปได้ว่า ทั้งคอนกรีตบล็อกพาราฟิน และคอนกรีตบล็อกพาราฟินผสมเกลือและไฟเบอร์กลาสทั้ง 6 สูตร ให้ค่าความต้านแรงดัดตามขวางอยู่ในเกณฑ์มาตรฐานและแตกต่างกันที่ระดับความเชื่อมั่นร้อยละ 95 และจำนวนวันที่ทำการบ่มคอนกรีตมีผลต่อค่าความต้านแรงดัดตามขวาง โดยหากระยะเวลาการบ่มมาก จะให้ค่าความต้านแรงดัดตามขวางมากขึ้นด้วยเช่นกัน และระยะเวลาการบ่มคอนกรีตบล็อกที่ให้แรงดัดตามขวางมากที่สุดคือ 28 วัน ซึ่งคอนกรีตบล็อกพาราฟิน ให้ค่าเฉลี่ยสูงที่สุด คือ 7.83 เมกะพาสคัล และคอนกรีตบล็อกพาราฟินผสมเกลือและไฟเบอร์กลาสสูตร 1 (40 : 5 : 5) ให้ค่าเฉลี่ยต่ำที่สุด คือ 6.80 เมกะพาสคัล

3) การทดสอบค่าการดูดซึมน้ำ เมื่อเปรียบเทียบกับมาตรฐานผลิตภัณฑ์อุตสาหกรรม มอก. 378-2531 ต้องไม่น้อยกว่า 10 โดยนำหนัก ซึ่งผลจากการทดสอบสรุปว่าค่าร้อยละการดูดซึมน้ำของทั้งคอนกรีตบล็อกพาราฟินร้อยละ 40 และคอนกรีตบล็อกพาราฟินผสมเกลือและไฟเบอร์กลาสทั้ง 6 สูตร อยู่ในเกณฑ์มาตรฐาน และให้ค่าการดูดซึมน้ำอยู่ในระดับต่ำ ซึ่งถือว่าอยู่ในเกณฑ์ดีมาก แต่หากพิจารณาที่ค่าการดูดซึมน้ำที่ดีที่สุด (ดูดซึมน้ำน้อย) คือคอนกรีตบล็อกพาราฟินผสมเกลือและไฟเบอร์กลาสสูตรที่ 1 (40 : 5 : 5) ให้ค่าร้อยละ 0.97 ซึ่งดีกว่าคอนกรีตบล็อกพาราฟิน 40 ในเบื้องต้นที่ให้ค่าเท่ากับร้อยละ 1.38

4) การทดสอบการสะท้อนความร้อน มีผลจากการทดสอบสรุปได้ว่าค่าอุณหภูมิปกติ ภายนอกและอุณหภูมิในห้องทดลองของคอนกรีตบล็อกมีความแตกต่างกันที่ระดับความเชื่อมั่นร้อยละ 95 และอุณหภูมิในห้องทดลองจะสูงกว่าอุณหภูมิปกติ สำหรับประเภทคอนกรีตบล็อกนั้น มีผลต่อการสะท้อนความร้อนที่แตกต่างกัน โดยคอนกรีตบล็อกพาราฟินผสมเกลือและไฟเบอร์กลาสสูตรที่ 4 (40 : 5 : 10) ให้ค่าเฉลี่ยอุณหภูมิสูงที่สุด และค่าอุณหภูมิที่สะท้อนได้มากที่สุด ซึ่งเก็บอุณหภูมิได้ 9.82 องศาเซลเซียส ดีกว่าคอนกรีตบล็อกพาราฟิน 40 ในเบื้องต้น ที่เก็บอุณหภูมิได้ 7.18 องศาเซลเซียส

5) การทดสอบการนำความร้อน จากผลการทดสอบสรุปได้ว่าคอนกรีตบล็อกพาราฟินผสมเกลือและไฟเบอร์กลาสสูตรที่ 4 (40 : 5 : 10) ให้ค่าการนำความร้อนต่ำที่สุด เท่ากับ 0.213 แสดงว่ามีความสามารถในการเก็บสะสมความร้อนได้ดีที่สุด ซึ่งจะเห็นว่าดีกว่าคอนกรีตบล็อกพาราฟิน 40 ในเบื้องต้น ซึ่งเท่ากับ 0.385 นั่นแสดงให้เห็นว่าไฟเบอร์กลาสมากจะสามารถสะสมความร้อนได้น้อยลง สรุปผลการทดสอบสมบัติคอนกรีตบล็อกพาราฟินทุกประเภท คือ คอนกรีตบล็อกพาราฟินร้อยละ 40 และคอนกรีตบล็อกพาราฟินผสมเกลือและไฟเบอร์กลาสทั้ง 6 สูตร ให้ผลการทดสอบ 5 รายการ ดังตารางที่ 5.2

ตารางที่ 5.2 สรุปผลการทดสอบสมบัติคงกรีดบล็อกพาราฟินประเภทต่างๆ

ลำดับ	รายการ ทดสอบสมบัติ คงกรีดบล็อก	เกณฑ์ มาตรฐาน	ประเภทคงกรีดบล็อกพาราฟิน							การตัดสินใจ
			พาราฟิน 40	สูตร 1	สูตร 2	สูตร 3	สูตร 4	สูตร 5	สูตร 6	
1	มิติ	50*300*300 $(\pm 3 \text{ มม.}^3)$	ผ่าน	ผ่าน	ผ่าน	ผ่าน	ผ่าน	ผ่าน	ผ่าน	-
2	ความแข็งแรง (28 วัน)	$\geq 3$ เมกะ พาสคัล	7.83 (ผ่าน)	6.80 (ผ่าน)	7.37 (ผ่าน)	7.70 (ผ่าน)	6.89 (ผ่าน)	7.82 (ผ่าน)	7.08 (ผ่าน)	พาราฟิน 40
3	การดูดซึมน้ำ	$\leq$ ร้อยละ 10	1.38 (ผ่าน)	0.97 (ผ่าน)	1.54 (ผ่าน)	1.94 (ผ่าน)	1.51 (ผ่าน)	2.06 (ผ่าน)	2.76 (ผ่าน)	สูตร 1 (40 : 5 : 5)
4	การสะสานความร้อน	-	7.18	4.92	8.10	4.98	9.82	6.40	5.58	สูตร 4 (40 : 5 : 10)
5	การนำความร้อน	-	0.385	0.335	0.342	0.371	0.213	0.220	0.254	สูตร 4 (40 : 5 : 10)

หมายเหตุ : การทดสอบลำดับที่ 1, 2 และ 3 ต้องผ่านเกณฑ์มาตรฐาน มาก.

สรุปผลการทดสอบสมบัติค่อนกรีตบล็อกดังตารางที่ 5.2 นั้น สรุปได้ว่ารายการทดสอบที่ต้องเป็นไปตามมาตรฐานผลิตภัณฑ์อุตสาหกรรม มอก. 378-2531 มี 3 รายการ คือ ด้านมิติ ความแข็งแรง และการดูดซึมน้ำ ซึ่งค่อนกรีตทุกประเภท คือ ค่อนกรีตบล็อกพาราฟินร้อยละ 40 และ ค่อนกรีตบล็อกพาราฟินผสมเกลือและไฟเบอร์กลาสทั้ง 6 สูตร ผ่านเกณฑ์มาตรฐานทั้งหมด และ ค่อนกรีตบล็อกพาราฟินผสมพาราฟินร้อยละ 40 มีความแข็งแรงมากที่สุดที่ระยะเวลาการบ่ม 28 วัน แต่ ค่อนกรีตบล็อกพาราฟินผสมพาราฟินและไฟเบอร์กลาสสูตรที่ 1 ( $40 : 5 : 5$ ) มีการดูดซึมน้ำน้อยที่สุด ดังนั้นมือพิจารณาการทดสอบด้านการสะท้อนความร้อนและการนำความร้อน พบว่าค่อนกรีตบล็อก พาราฟินผสมเกลือและไฟเบอร์กลาสสูตรที่ 4 ( $40 : 5 : 10$ ) ให้ค่าที่ดีที่สุด แสดงว่าจากพาราฟินมิกกลไกสำคัญที่ช่วยเก็บสะสมพลังงานความร้อนอยู่ในรูปของพลังงานความร้อนแห่งการทำให้พาราฟินเปลี่ยนสถานะได้แล้วนั้น ไฟเบอร์กลาสยังมีความสามารถสะสมความร้อนได้ดี และ เกลือมีคุณสมบัติช่วยให้การนำความร้อน ทำให้สะท้อนความร้อนได้น้อยลง ดังนั้นค่อนกรีตบล็อก พาราฟินผสมเกลือและไฟเบอร์กลาสสูตรที่ 4 ( $40 : 5 : 10$ ) ให้ผลดีที่สุดทั้ง 2 รายการทดสอบ

โดยสรุปงานวิจัยนี้จึงตัดสินใจเลือกใช้พาราฟินร้อยละ 40 ใส่ตระกลาง เกลือร้อยละ 5 ผสมที่พิเศษน้ำ และไฟเบอร์กลาสร้อยละ 10 ผสมที่พิเศษล่าง ใส่ในแผ่นค่อนกรีตบล็อก เพื่อสร้างค่อนกรีตบล็อกที่มีสมบัติการสะท้อนความร้อนได้ดี เหมาะสมในการนำไปใช้เพื่อนปูนรองอบแห้งได้ต่อไป

### 5.1.3 การสร้างร่องตันแบบในการทดสอบประสิทธิภาพของแผ่นค่อนกรีตบล็อก

จากการวิเคราะห์และทดสอบสมบัติของแผ่นค่อนกรีตบล็อกดังกล่าวทำให้ทราบว่า แผ่นค่อนกรีตบล็อกที่เหมาะสมสมต่อการนำไปใช้งานได้จริงคือ ค่อนกรีตบล็อกที่มีพาราฟินเป็นไส้กลางร้อยละ 40 ผสมเกลือที่พิเศษน้ำร้อยละ 5 และผสมไฟเบอร์กลาสด้านล่างร้อยละ 10 หลังจากนั้นจึงนำค่อนกรีตบล็อกดังกล่าวไปทดลองวางแผนปูนรองเรือนจำลองอบแห้ง และพบว่าการอบแห้งด้วยแสงอาทิตย์ทำให้ตัวอ่อนย่างคือพริก มีความแห้งมากขึ้น ช่วยลดความชื้นและป้องกันการปนเปื้อนจากฝุ่นละอองและแมลงจากภายนอก อีกทั้งยังเป็นการใช้ทรัพยากรธรรมชาติแสงแดดได้อย่างมีคุณค่า

ดังนั้น แผ่นปูนค่อนกรีตที่มีวัสดุพาราฟินเป็นไส้กลางร้อยละ 40 ผสมเกลือที่พิเศษน้ำร้อยละ 5 และผสมไฟเบอร์กลาสด้านล่างร้อยละ 10 เหมาะสำหรับการใช้ในโรงอบแห้งของพืชผลทางการเกษตร

#### 5.1.4 การประเมินต้นทุนการผลิตแผ่นคอนกรีตล็อก

ในการประเมินต้นทุนการผลิตแผ่นคอนกรีตล็อก จะประเมินเฉพาะต้นทุนวัสดุคิดเท่านั้น โดยแผ่นคอนกรีตล็อกในการทดลองนี้มีขนาด 30 เซนติเมตร x 30 เซนติเมตร x 5 เซนติเมตร โดยมีแผ่นพาราฟินวางอยู่ด้านในและมีผิวน้ำข้างของแผ่นคอนกรีตล็อกผสมด้วยผุนหินแกรนิต ซึ่งวัสดุทั้งหมดถูกตรวจสอบตามสัดส่วนในการทดลอง ปูน : ทราย : หิน : น้ำ คือ 1 : 2 : 4 : 1 นอกจากนี้แล้วยังมีการเพิ่มเติมส่วนของการใส่เกลือเพื่อคุณภาพร้อนและผงไฟเบอร์ผสมลงไปเพื่อป้องกันความร้อนแผ่กระจายลงไปในด้านล่าง ซึ่งจากสรุปผลการทดลองพบว่า สูตรที่เหมาะสมที่สุดที่ให้ผลการสะสมความร้อนที่สูงกว่าสูตรอื่นๆ คือคอนกรีตบล็อกสูตรที่ 4 โดยมีเกลือผสมที่ผิวน้ำร้อยละ 5 ผงไฟเบอร์ผสมด้านล่างร้อยละ 10 และมีพาราฟินอยู่ตรงกลางร้อยละ 40 ดังนั้นการประเมินต้นทุนการผลิตแผ่นคอนกรีตล็อก จึงคิดประเมินแบ่งออกเป็น 3 ชั้น คือชั้นบน ชั้นกลาง และชั้นล่าง ดังนี้ ชั้นล่างสุดคิดเป็นเงิน 10.50 บาท ชั้นกลางคิดเป็นเงิน 3 บาท และชั้นบนสุดคิดเป็นเงิน 11.50 บาท และวัสดุอื่นๆ คือ เหล็กทำแบบ กิตติเป็นเงิน 120 บาทต่อตัว

ดังนั้นเมื่อประเมินราคแล้วพบว่า ต้นทุนการผลิตแผ่นคอนกรีตล็อก กิตติเป็นเงินรวมทั้งสิ้นเท่ากับ 145 บาทต่อบล็อกคอนกรีต 1 แผ่น

และ รองอ่อนที่สร้างขึ้นใช้แผ่นคอนกรีตล็อกทั้งหมด 25 ก้อนเพื่อปูพื้น รองอ่อน ดังนั้นจึงสรุปราคาประเมินต้นทุนวัสดุคิดในการสร้างรองอ่อนขนาด 1.5 เมตร x 1.5 เมตร x 2 เมตร เป็นเงินทั้งสิ้นเท่ากับ 3,650 บาท

#### 5.2 อภิปรายผล

การสร้างรองอ่อนแห้งเก็บผลผลิตทางการเกษตรนี้ เป็นแนวคิดที่มีมาแต่ตั้งเดิม จนในปัจจุบันผู้ผลิตเองไม่ได้มีพื้นที่มากพอในการสร้างรองเก็บ รวมถึงประสิทธิภาพในการเก็บรักษา จึงเป็นเหตุให้ผู้ผลิตสินค้าทางการเกษตรและเกษตรกร นำผลผลิตที่ได้ภายหลังจากการเก็บเกี่ยวเข้าสู่ตลาดหรือฝากเก็บในสถานที่เอกสาร ซึ่งทำให้สินค้าระบาดสูงติดตามจำนวนมาก และในกรณีที่มีการสร้างรองเก็บ ส่วนใหญ่นิยมเน้นไปทางด้านการเก็บรักษาให้รอบพื้นจากแมลงและสัตว์เท่านั้น ไม่ได้มุ่งเน้นในการสร้างรองเก็บที่สามารถเพิ่มประสิทธิภาพในด้านยืดอายุการเก็บรักษา ดังนั้นในงานวิจัยนี้จึงได้นำเสนอและผลักดันแนวคิดในการเลือกใช้คอนกรีตบล็อกปูพื้นเพื่อเป็นทางเลือกในการสร้างประสิทธิภาพของการเก็บรักษาผลผลิต

ในด้านการสร้างพื้นรองเรือนในการเก็บรักษา ส่วนใหญ่ได้ทำการสร้างโดยอาศัยการเทพื้นคอนกรีตสำเร็จรูปที่เน้นความแข็งแรงและคงทน โดยที่ไม่รู้ว่าพื้นคอนกรีตนั้นสามารถดูดความชื้นและสามารถรับความร้อนและสะสมความร้อนได้ และเมื่อคอนกรีตแตกและสะสมความร้อน

ทำให้เกิดผล้งงานสะสภความร้อนขึ้น กอนกรีตโดยทั่วไปถายความร้อนเมื่อสภาวะแวดล้อมมีอุณหภูมิลดลง ดังนั้นในการวิจัยนี้ได้เสนอแนวคิดการหน่วงความร้อนที่กอนกรีตสะสภความร้อนด้วยวัสดุพาราฟิน ซึ่งการเลือกใช้วัสดุพาราฟินเนื่องจากเป็นวัสดุที่มีคุณสมบัติในการเปลี่ยนเฟสจากของแข็งไปสู่ของเหลวที่อุณหภูมิประมาณ 70 องศาเซลเซียส ซึ่งอุณหภูมิคงกล่าวสามารถเกิดขึ้นได้กับห้องอบแห้งที่เป็นโรงเก็บวัสดุแบบปิดได้ดี โดยจากผลการทดลองพบว่าในช่วงเวลากลางวันอุณหภูมิในห้องอบสามารถทำอุณหภูมิได้ถึงช่วงนี้ และความร้อนสะสภในพาราฟินช่วยให้แผ่นกอนกรีตสะสภความร้อนได้มากกว่ากอนกรีตปกติ โดยที่สำคัญพาราฟินนี้คายความร้อนเพื่อกลับมาเป็นเฟสของแข็งได้อีกเป็นแหล่งพลังงานสำรองของแผ่นกอนกรีต ที่ช่วยยืดเวลาในการรักษาอุณหภูมิการอบออกไประดับนานกว่าการใช้กอนกรีตทั่วไปเป็นพื้นโรงอบ

สำหรับด้านการผลิต เลือกใช้วิธีการหล่อขึ้นรูป เพราะถือเป็นวิธีที่ง่ายสะดวกไม่ซับซ้อนแต่อย่างใด อีกทั้งพื้นกอนกรีตยังเสริมผสมด้วยผุนไฟเบอร์กลาสที่เป็นจำนวนความร้อน เป็นผลทำให้แผ่นกอนกรีตมีกลไกการแพร่ความร้อนไปในทิศทางเดียวคือ เข้าสู่ห้องอบ จากกรรมวิธีการผลิตดังกล่าวช่วยทำให้โรงอบแห้งไม่สูญเสียความร้อนออกสู่พื้นดินด้านล่าง

อาจกล่าวได้ว่ากอนกรีตบล็อกปูพื้นแบบสะสภความร้อนนี้ เป็นทางเลือกที่ทำให้ผู้ประกอบการหรือเกยตรกรสามารถเลือกใช้วัสดุเพื่อนำไปใช้ในการเกยตรด้านการเก็บรักษาและอบแห้งได้ต่อไป

### 5.3 ข้อเสนอแนะ

5.3.1 จากการศึกษาทดลอง การมีการขัดหน้าแผ่นด้วยอย่างให้เรียนมากกว่านี้เพื่อป้องกันการเยิ่มของพาราฟิน ออกจากแผ่นด้วยอย่าง

5.3.2 งานวิจัยนี้อาจมีความเป็นไปได้ที่สามารถนำพาราฟินมาทดลองอัตราส่วนที่มากหรือน้อยกว่านี้เพื่อหาค่าที่เหมาะสมต่อไป

5.3.3 การศึกษาวิจัยเรื่องผนังบล็อกกอนกรีตที่สามารถเก็บความชื้นได้ อาจทำให้ได้ประสิทธิภาพของโรงอบที่ช่วยดูดความชื้น ไว้ในตอนกลางคืน และสามารถลดความชื้นในโรงอบได้ดียิ่งขึ้น

## บรรณานุกรม

- Amouzou, K., Gnininvani, M., Kerim, B., 1986. Solar drying problem in Togo: research and development solar drying in Africa. In: **Proceedings of a Workshop held in Dakar**; p. 252–71.
- Hallack, H., Hilal, J., Hilal, F., Rahhal, R., 1996. The staircase solar dryer: design and characteristics. **Renewable Energy**.7(2):177–83.
- Janjai, S., Intawee, P., Chaichoet, C., Sawatdisawanee, Y., 2006. Development and dissemination of the SILPAKORN-TYPE solar greenhouse dryer. In. **International conference on Green and Sustainable Innovation**. November 29 -December 1, 2006 Amora Tapae Hotel, Chiangmai Thailand.
- Janjai, S., 2010. Sola radiation maps from satellite data for Thailand, Silpakron University, Thailand.
- Koyuncu, T., 2006. An investigation on the performance improvement of greenhouse- type agricultural dryers. **Renewable Energy**.31:1055–71.
- Madhlopa, A., Jones, SA., Saka, JDK., 2002. A solar air heater with composite-absorber systems for food dehydration. **Renewable Energy**.27:27–37.
- Pangavhane, DR., Sawhney, RL., Sarsavadia, PN., 2002. Design, development and performance testing of a new natural convection solar dryer. **J. Energy**.27:579–90.
- Sarachitti, R., Chotetanorm, C., Lertsatitthanakorn, C., Rungsiyopas, M., 2011. Thermal performance analysis and economic evaluation of roof-integrated solar concrete collector, **Energy Buildings**.
- Zhang, D., Li, Z., Zhou, J., Wu, K., 2004. Development of thermal energy storage Concrete. **Cement and Concrete Research**. 34: 927–934.
- สุนันท์ ศรีวนิชย์. การถ่ายเทความร้อน. กรุงเทพฯ : สมาคมส่งเสริมเทคโนโลยีไทย-ญี่ปุ่น, 2548.  
เข้าถึงข้อมูลเมื่อวันที่ 12 ธันวาคม 2555 [http://ess.geology.ufl.edu/ess/Notes/020-Intro\\_ESS/Fig2.html](http://ess.geology.ufl.edu/ess/Notes/020-Intro_ESS/Fig2.html)



ภาคนวก ก

หนังสือขอเข้าใช้พื้นที่ในการเก็บข้อมูล





## บันทึกข้อความ

ส่วนราชการ สาขาวิชาวิศวกรรมโยธา ภาควิชาวิศวกรรมโยธา คณะวิศวกรรมศาสตร์ โทรศัพท์ ๘๖๓๔, ๒๒๑๒๕

ที่ ศธ ๐๕๗๙.๐๖/ยธ ๒๐

วันที่ ๘ กุมภาพันธ์ ๒๕๕๖

เรื่อง ขอใช้สถานที่อาคาร ๑๙ ชั้นดาดฟ้า

เรียน หัวหน้าภาควิชาวิศวกรรมโยธา

ด้วยกรณีนายธรรมมา เจียรราวนิช ได้ทำวิจัยโครงการ เรื่อง การพัฒนาระบบประเมินความร้อนของคุณภาพต่ำในอาคารเก็บพืชผลทางการเกษตร ดังนั้น จึงขอใช้สถานที่ชั้นดาดฟ้าอาคาร ๑๙ โดยนำขึ้นงานเพื่อทดสอบความร้อนของชั้นงานทดสอบ ตั้งแต่วันที่ ๘-๑๕ กุมภาพันธ์ ๒๕๕๖

จึงเรียนมาเพื่อขออนุญาต

(นายธรรมมา เจียรราวนิช)

หัวหน้าโครงการวิจัย

นายวิรัชัย เทพพัฒน์ ณ อุบลฯ  
หัวหน้าภาควิชาวิศวกรรมโยธา



ที่ ศธ ๐๕๗๙.๐๖/๘๙

คณะวิศวกรรมศาสตร์

มหาวิทยาลัยเทคโนโลยีราชมงคลกรุงเทพ

๒ ถนนนangลินจี แขวงทุ่งมหาเมฆ

เขตสาทร กรุงเทพฯ ๑๐๑๒๐

- ๓ ม.ย. ๒๕๖

เรื่อง ขอความอนุเคราะห์เข้าใช้พื้นที่เพื่อทำการทดสอบ

เรียน คุณอาณัติ แก้วประเสริฐ

สิ่งที่ส่งมาด้วย แบบรายละเอียดโรงต้นแบบ จำนวน ๑ ชุด

ตามที่คณะวิศวกรรมศาสตร์ มหาวิทยาลัยเทคโนโลยีราชมงคลกรุงเทพ ได้ทำวิจัย เรื่อง “การพัฒนาระบบสสสความร้อนของคอนกรีตบล็อกในอาคารเก็บพีซผลทางการเกษตร” โดยมีอาจารย์ธรรมมา เจียรธรรมานิช เป็นหัวหน้าโครงการวิจัย ในการนี้จึงขอความอนุเคราะห์เข้าใช้พื้นที่เพื่อทำการทดสอบในการวิจัยดังกล่าวข้างต้น

จึงเรียนมาเพื่อโปรดอนุเคราะห์

ขอแสดงความนับถือ

(ผู้ช่วยศาสตราจารย์กุณิณันทน์ อุเทศนันทน์)

คณบดีคณะวิศวกรรมศาสตร์

คณะวิศวกรรมศาสตร์ ภาควิชาวิศวกรรมโยธา

โทรศัพท์ ๐ ๒๒๔๗๗๕๖๐๐ ต่อ ๒๒๒๕๕ หรือ ๐ ๒๒๔๗๗๕๖๑๓๘

โทรสาร ๐ ๒๒๔๖๖๕๖๓๘

ภาคผนวก ข

แบบรายละเอียดโรงต้นแบบ



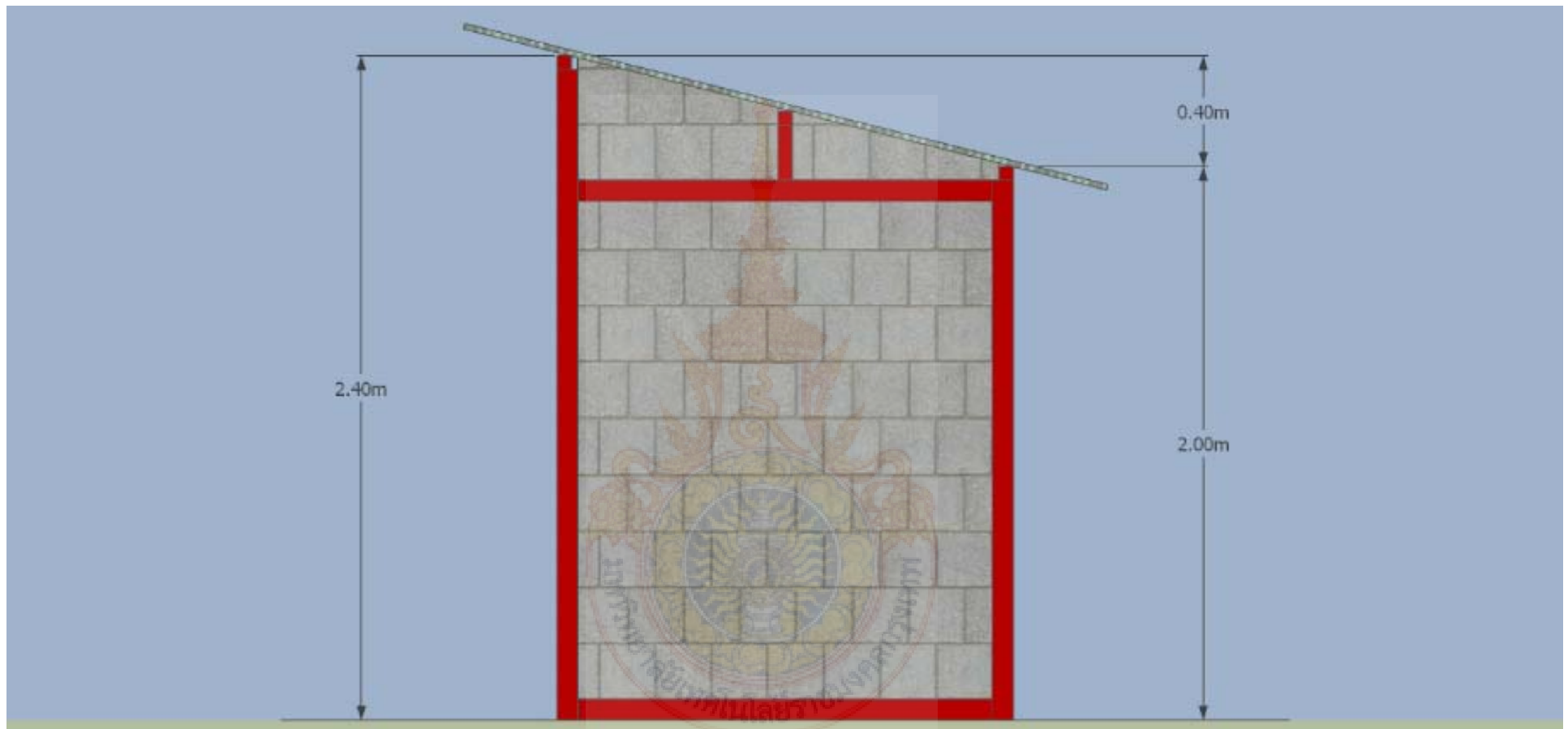
แบบรายละเอียดโรงต้นแบบ



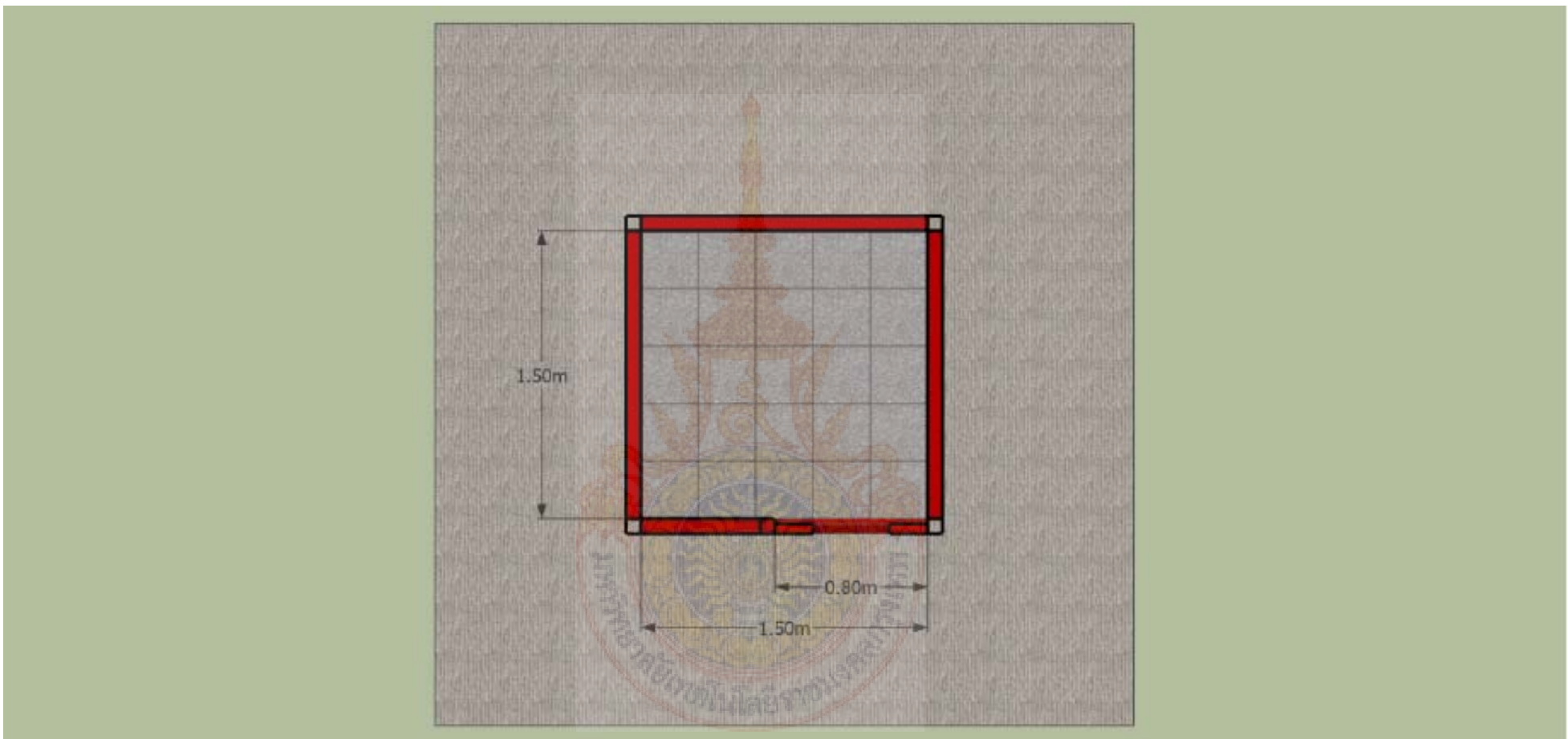
ภาพที่ ข.1 แบบรายละเอียด โรงต้นแบบ



ภาพที่ ข.2 แบบรายละเอียด โรงต้นแบบพร้อมขนาด ด้านหน้า



ภาพที่ ข.3 แบบรายละเอียดโครงตื้นแบบพร้อมขนาด ด้านข้าง

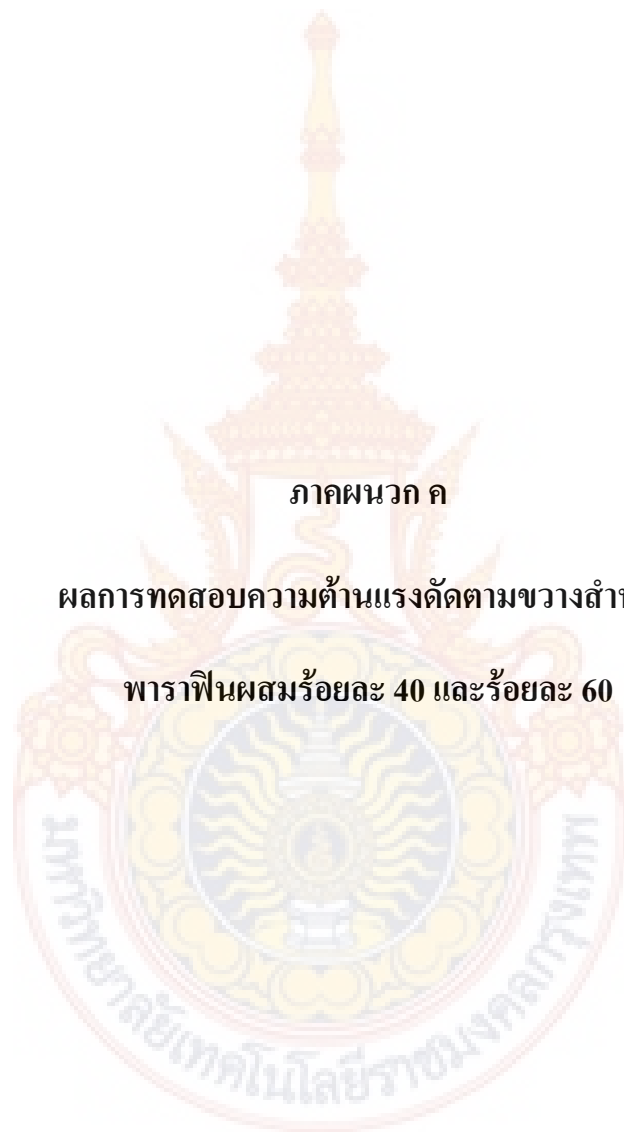


ภาพที่ ข.4 แบบรายละเอียด โครงสร้างแบบพร้อมขนาด ด้านบน

ภาคผนวก ค

ผลการทดสอบความต้านแรงดัดตามขวางสำหรับ

พาราฟินพสมร้อยละ 40 และร้อยละ 60



**ผลการทดสอบความต้านแรงดัดตามขวางสำหรับ พาราฟินผสมร้อยละ 40 และร้อยละ 60**

**ตารางที่ ค.1** ค่าความต้านแรงดัดตามขวางของกระเบื้องคอนกรีตปูพื้น มาตรฐานบ่มที่ 7 วัน

ตัวอย่าง กระเบื้อง	แรงที่กดได้ (P) (นิวตัน)	ความหนา (t)	ความกว้าง (b)	ความยาว (L)	ระยะห่าง (l) = 2L/3	ค่า $f = \frac{3Pl}{2bt^2}$	ค่าเฉลี่ย (f) 3 แผ่น
1	15,600	51	300	301	200.67	6.02	6.05
2	15,500	51	299	301	200.67	6.00	
3	15,300	50	301	301	200.67	6.12	

**ตารางที่ ค.2** ค่าความต้านแรงดัดตามขวางของคอนกรีตปูพื้นพาราฟินร้อยละ 40 บ่มที่ 7 วัน

ตัวอย่าง กระเบื้อง	แรงที่กดได้ (P) (นิวตัน)	ความหนา (t)	ความกว้าง (b)	ความยาว (L)	ระยะห่าง (l) = 2L/3	ค่า $f = \frac{3Pl}{2bt^2}$	ค่าเฉลี่ย (f) 3 แผ่น
1	15,400	50	297	300	200.00	6.22	6.19
2	15,600	51	299	300	200.00	6.02	
3	15,800	50	300	300	200.00	6.32	

**ตารางที่ ค.3** ค่าความต้านแรงดัดตามขวางของคอนกรีตปูพื้นพาราฟินร้อยละ 60 บ่มที่ 7 วัน

ตัวอย่าง กระเบื้อง	แรงที่กดได้ (P) (นิวตัน)	ความ หนา (t)	ความกว้าง (b)	ความยาว (L)	ระยะห่าง (l) = 2L/3	ค่า $f = \frac{3Pl}{2bt^2}$	ค่าเฉลี่ย (f) 3 แผ่น
1	15,400	52	300	300.50	200.33	5.70	6.09
2	15,600	50	300	300	200.00	6.24	
3	15,600	50	299	302.50	201.67	6.31	

ตารางที่ ค.4 ค่าความด้านแรงดัดตามขวางของคอนกรีตปูพื้น มาตรฐานบ่มที่ 14 วัน

ตัวอย่าง กระเบื้อง	แรงที่กดได้ (P) (นิวตัน)	ความ หนา (t)	ความกว้าง (b)	ความยาว (L)	ระยะห่าง (l) = 2L/3	ค่า $f = \frac{3Pl}{2bt^2}$	ค่าเฉลี่ย (f)
1	17,900	50	298	303	202.00	7.28	6.89
2	17,600	51	301	303	202.00	6.81	
3	17,000	51	301	303	202.00	6.58	

ตารางที่ ค.5 ค่าความด้านแรงดัดตามขวางของคอนกรีตปูพื้นพาราฟินร้อยละ 40 บ่มที่ 14 วัน

ตัวอย่าง กระเบื้อง	แรงที่กดได้ (P) (นิวตัน)	ความ หนา (t)	ความกว้าง (b)	ความยาว (L)	ระยะห่าง (l) = 2L/3	ค่า $f = \frac{3Pl}{2bt^2}$	ค่าเฉลี่ย (f)
1	16,400	48	300	301	200.67	7.14	6.97
2	16,800	50	297	300	200.00	6.79	
3	17,300	50	300	302	201.33	6.97	

ตารางที่ ค.6 ค่าความด้านแรงดัดตามขวางของคอนกรีตปูพื้นพาราฟินร้อยละ 60 บ่มที่ 14 วัน

ตัวอย่าง กระเบื้อง	แรงที่กดได้ (P) (นิวตัน)	ความ หนา (t)	ความกว้าง (b)	ความยาว (L)	ระยะห่าง (l) = 2L/3	ค่า $f = \frac{3Pl}{2bt^2}$	ค่าเฉลี่ย (f)
1	17,000	52	300	303	202.00	6.35	6.48
2	17,800	53	298	301	200.67	6.40	
3	17,300	51	298	301	200.67	6.72	

ตารางที่ ก.7 ค่าความด้านแรงดัดตามขวางของคอนกรีตปูพื้น มาตรฐานบ่มที่ 28 วัน

ตัวอย่าง กระเบื้อง	แรงที่กดได้ (P) (นิวตัน)	ความ หนา (t)	ความกว้าง (b)	ความยาว (L)	ระยะห่าง (l) = 2L/3	ค่า $f = \frac{3Pl}{2bt^2}$	ค่าเฉลี่ย (f)
1	18,700	50	300	302	201.33	7.53	7.24
2	19,000	52	300	302	201.33	7.07	
3	18,400	51	300	302	201.33	7.12	

ตารางที่ ก.8 ค่าความด้านแรงดัดตามขวางของคอนกรีตปูพื้นพาราฟินร้อยละ 40 บ่มที่ 28 วัน

ตัวอย่าง กระเบื้อง	แรงที่กดได้ (P) (นิวตัน)	ความ หนา (t)	ความกว้าง (b)	ความยาว (L)	ระยะห่าง (l) = 2L/3	ค่า $f = \frac{3Pl}{2bt^2}$	ค่าเฉลี่ย (f)
1	19,000	48	300	301	200.67	8.27	7.83
2	18,800	50	297	300	200.00	7.60	
3	18,900	50	300	302	201.33	7.61	

ตารางที่ ก.9 ค่าความด้านแรงดัดตามขวางของคอนกรีตปูพื้นพาราฟินร้อยละ 60 บ่มที่ 28 วัน

ตัวอย่าง กระเบื้อง	แรงที่กดได้ (P) (นิวตัน)	ความ หนา (t)	ความกว้าง (b)	ความยาว (L)	ระยะห่าง (l) = 2L/3	ค่า $f = \frac{3Pl}{2bt^2}$	ค่าเฉลี่ย (f)
1	19,400	51	298	300	200.00	7.51	7.74
2	19,500	50	301	301	200.67	7.80	
3	18,900	49	298	300	200.00	7.92	

ภาคผนวก ง

ผลการทดสอบความต้านแรงดัดตามขวางของคอนกรีตปูพื้นที่มีพาราฟินร้อยละ 40



**ผลการทดสอบความต้านแรงดัดตามขวางของคอนกรีตปูพื้นที่มีพาราฟินร้อยละ 40**

**ตารางที่ ง.1 ค่าความต้านแรงดัดตามขวางของคอนกรีตปูพื้นคอนกรีตผสมเกลือร้อยละ 5 ต่อ ไฟเบอร์กลาส**

ร้อยละ 5 ปั่นที่ 7 วัน

ตัวอย่าง กระเบื้อง	แรงที่กดได้ (P) (นิวตัน)	ความ หนา (t)	ความกว้าง (b)	ความยาว (L)	ระยะห่าง (l) = 2L/3	ค่า $f = \frac{3Pl}{2bt^2}$	ค่าเฉลี่ย (f)
1	14,000	50	297	300	200.00	5.66	5.66
2	14,500	51	299	300	200.00	5.59	
3	14,300	50	300	300	200.00	5.72	

**ตารางที่ ง.2 ค่าความต้านแรงดัดตามขวางของคอนกรีตปูพื้นคอนกรีตผสมเกลือร้อยละ 5 ต่อ ไฟเบอร์กลาส**

ร้อยละ 5 ปั่นที่ 14 วัน

ตัวอย่าง กระเบื้อง	แรงที่กดได้ (P) (นิวตัน)	ความ หนา (t)	ความกว้าง (b)	ความยาว (L)	ระยะห่าง (l) = 2L/3	ค่า $f = \frac{3Pl}{2bt^2}$	ค่าเฉลี่ย (f)
1	16,400	50	297	301	200.67	6.65	6.34
2	16,600	53	298	300	200.00	5.95	
3	16,450	51	298	302	201.33	6.41	

**ตารางที่ ๔.๓ ค่าความด้านแรงดัดตามขวางของคอนกรีตปูพื้นคอนกรีตผสมเกลือร้อยละ ๕ ต่อ ไฟเบอร์กลาส**

ร้อยละ ๕ บ่มที่ ๒๘ วัน

ตัวอย่าง กระเบื้อง	แรงที่กัดได้ (P) (นิวตัน)	ความ หนา (t)	ความกว้าง (b)	ความยาว (L)	ระยะห่าง (l) = 2L/3	ค่า $f = \frac{3Pl}{2bt^2}$	ค่าเฉลี่ย (f) 3 แผ่น
1	17,500	50	298	301.50	201.00	7.08	6.83
2	17,600	51	301	301.50	201.00	6.78	
3	17,200	51	301	301.50	201.00	6.62	

**ตารางที่ ๔.๔ ค่าความด้านแรงดัดตามขวางของคอนกรีตปูพื้นคอนกรีตผสมเกลือร้อยละ ๑๐ ต่อ ไฟเบอร์กลาส**

ร้อยละ ๕ บ่มที่ ๗ วัน

ตัวอย่าง กระเบื้อง	แรงที่กัดได้ (P) (นิวตัน)	ความ หนา (t)	ความกว้าง (b)	ความยาว (L)	ระยะห่าง (l) = 2L/3	ค่า $f = \frac{3Pl}{2bt^2}$	ค่าเฉลี่ย (f) 3 แผ่น
1	14,550	50	298	303	202.00	5.92	5.74
2	14,600	51	299	303	202.00	5.69	
3	14,500	51	301	303	202.00	5.61	

**ตารางที่ ๔.๕ ค่าความด้านแรงดัดตามขวางของคอนกรีตปูพื้นคอนกรีตผสมเกลือร้อยละ ๑๐ ต่อ ไฟเบอร์กลาส**

ร้อยละ ๕ บ่มที่ ๑๔ วัน

ตัวอย่าง กระเบื้อง	แรงที่กัดได้ (P) (นิวตัน)	ความ หนา (t)	ความกว้าง (b)	ความยาว (L)	ระยะห่าง (l) = 2L/3	ค่า $f = \frac{3Pl}{2bt^2}$	ค่าเฉลี่ย (f) 3 แผ่น
1	17,900	50	298	303	202.00	7.28	7.14
2	17,400	50	301	303	202.00	7.01	
3	17,000	49	301	303	202.00	7.13	

**ตารางที่ ๔.๖ ค่าความด้านแรงดัดตามขวางของคอนกรีตปูพื้นคอนกรีตผสมเกลือร้อยละ 10 ต่อ ไฟเบอร์กลาส**

ร้อยละ ๕ บ่มที่ 28 วัน

ตัวอย่าง กระเบื้อง	แรงที่กดได้ (P) (นิวตัน)	ความ หนา (t)	ความกว้าง (b)	ความยาว (L)	ระยะห่าง (l) = 2L/3	ค่า $f = \frac{3Pl}{2bt^2}$	ค่าเฉลี่ย (f) 3 แผ่น
1	19,200	50	300	303	202.00	7.76	7.46
2	19,100	51	301	301	200.67	7.34	
3	18,900	51	300	301	200.67	7.29	

**ตารางที่ ๔.๗ ค่าความด้านแรงดัดตามขวางของคอนกรีตปูพื้นคอนกรีตผสมเกลือร้อยละ 15 ต่อ ไฟเบอร์กลาส**

ร้อยละ ๕ บ่มที่ 7 วัน

ตัวอย่าง กระเบื้อง	แรงที่กดได้ (P) (นิวตัน)	ความ หนา (t)	ความกว้าง (b)	ความยาว (L)	ระยะห่าง (l) = 2L/3	ค่า $f = \frac{3Pl}{2bt^2}$	ค่าเฉลี่ย (f) 3 แผ่น
1	18,680	50	298	303	202.00	7.60	7.20
2	18,100	51	300	300	200.00	6.96	
3	18,200	51	301	303	202.00	7.04	

**ตารางที่ ๔.๘ ค่าความด้านแรงดัดตามขวางของคอนกรีตปูพื้นคอนกรีตผสมเกลือร้อยละ 15 ต่อ ไฟเบอร์กลาส**

ร้อยละ ๕ บ่มที่ 14 วัน

ตัวอย่าง กระเบื้อง	แรงที่กดได้ (P) (นิวตัน)	ความ หนา (t)	ความกว้าง (b)	ความยาว (L)	ระยะห่าง (l) = 2L/3	ค่า $f = \frac{3Pl}{2bt^2}$	ค่าเฉลี่ย (f) 3 แผ่น
1	19,000	51	300	301	200.67	7.33	7.52
2	18,800	50	298	300	200.00	7.57	
3	19,000	50	300	302	201.33	7.65	

ตารางที่ ๔.๙ ค่าความต้านแรงดัดตามขวางของคอนกรีตปูพื้นคอนกรีตผสมเกลือร้อยละ 15 ต่อ ไฟเบอร์กลาส

ร้อยละ ๕ บ่มที่ 28 วัน

ตัวอย่าง กระเบื้อง	แรงที่กัดได้ (P) (นิวตัน)	ความ หนา (t)	ความกว้าง (b)	ความยาว (L)	ระยะห่าง (l) = 2L/3	ค่า $f = \frac{3Pl}{2bt^2}$	ค่าเฉลี่ย (f) 3 แผ่น
1	19,400	51	298	303	202.00	7.58	7.71
2	19,500	50	301	301	200.67	7.80	
3	19,300	50	300	300.50	200.33	7.73	

ตารางที่ ๔.๑๐ ค่าความต้านแรงดัดตามขวางของคอนกรีตปูพื้นคอนกรีตผสมเกลือร้อยละ ๕ ต่อ ไฟเบอร์กลาส

ร้อยละ ๑๐ บ่มที่ 7 วัน

ตัวอย่าง กระเบื้อง	แรงที่กัดได้ (P) (นิวตัน)	ความ หนา (t)	ความกว้าง (b)	ความยาว (L)	ระยะห่าง (l) = 2L/3	ค่า $f = \frac{3Pl}{2bt^2}$	ค่าเฉลี่ย (f) 3 แผ่น
1	15,040	51	300	301	200.67	5.80	5.86
2	14,820	51	299	301	200.67	5.74	
3	15,140	50	301	301	200.67	6.06	

ตารางที่ ๔.๑๑ ค่าความต้านแรงดัดตามขวางของคอนกรีตปูพื้นคอนกรีตผสมเกลือร้อยละ ๕ ต่อ ไฟเบอร์กลาส

ร้อยละ ๑๐ บ่มที่ 14 วัน

ตัวอย่าง กระเบื้อง	แรงที่กัดได้ (P) (นิวตัน)	ความ หนา (t)	ความกว้าง (b)	ความยาว (L)	ระยะห่าง (l) = 2L/3	ค่า $f = \frac{3Pl}{2bt^2}$	ค่าเฉลี่ย (f) 3 แผ่น
1	16,400	49	300	301	200.67	6.85	6.70
2	16,800	50	301	300	200.00	6.70	
3	16,300	50	300	301.50	201.00	6.55	

ตารางที่ ๔.12 ค่าความต้านแรงดัดตามขวางของคอนกรีตปูพื้นคอนกรีตผสมเกลือร้อยละ 5 ต่อ ไฟเบอร์กลาส

ร้อยละ 10 บ่มที่ 28 วัน

ตัวอย่าง กระเบื้อง	แรงที่กัดได้ (P) (นิวตัน)	ความ หนา (t)	ความกว้าง (b)	ความยาว (L)	ระยะห่าง (l) = 2L/3	ค่า $f = \frac{3Pl}{2bt^2}$	ค่าเฉลี่ย (f) 3 แผ่น
1	17,900	50	298	303	202.00	7.28	6.89
2	17,600	51	301	303	202.00	6.81	
3	17,000	51	301	303	202.00	6.58	

ตารางที่ ๔.13 ค่าความต้านแรงดัดตามขวางของคอนกรีตปูพื้นคอนกรีตผสมเกลือร้อยละ 10 ต่อ ไฟเบอร์กลาส

ร้อยละ 10 บ่มที่ 7 วัน

ตัวอย่าง กระเบื้อง	แรงที่กัดได้ (P) (นิวตัน)	ความ หนา (t)	ความกว้าง (b)	ความยาว (L)	ระยะห่าง (l) = 2L/3	ค่า $f = \frac{3Pl}{2bt^2}$	ค่าเฉลี่ย (f) 3 แผ่น
1	16,900	50	298	303	202.00	6.87	6.50
2	16,600	51	301	303	202.00	6.42	
3	16,000	51	301	303	202.00	6.19	

ตารางที่ ๔.14 ค่าความต้านแรงดัดตามขวางของคอนกรีตปูพื้นคอนกรีตผสมเกลือร้อยละ 10 ต่อ ไฟเบอร์กลาส

ร้อยละ 10 บ่มที่ 14 วัน

ตัวอย่าง กระเบื้อง	แรงที่กัดได้ (P) (นิวตัน)	ความ หนา (t)	ความกว้าง (b)	ความยาว (L)	ระยะห่าง (l) = 2L/3	ค่า $f = \frac{3Pl}{2bt^2}$	ค่าเฉลี่ย (f) 3 แผ่น
1	17,900	50	300	303	202.00	7.23	6.87
2	17,600	51	301	303	202.00	6.81	
3	17,000	51	301	303	202.00	6.58	

**ตารางที่ ๔.15 ค่าความต้านแรงดัดตามขวางของคอนกรีตปูพื้นคอนกรีตผสมเกลือร้อยละ 10 ต่อ ไฟเบอร์กลาส**

ร้อยละ 10 บ่มที่ 28 วัน

ตัวอย่าง กระเบื้อง	แรงที่กัดได้ (P) (นิวตัน)	ความ หนา (t)	ความกว้าง (b)	ความยาว (L)	ระยะห่าง (l) = 2L/3	ค่า $f = \frac{3Pl}{2bt^2}$	ค่าเฉลี่ย (f) 3 แผ่น
1	19,000	48	300	300	200.00	8.25	7.81
2	18,800	50	297	300	200.00	7.60	
3	18,900	50	300	301.50	201.00	7.60	

**ตารางที่ ๔.16 ค่าความต้านแรงดัดตามขวางของคอนกรีตปูพื้นคอนกรีตผสมเกลือร้อยละ 15 ต่อ ไฟเบอร์กลาส**

ร้อยละ 10 บ่มที่ 7 วัน

ตัวอย่าง กระเบื้อง	แรงที่กัดได้ (P) (นิวตัน)	ความ หนา (t)	ความกว้าง (b)	ความยาว (L)	ระยะห่าง (l) = 2L/3	ค่า $f = \frac{3Pl}{2bt^2}$	ค่าเฉลี่ย (f) 3 แผ่น
1	15,620	50	298	303	202.00	6.35	6.19
2	15,900	51	301	303	202.00	6.15	
3	15,700	51	301	303	202.00	6.08	

**ตารางที่ ๔.17 ค่าความต้านแรงดัดตามขวางของคอนกรีตปูพื้นคอนกรีตผสมเกลือร้อยละ 15 ต่อ ไฟเบอร์กลาส**

ร้อยละ 10 บ่มที่ 14 วัน

ตัวอย่าง กระเบื้อง	แรงที่กัดได้ (P) (นิวตัน)	ความ หนา (t)	ความกว้าง (b)	ความยาว (L)	ระยะห่าง (l) = 2L/3	ค่า $f = \frac{3Pl}{2bt^2}$	ค่าเฉลี่ย (f) 3 แผ่น
1	16,400	48	300	301	200.67	7.14	6.97
2	16,800	50	297	300	200.00	6.79	
3	17,300	50	300	302	201.33	6.97	

ตารางที่ ๔.๑๘ ค่าความต้านแรงดัดตามขวางของคอนกรีตปูพื้นคอนกรีตผสมเกลือร้อยละ ๑๕ ต่อ ไฟเบอร์กลาส ร้อยละ ๑๐ ปั่นที่ 28 วัน

ตัวอย่าง กระเบื้อง	แรงที่กดได้ (P) (นิวตัน)	ความ หนา (t)	ความกว้าง (b)	ความยาว (L)	ระยะห่าง	ค่า $f = \frac{3Pl}{2bt^2}$	ค่าเฉลี่ย (f)
1	17,900	50	298	303	202.00	7.28	7.08
2	17,600	51	301	303	202.00	6.81	
3	17,700	50	300	303	202.00	7.15	



ภาคผนวก จ  
ผลการวิเคราะห์ผ่านโปรแกรมทางสถิติ



---

8/18/2013 7:29:32 PM

---

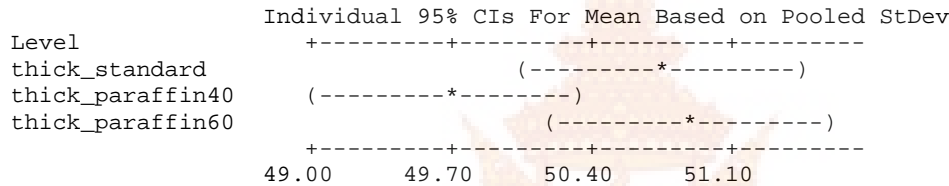
Welcome to Minitab, press F1 for help.

### One-way ANOVA: thick\_standard, thick\_paraffin40, thick\_paraffin60

Source	DF	SS	MS	F	P
Factor	2	8.22	4.11	4.04	0.031
Error	24	24.44	1.02		
Total	26	32.67			

S = 1.009 R-Sq = 25.17% R-Sq(adj) = 18.93%

Level	N	Mean	StDev
thick_standard	9	50.778	0.667
thick_paraffin40	9	49.667	1.000
thick_paraffin60	9	50.889	1.269



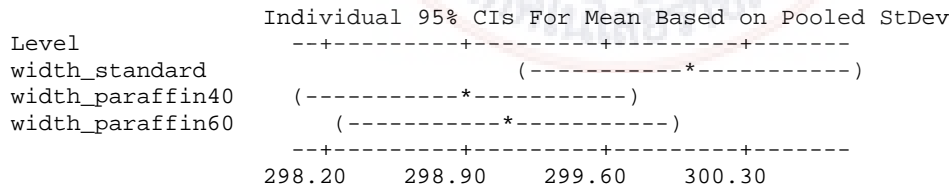
Pooled StDev = 1.009

### One-way ANOVA: width\_standard, width\_paraffin40, width\_paraffin60

Source	DF	SS	MS	F	P
Factor	2	6.22	3.11	2.09	0.146
Error	24	35.78	1.49		
Total	26	42.00			

S = 1.221 R-Sq = 14.81% R-Sq(adj) = 7.72%

Level	N	Mean	StDev
width_standard	9	300.00	1.00
width_paraffin40	9	298.89	1.45
width_paraffin60	9	299.11	1.17

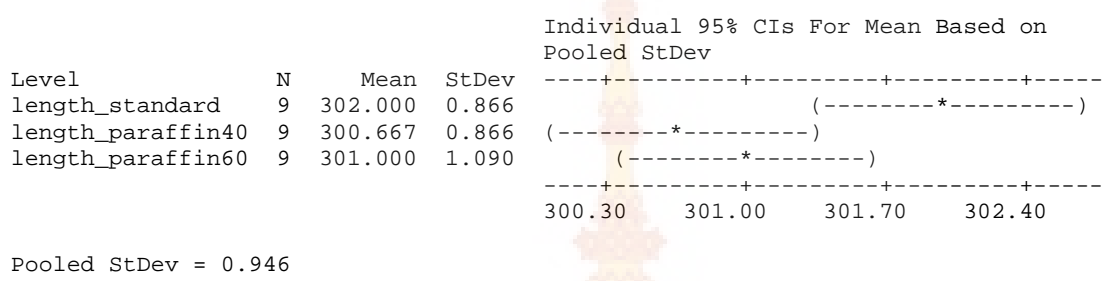


Pooled StDev = 1.22

### One-way ANOVA: length\_standard, length\_paraffin40, length\_paraffin60

Source	DF	SS	MS	F	P
Factor	2	8.667	4.333	4.84	0.017
Error	24	21.500	0.896		
Total	26	30.167			

S = 0.9465 R-Sq = 28.73% R-Sq(adj) = 22.79%




---

8/19/2013 8:53:21 AM

---

Welcome to Minitab, press F1 for help.  
Retrieving project from file: 'F:\r56\项目\R56\_Mol\Minitab.MPJ'

### Two-way ANOVA: f versus day, paraffin

Source	DF	SS	MS	F	P
day	2	10.1263	5.06316	76.88	0.000
paraffin	2	0.3683	0.18416	2.80	0.088
Interaction	4	0.6609	0.16521	2.51	0.078
Error	18	1.1854	0.06586		
Total	26	12.3409			

S = 0.2566 R-Sq = 90.39% R-Sq(adj) = 86.13%

### Individual Value Plot of f vs day, paraffin

### Boxplot of f

## Two-Sample T-Test and CI: Normal, Room

Two-sample T for Normal vs Room

	N	Mean	StDev	SE Mean
Normal	15	33.80	4.89	1.3
Room	15	39.08	7.36	1.9

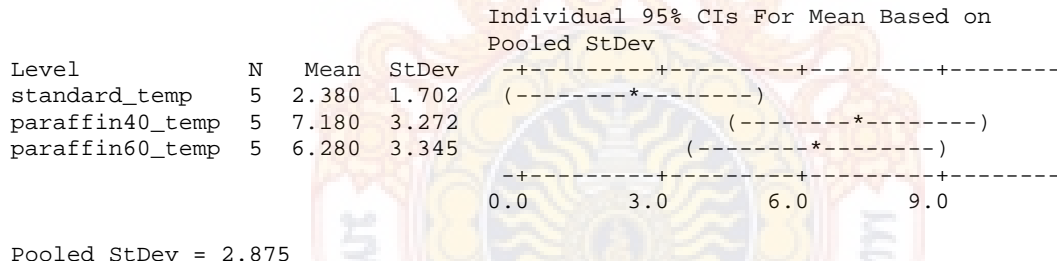
Difference = mu (Normal) - mu (Room)  
 Estimate for difference: -5.28  
 95% CI for difference: (-9.99, -0.57)  
 T-Test of difference = 0 (vs not =): T-Value = -2.31 P-Value = 0.030 DF = 24

## Boxplot of temp.

## One-way ANOVA: standard\_temp, paraffin40\_temp, paraffin60\_temp

Source	DF	SS	MS	F	P
Factor	2	65.10	32.55	3.94	0.048
Error	12	99.18	8.27		
Total	14	164.28			

S = 2.875 R-Sq = 39.63% R-Sq(adj) = 29.56%

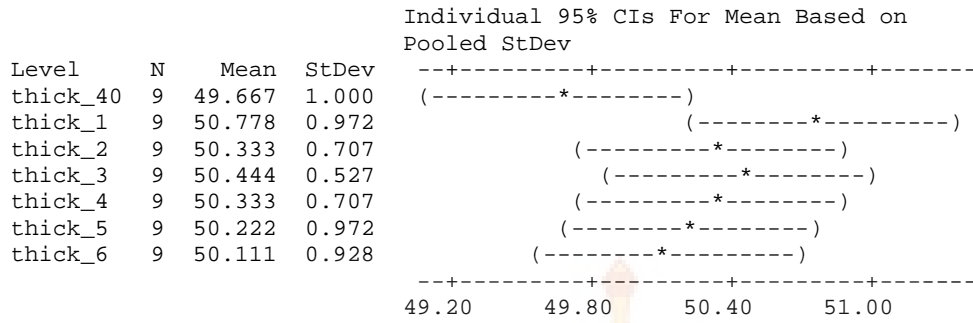


## Boxplot of standard\_temp, paraffin40\_temp, paraffin60\_temp

## One-way ANOVA: thick\_40, thick\_1, thick\_2, thick\_3, thick\_4, thick\_5, thick\_6

Source	DF	SS	MS	F	P
Factor	6	6.190	1.032	1.44	0.217
Error	56	40.222	0.718		
Total	62	46.413			

S = 0.8475 R-Sq = 13.34% R-Sq(adj) = 4.05%

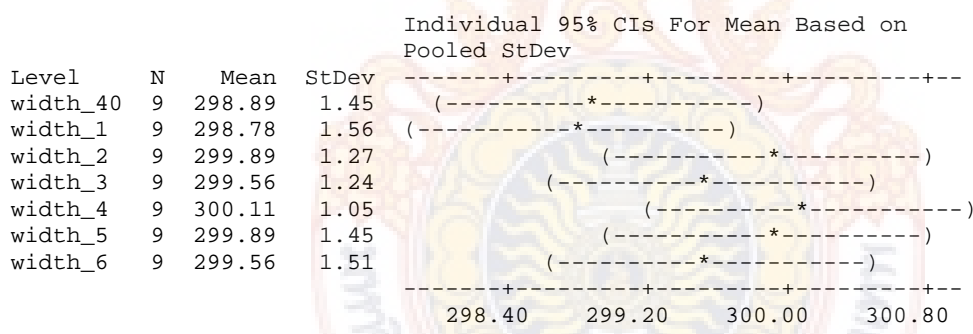


### Boxplot of thick\_40, thick\_1, thick\_2, thick\_3, thick\_4, thick\_5, thick\_6

### One-way ANOVA: width\_40, width\_1, width\_2, width\_3, width\_4, width\_5, width\_6

Source	DF	SS	MS	F	P
Factor	6	14.16	2.36	1.25	0.294
Error	56	105.56	1.88		
Total	62	119.71			

S = 1.373 R-Sq = 11.83% R-Sq(adj) = 2.38%

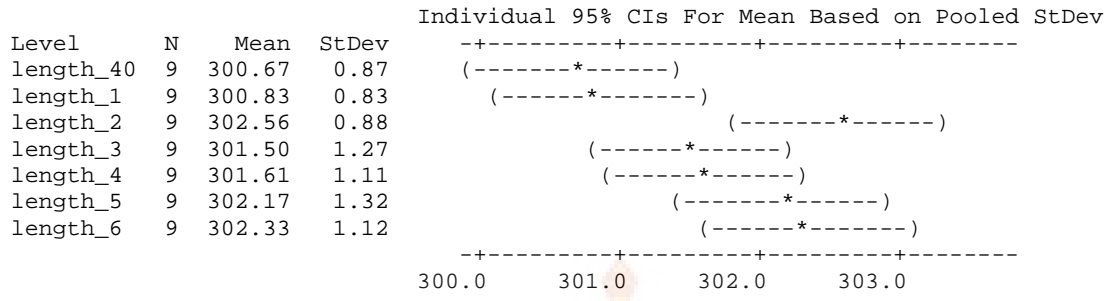


### Boxplot of width\_40, width\_1, width\_2, width\_3, width\_4, width\_5, width\_6

### One-way ANOVA: length\_40, length\_1, length\_2, length\_3, length\_4, length\_5, ...

Source	DF	SS	MS	F	P
Factor	6	28.89	4.81	4.17	0.002
Error	56	64.61	1.15		
Total	62	93.50			

S = 1.074 R-Sq = 30.90% R-Sq(adj) = 23.49%



### Boxplot of length\_40, length\_1, length\_2, length\_3, length\_4, length\_5, length\_6

**Two-way ANOVA:** ความต้านแรงดด **versus** เวลาการบ่ม, ค่อนกรีบมล็อก

Source	DF	SS	MS	F	P
เวลาการบ่ม	2	15.9269	7.96347	114.20	0.000
ค่อนกรีบมล็อก	6	5.4597	0.90995	13.05	0.000
Interaction	12	1.4316	0.11930	1.71	0.099
Error	42	2.9289	0.06973		
Total	62	25.7472			

S = 0.2641 R-Sq = 88.62% R-Sq(adj) = 83.21%

### Boxplot of ความต้านแรงดด

### Two-Sample T-Test and CI: Normal Temp., Room Temp.

Two-sample T for Normal Temp. vs Room Temp.

	N	Mean	StDev	SE Mean
Normal Temp.	35	33.48	4.31	0.73
Room Temp.	35	40.19	6.37	1.1

Difference = mu (Normal Temp.) - mu (Room Temp.)

Estimate for difference: -6.71

95% CI for difference: (-9.31, -4.11)

T-Test of difference = 0 (vs not =): T-Value = -5.17 P-Value = 0.000 DF = 59

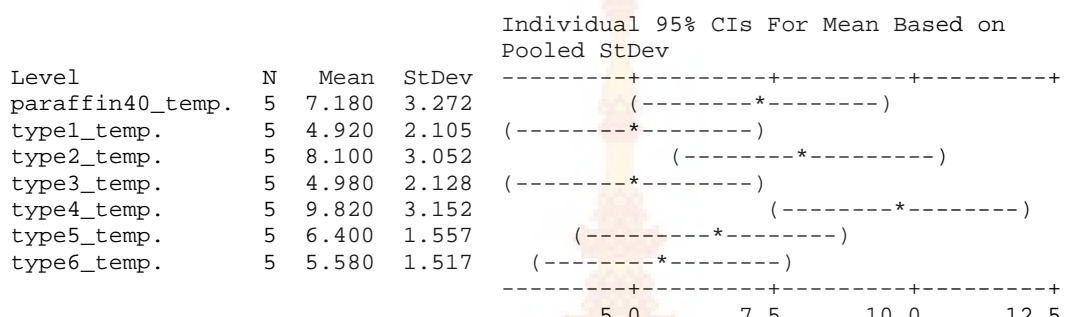
### Boxplot of Normal Temp., Room Temp.

### Boxplot of temperature

### One-way ANOVA: paraffin40\_t, type1\_temp., type2\_temp., type3\_temp., ...

Source	DF	SS	MS	F	P
Factor	6	96.98	16.16	2.59	0.040
Error	28	174.56	6.23		
Total	34	271.54			

S = 2.497 R-Sq = 35.71% R-Sq(adj) = 21.94%



Pooled StDev = 2.497

Boxplot of paraffin40\_temp., type1\_temp., type2\_temp., type3\_temp., type4\_temp., type5\_temp., type6\_temp.

ภาคผนวก ๙

มาตรฐานผลิตภัณฑ์อุตสาหกรรมกระเบื้องคอนกรีตปูพื้น 378-2531



มหาด្ឋានអនុបត្រកំណត់ទីសាធារណរម  
ក្រសួងគណនកិច្ចព្រះរាជាណាចក្រកម្ពុជា

អ.ស. 378 - 2531

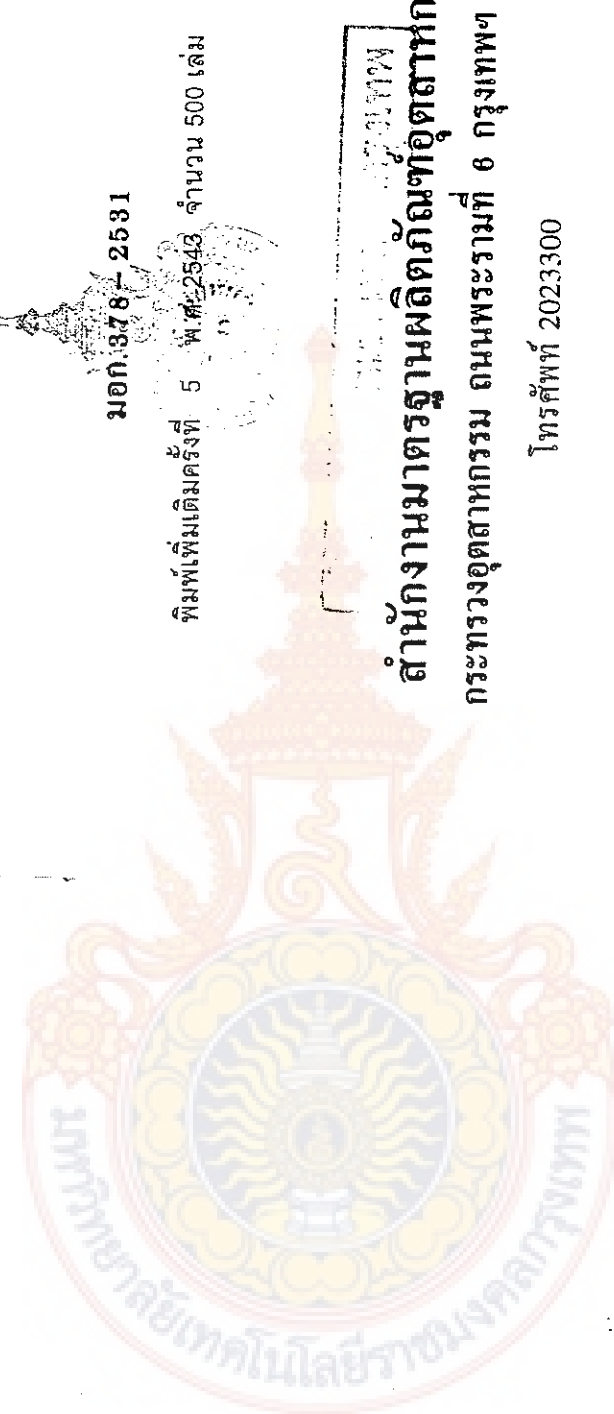
ផ្ទះលេខ ៩ ផ្លូវជិំគ្រឹះទៅភូមិ ៥ ផ្លូវ ២៥៤៣ តំបន់ ៥០០ តំបន់

តំបន់ការងារនាមរដ្ឋបាល ធមធូរ នាមពីរ នាមពីរ នាមពីរ នាមពីរ  
ក្រសួងរៀបចំសាធារណរម នាមព្រមទាំង ៦ ក្នុងរាជធានី ភ្នំពេញ ១០៤០០

ថ្ងៃទី ២ កុម្ភាម ឆ្នាំ ២០២៣ លម្អិត ១៨

ក្រសួងរៀបចំសាធារណរម

ក្រសួងរៀបចំសាធារណរម នាមពីរ ៦ ក្នុងរាជធានី ភ្នំពេញ ១០៤០០  
ថ្ងៃទី ២ កុម្ភាម ឆ្នាំ ២០២៣ លម្អិត ១៨





มาตรฐานผลิตภัณฑ์ทางรัฐ กระเบื้องเคลือบดินเผาที่หิน น้ำประปาฯที่  
เป็นครั้งแรกในมาตรฐาน ผลที่ มอก. 378-2524 ในราชกิจจานุเบกษา<sup>๔</sup>  
ฉบับที่ ราช. เล่ม 98 ตอนที่ 121 วันที่ 23 กรกฎาคม พุทธศักราช 2524  
คณานั่นวันนี้พูดหาราษฎร์ทางเรื่อง ไม่ส่องทดสอบให้ทราบใช้งาน  
ปัจจุบัน จึงแก้ไขไว้เพิ่งได้ทดลอง ลิมนาครชนา ลิมและกานพอนมาตรฐาน  
ปัจจุบัน

มาตรฐานผลิตภัณฑ์อุตสาหกรรม กำหนดขึ้นโดยใช้ชื่อชุมชนภายในประเทศ  
และเอกสารต่อไปนี้เป็นแนวทาง

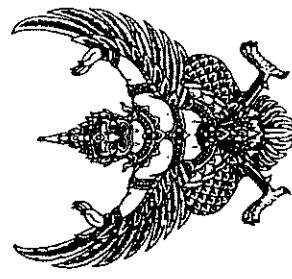
BS 1197 : Part 2 : 1973 Concrete flooring tiles

and fittings

Part 2 : Metric units

IS:1237-1980  
Cement concrete flooring  
tiles

ผลการน้ำหนักของกระเบื้องเคลือบดินเผาที่หินมาตรฐานที่หิน น้ำประปาฯที่  
พิเศษกว่า ตามที่ระบุไว้ในรายการ 15 แห่งมาตรฐานที่หินมาตรฐาน  
มาตรฐานผลิตภัณฑ์อุตสาหกรรม ผลที่ 525 (ก. ส.  
2524) ออกตามความในพระราชบัญญัติคุณภาพของสินค้าสาธารณะ  
กับมาตรฐานของคุณภาพของสินค้าสาธารณะ ๑๕๓



### ประกาศกระทรวงอุตสาหกรรม

ฉบับที่ 1452 (พ.ศ. 2531)

โดยความconsent ของรัฐสภาที่ได้มีมติลงไว้ในพระราชบัญญัติคุณภาพของสินค้าสาธารณะ  
และมาตรฐานผลิตภัณฑ์อุตสาหกรรม ๑๕๓ แห่งพระราชบัญญัติคุณภาพของสินค้าสาธารณะ  
และมาตรฐานผลิตภัณฑ์อุตสาหกรรม ๑๕๓ แห่งพระราชบัญญัติคุณภาพของสินค้าสาธารณะ  
และมาตรฐานผลิตภัณฑ์อุตสาหกรรม ๑๕๓ แห่งพระราชบัญญัติคุณภาพของสินค้าสาธารณะ

พ.ศ. ๒๕๑๑

กระทรวง  
เศรษฐกิจและกำกับดูแลคุณภาพของสินค้าสาธารณะ

โดยที่เป็นการสมควรประกาศไว้ ดังนี้ มาตรา ๙(๑) แห่งพระราชบัญญัติคุณภาพของสินค้าสาธารณะ ก.๗.  
๑ บังคับ命令ไว้ที่ มาตรฐานและสากล ๓๗๘-๒๕๒๔

มาตรฐาน จังหวัดพูด มาตรฐานและสากล ๓๗๘-๒๕๒๔  
และพระราชบัญญัติคุณภาพของสินค้าสาธารณะ ๑๕ แห่งพระราชบัญญัติคุณภาพของสินค้าสาธารณะ  
และมาตรฐานผลิตภัณฑ์อุตสาหกรรม ๑๕ แห่งพระราชบัญญัติคุณภาพของสินค้าสาธารณะ

และพระราชบัญญัติคุณภาพของสินค้าสาธารณะ ๑๕ แห่งพระราชบัญญัติคุณภาพของสินค้าสาธารณะ  
และกฎหมายว่าด้วยการคุ้มครองผู้บริโภค ๕๒๕ (ก. ส.  
๒๕๒๔) ออกตามความในพระราชบัญญัติคุณภาพของสินค้าสาธารณะ ๑๕๓

(4)

(5)

กรุงศรีนี้ ลงวันที่ 29 มิถุนายน พ.ศ. 2524 และออกประกาศกากาหนด  
มาตรฐานผลิตภัณฑ์อย่างสากล ฉบับเดียวของประเทศไทย เรื่อง มาตรฐาน เลขที่  
มอก. 378-2531 ห้ามนำ ห้องน้ำ ห้องน้ำสาธารณะ หรือห้องน้ำสาธารณะ ให้มาติดต่อห้องน้ำสาธารณะ  
ผู้ใด ให้ต้องห้าม 60 วัน ที่จะต้องห้ามในราชอาณาจักรฯ แห่งชาติ เป็นตนไป

### 1. ขอบข่าย

ประกาศ ณ วันที่ 12 ธันวาคม พ.ศ. 2531  
บรรทัด วิถีป่าอชา  
บราหง ห้องน้ำสาธารณะ  
มาตรฐานผลิตภัณฑ์อย่างสากล ฉบับเดียวของประเทศไทย

- 1.1 มาตรฐานผลิตภัณฑ์อย่างสากล สำหรับรั้นกำแพง ที่สามารถและเหมาะสม  
คลุมเคลือ กัน ล้านละหกมมและกว้าง  
เครื่องหมายและตรา ตราที่หัวอย่างและแบบที่คืน แต่ละการ  
ทดสอบจะเป็นภัยคุกคามรักษาไว้ในสักหกเดือนได้  
1.2 มาตรฐานผลิตภัณฑ์อย่างสากล ฉบับเดียวของประเทศไทยที่จัดทำขึ้น  
เสริมให้สนับสนุน

### 2. ภาระ

- ความหมายของคำว่า "ใช้ในมาตรฐานผลิตภัณฑ์อย่างสากล" หมายความ  
ว่า  
2.1 กรณีห้องน้ำสาธารณะ ที่ใช้ในมาตรฐานนี้จะเรียกว่า "กรณี"  
"กรณี" หมายถึง กรณีที่ห้องน้ำสาธารณะที่ห้องน้ำสาธารณะ  
ธรรมชาติ หรือภาระน้ำเสีย จิตวิญญาณหรือความประทับใจ ทางประวัติศาสตร์

2.2 หินสีน้ำเงิน หนาอยู่ถึง ชั้นผิวของกระเบื้องส่วนที่รับภาระ สีเมฆฟ้า

2.3 ความตื้นลึก (squareness) หมายถึง ความตื้นของขอบของหิน กว้างเท่าความยาวของกระเบื้อง และความตื้นของหินเท่ากับ ผลลัพธ์ของการหักหินผ่านพื้นผิวน้ำเสียง

### 4. ที่วางประดับก้อนและภารท่า

3. ขนาดและรายละเอียดความคงทนเดลล่อน

3.1 ผิวสีและ เทคนิคการเคลือบห้องครัวจะต้องการจะเป็นให้เป็นไปตามมาตรฐาน  
ที่ 1

การทดสอบการหักหินผิวหินตามข้อ 8.1

ตารางที่ 1 มิติและเกณฑ์ความคงทนเดลล่อนของห้องครัว

(ข้อ 3.1)

หน่วย นิมิตลิ่มเมตร		
นิมิต	มาตรฐานที่กำหนด	ผลทดสอบ
ความกว้าง และความยาว	เป็นไปตามที่ระบุไว้ทางหน้าหิน (หนาต่ำสุดเท่ากับ 0.5 ซม.)	ผลทดสอบ หนาเท่ากับ 0.5 ซม.
ความหนา	$\frac{1}{10} \times$ ความยาวของห้องครัว แต่ต้องไม่ต่ำกว่า 20	+ 3 0

### 4. ที่วางประดับก้อนและภารท่า

4.1 สำนักงาน

4.1.1 ผู้เชื่อมต่อ

ให้หั่นหินเป็นต่อซ้ายโดยยังคงต่อต่อในรูป

### 4. ที่วางประดับก้อนและภารท่า

4.1.1.1 ผู้เชื่อมต่อร่วมกัน ที่เป็นไปตามมาตรฐานที่กำหนด

ภารท่าห้องครัว ผู้เชื่อมต่อร่วมกันที่ 1 ชั้นหินท่าห้องครัวที่กำหนด

### 4. ที่วางประดับก้อนและภารท่า

4.1.1.2 ผู้เชื่อมต่อห้องครัว ที่เป็นไปตามมาตรฐานที่กำหนด

ภารท่าห้องครัว มาตรฐานเลขที่ มอก. 15 เล่ม 1

### 4. ที่วางประดับก้อนและภารท่า

4.1.1.3 ผู้เชื่อมต่อห้องครัว ที่เป็นไปตามมาตรฐานที่กำหนด

ภารท่าห้องครัว มาตรฐาน เลขที่ มอก. 80

### 4. ที่วางประดับก้อนและภารท่า

4.1.1.4 ผู้เชื่อมต่อห้องครัว ที่เป็นไปตามมาตรฐานที่กำหนด

ภารท่าห้องครัว มาตรฐาน เลขที่ มอก. 566

ตาม BS 1014)

#### 4.1.4 สำเร็จมติ (ต่อ)

ให้เป็นไปตามมาตรฐานผลิตภัณฑ์อุตสาหกรรม  
มาตรฐาน ลงที่ มอก. 469

ผู้ที่ได้รับรองเป็นลายอักษร

ส่วนผสมอ่อน ๆ (ต่อ)

ห้องน้ำสีครีม สีขาวคราฟ่าใช้งานของกรอบผู้

#### 4.2 การทำ

ใช้เครื่องซักอบและ/หรือเช่าส่วนบริการตามท่าง ๆ ตามข้อ 4.1 ให้  
เป็นพัน ชั่วโมงน้ำมันกรวดหัวน้ำหัวหินสีเขียวในกิน  
0.55 ถ้าผ่านผ่านหัวน้ำมันสี น้ำหัวน้ำหินสีเขียวที่ผสมต้องไม่กิน  
รูปแบบ 10 หม้อน้ำหัวน้ำหินสีเขียวที่ผสมต้องไม่กินผิวน้ำหิน  
เมื่อนำกรอบผู้ของกรอบผู้ ให้น้ำในบ่อตัวอย่างรีบดี  
เหมาะสม

#### 5. ถูกต้องและต้องการ

5.1 ลักษณะทั่วไป

5.1.1 กระบวนการที่ดำเนินการตามมาตรฐาน ให้คุณภาพดี

(1) ห้องน้ำรีบดีอย่างดีที่สุด หรือคุณภาพดีที่สุด

เป็น

กระบวนการที่ดำเนินการตามมาตรฐานของกรอบผู้ ให้คุณภาพดีที่สุด

สำเร็จ

มาตรฐาน ลงที่ มอก. 469

ผู้ที่ได้รับรองเป็นลายอักษร

5.1.2 กระบวนการที่ดำเนินการตามมาตรฐาน ให้คุณภาพดีที่สุด  
(ยกเว้นกรณี)

5.1.3 สีของห้องน้ำหินหัวหินสีเขียวที่ผสม แต่ไม่คงทน  
และการทดสอบให้ทำโดยการตรวจเชิง

#### 5.2 ความต้านทานและการซ่อม

ความต้านทานต่อความชื้นของกรอบผู้และห้องน้ำหินหัวหิน  
2.5 เมนเดลเลียล ผลิตภัณฑ์ของมนุษย์กว่า 3 เดือนจะต้อง<sup>1</sup>  
การทดสอบให้ปฏิศึกษาซึ่ง 8.2  
5.3 การซ่อมที่น้ำ<sup>2</sup>  
การทดสอบผู้หัวหินหินสีเขียวที่ผสมต้องไม่กินร้อนกว่า 10  
การทดสอบให้ปฏิศึกษาซึ่ง 8.3

#### 6. เครื่องหมายและตรา

6.1 ที่กรอบผู้ของห้องน้ำ อย่างน้อยห้องน้ำ 1 ห้อง หรือเครื่องหมาย  
แจ้งรายการและร่องรอยบนผู้หัวหินหินสีเขียว หัวหินหินสีเขียว หัวหินหินสีเขียว  
(1) ห้องน้ำรีบดีอย่างดีที่สุด หรือคุณภาพดีที่สุด

156

ในการนี้ให้ใช้ภาษาไทยอย่างถูกต้อง ต้องมีความหมายตรงกันมากที่สุด  
ภาษาไทยจะดังนี้

- 6.2 ผู้กำกับดูแลห้องเช่าสำหรับคนต่างด้าว บ้าน ไม่สามารถย้ายห้องเช่าไป  
หมายความว่าห้องต้องอยู่ที่เดิมสำหรับการบ้านเดิม ห้องเดิมต้องไม่  
อนุญาตจ้าวห้องบ้านภาระฐานและห้องที่อยู่อาศัยสำหรับการเช่าห้อง

### 7. การซักซ้อมอย่างแรกที่ตั้งติดนิ้ว

- 7.1 คุณ ชนกนิ์ หมายถึง กรรมบ้านที่รับเช่าห้องและเสียค่าเช่าห้อง ทำธุรกิจโดย  
การรับเช่าห้อง เช่าห้องที่อยู่อาศัยในประเทศไทย ไม่ใช่ในต่างประเทศ  
คุณ
- 7.2 การซักซ้อมอย่างแรกของห้อง ให้เป็นไปตามแผนการซักซ้อมอย่าง  
ที่กำหนดครั้งที่หนึ่ง หรืออาจใช้แผนการซักซ้อมที่เพิ่มเติมหากห้อง  
ทางวิชาการห้องแยกเป็นห้องๆ กันได้

### 7.2.1 การซักซ้อมอย่างแรกของห้อง สำหรับการทดสอบลักษณะห้อง

[1]

- 7.2.1.1 ให้ผู้ดูแลห้องโดยวิธีที่สูงจากตัวห้องที่รับเช่าห้อง ตามจำนวนห้อง  
กำหนดในคราวที่ 2 จำนวนห้องจะไม่เล็กกว่าห้องที่ 1 สำหรับทดสอบนี้
- 7.2.1.2 จำนวนห้องอย่างต่ำที่มีบ้านห้องเดียว ตามจำนวนห้องที่  
กำหนดในคราวที่ 2 จำนวนห้องจะไม่เล็กกว่าห้องที่ 1 สำหรับทดสอบนี้ รายการ  
ลง 3 แห่ง

เลขประจำตัวผู้ขอพิจารณาห้องในคราวที่ 2 จึงจะถือว่า  
กระบวนการพิจารณาห้องในคราวที่ 2 ดำเนินการต่อไป  
กระบวนการพิจารณาห้องในคราวที่ 2 ดำเนินการต่อไป

ตารางที่ 2 แผนกรซักซ้อมอย่างสำหรับการทดสอบลักษณะห้อง

(ชื่อ 7.2.1)

ชนิดห้อง แบบ	ชนิดห้อง แบบ	เฉลี่ยจำนวน ห้อง
ไม่มีห้อง 3 ห้อง	13	1
3 ห้อง ตั้ง 10 ห้อง	20	2
10 ห้อง ตั้ง 35 ห้อง	32	3
ห้องต่อ 35 ห้อง	50	5

7.2.2 การซักซ้อมอย่างละเอียดและการประเมินสำหรับการทดสอบนี้ ตาม  
ที่ระบุลงตัวตามห้อง แผนกรซักซ้อม

7.2.2.1 ให้ผู้ดูแลห้องโดยวิธีที่สูงจากตัวห้องที่รับเช่าห้อง สำหรับทดสอบนี้  
ห้องที่กำหนดในคราวที่ 2 จำนวนห้องจะไม่เล็กกว่าห้องที่ 1 สำหรับทดสอบนี้

ความต้องการซักซ้อมอย่างสำหรับการทดสอบนี้ รายการ  
ลง 3 แห่ง

### 7.2.2.2 หัวอย่างพัฒนาต่อท้องเป็นไฟไหม้ชนิด 3. ชั้น 5.2

ผลลัพธ์ 5.3 จึงจะต้องวิเคราะห์เบื้องต้นเพื่อป้องกันไม่คาด  
และการที่ก่อให้เกิด

#### 7.3 กรณีพัฒนา

หัวอย่างการประเมิน ศักดิ์เป็นไฟไหม้ชนิด 7.2.1.2 และที่

7.2.2.2 ทักษะ จึงจะต้องวิเคราะห์เบื้องต้นเพื่อป้องกันไม่คาดการณ์ใน  
กรณีที่ภัยสูงอาจเกิดขึ้น

### 8. การทดสอบ

กระบวนการพัฒนาตามหลักสูตร ต้องมีอย่างน้อยอย่างต่อไปนี้ 7 วัน

#### 8.1 มิตร

8.1.1 ความกว้างและความยาว  
ใช้เครื่องวัดที่ได้รับ สัญญา 1 มิลลิเมตร ทดสอบ ความกว้าง  
และความยาวของกรอบป้องกันทั้งสองด้าน ระยะห่างอย่างต่ำ 2  
หน่วย และทดสอบห้องเรียนทั้งห้อง ระยะห่างอย่างต่ำ 10  
มิลลิเมตร กล่าวคือห้องเรียนทั้งห้องจะต้องมีห้องอย่างต่ำ 10  
หน่วย แต่ห้องที่ต้องห้องน้ำและห้องอาหารจะต้องมีห้องอย่างต่ำ 5

#### 8.1.2 ความหนา

ใช้เครื่องวัดที่ได้รับ สัญญา 1 มิลลิเมตร ทดสอบ  
ห้องเรียนทั้งห้อง 4 หน่วย แล้วรากฐานของห้องต้องเป็นเท่าเดิม

(1) กระบวนการพัฒนาเป็นผล ป้องกันไฟไหม้ หรืออื่น ๆ  
ให้ก่อความเสียหายของส่วนที่ทางที่สุด โดยรวมความหนา  
ของพื้นพิภูมิ

(2) กระบวนการพัฒนา รีบูฟฟ์แลนด์ สมค ให้ก่อความเสียหาย  
โดยรวมความหนาของชั้นผิวหน้า

#### 8.2 ความพัฒนาและทดสอบความกว้าง

##### 8.2.1 เครื่องมือ

เครื่องทดสอบความกว้างแบบดั้งเดิม หัวตัวอย่างในชุดที่ 1

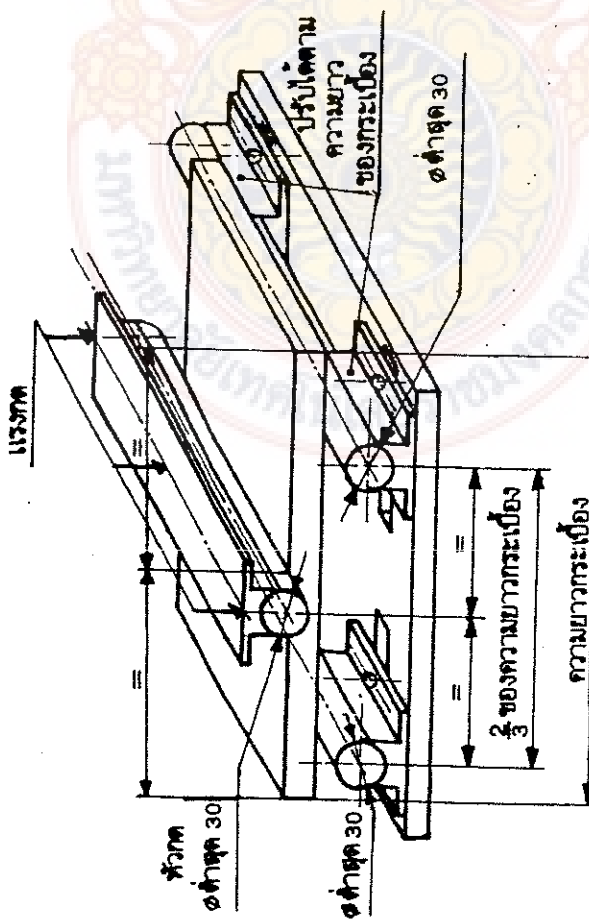
##### 8.2.2 วิธีทดสอบ

8.2.2.1 ทดสอบแนวกาง ความยาว และความกว้างของห้อง  
ห้องที่ต้องทดสอบ 8.1.1 และขั้นตอน 8.1.2 ตามลำดับ  
เบื้องต้นของห้องในน้ำที่มีอุณหภูมิ  $23 \pm 6$  องศา  
เซลเซียส ทดสอบให้ผิวน้ำอยู่หนึ่งสิบวินาทีของกระเบื้องห้อง  
น้ำที่มีอย่างต่ำ 25 มิลลิเมตร และผู้กิน 50 มิลลิ  
เมตร เป็นเวลา  $24 \pm 1/2$  ชั่วโมง นำกระเบื้อง  
ห้องน้ำที่ผ่านมา ใช้ผ้าเช็ดผิวภายนอกให้แห้ง

8.2.2.3 ตรวจสอบว่าอย่างต่ำ หนึ่งร้อยห้าสิบองศาเซลเซียส  
โดยให้ผิวน้ำอยู่ห้องน้ำ แล้วนำเข้าห้องน้ำที่  
ห้องน้ำ (สำหรับการประเมินห้องที่ต้องผ่านผิวน้ำหนาเป็นสอง

ให้ทางการเป็นองค์กรอย่างในสิ่งที่จะบังคับใช้ในประเทศไทย  
ศุภ)

8.2.2.4 เส้นทางของน้ำจะเดินท้องท่ออย่างต่อเนื่องจากไถน์อย่าง  
สม่ำเสมอ ไม่เกิน 1 960 นิ้วตันต่อความกว้าง 1  
เมตร (รักษาความเร็วของน้ำที่ต่ำลง) ดูน้ำที่ จัน  
กระส์ในกรุงเทพมหานครอย่างมากที่สุด น้ำเสียก่อสร้างอุโมงค์ที่  
ให้กรอบของท่ออย่างดีมากที่สุด



### 8.2.3 วิธีคำนวณ

ค่าน้ำหนาค่าความต้านทานแรงต้านทานของทาง จากระยะ

$$f = \frac{3P}{2bt^2}$$

เมื่อ  $f$  คือ ค่าความต้านทานแรงต้านทานของทาง เป็นหน่วยเมตร  
 $P$  คือ แรงดันที่ทางให้การระบายออกตัวอย่างมากที่สุด  
นิ้วตัน  
1 คือ ระยะทางระหว่างห้องน้ำ  $= 2L$  เป็นมิลลิเมตร  
เมื่อ  $L$  คือ ความยาว ระยะทางที่ออก水流อย่าง  
เป็นมิลลิเมตร

พัฒนาเป็นมิลลิเมตร

ข้อที่ 1 ตัวอย่างเครื่องทดสอบความต้านทานของ

(ข้อ 8.2.1)

บ มอก

บ ค่าน้ำหนาค่าความต้านทานของทาง เป็นมิลลิเมตร

ต ศูนย์ ความหนาของกระเบื้องห้องน้ำ บีบมิลลิเมตร

### 8.3 ກາຮພົນໜ້າ

#### 8.3.1 ວິສີຫຼຄສອນ

8.3.1.1 ແນກະບັນຫຼວຍກ່າຍໃນພື້ນທີ່ມີຄະດີ  $23 \pm 2$  ຄົງສາ  
ເຊົາ ຫຼື ຊົກ ໂດຍໃຫ້ພື້ນຖານຂູ່ທີ່ມີກົມພາກກະບັນຫຼົງ  
ທຸລະມານໃໝ່ອທຳກາ 25 ມີລືສີເມຄຣລະໄມ ຕີ່ມີ 50 ມີລ  
ລືເນົາ ເປັນວິລາ  $24 \pm 1/2$  ຊົວນິວ ນຳກາຮບັນຫຼົງ  
ທຸລະມານຈົນຈາກໜ້າ ໃຫ້ຜາຫຼືກາຍອອກໃຫ້ໜ້າ ແລ້ວນ້າ  
ໄປສິ່ງ ( $M_2$ )

8.3.1.2 ວາງກະບັນຫຼວຍກ່າຍໃນຫຼິກນ ໄດຍກົມກະບັນຫຼວຍກ່າຍ  
ທຸລະມານຈົນຈາກມີຫຼິກນ ພົມກະບັນຫຼວຍກ່າຍ  
ແລ້ວຢືນຢັນທຸລະມານ ມີລືສີເມຄຣ ຄວາມຫັ້ນທີ່ຄຸນພຽງ  
 $65 \pm 1$  ຄົງສາ ແລ້ວ ທີ່ມີກົມພາກ 24 ທີ່ມີ ປົລຍ  
ໃຫ້ຜົນທີ່ຄຸນພຽງຫຼອງ ນຳການ ( $M_1$ )

#### 8.3.2 ວິສີຄຳນາວຸ

ກົນວ່າການກົມກະບັນຫຼົງມີຮອດ ໄດ້ຮະເມືອງຕຶກຕິເມ  
ກໍານົມທີ່ 1 ລາກສູກ

$$\text{ກາຮອດສິນໜ້າ ຖຸໂພດ} = \frac{M_2 - M_1}{M_1} \times 100$$